



REGIONE CAMPANIA
 PROVINCIA DI CASERTA
 COMUNE DI SESSA AURUNCA



Soggetto Responsabile:

ATON 22 s.r.l.

Via Julius Durst, 6
 Bressanone (BZ)
 P.Iva 03072680212
 Pec: aton.22@pec.it

IMPIANTO FV C_023

Progettazione di un impianto agro-fotovoltaico di potenza complessiva **19.021 KW** e di tutte le opere ed infrastrutture connesse, nel comune di Sessa Aurunca

RELAZIONE SULLE STRUTTURE

Progettazione:



Piazza della Concordia, 21
 80040 S. Sebastiano
 al Vesuvio (NA)
 info@mari-ingegneria.it
 P.IVA 07857041219

Il Tecnico

Ing. Riccardo Mai




	Ing. R.A. Rossi						
	Ing. V. Villano						
	Pian.Ter. L. Lanni						
	Pian.Ter. G.Delogu	Ing. S. Viara	Ing. R. Mai	emissione		11/2021	
PROTOCOLLO	REDATTO	CONTROLLATO	AUTORIZZATO	CAUSALE		DATA	REVISIONE

Doc	C_023_DEF_RS_03	Formato	A 4	Scala	-
-----	------------------------	---------	-----	-------	---


Il presente documento è di proprietà esclusiva della Aton 22 s.r.l., non potrà essere duplicato e/o copiato in nessuna delle sue parti. La Aton 22 s.r.l. si riserva il diritto di ogni modifica.

Sommario

INTRODUZIONE	3
1. CARATTERISTICHE GEOMETRICHE, FUNZIONALI E COSTRUTTIVE	7
2. NORMATIVA DI RIFERIMENTO	8
3. CARATTERISTICHE STRUTTURALI	9
3.1. Materiali impiegati e resistenze di calcolo	10
3.2. Analisi dei carichi	11
3.3. Valutazione dell'azione sismica	12
3.4. Verifiche di regolarità	14
3.5. Classe di duttilità	14
3.6. Spettri di progetto	15
3.7. Azione della neve	16
3.8. Azione del vento	18
3.9. Verifiche strutturali agli SLU e agli SLE	21
4. CODICE DI CALCOLO IMPIEGATO	22
4.1. Denominazione	22
4.2. Sintesi delle funzioni generali	23
4.3. Sistemi di riferimento	24
4.3.1. Sistema di riferimento globale.....	24
4.3.2. Sistema di riferimento locale per le travi	25
4.3.3. Sistema di riferimento locale per i pilastri.....	26

	Relazione sulle strutture	Codice Elaborato: C_023_DEF_RS_03
	Progettazione di un impianto agro-fotovoltaico di potenza complessiva 19.021 KW e di tutte le opere ed infrastrutture connesse, nel comune di Sessa Aurunca.	Data: 11/2021

4.4. Modello di calcolo	27
4.5. Verifiche di resistenza	28
4.5.1. Verifiche di Instabilità	29
4.5.2. Verifiche di Deformabilità	30
5. STRUTTURE PREFABBRICATE.....	30
6. TABULATI DI CALCOLO	32

	Relazione sulle strutture	Codice Elaborato: C_023_DEF_RS_03
	Progettazione di un impianto agro-fotovoltaico di potenza complessiva 19.021 KW e di tutte le opere ed infrastrutture connesse, nel comune di Sessa Aurunca.	Data: 11/2021


INTRODUZIONE

Il presente elaborato è relativo ai calcoli statici e dinamici ed ai disegni esecutivi relativi alla realizzazione di un sistema porta pannelli tipo “Tracker” , da installarsi nell’ambito della realizzazione di un impianto fotovoltaico ubicato in agro di Sessa Aurunca. Nel catasto terreni del comune di Sessa Aurunca, l’area d’intervento è individuata dai seguenti identificativi catastali:

COMUNE	FOGLIO	PARTICELLA	DESCRIZIONE	PROPRIETÀ	SUPERFICIE mq
Sessa Aurunca	22	149	Seminativo	Corte Grande s.r.l.	4118
Sessa Aurunca	22	150	Seminativo	Corte Grande s.r.l.	4345
Sessa Aurunca	34	13	Seminativo	Corte Grande s.r.l.	9300
Sessa Aurunca	22	155	Pascolo	Corte Grande s.r.l.	8285
Sessa Aurunca	22	5069	Pascolo	Corte Grande s.r.l.	24457
Sessa Aurunca	34	44	Incolto sterrato	Corte Grande s.r.l.	50
Sessa Aurunca	22	2/b	Frutteto irriguo	Corte Grande s.r.l.	25000
Sessa Aurunca	34	9	Frutteto irriguo	Corte Grande s.r.l.	5000
Sessa Aurunca	34	29	Frutteto irriguo	Corte Grande s.r.l.	440
Sessa Aurunca	34	47	Frutteto irriguo	Corte Grande s.r.l.	196
Sessa Aurunca	22	17	Frutteto	Corte Grande s.r.l.	33965
Sessa Aurunca	22	154	Frutteto	Corte Grande s.r.l.	18455
Sessa Aurunca	34	8	Frutteto	Corte Grande s.r.l.	288
Sessa Aurunca	34	10	Frutteto	Corte Grande s.r.l.	113252
Sessa Aurunca	34	30	Frutteto	Corte Grande s.r.l.	4341
Sessa Aurunca	34	45	Frutteto	Corte Grande s.r.l.	1860
Sessa Aurunca	34	68	Frutteto	Corte Grande s.r.l.	225
Sessa Aurunca	34	106	Bosco ceduo	Corte Grande s.r.l.	11340
Sessa Aurunca	34	5004	Bosco ceduo	Corte Grande s.r.l.	6040

L’area su cui si intende realizzare il campo FV è situata nel comune di **Sessa Aurunca** (CE), in località “*Maiano*” (coord. **41°16’44.0” N - 13°50’36.0” E**), è ubicata a Nord - Ovest del centro abitato e dista dallo stesso circa 8,2 Km in linea d’aria, mentre rispetto alle frazioni *Lauro* e *San Castrese* dista rispettivamente 3,5 e 2,5 Km in linea d’aria.

La superficie totale del lotto è pari a **270’957 m²**, mentre la parte occupata dai moduli fotovoltaici sarà di 56’820 m². La connessione dell’impianto prevista sarà in Alta Tensione, condurrà

	Relazione sulle strutture	Codice Elaborato: C_023_DEF_RS_03
	Progettazione di un impianto agrofotovoltaico di potenza complessiva 19.021 KW e di tutte le opere ed infrastrutture connesse, nel comune di Sessa Aurunca.	Data: 11/2021

alla Rete di Trasmissione Nazionale con un collegamento in antenna alla sezione 150 kV della esistente Stazione Elettrica 380/150 kV denominata "Garigliano".

L'energia elettrica prodotta sarà riversata completamente in rete, con una interconnessione intermedia in media tensione (20 kV) ed una successiva trasformazione mediante stazione di elevazione collegata in parallelo con altri Produttori, con i quali è stato stipulato un accordo di condivisione, attraverso Linea AT condivisa, alla RETE di TRASMISSIONE NAZIONALE tramite una Stazione elettrica gestita da Terna SPA.

La potenza massima del generatore, pari a quella immessa in rete sarà pari a 19.021 kVA convertita in corrente alternata mediante l'uso di 10 convertitori statici (inverters).

L'energia generata in uscita dagli inverters sarà distribuita all'interno dell'impianto ad un livello di tensione pari a 20KV previa trasformazione mediante n° 10 cabine di campo le quali avranno la funzione di raggruppare e parallelare diversi inverters e innalzare il livello di tensione sino a 20 kV. La cabina di raccolta avrà la funzione di "collettore "di tutta la potenza prodotta e di stazione di avvio dell'elettrodotto MT che, installato su cavidotto interrato, raggiungerà la stazione di elevazione utente. Al fine di rendere la potenza generata fruibile alla distribuzione sarà necessario elevare la tensione fino a 150 kV, da qui la necessità di predisporre un'area apposita per la costruzione di una nuova Stazione di Elevazione Utente (SEU), nella quale alloggi 1 trasformatore di elevazione 150/20 kV.

La linea in uscita dalla SEU di Proprietà del Produttore verrà collegata alla Stazione di Elevazione Utente (SEU) di Proprietà delle Società Sinergia EGP2 e Sinergia EGP3 (già autorizzato) e l'elettrodotto di connessione (già autorizzato) sarà quindi condiviso tra le Società e consisterà in un cavidotto interrato a 150 kV che conetterà la SEU alla Stazione Elettrica di proprietà TERNA SPA (SSE).

L'impianto è sito nel comune di Sessa Aurunca in località Maiano, mentre la Stazione di Elevazione Utente in Alta Tensione è sita in località Magnoli sempre nel comune di Sessa Aurunca.

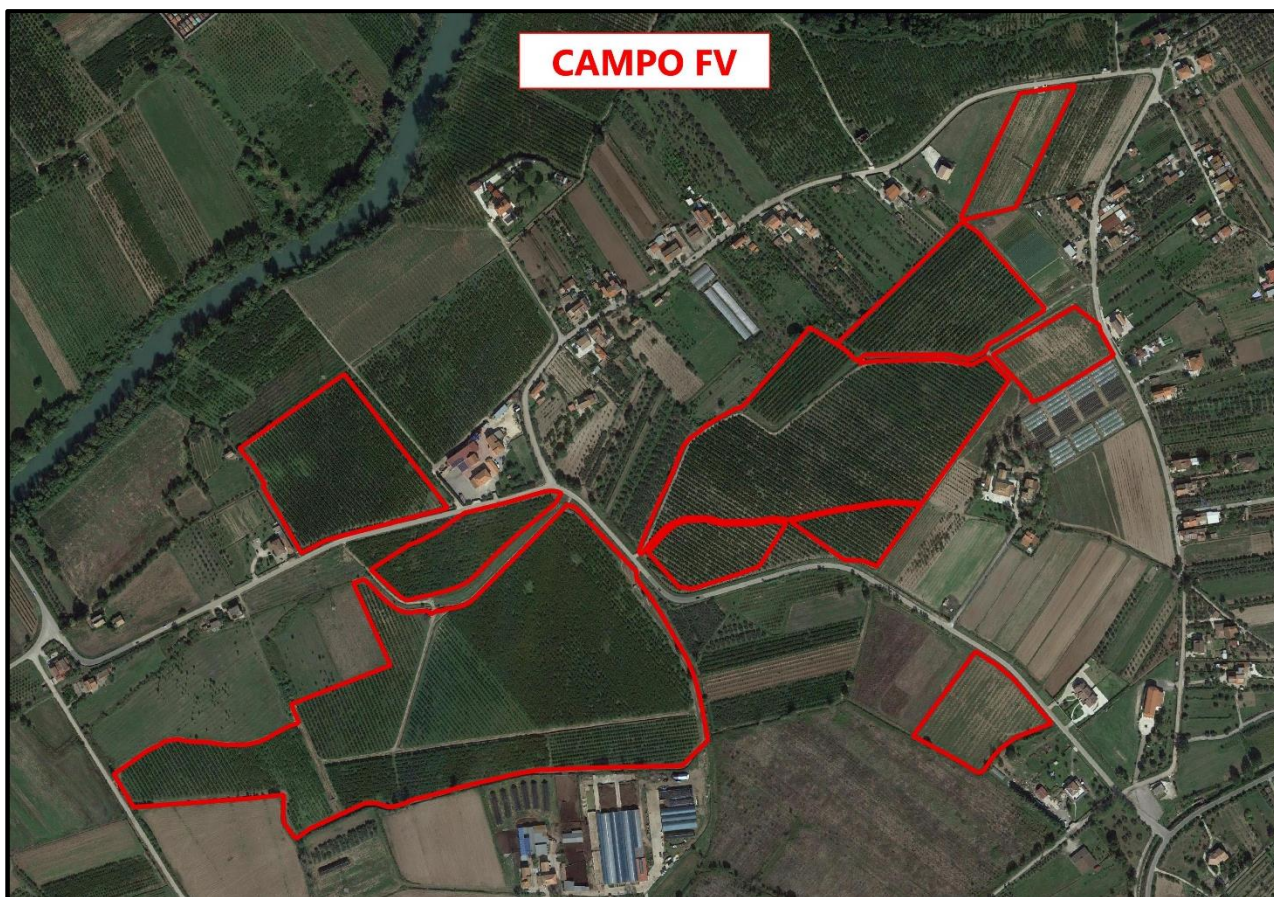


Figura 1- Inquadramento su ortofoto, in rosso si evidenzia il campo FV oggetto di studio

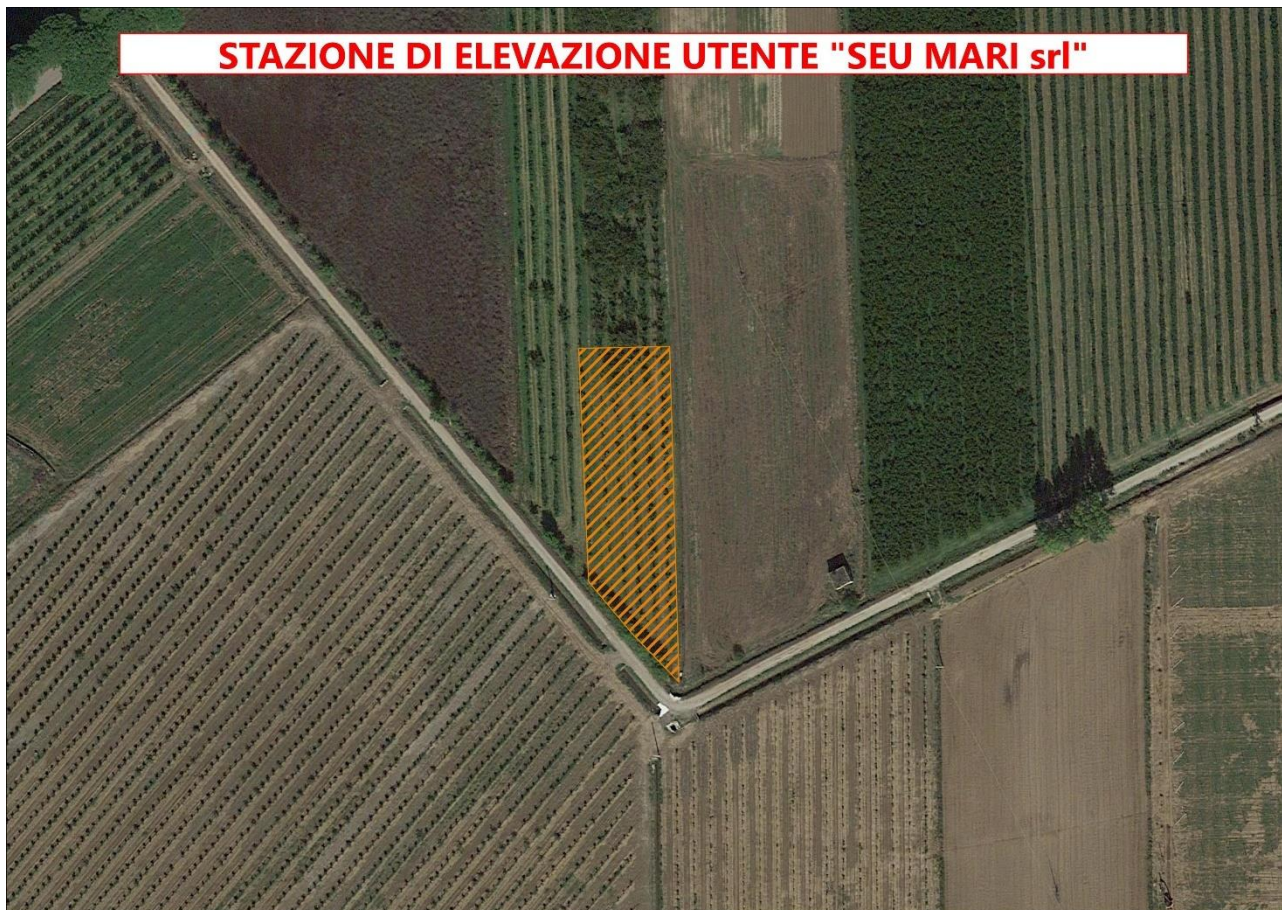


Figura 2- Inquadramento su ortofoto, in giallo si evidenzia la Stazione di Elevazione Utente

1. CARATTERISTICHE GEOMETRICHE, FUNZIONALI E COSTRUTTIVE

Il "MODULO STANDARD" utilizzato in questo campo è costituito da una struttura in elevazione in acciaio TIPO TRACKER DI SUPPORTO MODULI FOTOVOLTAICI TILT +/- 55° ancorata al suolo tramite PALI (PROFILI) battuti nel terreno per circa 3 mt, come in figura, collegati superiormente da profilato HEA 300 sul quale poggiano, attraverso travi del tipo scatolare di sezione 200x200x10, i moduli fotovoltaici.

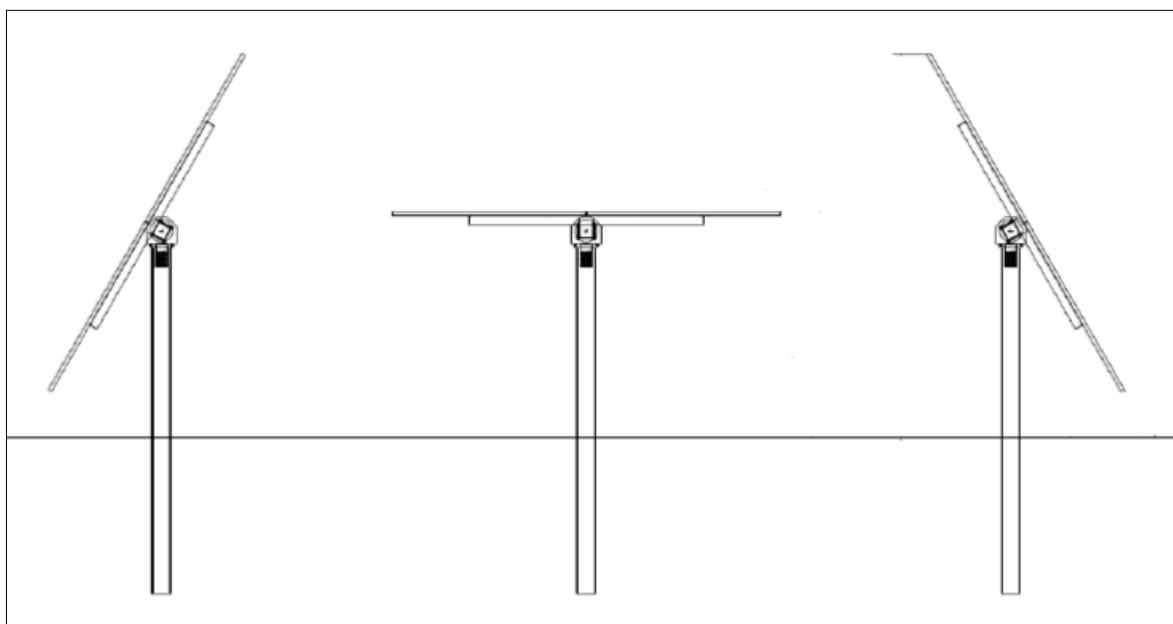



Figura 3 - Schema struttura - sezione

La struttura di sostegno del tipo mobile ad inseguitore solare monoassiale, o tracker, utilizza dispositivi elettromeccanici, che gli consentono di seguire il sole durante tutto il giorno da Est a Ovest sull'asse di rotazione orizzontale Nord-Sud (inclinazione 0°). I layout di campo con inseguitori monoasse orizzontali sono molto flessibili. La semplice geometria permette di mantenere tutti gli assi di rotazione paralleli l'uno all'altro in modo da posizionare opportunamente i tracker l'uno

	Relazione sulle strutture	Codice Elaborato: C_023_DEF_RS_03
	Progettazione di un impianto agrofotovoltaico di potenza complessiva 19.021 KW e di tutte le opere ed infrastrutture connesse, nel comune di Sessa Aurunca.	Data: 11/2021

rispetto all'altro. Il modello di inseguitore solare scelto per il progetto in premessa è dell'azienda SB SOLAR.

2. NORMATIVA DI RIFERIMENTO

Le fasi di analisi e verifica delle strutture saranno condotte in accordo alle seguenti disposizioni normative per quanto applicabili in relazione al criterio di calcolo adottato dal progettista, evidenziato nel prosieguo della presente relazione:

Legge 5 novembre 1971 n. 1086 (G.U. 21 dicembre 1971 n. 321) "Norme per la disciplina delle opere di conglomerato cementizio armato, normale e precompresso ed a struttura metallica".


➤ Legge 2 febbraio 1974 n. 64 (G.U. 21 marzo 1974 n. 76) "Provvedimenti per le costruzioni con particolari prescrizioni per le zone sismiche". Indicazioni progettive per le nuove costruzioni in zone sismiche a cura del Ministero per la Ricerca scientifica - Roma 1981.

➤ D. M. Infrastrutture Trasporti 17/01/2018 (G.U. 20/02/2018 n. 42 - Suppl. Ord. n. 8) "Aggiornamento delle Norme tecniche per le Costruzioni".

Inoltre, in mancanza di specifiche indicazioni, ad integrazione della norma precedente e per quanto con esse non in contrasto, sono state utilizzate le indicazioni contenute nelle seguenti norme:

➤ Circolare 21 gennaio 2019, n. 7 C.S.LL.PP. (G.U. Serie Generale n. 35 del 11/02/2019 - Suppl. Ord. n. Istruzioni per l'applicazione dell'«Aggiornamento delle "Norme tecniche per le costruzioni"» di cui al decreto ministeriale 17 gennaio 2018.

➤ Eurocodice 3 - "Progettazione delle strutture in acciaio" - EN 1993-1-1.

	Relazione sulle strutture	Codice Elaborato: C_023_DEF_RS_03
	Progettazione di un impianto agro-fotovoltaico di potenza complessiva 19.021 KW e di tutte le opere ed infrastrutture connesse, nel comune di Sessa Aurunca.	Data: 11/2021

3. CARATTERISTICHE STRUTTURALI

L'intera struttura è realizzata completamente in acciaio ed è caratterizzata da 3 pilastri centrali (ove è posizionato il rotore) di sezione HEA 300, posti ad interasse 5,71 m con due sbalzi laterali da 1,80 m.

Il sistema di fondazione sarà realizzato mediante pali infissi costituiti da profili in acciaio trafilato a caldo del tipo HEA300 infissi per 3,00 nel piano di campagna, allineati in gruppi di tre, che costituiranno la base di appoggio della trave scatolare posta a quota 1.50m (dotata di sistema di rotazione comandato da sensori di luminosità – tracking) a cui sono collegate le traverse costituite da travi omega e che, a loro volta costituiranno la base di appoggio per una singola fila di pannelli fotovoltaici.

Gli inseguitori solari consentiranno ai pannelli fotovoltaici di raggiungere angoli da -55° gradi a +55° rispetto all'orizzonte. La configurazione da noi opzionata è la vela doppia da 30 moduli ancorata tramite palo battuto.

Vengono riportate di seguito due viste, allo scopo di consentire una migliore comprensione della struttura oggetto della presente relazione:

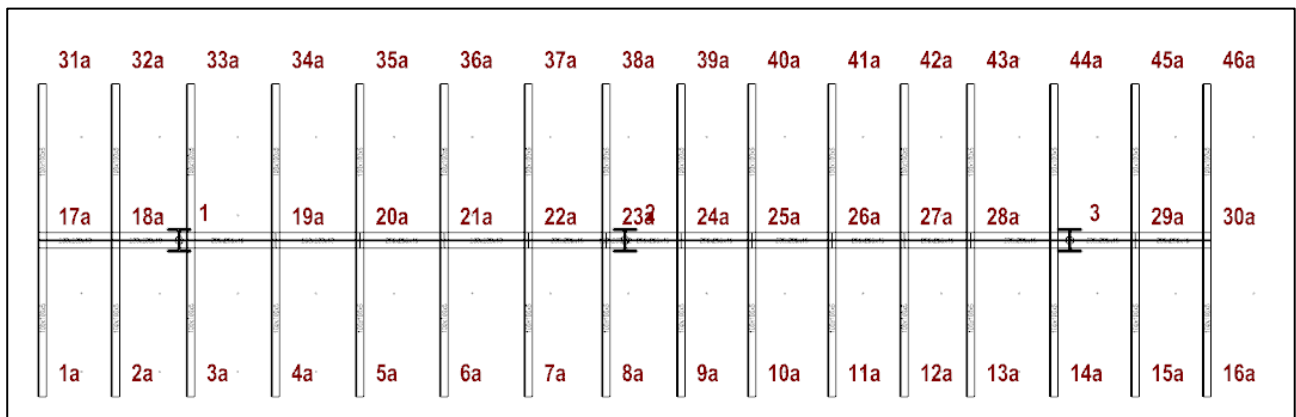



Figura 4 – Pianta

	Relazione sulle strutture	Codice Elaborato: C_023_DEF_RS_03
	Progettazione di un impianto agro-fotovoltaico di potenza complessiva 19.021 KW e di tutte le opere ed infrastrutture connesse, nel comune di Sessa Aurunca.	Data: 11/2021

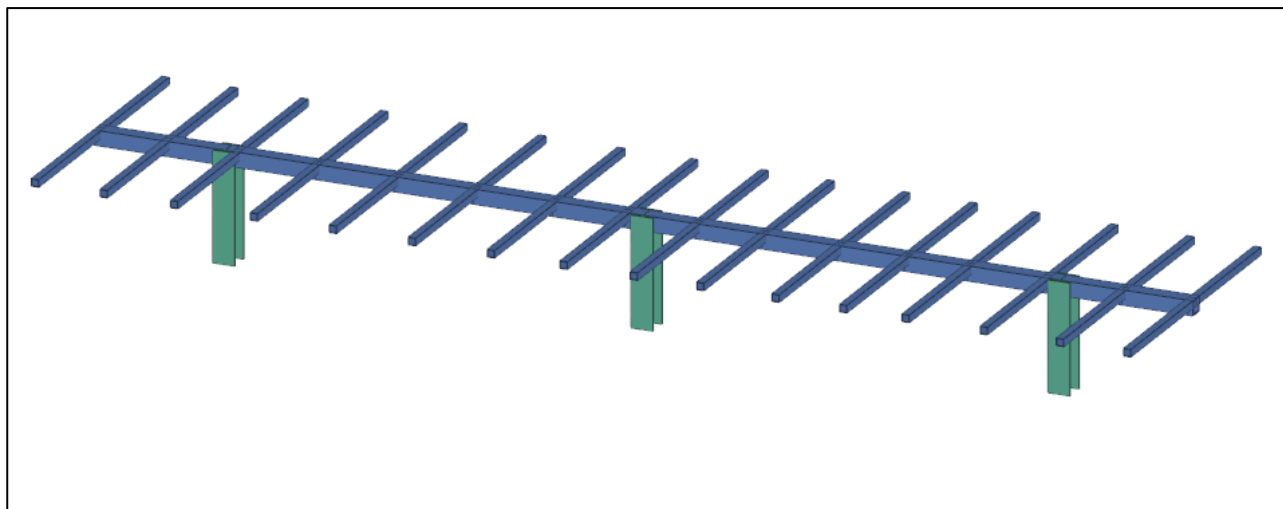


Figura 5 - Vista assonometrica

3.1. Materiali impiegati e resistenze di calcolo

Tutti i materiali strutturali impiegati devono essere muniti di marcatura "CE", ed essere conformi alle prescrizioni del "REGOLAMENTO (UE) N. 305/2011 DEL PARLAMENTO EUROPEO E DEL CONSIGLIO del 9 marzo 2011", in merito ai prodotti da costruzione.

Per la realizzazione dell'opera in oggetto sarà impiegato l'acciaio strutturale S235 le cui caratteristiche specifiche saranno riportate nei Tabulati di calcolo allegati alla presente relazione.

Tutti i materiali impiegati dovranno essere comunque verificati con opportune prove di laboratorio secondo le prescrizioni della vigente Normativa.

I diagrammi costitutivi dell'acciaio sono stati adottati in conformità alle indicazioni riportate al §4.1.2.1.2.2 del D.M. 2018; in particolare è adottato il modello elastico perfettamente plastico tipo (b) rappresentato nella figura sulla destra. La resistenza di calcolo è data da f_{yk}/γ_s . Il coefficiente di sicurezza γ_s si assume pari a 1,15.

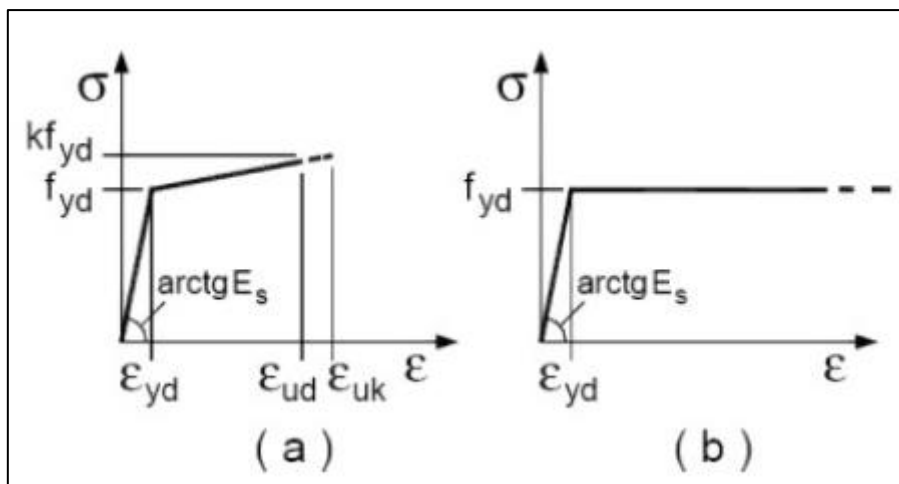


Figura 6 - Diagrammi costitutivi acciaio


3.2. Analisi dei carichi

Un'accurata valutazione dei carichi è un requisito imprescindibile di una corretta progettazione, in particolare per le costruzioni realizzate in zona sismica. Essa, infatti, è fondamentale ai fini della determinazione delle forze sismiche, in quanto incide sulla valutazione delle masse e dei periodi propri della struttura dai quali dipendono i valori delle accelerazioni (ordinate degli spettri di progetto).

La valutazione dei carichi e dei sovraccarichi è stata effettuata in accordo con le disposizioni del punto 3.1 del D.M. 2018. In particolare, è stato fatto utile riferimento alle Tabelle 3.1. I e 3.1.II del D.M. 2018, per i pesi propri dei materiali e per la quantificazione e classificazione dei sovraccarichi.

La valutazione dei carichi permanenti è stata effettuata sulle dimensioni definitive degli elementi strutturali, nonché sul peso dei pannelli, sull'azione del vento e sul carico della neve. Ciascuno di questi carichi corrisponde ad una azione di tipo superficiale. Nella modellazione effettuata si è tenuto conto dei:

- Pesi permanenti non strutturali (PP pannelli)

	Relazione sulle strutture	Codice Elaborato: C_023_DEF_RS_03
	Progettazione di un impianto agrofotovoltaico di potenza complessiva 19.021 KW e di tutte le opere ed infrastrutture connesse, nel comune di Sessa Aurunca.	Data: 11/2021

- Carico Neve
- Carico vento

3.3. Valutazione dell'azione sismica

Nei riguardi dell'azione sismica l'obiettivo è il controllo del livello di danneggiamento della costruzione a fronte dei terremoti che possono verificarsi nel sito di costruzione. In base al D.M. 17/01/2018, l'azione sismica sulle costruzioni è valutata a partire da una "pericolosità sismica di base", in condizioni ideali di sito di riferimento rigido con superficie topografica orizzontale (di categoria A nelle NTC).


La pericolosità sismica in un generico sito è valutata:

- in termini di valori di accelerazione orizzontale massima a_g e dei parametri che permettono di definire gli spettri di risposta ai sensi delle NTC, nelle condizioni di sito di riferimento rigido orizzontale;
- in corrispondenza dei punti di un reticolo (reticolo di riferimento) i cui nodi sono sufficientemente vicini fra loro (non distano più di 10 km);
- per diverse probabilità di superamento in 50 anni e/o diversi periodi di ritorno T_R ricadenti in un intervallo di riferimento compreso almeno tra 30 e 2475 anni, estremi inclusi.

L'azione sismica così individuata viene successivamente variata per tener conto delle modifiche prodotte dalle condizioni locali stratigrafiche del sottosuolo effettivamente presente nel sito di costruzione e dalla morfologia della superficie. Tali modifiche caratterizzano la risposta sismica locale.

Le azioni di progetto si ricavano dalle accelerazioni a_g e dalle relative forme spettrali. Le forme spettrali previste dalle NTC sono definite, su sito di riferimento rigido orizzontale, in funzione dei tre parametri:

- a_g accelerazione orizzontale massima del terreno;

	Relazione sulle strutture	Codice Elaborato: C_023_DEF_RS_03
	Progettazione di un impianto agro-fotovoltaico di potenza complessiva 19.021 KW e di tutte le opere ed infrastrutture connesse, nel comune di Sessa Aurunca.	Data: 11/2021

- F_0 valore massimo del fattore di amplificazione dello spettro in accelerazione orizzontale;
- T^*_C periodo di inizio del tratto a velocità costante dello spettro in accelerazione orizzontale.

Le forme spettrali previste dalle NTC sono caratterizzate da prescelte probabilità di superamento e vite di riferimento. A tal fine occorre fissare


- la vita di riferimento V_R della costruzione,
- le probabilità di superamento nella vita di riferimento P_{VR} associate a ciascuno degli stati limite considerati, per individuare infine, a partire dai dati di pericolosità sismica disponibili, le corrispondenti azioni sismiche.

I dati così calcolati sono stati utilizzati per determinare gli Spettri di Progetto nelle verifiche agli Stati Limite considerate.

Si riportano di seguito le coordinate geografiche del sito rispetto al Datum ED50:

Latitudine	41.278889
Longitudine	13.843333

- classe d'uso: Classe II (Punto 2.4.2 del D.M. 17/01/2018);
- vita nominale 50 anni (Punto 2.4.1 del D.M. 17/01/2018);
- categoria di suolo: B;
- categoria topografica: T1 (Tabella 3.2.III del D.M. 17/01/2018);
- coefficiente di condizione topografica: 1,0 (Tabella 3.2.V del D.M. 17/01/2018).

	Relazione sulle strutture	Codice Elaborato: C_023_DEF_RS_03
	Progettazione di un impianto agrofotovoltaico di potenza complessiva 19.021 KW e di tutte le opere ed infrastrutture connesse, nel comune di Sessa Aurunca.	Data: 11/2021

3.4. Verifiche di regolarità

Sia per la scelta del metodo di calcolo, sia per la valutazione del fattore di comportamento adottato, deve essere effettuato il controllo della regolarità della struttura. La tabella seguente riepiloga, per la struttura in esame, le condizioni di regolarità in pianta ed in altezza soddisfatte.

Tabella 1 - Verifiche di regolarità


<p>Regolarità della Struttura in Pianta</p> <p><input checked="" type="checkbox"/> a) la configurazione in pianta è compatta ossia la distribuzione di masse e rigidzze è approssimativamente simmetrica rispetto a due direzioni ortogonali e il contorno di ogni orizzontamento è convesso; il requisito può ritenersi soddisfatto, anche in presenza di rientranze in pianta, quando esse non influenzano significativamente la rigidzza nel piano dell'orizzontamento e, per ogni rientranza, l'area compresa tra il perimetro dell'orizzontamento e la linea convessa circoscritta all'orizzontamento non supera il 5% dell'area dell'orizzontamento;</p> <p><input checked="" type="checkbox"/> b) il rapporto tra i lati del rettangolo circoscritto alla pianta di ogni orizzontamento è inferiore a 4;</p> <p><input checked="" type="checkbox"/> c) ciascun orizzontamento ha una rigidzza nel proprio piano tanto maggiore della corrispondente rigidzza degli elementi strutturali verticali da potersi assumere che la sua deformazione in pianta influenzi in modo trascurabile la distribuzione delle azioni sismiche tra questi ultimi e ha resistenza sufficiente a garantire l'efficacia di tale distribuzione;</p> <p>Regolarità della Struttura in Altezza</p> <p><input checked="" type="checkbox"/> d) tutti i sistemi resistenti alle azioni orizzontali si estendono per tutta l'altezza della costruzione o, se sono presenti parti aventi differenti altezze, fino alla sommità della rispettiva parte dell'edificio;</p> <p><input checked="" type="checkbox"/> e) massa e rigidzza rimangono costanti o variano gradualmente, senza bruschi cambiamenti, dalla base alla sommità della costruzione (le variazioni di massa da un orizzontamento all'altro non superano il 25%, la rigidzza non si riduce da un orizzontamento a quello sovrastante più del 30% e non aumenta più del 10%); ai fini della rigidzza si possono considerare regolari in altezza strutture dotate di pareti o nuclei in c.a. o di pareti e nuclei in muratura di sezione costante sull'altezza o di telai controventati in acciaio, ai quali sia affidato almeno il 50% dell'azione sismica alla base;</p> <p><input checked="" type="checkbox"/> f) nelle strutture intelaiate, il rapporto tra la capacità e la domanda allo SLV non è significativamente diverso, in termini di resistenza, per orizzontamenti diversi (tale rapporto, calcolato per un generico orizzontamento, non deve differire più del 30% dall'analogo rapporto calcolato per l'orizzontamento adiacente); può fare eccezione l'ultimo orizzontamento di strutture intelaiate di almeno tre orizzontamenti;</p> <p><input checked="" type="checkbox"/> g) eventuali restringimenti della sezione orizzontale della costruzione avvengano con continuità da un orizzontamento al successivo; oppure avvengano in modo che il rientro di un orizzontamento non superi il 10% della dimensione corrispondente all'orizzontamento immediatamente sottostante, né il 30% della dimensione corrispondente al primo orizzontamento. Fa eccezione l'ultimo orizzontamento di costruzioni di almeno quattro orizzontamenti, per il quale non sono previste limitazioni di restringimento;</p>

La rigidzza è calcolata come rapporto fra il taglio complessivamente agente al piano e δ , spostamento relativo di piano (il taglio di piano è la sommatoria delle azioni orizzontali agenti al di sopra del piano considerato). I valori calcolati ed utilizzati per le verifiche sono riportati nei "Tabulati di calcolo" nella relativa sezione.

3.5. Classe di duttilità

La classe di duttilità è rappresentativa della capacità dell'edificio di dissipare energia in campo anelastico per azioni cicliche ripetute. Deformazioni anelastiche devono essere distribuite nel maggior numero di elementi duttili, in particolare nelle travi, salvaguardando in tal modo i pilastri e soprattutto i nodi travi pilastro che sono gli elementi più fragili. Il D.M. 2018 definisce due tipi di comportamento strutturale:

- a)** comportamento strutturale non-dissipativo;
- b)** comportamento strutturale dissipativo.

	Relazione sulle strutture	Codice Elaborato: C_023_DEF_RS_03
	Progettazione di un impianto agrofotovoltaico di potenza complessiva 19.021 KW e di tutte le opere ed infrastrutture connesse, nel comune di Sessa Aurunca.	Data: 11/2021

Per strutture con comportamento strutturale dissipativo si distinguono due livelli di Capacità Dissipativa o Classi di Duttilità (CD).

- CD “A” (Alta);
- CD “B” (Media).

La differenza tra le due classi risiede nell’entità delle plasticizzazioni cui ci si riconduce in fase di progettazione; per ambedue le classi, onde assicurare alla struttura un comportamento dissipativo e duttile evitando rotture fragili e la formazione di meccanismi instabili imprevisti, si fa ricorso ai procedimenti tipici della gerarchia delle resistenze.

La struttura in esame è stata progettata in classe di duttilità "MEDIA" (CD"B").

3.6. Spettri di progetto

La struttura in esame è stata progettata per una Vita Nominale pari a 50 e per Classe d’Uso pari a 2. In base alle indagini geognostiche effettuate si è classificato il suolo di fondazione di categoria B. In base ai parametri analizzati si è effettuata la costruzione degli spettri di risposta orizzontale e verticale:

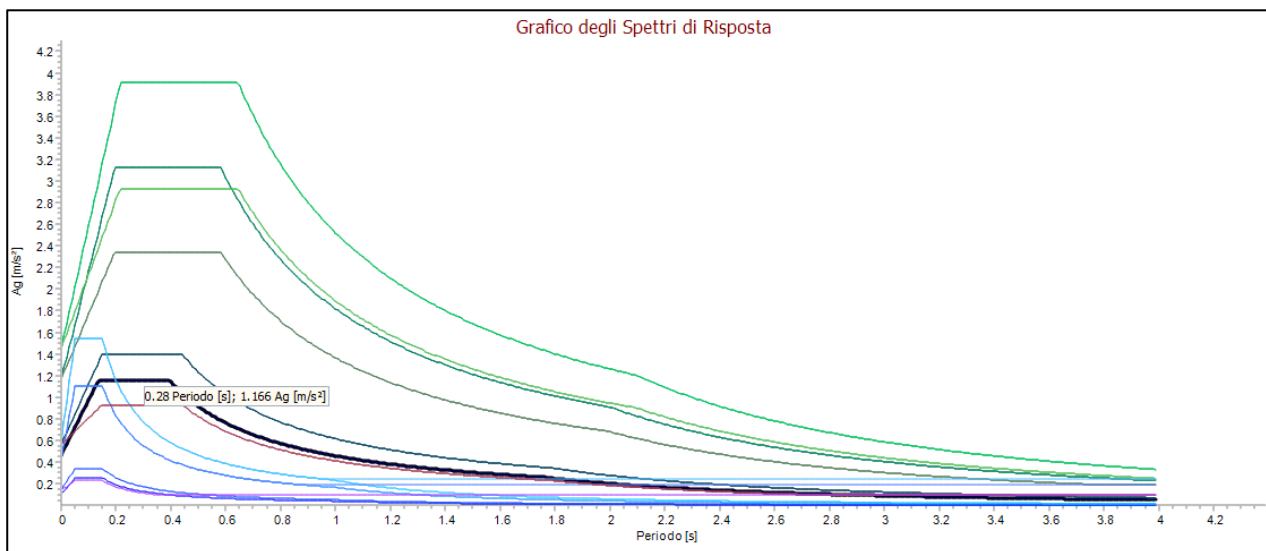


Figura 7 - Spettri di risposta








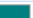







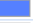






	Relazione sulle strutture Progettazione di un impianto agro-fotovoltaico di potenza complessiva 19.021 KW e di tutte le opere ed infrastrutture connesse, nel comune di Sessa Aurunca.	Codice Elaborato: C_023_DEF_RS_03
		Data: 11/2021

Tabella 2 - Legenda spettri di risposta

	Tipologia	SL	Direz	
<input checked="" type="checkbox"/>	Spettro Elastico	SLO	X	
<input checked="" type="checkbox"/>	Spettro Elastico	SLO	Y	
<input checked="" type="checkbox"/>	Spettro Elastico	SLO	Z	
<input checked="" type="checkbox"/>	Spettro Elastico	SLD	X	
<input checked="" type="checkbox"/>	Spettro Elastico	SLD	Y	
<input checked="" type="checkbox"/>	Spettro Elastico	SLD	Z	
<input checked="" type="checkbox"/>	Spettro Elastico	SLV	X	
<input checked="" type="checkbox"/>	Spettro Elastico	SLV	Y	

	Tipologia	SL	Direz	
<input checked="" type="checkbox"/>	Spettro Elastico	SLV	Z	
<input checked="" type="checkbox"/>	Spettro Elastico	SLC	X	
<input checked="" type="checkbox"/>	Spettro Elastico	SLC	Y	
<input checked="" type="checkbox"/>	Spettro Elastico	SLC	Z	
<input checked="" type="checkbox"/>	Spettro Progetto	SLV	X	

	Tipologia	SL	Direz	
<input checked="" type="checkbox"/>	Spettro Progetto	SLV	Y	
<input checked="" type="checkbox"/>	Spettro Progetto	SLV	Z	
<input checked="" type="checkbox"/>	Spettro Progetto	SLC	X	
<input checked="" type="checkbox"/>	Spettro Progetto	SLC	Y	
<input checked="" type="checkbox"/>	Spettro Progetto	SLC	Z	
<input checked="" type="checkbox"/>	Spettro Verifiche	SLD	X	
<input checked="" type="checkbox"/>	Spettro Verifiche	SLD	Y	
<input checked="" type="checkbox"/>	Spettro Verifiche	SLD	Z	

3.7. Azione della neve


Il carico della neve sulle opere di copertura è stato valutato secondo il punto 3.4 del D.M. 17/01/2018, in base alla seguente relazione:

$$q_s = \mu_i q_{sk} C_E C_T$$

dove:

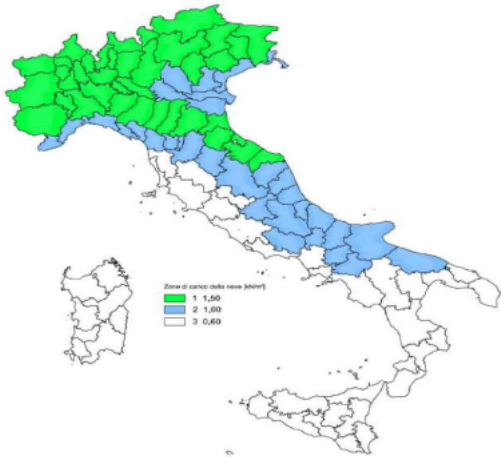
- q_{sk} è il valore di riferimento del carico della neve al suolo;
- μ_i è il coefficiente di forma della copertura;
- C_E è il coefficiente di esposizione;
- C_T è il coefficiente termico.

Per quanto riguarda il carico della neve al suolo, la Provincia di Caserta è posta in zona III.

	Relazione sulle strutture	Codice Elaborato: C_023_DEF_RS_03
	Progettazione di un impianto agrofotovoltaico di potenza complessiva 19.021 KW e di tutte le opere ed infrastrutture connesse, nel comune di Sessa Aurunca.	Data: 11/2021

Valori di riferimento del carico della neve al suolo, q_{sk} (cfr. §3.4.2 D.M. 2018)

Zona	$a_s \leq 200$ m	$a_s > 200$ m
I - Alpina	$q_{sk} = 1,50 \text{ kN/m}^2$	$q_{sk} = 1,39 [1+(a_s/728)^2] \text{ kN/m}^2$
I - Mediterranea	$q_{sk} = 1,50 \text{ kN/m}^2$	$q_{sk} = 1,35 [1+(a_s/602)^2] \text{ kN/m}^2$
II	$q_{sk} = 1,00 \text{ kN/m}^2$	$q_{sk} = 0,85 [1+(a_s/481)^2] \text{ kN/m}^2$
III	$q_{sk} = 0,60 \text{ kN/m}^2$	$q_{sk} = 0,51 [1+(a_s/481)^2] \text{ kN/m}^2$

Zone di carico della neve	
	<p>I - Alpina: Aosta, Belluno, Bergamo, Biella, Bolzano, Brescia, Como, Cuneo, Lecco, Pordenone, Sondrio, Torino, Trento, Udine, Verbano-Cusio-Ossola, Vercelli, Vicenza</p> <p>I - Mediterranea: Alessandria, Ancona, Asti, Bologna, Cremona, Forlì-Cesena, Lodi, Milano, Modena, Monza Brianza, Novara, Parma, Pavia, Pesaro e Urbino, Piacenza, Ravenna, Reggio Emilia, Rimini, Treviso, Varese</p> <p>II: Arezzo, Ascoli Piceno, Avellino, Bari, Barletta-Andria-Trani, Benevento, Campobasso, Chieti, Fermo, Ferrara, Firenze, Foggia, Frosinone, Genova, Gorizia, Imperia, Isernia, L'Aquila, La Spezia, Lucca, Macerata, Mantova, Massa Carrara, Padova, Perugia, Pescara, Pistoia, Prato, Rieti, Rovigo, Savona, Teramo, Trieste, Venezia, Verona</p> <p>III: Agrigento, Brindisi, Cagliari, Caltanissetta, Carbonia-Iglesias, Caserta, Catania, Catanzaro, Cosenza, Crotone, Enna, Grosseto, Latina, Lecce, Livorno, Matera, Medio Campidano, Messina, Napoli, Nuoro, Ogliastra, Olbia-Tempio, Oristano, Palermo, Pisa, Potenza, Ragusa, Reggio Calabria, Roma, Salerno, Sassari, Siena, Siracusa, Taranto, Terni, Trapani, Vibo Valentia, Viterbo</p>

Mappa delle zone di carico della neve


Figura 8 - Mappa delle zone di carico della neve

Poiché il sito dove verrà realizzata l'opera si trova a circa 45 m sul livello del mare, si assume:

$$q_{sk} = 0,60 \text{ kN/m}^2$$

Il coefficiente CE, a vantaggio di sicurezza, secondo le disposizioni della tabella 3.4.I, è stato posto pari a 1.

Il coefficiente termico CT, secondo le disposizioni al punto 3.4.4, poiché si è in assenza di uno specifico e documentato studio, è stato posto pari a 1.

	Relazione sulle strutture	Codice Elaborato: C_023_DEF_RS_03
	Progettazione di un impianto agro-fotovoltaico di potenza complessiva 19.021 KW e di tutte le opere ed infrastrutture connesse, nel comune di Sessa Aurunca.	Data: 11/2021

3.8. Azione del vento

Le azioni del vento sono state determinate in conformità al par. 3.3 del D.M. 17/01/18 e della Circolare del Ministero delle Infrastrutture e dei Trasporti del 21 gennaio 2019 n. 7. Il vento, la cui direzione si considera generalmente orizzontale, esercita sulle costruzioni azioni che variano nel tempo e nello spazio provocando, in generale, effetti dinamici. Per le costruzioni usuali tali azioni sono convenzionalmente ricondotte a delle forze statiche equivalenti, calcolate come di seguito si riporta.

Le azioni statiche del vento sono costituite da pressioni e depressioni agenti normalmente alle superfici, sia esterne che interne, degli elementi che compongono la costruzione. L'azione del vento sul singolo elemento viene determinata considerando la combinazione più gravosa della pressione agente sulla superficie esterna e della pressione agente sulla superficie interna dell'elemento.


L'azione d'insieme esercitata dal vento su una costruzione è data dalla risultante delle azioni sui singoli elementi, considerando come direzione del vento, quella corrispondente ad uno degli assi principali della pianta della costruzione.

La pressione del vento è data dalla seguente espressione:

$$p = q_r c_e c_p c_d$$

dove:

- q_r è la pressione cinetica di riferimento, valutata secondo il punto 3.3.6 del D.M. 17/01/2018;
- c_e è il coefficiente di esposizione, valutata secondo il punto 3.3.7 del D.M. 17/01/2018;
- c_p è il coefficiente di pressione, funzione della tipologia e della geometria della costruzione e del suo orientamento rispetto alla direzione del vento. Il suo valore può

	Relazione sulle strutture	Codice Elaborato: C_023_DEF_RS_03
	Progettazione di un impianto agrofotovoltaico di potenza complessiva 19.021 KW e di tutte le opere ed infrastrutture connesse, nel comune di Sessa Aurunca.	Data: 11/2021

essere ricavato da dati suffragati da opportuna documentazione o da prove sperimentali in galleria del vento;

- c_d è il coefficiente dinamico con cui si tiene conto degli effetti riduttivi associati alla non contemporaneità delle massime pressioni locali e degli effetti amplificativi dovuti alle vibrazioni strutturali, valutato secondo il punto 3.3.9. del DM 2018.

La pressione cinetica di riferimento q_r (in N/m^2) è data dall'espressione:

$$q_r = \frac{1}{2} \cdot \rho \cdot v_r^2$$

nella quale v_r è la velocità di riferimento del vento (in m/s).

La velocità di riferimento v_r è riferita al periodo di ritorno di progetto.

$$v_r = v_b \cdot c_r$$

Dove

- v_b è la velocità base di riferimento di cui al par. 3.3.1 del D.M. 17/01/2018;
- c_r è il coefficiente di ritorno funzione del periodo di ritorno T_R , in mancanza di specifiche indagini, è deducibile dalla seguente relazione:


$$c_r = 0.75 \sqrt{1 - 0.2 \cdot \ln \left[-\ln \left(1 - \frac{1}{T_R} \right) \right]}$$

La velocità di base di riferimento v_b è il valore medio su 10 minuti, misurata a 10 m dal suolo su un terreno con categoria di esposizione II, riferito ad un periodo di ritorno di 50 anni. In mancanza di adeguate indagini statistiche è data dall'espressione

$$v_b = v_{b,0} \cdot c_a$$

Dove

- $v_{b,0}$ è la velocità base al livello del mare, assegnata nella tab. 3.3.I del D.M. 17/01/2018 in funzione della zona della zona in cui sorge la costruzione;

	Relazione sulle strutture	Codice Elaborato: C_023_DEF_RS_03
	Progettazione di un impianto agro-fotovoltaico di potenza complessiva 19.021 KW e di tutte le opere ed infrastrutture connesse, nel comune di Sessa Aurunca.	Data: 11/2021

- c_a è il coefficiente di altitudine fornito dalla seguente relazione

$$c_a = 1 \text{ per } a_s \leq a_0$$

$$c_a = 1 + k_a (a_s/a_0 - 1) \text{ per } a_0 < a_s < 1500 \text{ m}$$

dove:

a_0 , k_a sono riportati nella tabella tab. 3.3.I del D.M. 17/01/2018 in funzione della zona

ove sorge la costruzione; a_s è l'altitudine sul livello del mare (in m s.l.m.) del sito ove sorge la costruzione.

Nel caso in esame la zona di riferimento ha un'altitudine a_s inferiore a 110 m s.l.m. e ricade all'interno della zona 3; per cui risulta:

- $v_{b,0} = 27 \text{ m/s}$
- $a_0 = 500 \text{ m}$
- $k_a = 0,37$.

Pertanto la velocità del vento associata al periodo di ritorno di progetto $T_r = 50$ anni, per l'altezza del sito esaminato è pari a:

$$v_r = 27 \text{ m/s}$$


La pressione cinetica di riferimento q_r pertanto è pari a 456 N/m^2 .

Nota la pressione cinetica, il coefficiente di esposizione è stato calcolato tramite la formula che segue:

$$c_e(z) = k_r^2 c_t \ln(z/z_0) [7 + c_t \ln(z/z_0)] \quad \text{per } z \geq z_{\min}$$

$$c_e(z) = c_e(z_{\min}) \quad \text{per } z < z_{\min}$$

Dove k_r , z_0 e z_{\min} sono forniti da tabelle presenti in normativa e sono legate alla categoria del sito dove sorge la costruzione; mentre il valore di c_t è il coefficiente di topografia assunto normalmente pari ad 1.

	Relazione sulle strutture	Codice Elaborato: C_023_DEF_RS_03
	Progettazione di un impianto agrofotovoltaico di potenza complessiva 19.021 KW e di tutte le opere ed infrastrutture connesse, nel comune di Sessa Aurunca.	Data: 11/2021

3.9. Verifiche strutturali agli SLU e agli SLE

La sicurezza e le prestazioni saranno garantite verificando gli opportuni stati limiti in funzione dell'utilizzo della struttura, della sua vita nominale e di quanto stabilito dalle norme di cui al D.M. 14.01.2008. Gli stati limite analizzati sono:

- Stati limite ultimi (SLU): Gli stati limite ultimi (SLU) possono provocare eccessive deformazioni permanenti, crolli parziali o globali, dissesti, che possono compromettere l'incolumità delle persone e/o la perdita di beni, provocare danni ambientali e sociali, mettere fuori servizio l'opera. Per le verifiche sono stati utilizzati i coefficienti parziali relativi alle azioni ed alle resistenze dei materiali in accordo a quanto previsto dal D.M. 14.01.2008 per i vari tipi di materiale. I valori utilizzati sono riportati nei tabulati di calcolo.
- Stati limite di esercizio (SLE): la sicurezza nei riguardi degli stati limite di esercizio (SLE) che possono limitare nell'uso e nella durata l'utilizzo della struttura per le azioni di esercizio. I valori limite, così come definiti nelle norme tecniche, sono riportati nelle tabelle di calcolo.

Secondo quanto previsto dalla normativa le verifiche sono state eseguite nei confronti dei seguenti stati limite:


- SLU di tipo geotecnico (GEO)
 - a)** *collasso per carico limite dell'insieme fondazione-terreno*
 - b)** *collasso per scorrimento sul piano di posa*
- SLU di tipo strutturale (STR)
 - raggiungimento della resistenza negli elementi strutturali, accertando per ogni stato limite considerato la sollecitazione agente sia minore o al più uguale a quella resistente.

Si possono adottare due diversi approcci progettuali:

Approccio 1:

Combinazione 1: (A1+M1+R1)

Combinazione 2: (A2+M2+R2)

	Relazione sulle strutture	Codice Elaborato: C_023_DEF_RS_03
	Progettazione di un impianto agro-fotovoltaico di potenza complessiva 19.021 KW e di tutte le opere ed infrastrutture connesse, nel comune di Sessa Aurunca.	Data: 11/2021

La combinazione 1 è generalmente più severa nei confronti del dimensionamento strutturale delle opere a contatto con il terreno, mentre la seconda combinazione è generalmente più severa nei riguardi del dimensionamento geotecnico.

Approccio 2:

Un'unica combinazione (A1+M1+R3).


Per gli stati limite ultimi le verifiche vengono effettuate confrontando la resistenza di progetto (R_d) il valore di progetto dell'effetto delle azioni (E_d), utilizzando il metodo dei coefficienti parziali di sicurezza. I coefficienti parziali di sicurezza, associati ai materiali ed alle azioni, tengono in conto della variabilità delle rispettive grandezze e le incertezze relative alle tolleranze geometriche e alla affidabilità del modello di calcolo.

4. CODICE DI CALCOLO IMPIEGATO

4.1. Denominazione

Tabella 3 - Dati generali codice di calcolo impiegato

Nome del software	EdiLus
Versione	BIM ONE ©
Caratteristiche del Software	Software per il calcolo di strutture agli elementi finiti per Windows
Produzione e Distribuzione	ACCA software S.p.A Contrada Rosole 13 83043 BAGNOLI IRPINO (AV) – Italy Tel. 0827/69504 r.a. - Fax 0827/601235 e-mail: info@acca.it - Internet: www.acca.it

	Relazione sulle strutture	Codice Elaborato: C_023_DEF_RS_03
	Progettazione di un impianto agrofotovoltaico di potenza complessiva 19.021 KW e di tutte le opere ed infrastrutture connesse, nel comune di Sessa Aurunca.	Data: 11/2021

4.2. Sintesi delle funzioni generali

Il pacchetto consente di modellare la struttura, di effettuare il dimensionamento e le verifiche di tutti gli elementi strutturali e di generare gli elaborati grafici esecutivi.

È una procedura integrata dotata di tutte le funzionalità necessarie per consentire il calcolo completo di una struttura mediante il metodo degli elementi finiti (FEM). La modellazione della struttura è realizzata tramite elementi Beam (travi e pilastri) e Shell (platee, pareti, solette, setti, travi-parete).

L'input della struttura avviene per oggetti (travi, pilastri, solai, solette, pareti, etc.) in un ambiente grafico integrato; il modello di calcolo agli elementi finiti, che può essere visualizzato in qualsiasi momento in una apposita finestra, viene generato dinamicamente dal software.


Apposite funzioni consentono la creazione e la manutenzione di archivi Sezioni, Materiali e Carichi; tali archivi sono generali, nel senso che sono creati una tantum e sono pronti per ogni calcolo, potendoli comunque integrare/modificare in ogni momento.

L'utente non può modificare il codice ma soltanto eseguire delle scelte come:

- definire i vincoli di estremità per ciascuna asta (vincoli interni) e gli eventuali vincoli nei nodi (vincoli esterni);
- modificare i parametri necessari alla definizione dell'azione sismica;
- definire condizioni di carico;
- definire gli impalcati come rigidi o meno.

Il programma è dotato di un manuale tecnico ed operativo. L'assistenza è effettuata direttamente dalla casa produttrice, mediante linea telefonica o e-mail.

Il calcolo si basa sul solutore agli elementi finiti MICROSAP prodotto dalla società TESYS srl. La scelta di tale codice è motivata dall'elevata affidabilità dimostrata e dall'ampia documentazione a

	Relazione sulle strutture	Codice Elaborato: C_023_DEF_RS_03
	Progettazione di un impianto agrofotovoltaico di potenza complessiva 19.021 KW e di tutte le opere ed infrastrutture connesse, nel comune di Sessa Aurunca.	Data: 11/2021

disposizione, dalla quale risulta la sostanziale uniformità dei risultati ottenuti su strutture standard con i risultati internazionalmente accettati ed utilizzati come riferimento.

Tutti i risultati del calcolo sono forniti, oltre che in formato numerico, anche in formato grafico permettendo così di evidenziare agevolmente eventuali incongruenze.

Il programma consente la stampa di tutti i dati di input, dei dati del modello strutturale utilizzato, dei risultati del calcolo e delle verifiche dei diagrammi delle sollecitazioni e delle deformate.

4.3. Sistemi di riferimento

4.3.1. Sistema di riferimento globale

Il sistema di riferimento globale, rispetto al quale va riferita l'intera struttura, è costituito da una terna di assi cartesiani sinistrorsa O, X, Y, Z (X, Y, e Z sono disposti e orientati rispettivamente secondo il pollice, l'indice ed il medio della mano destra, una volta posizionati questi ultimi a 90° tra loro).

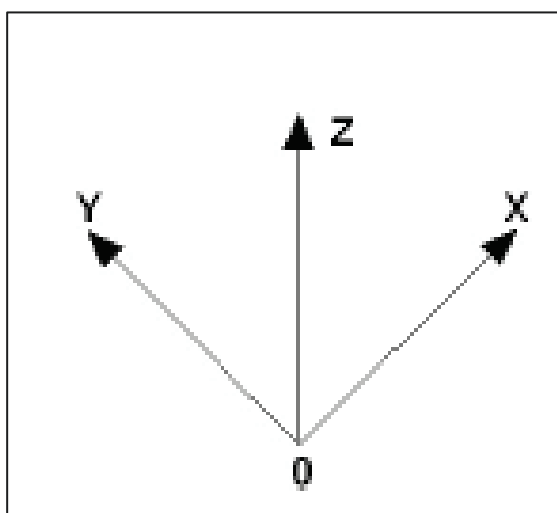



Figura 9 - Sistema di riferimento globale

	Relazione sulle strutture	Codice Elaborato: C_023_DEF_RS_03
	Progettazione di un impianto agrofotovoltaico di potenza complessiva 19.021 KW e di tutte le opere ed infrastrutture connesse, nel comune di Sessa Aurunca.	Data: 11/2021

4.3.2. Sistema di riferimento locale per le travi

L'elemento Trave è un classico elemento strutturale in grado di ricevere Carichi distribuiti e Carichi Nodali applicati ai due nodi di estremità; per effetto di tali carichi nascono, negli estremi, sollecitazioni di taglio, sforzo normale, momenti flettenti e torcenti.

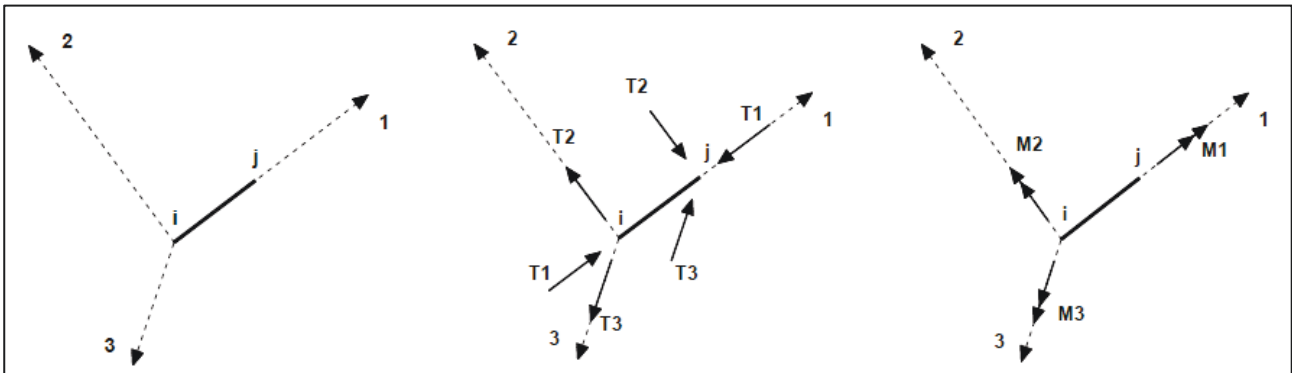



Figura 10 - Sistema di riferimento locale per le travi

Definiti i e j (nodi iniziale e finale della Trave) viene individuato un sistema di assi cartesiani 1-2-3 locale all'elemento, con origine nel Nodo i così composto:

- asse 1 orientato dal nodo i al nodo j;
- assi 2 e 3 appartenenti alla sezione dell'elemento e coincidenti con gli assi principali d'inerzia della sezione stessa.

Le sollecitazioni verranno fornite in riferimento a tale sistema di riferimento:

- a)** Sollecitazione di Trazione o Compressione T_1 (agente nella direzione i-j);
- b)** Sollecitazioni taglianti T_2 e T_3 , agenti nei due piani 1-2 e 1-3, rispettivamente secondo l'asse 2 e l'asse 3;
- c)** Sollecitazioni che inducono flessione nei piani 1-3 e 1-2 (M_2 e M_3);
- d)** Sollecitazione torcente M_1 .

	Relazione sulle strutture	Codice Elaborato: C_023_DEF_RS_03
	Progettazione di un impianto agrofotovoltaico di potenza complessiva 19.021 KW e di tutte le opere ed infrastrutture connesse, nel comune di Sessa Aurunca.	Data: 11/2021

4.3.3. Sistema di riferimento locale per i pilastri

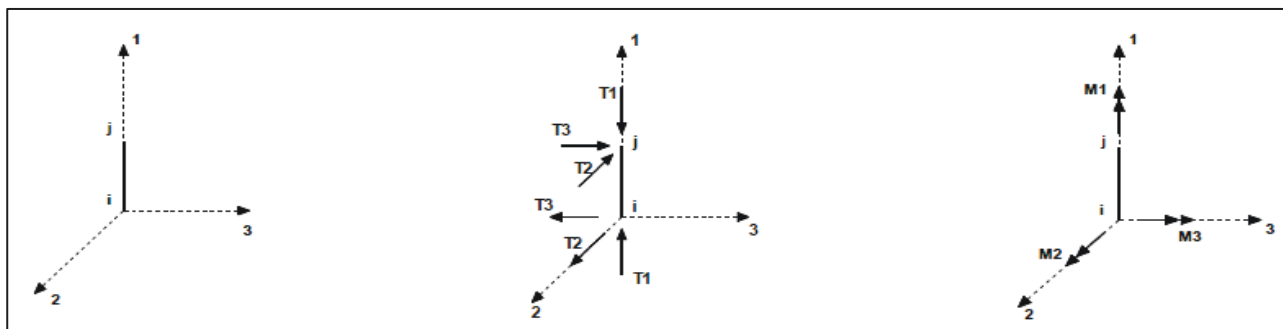


Figura 21 - Sistema di riferimento locale per i pilastri


Definiti i e j come i due nodi iniziale e finale del pilastro, viene individuato un sistema di assi cartesiani 1-2-3 locale all'elemento, con origine nel Nodo i così composto:

- asse 1 orientato dal nodo i al nodo j;
- asse 2 perpendicolare all'asse 1, parallelo e discorde all'asse globale Y;
- asse 3 che completa la terna destrorsa, parallelo e concorde all'asse globale X.

Tale sistema di riferimento è valido per Pilastri con angolo di rotazione pari a '0' gradi; una rotazione del pilastro nel piano XY ha l'effetto di ruotare anche tale sistema (ad es. una rotazione di '90' gradi porterebbe l'asse 2 a essere parallelo e concorde all'asse X, mentre l'asse 3 sarebbe parallelo e concorde all'asse globale Y). La rotazione non ha alcun effetto sull'asse 1 che coinciderà sempre e comunque con l'asse globale Z.

Per quanto riguarda le sollecitazioni si ha:

- una forza di trazione o compressione T_1 , agente lungo l'asse locale 1;
- due forze taglianti T_2 e T_3 agenti lungo i due assi locali 2 e 3;
- due vettori momento (flettente) M_2 e M_3 agenti lungo i due assi locali 2 e 3;
- un vettore momento (torcente) M_1 agente lungo l'asse locale nel piano 1.

	Relazione sulle strutture	Codice Elaborato: C_023_DEF_RS_03
	Progettazione di un impianto agrofotovoltaico di potenza complessiva 19.021 KW e di tutte le opere ed infrastrutture connesse, nel comune di Sessa Aurunca.	Data: 11/2021

4.4. Modello di calcolo

Il modello della struttura viene creato automaticamente dal codice di calcolo, individuando i vari elementi strutturali e fornendo le loro caratteristiche geometriche e meccaniche.

Viene definita un'opportuna numerazione degli elementi (nodi, aste, shell) costituenti il modello, al fine di individuare celermente ed univocamente ciascun elemento nei "Tabulati di calcolo".

Qui di seguito è fornita una rappresentazione grafica dettagliata della discretizzazione operata con evidenziazione dei nodi e degli elementi.

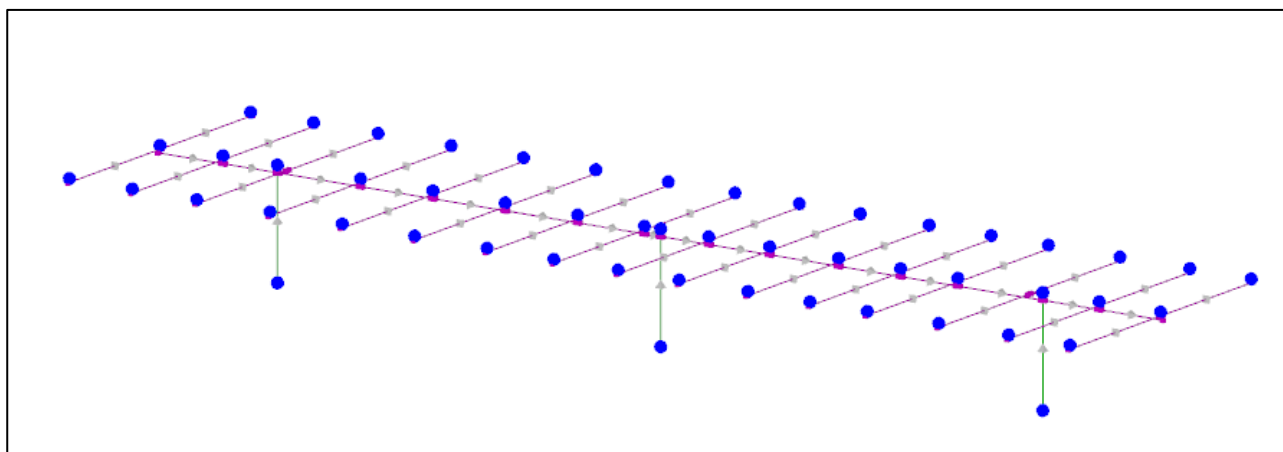



Figura 32 - Vista prospettica modello strutturale

Le aste in c.a., in acciaio, sia travi che pilastri, sono schematizzate con un tratto flessibile centrale e da due tratti (braccetti) rigidi alle estremità. I nodi vengono posizionati sull'asse verticale dei pilastri, in corrispondenza dell'estradosso della trave più alta che in esso si collega. Tramite i braccetti i tratti flessibili sono quindi collegati ad esso. In questa maniera il nodo risulta perfettamente aderente alla realtà poiché vengono presi in conto tutti gli eventuali disassamenti degli elementi con gli effetti che si possono determinare, quali momenti flettenti/torcenti aggiuntivi.

	Relazione sulle strutture	Codice Elaborato: C_023_DEF_RS_03
	Progettazione di un impianto agro-fotovoltaico di potenza complessiva 19.021 KW e di tutte le opere ed infrastrutture connesse, nel comune di Sessa Aurunca.	Data: 11/2021

Le sollecitazioni vengono determinate solo per il tratto flessibile. Sui tratti rigidi, infatti, essendo (teoricamente) nulle le deformazioni, le sollecitazioni risultano indeterminate.

Questa schematizzazione dei nodi viene automaticamente realizzata dal programma anche quando il nodo sia determinato dall'incontro di più travi senza il pilastro, o all'attacco di travi/pilastri con elementi shell.

La modellazione del materiale degli elementi in c.a., acciaio e legno segue la classica teoria dell'elasticità lineare; per cui il materiale è caratterizzato oltre che dal peso specifico, da un modulo elastico (E) e un modulo tagliante (G).

In questo particolare caso essendo la fondazione realizzata tramite pali battuti e essendo il software in oggetto inadatto alla modellazione di questo caso particolare, la struttura è stata incastrata alla base ponendoci quindi in una condizione a vantaggio di sicurezza.


La profondità di battitura del palo e tutte le conseguenti verifiche geotecniche saranno trattate in una specifica relazione.

4.5. Verifiche di resistenza

Per quanto concerne la verifica degli elementi in acciaio, le verifiche effettuate per ogni elemento dipendono dalla funzione dell'elemento nella struttura. Ad esempio, elementi con prevalente comportamento assiale (controventi o appartenenti a travature reticolari) sono verificate a trazione e/o compressione; elementi con funzioni portanti nei confronti dei carichi verticali sono verificati a Pressoflessione retta e Taglio; elementi con funzioni resistenti nei confronti di azioni orizzontali sono verificati a pressoflessione deviata e taglio oppure a sforzo normale se hanno la funzione di controventi.

Le verifiche allo SLU sono effettuate sempre controllando il soddisfacimento della relazione:

$$R_d \geq S_d$$

	Relazione sulle strutture	Codice Elaborato: C_023_DEF_RS_03
	Progettazione di un impianto agrofotovoltaico di potenza complessiva 19.021 KW e di tutte le opere ed infrastrutture connesse, nel comune di Sessa Aurunca.	Data: 11/2021

dove R_d è la resistenza calcolata come rapporto tra R_k (resistenza caratteristica del materiale) e γ (coefficiente di sicurezza), mentre S_d è la generica sollecitazione di progetto calcolata considerando tutte le Combinazioni di Carico per lo Stato Limite esaminato.

La resistenza viene determinata, in funzione della Classe di appartenenza della Sezione metallica, col metodo Elastico o Plastico (vedi § 4.2.3.2 del D.M. 2018). Viene portato in conto l'indebolimento causato dall'eventuale presenza di fori.

Le verifiche effettuate sono quelle previste al § 4.2.4.1.2 D.M. 2018 ed in particolare:

- Verifiche di Trazione
- Verifiche di Compressione
- Verifiche di Flessione Monoassiale
- Verifiche di Taglio (considerando l'influenza della Torsione) assiale e biassiale.
- Verifiche per contemporanea presenza di Flessione e Taglio
- Verifiche per PressoFlessione retta e biassiale


Nei “Tabulati di calcolo” , per ogni tipo di Verifica e per ogni elemento interessato dalla Verifica, sono riportati i valori delle resistenze e delle sollecitazioni che hanno dato il minimo coefficiente di sicurezza, calcolato generalmente come:

$$CS = R_d/S_d.$$

4.5.1. Verifiche di Instabilità

Per tutti gli elementi strutturali sono state condotte verifiche di stabilità delle membrature secondo le indicazioni del § 4.2.4.1.3 del D.M. 2018; in particolare sono state effettuate le seguenti verifiche:

- Verifiche di stabilità per compressione semplice, con controllo della snellezza.
- Verifiche di stabilità per elementi inflessi.
- Verifiche di stabilità per elementi inflessi e compressi.

	Relazione sulle strutture	Codice Elaborato: C_023_DEF_RS_03
	Progettazione di un impianto agro-fotovoltaico di potenza complessiva 19.021 KW e di tutte le opere ed infrastrutture connesse, nel comune di Sessa Aurunca.	Data: 11/2021

Le verifiche sono effettuate considerando la possibilità di instabilizzazione flessotorsionale.

Nei “Tabulati di calcolo”, per ogni tipo di verifica e per ogni elemento strutturale, sono riportati i risultati di tali verifiche.

4.5.2. Verifiche di Deformabilità

Sono state condotte le verifiche definite al § 4.2.4.2 del D.M. 2018 e in particolare si citano:

- Verifiche agli spostamenti verticali per i singoli elementi (§ 4.2.4.2.1 D.M. 2018).
- Verifiche agli spostamenti laterali per i singoli elementi (§ 4.2.4.2.2 D.M. 2018).
- Verifiche agli spostamenti per il piano e per l'edificio (§ 4.2.4.2.2 D.M. 2018).

I relativi risultati sono riportati nei “Tabulati di calcolo”.

5. STRUTTURE PREFABBRICATE

Nell'intervento in questione, oltre alle strutture metalliche di supporto al campo fotovoltaico Utility Scale, saranno posti in opera degli elementi prefabbricati direttamente posati su massetto in c.a. di spessore circa 50 cm.

Tali opere rientrano tra le opere definite quali “LAVORI MINORI” di cui all' art.12, comma 3, Regolamento Regionale n.4/2010 della Regione Campania, ovvero sono definibili come opere “di modesta rilevanza strutturale, che interessano opere da cui possono derivare ridotti pericoli per le persone e limitati danni alle cose”

In particolare queste opere rientrano nel punto 8 dell'elenco: “manufatti edilizi con struttura indipendente, anche interrati, con volumetria ≤ 60 mc (es.: garage, locali tecnici, rimesse attrezzi, spogliatoi e simili)”

Trattasi infatti di:

- Cabina Utente (struttura prefabbricata)

Dimensioni: $6.000\text{m} \times 2.480\text{m} \times (2.550 + 0.635 + 0.2) = 50,3688 \text{ mc} < 60\text{mc}$

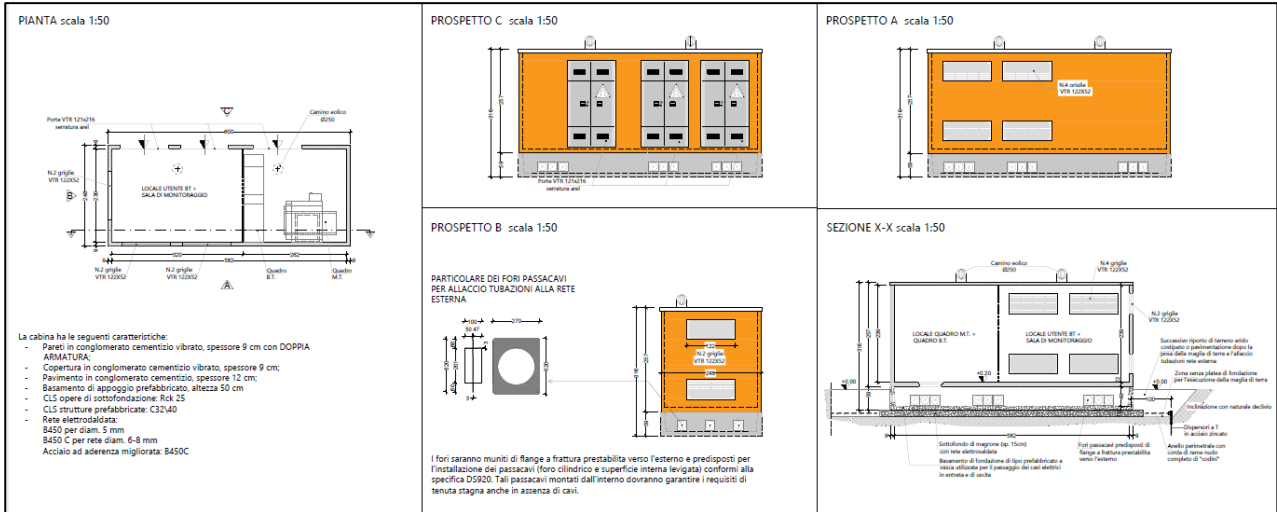


Figura 43 - Cabina di sezionamento utente

- Cabina di campo (struttura prefabbricata)

Dimensioni: $5.850 \text{ m} \times 2.400 \text{ m} \times (2.895 + 0.2) = 43.4533 \text{ mc} < 60\text{mc}$

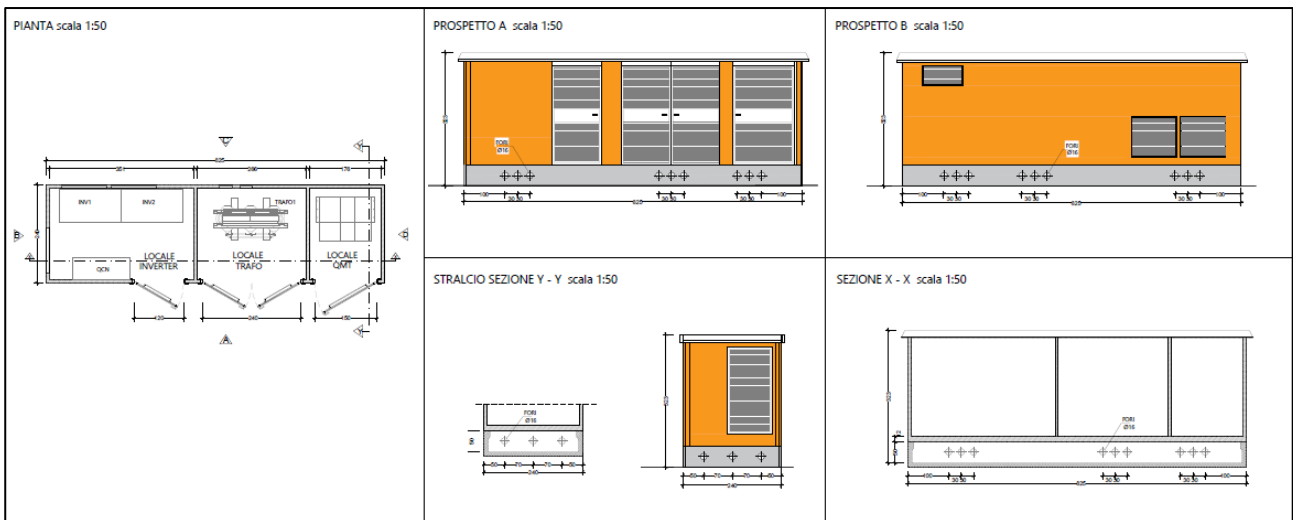



Figura 5 - Cabina di campo

	Relazione sulle strutture	Codice Elaborato: C_023_DEF_RS_03
	Progettazione di un impianto agro-fotovoltaico di potenza complessiva 19.021 KW e di tutte le opere ed infrastrutture connesse, nel comune di Sessa Aurunca.	Data: 11/2021

6. TABULATI DI CALCOLO

Per quanto non espressamente sopra riportato, ed in particolar modo per ciò che concerne i dati numerici di calcolo, si rimanda all'allegato “Tabulati di calcolo” costituente parte integrante della presente relazione ed allegato in cascata alla presente.

INDICE

Tomo 1 di 1

INFORMAZIONI GENERALI	pag.	2
MATERIALI ACCIAIO	pag.	2
TENSIONI AMMISSIBILI ALLO SLE DEI VARI MATERIALI	pag.	2
SEZIONI PROFILATI IN ACCIAIO	pag.	2
TIPOLOGIE DI CARICO	pag.	3
SLU: Non Sismica - Strutturale senza azioni geotecniche	pag.	3
SLU: Sismica - Strutturale senza azioni geotecniche	pag.	4
COMBINAZIONI SISMICHE	pag.	5
SERVIZIO(SLE): Caratteristica(RARA)	pag.	5
SERVIZIO(SLE): Frequente	pag.	6
SERVIZIO(SLE): Quasi permanente	pag.	6
DATI GENERALI ANALISI SISMICA	pag.	6
DATI GENERALI ANALISI SISMICA - FATTORI DI COMPORTAMENTO	pag.	7
.....	pag.	7
PRINCIPALI ELEMENTI ANALISI SISMICA	pag.	7
RIEPILOGO MODI DI VIBRAZIONE	pag.	8
LIVELLI O PIANI	pag.	14
NODI	pag.	14
TRAVI IN ELEVAZIONE	pag.	16
PILASTRI	pag.	18
CARICHI SUI NODI (PER CONDIZIONI DI CARICO NON SISMICHE)	pag.	18
CARICHI SULLE TRAVI	pag.	18
CARICHI SUI PILASTRI	pag.	22
NODI - SPOSTAMENTI PER CONDIZIONI DI CARICO NON SISMICHE	pag.	22
NODI - SPOSTAMENTI PER EFFETTO DEL SISMA	pag.	26
NODI - SPOSTAMENTI PER ECCENTRICITÀ ACCIDENTALE	pag.	30
TRAVI - SOLLECITAZIONI PER CONDIZIONI DI CARICO NON SISMICHE	pag.	33
TRAVI - SOLLECITAZIONI PER EFFETTO DEL SISMA	pag.	37
TRAVI - SOLLECITAZIONI PER ECCENTRICITÀ ACCIDENTALE	pag.	39
PILASTRI - SOLLECITAZIONI PER CONDIZIONI DI CARICO NON SISMICHE	pag.	41
PILASTRI - SOLLECITAZIONI PER EFFETTO DEL SISMA	pag.	42
PILASTRI - SOLLECITAZIONI PER ECCENTRICITÀ ACCIDENTALE	pag.	42
NODI - REAZIONI VINCOLARI ESTERNE PER TIPOLOGIE DI CARICO NON SISMICHE	pag.	42
NODI - REAZIONI VINCOLARI ESTERNE PER EFFETTO DEL SISMA	pag.	43
NODI - REAZIONI VINCOLARI ESTERNE PER ECCENTRICITÀ ACCIDENTALE	pag.	43
TRAVI (AC) - VERIFICHE A PRESSOFLESSIONE DEVIATA (Elevazione) allo SLU	pag.	43
TRAVI (AC) - VERIFICHE A TAGLIO (Elevazione) per pressoflessione deviata allo SLU	pag.	51
TRAVI - VERIFICA DI SNELLEZZA (Elevazione)	pag.	54
TRAVI (AC) - VERIFICHE INSTABILITÀ A PRESSOFLESSIONE DEVIATA (Elevazione)	pag.	55
TRAVI (AC) - VERIFICHE DI DEFORMABILITÀ ALLO SLE (Elevazione)	pag.	57
PILASTRI (AC) - VERIFICHE A PRESSOFLESSIONE DEVIATA (Elevazione) allo SLU	pag.	57
PILASTRI (AC) - VERIFICHE A TAGLIO (Elevazione) per pressoflessione deviata allo SLU	pag.	58
PILASTRI (AC) - VERIFICHE INSTABILITÀ A PRESSOFLESSIONE DEVIATA (Elevazione)	pag.	58
PILASTRI - VERIFICA DI SNELLEZZA (Elevazione)	pag.	59
PIANI - VERIFICHE REGOLARITÀ (Elevazione)	pag.	59

EFFETTI DELLE NON LINEARITÀ GEOMETRICHE PER SISMA (Elevazione)	pag.	59
PIANI - VERIFICHE AGLI SPOSTAMENTI	pag.	59
PIANI - VERIFICHE ALLO SLE (Elevazione)	pag.	59

Comune di Sessa Aurunca
Provincia di Caserta

TABULATI DI CALCOLO
(Tomo 1 di 1)

OGGETTO: Progettazione di un **impianto agro-voltaico** di potenza complessiva **19'021kW** e opere connesse, comune di Sessa Aurunca

COMMITTENTE: ATON 22 s.r.l.

04/11/2021

Il Progettista

(Ing. Riccardo Mai)

Il Direttore dei Lavori

Il Collaudatore

(...)

(...)

Mari s.r.l.

Via Nunziante,1 - Mignano Montelungo (CE)
0823374329 - ...

...

INFORMAZIONI GENERALI

Edificio	Acciaio
Costruzione	Nuova
Situazione	-
Intervento	-
Comune	Sessa Aurunca
Provincia	Caserta
Oggetto	
Parte d'opera	
Normativa di riferimento	D.M. 17/01/2018
Calcolo semplificato per siti a bassa sismicit� (S 7.0)	-
Analisi sismica	Dinamica solo Orizzontale

MATERIALI ACCIAIO

N _{id}	γ _k	α _{T, i}	E	G	Stz	LMT	f _{yk}	f _{tk}	f _{yd}	f _{td}	γ _s	γ _{M1}	γ _{M2}	γ _{M3,SLV}	γ _{M3,SLE}	Caratteristiche acciaio	
																NCnt	Cnt
S235 - Acciaio per Profilati - (S235)																	
001	78.500	0,000012	210.000	80.769	P	40	235,00	360,00	-	-	1,05	1,05	1,25	-	-	-	-
						80	215,00	360,00	-	-							

LEGENDA:

N_{id}	Numero identificativo del materiale, nella relativa tabella dei materiali.
γ_k	Peso specifico.
α_{T, i}	Coefficiente di dilatazione termica.
E	Modulo elastico normale.
G	Modulo elastico tangenziale.
Stz	Tipo di situazione: [F] = di Fatto (Esistente); [P] = di Progetto (Nuovo).
LMT	Campo di validit� in termini di spessore t _i (per profili, piastre, saldature) o diametro, d (per bulloni, tondini, chiodi, viti, spinotti)
f_{yk}	Resistenza caratteristica allo snervamento
f_{tk}	Resistenza caratteristica a rottura
f_{yd}	Resistenza di calcolo
f_{td}	Resistenza di calcolo a Rottura (Bulloni).
γ_s	Coefficiente parziale di sicurezza allo SLV del materiale.
γ_{M1}	Coefficiente parziale di sicurezza per instabilit�.
γ_{M2}	Coefficiente parziale di sicurezza per sezioni tese indebolite.
γ_{M3,SLV}	Coefficiente parziale di sicurezza per scorrimento allo SLV (Bulloni).
γ_{M3,SLE}	Coefficiente parziale di sicurezza per scorrimento allo SLE (Bulloni).
γ_{M7}	Coefficiente parziale di sicurezza precario di bulloni ad alta resistenza (Bulloni - NCnt = con serraggio NON controllato; Cnt = con serraggio controllato). [-] = parametro NON significativo per il materiale.

NOTE [-] = Parametro non significativo per il materiale.

TENSIONI AMMISSIBILI ALLO SLE DEI VARI MATERIALI

Tensioni ammissibili allo SLE dei vari materiali			
Materiale	SL	Tensione di verifica	σ _{d,amm} [N/mm ²]

LEGENDA:

SL	Stato limite di esercizio per cui si esegue la verifica.
σ_{d,amm}	Tensione ammissibile per la verifica.

SEZIONI PROFILATI IN ACCIAIO

N _{id}	Tp	Label	Sezioni profilati in acciaio - parte I																
			b	b ₁	h	t _f	t _{f1}	t _w	t _p	r _w	r _f	r _{w/f}	h _i	d	p _w	p _f	d _{sp,w}	d _{sp,f}	
001	□	200x200x10	200,0	-	200,0	10,0	-	-	-	-	-	-	-	-	-	-	-	-	
002	□	100x100x5	100,0	-	100,0	5,0	-	-	-	-	-	-	-	-	-	-	-	-	
003	I	HE 300 A	300,0	-	290,0	14,0	-	8,5	-	-	-	27,0	262,0	208,0	-	-	-	-	

LEGENDA:

N_{id}	Numero identificativo del profilato.
Tp	Tipo di profilato.
Label	Identificativo del profilato come indicato nelle carpenterie.
b	Base del profilato.
b₁	Seconda base (per profilati composti).
h	Altezza.
t_f	Spessore ala.
t_{f1}	Spessore seconda ala (per profilati composti).
t_w	Spessore anima.
t_p	Spessore piatto (per profilati composti).
r_w	Raggio anima.
r_f	Raggio ala.
r_{w/f}	Raggio anima/ala.
h_i	Altezza anima.
d	Altezza netta raccordi.
p_w	Pendenza anima.
p_f	Pendenza ala.
d_{sp,w}	Distanza spessore anima.
d_{sp,f}	Distanza spessore ala.

SEZIONI PROFILATI IN ACCIAIO

Sezioni profilati in acciaio - parte II

N _{id}	Tp	Label	Dir	TC	d _{x/y}	P _{abb}	A	A _v	I	W _{el,sup/dx}	W _{el,inf/sx}	W _{pl}	i	I _w	I _T	I _{XY}	α _{xy}
					[mm]												
001	□	200x200x10	X	-	-	0	76	38,00	4585,3	458,5	458,5	542,0	7,77	0,000	0	0	0,0
			Y	-	-												
002	□	100x100x5	X	-	-	0	19	9,50	286,6	57,3	57,3	67,8	3,88	0,000	0	0	0,0
			Y	-	-												
003	I	HE 300 A	X	-	-	0	113	37,28	18260,0	1260,0	1260,0	1383,0	12,74	1200000,00	85	0	0,0
			Y	-	-												

LEGENDA:

N_{id}	Numero identificativo del profilato.
Tp	Tipo di profilato.
Label	Identificativo del profilato come indicato nelle carpenterie.
Dir	Direzione.
TC	Tipo collegamenti (per profilati composti). A = Abbottonati; R = Ravvicinati.
d_{x/y}	Distanza profilati lungo X/Y (per profilati composti).
P_{abb}	Passo abbottonatura (per profilati composti).
A	Area della sezione.
A_v	Area resistente a taglio.
I	Inerzia.
W_{el,sup/dx}	Modulo di resistenza elastica superiore/destra.
W_{el,inf/sx}	Modulo di resistenza elastica inferiore/sinistra.
W_{pl}	Modulo resistenza plastica.
i	Raggio inerzia
I_w	Inerzia settoriale.
I_T	Inerzia torsionale.
I_{XY}	Inerzia in XY.
α_{xy}	Rotazione assi inerzia.

TIPOLOGIE DI CARICO

N _{id}	Descrizione	F+E	+/- F	CDC	Tipologie di carico		
					ψ ₀	ψ ₁	ψ ₂
0001	Carico Permanente	SI	NO	Permanente	1,00	1,00	1,00
0002	Permanenti NON Strutturali	SI	NO	Permanente	1,00	1,00	1,00
0003	Carico da Neve <= 1000 m s.l.m.	SI	NO	Breve	0,50	0,20	0,00
0004	Pressione del Vento (+X)	NO	NO	Istantanea	0,60	0,20	0,00
0005	Pressione del Vento (-X)	NO	NO	Istantanea	0,60	0,20	0,00
0006	Pressione del Vento (+Y)	NO	NO	Istantanea	0,60	0,20	0,00
0007	Pressione del Vento (-Y)	NO	NO	Istantanea	0,60	0,20	0,00
0008	Sisma X	-	-	-	-	-	-
0009	Sisma Y	-	-	-	-	-	-
0010	Sisma Z	-	-	-	-	-	-
0011	Sisma Ecc.X	-	-	-	-	-	-
0012	Sisma Ecc.Y	-	-	-	-	-	-

LEGENDA:

N_{id}	Numero identificativo della Tipologia di Carico.
F+E	Indica se la tipologia di carico considerata è AGENTE con il sisma.
+/- F	Indica se la tipologia di carico è ALTERNATA (cioè considerata due volte con segno opposto) o meno.
CDC	Indica la classe di durata del carico. NOTA: dato significativo solo per elementi in materiale legnoso.
ψ₀	Coefficiente riduttivo dei carichi allo SLU e SLE (carichi rari).
ψ₁	Coefficiente riduttivo dei carichi allo SLE (carichi frequenti).
ψ₂	Coefficiente riduttivo dei carichi allo SLE (carichi frequenti e quasi permanenti).

SLU: Non Sismica - Strutturale senza azioni geotecniche

SLU: Non Sismica - Strutturale senza azioni geotecniche

Id _{Comb}	CC 01	CC 02	CC 03	CC 04	CC 05	CC 06	CC 07
	Carico Permanente	Permanenti NON Strutturali	Carico da Neve <= 1000 m s.l.m.	Pressione del Vento (+X)	Pressione del Vento (-X)	Pressione del Vento (+Y)	Pressione del Vento (-Y)
01	1,00	0,80	0,00	0,00	0,00	0,00	0,00
02	1,00	0,80	0,00	0,00	0,00	0,00	0,90
03	1,00	0,80	0,00	0,00	0,00	0,90	0,00
04	1,00	0,80	0,00	0,00	0,90	0,00	0,00
05	1,00	0,80	0,00	0,90	0,00	0,00	0,00
06	1,00	0,80	1,50	0,00	0,00	0,00	0,00
07	1,00	0,80	1,50	0,00	0,00	0,00	0,90
08	1,00	0,80	1,50	0,00	0,00	0,90	0,00
09	1,00	0,80	1,50	0,00	0,90	0,00	0,00
10	1,00	0,80	1,50	0,90	0,00	0,00	0,00
11	1,00	0,80	0,00	1,50	0,00	0,00	0,00
12	1,00	0,80	0,75	0,00	0,00	0,00	0,00
13	1,00	0,80	0,75	1,50	0,00	0,00	0,00
14	1,00	0,80	0,00	0,00	1,50	0,00	0,00
15	1,00	0,80	0,75	0,00	1,50	0,00	0,00
16	1,00	0,80	0,00	0,00	0,00	1,50	0,00
17	1,00	0,80	0,75	0,00	0,00	1,50	0,00
18	1,00	0,80	0,00	0,00	0,00	0,00	1,50
19	1,00	0,80	0,75	0,00	0,00	0,00	1,50
20	1,30	0,80	0,00	0,00	0,00	0,00	0,00

SLU: Non Sismica - Strutturale senza azioni geotecniche

Id_{Comb}	CC 01 Carico Permanente	CC 02 Permanenti NON Strutturali	CC 03 Carico da Neve <= 1000 m s.l.m.	CC 04 Pressione del Vento (+X)	CC 05 Pressione del Vento (-X)	CC 06 Pressione del Vento (+Y)	CC 07 Pressione del Vento (-Y)
21	1,30	0,80	0,00	0,00	0,00	0,00	0,90
22	1,30	0,80	0,00	0,00	0,00	0,90	0,00
23	1,30	0,80	0,00	0,00	0,90	0,00	0,00
24	1,30	0,80	0,00	0,90	0,00	0,00	0,00
25	1,30	0,80	1,50	0,00	0,00	0,00	0,00
26	1,30	0,80	1,50	0,00	0,00	0,00	0,90
27	1,30	0,80	1,50	0,00	0,00	0,90	0,00
28	1,30	0,80	1,50	0,00	0,90	0,00	0,00
29	1,30	0,80	1,50	0,90	0,00	0,00	0,00
30	1,30	0,80	0,00	1,50	0,00	0,00	0,00
31	1,30	0,80	0,75	0,00	0,00	0,00	0,00
32	1,30	0,80	0,75	1,50	0,00	0,00	0,00
33	1,30	0,80	0,00	0,00	1,50	0,00	0,00
34	1,30	0,80	0,75	0,00	1,50	0,00	0,00
35	1,30	0,80	0,00	0,00	0,00	1,50	0,00
36	1,30	0,80	0,75	0,00	0,00	1,50	0,00
37	1,30	0,80	0,00	0,00	0,00	0,00	1,50
38	1,30	0,80	0,75	0,00	0,00	0,00	1,50
39	1,00	1,50	0,00	0,00	0,00	0,00	0,00
40	1,00	1,50	0,00	0,00	0,00	0,00	0,90
41	1,00	1,50	0,00	0,00	0,00	0,90	0,00
42	1,00	1,50	0,00	0,00	0,90	0,00	0,00
43	1,00	1,50	0,00	0,90	0,00	0,00	0,00
44	1,00	1,50	1,50	0,00	0,00	0,00	0,00
45	1,00	1,50	1,50	0,00	0,00	0,00	0,90
46	1,00	1,50	1,50	0,00	0,00	0,90	0,00
47	1,00	1,50	1,50	0,00	0,90	0,00	0,00
48	1,00	1,50	1,50	0,90	0,00	0,00	0,00
49	1,00	1,50	0,00	1,50	0,00	0,00	0,00
50	1,00	1,50	0,75	0,00	0,00	0,00	0,00
51	1,00	1,50	0,75	1,50	0,00	0,00	0,00
52	1,00	1,50	0,00	0,00	1,50	0,00	0,00
53	1,00	1,50	0,75	0,00	1,50	0,00	0,00
54	1,00	1,50	0,00	0,00	0,00	1,50	0,00
55	1,00	1,50	0,75	0,00	0,00	1,50	0,00
56	1,00	1,50	0,00	0,00	0,00	0,00	1,50
57	1,00	1,50	0,75	0,00	0,00	0,00	1,50
58	1,30	1,50	0,00	0,00	0,00	0,00	0,00
59	1,30	1,50	0,00	0,00	0,00	0,00	0,90
60	1,30	1,50	0,00	0,00	0,00	0,90	0,00
61	1,30	1,50	0,00	0,00	0,90	0,00	0,00
62	1,30	1,50	0,00	0,90	0,00	0,00	0,00
63	1,30	1,50	1,50	0,00	0,00	0,00	0,00
64	1,30	1,50	1,50	0,00	0,00	0,00	0,90
65	1,30	1,50	1,50	0,00	0,00	0,90	0,00
66	1,30	1,50	1,50	0,00	0,90	0,00	0,00
67	1,30	1,50	1,50	0,90	0,00	0,00	0,00
68	1,30	1,50	0,00	1,50	0,00	0,00	0,00
69	1,30	1,50	0,75	0,00	0,00	0,00	0,00
70	1,30	1,50	0,75	1,50	0,00	0,00	0,00
71	1,30	1,50	0,00	0,00	1,50	0,00	0,00
72	1,30	1,50	0,75	0,00	1,50	0,00	0,00
73	1,30	1,50	0,00	0,00	0,00	1,50	0,00
74	1,30	1,50	0,75	0,00	0,00	1,50	0,00
75	1,30	1,50	0,00	0,00	0,00	0,00	1,50
76	1,30	1,50	0,75	0,00	0,00	0,00	1,50

LEGENDA:

- Id_{Comb}** Numero identificativo della Combinazione di Carico.
CC Identificativo della tipologia di carico nella relativa tabella.
 CC 01= Carico Permanente
 CC 02= Permanenti NON Strutturali
 CC 03= Carico da Neve <= 1000 m s.l.m.
 CC 04= Pressione del Vento (+X)
 CC 05= Pressione del Vento (-X)
 CC 06= Pressione del Vento (+Y)
 CC 07= Pressione del Vento (-Y)

SLU: Sismica - Strutturale senza azioni geotecniche

SLU: Sismica - Strutturale senza azioni geotecniche							
Id_{Comb}	CC 01 Carico Permanente	CC 02 Permanenti NON Strutturali	CC 03 Carico da Neve <= 1000 m s.l.m.	CC 04 Pressione del Vento (+X)	CC 05 Pressione del Vento (-X)	CC 06 Pressione del Vento (+Y)	CC 07 Pressione del Vento (-Y)
01	1,00	1,00	0,00	0,00	0,00	0,00	0,00

Id _{Comb}	CC 01 Carico Permanente	CC 02 Permanenti NON Strutturali	CC 03 Carico da Neve <= 1000 m s.l.m.	CC 04 Pressione del Vento (+X)	CC 05 Pressione del Vento (-X)	CC 06 Pressione del Vento (+Y)	CC 07 Pressione del Vento (-Y)
--------------------	-------------------------------	----------------------------------------	---------------------------------------------	--------------------------------------	--------------------------------------	--------------------------------------	--------------------------------------

LEGENDA:

Id_{Comb} Numero identificativo della Combinazione di Carico.
CC Identificativo della tipologia di carico nella relativa tabella.
 CC 01= Carico Permanente
 CC 02= Permanenti NON Strutturali
 CC 03= Carico da Neve <= 1000 m s.l.m.
 CC 04= Pressione del Vento (+X)
 CC 05= Pressione del Vento (-X)
 CC 06= Pressione del Vento (+Y)
 CC 07= Pressione del Vento (-Y)

COMBINAZIONI SISMICHE

Alle combinazioni riportate nella precedente tabella è stato aggiunto l'effetto del sisma. L'azione sismica è stata considerata come caratterizzata da tre componenti traslazionali lungo i tre assi globali X, Y e Z; la risposta della struttura è stata calcolata separatamente per i tre effetti e quindi combinata secondo la seguente espressione simbolica:

$$\alpha = \alpha_i + 0,3 \cdot \alpha_{ii} + 0,3 \cdot \alpha_{iii}$$

con α effetto totale dell'azione sismica, α_i , α_{ii} e α_{iii} azioni sismiche nelle tre direzioni. E' stata effettuata una rotazione degli indici e dei segni, per cui le combinazioni totali generate sono le:

(con α'_p sollecitazione dovuta alla combinazione delle condizioni statiche e α sollecitazione dovuta al sisma; in particolare α_x , α_y , α_z , α_{ex} , α_{ey} sono rispettivamente le sollecitazioni dovute al sisma agente in direzione x, in direzioni y, in direzione z, per eccentricità accidentale positiva in direzione x e per eccentricità accidentale positiva in direzione y)

- 1) $\alpha'_p + (\alpha_x + \alpha_{ex}) + 0,3 \cdot (\alpha_y + \alpha_{ey}) + 0,3 \cdot \alpha_z$; 2) $\alpha'_p + (\alpha_x + \alpha_{ex}) - 0,3 \cdot (\alpha_y + \alpha_{ey}) + 0,3 \cdot \alpha_z$;
- 3) $\alpha'_p + (\alpha_x + \alpha_{ex}) + 0,3 \cdot (\alpha_y + \alpha_{ey}) - 0,3 \cdot \alpha_z$; 4) $\alpha'_p + (\alpha_x + \alpha_{ex}) - 0,3 \cdot (\alpha_y + \alpha_{ey}) - 0,3 \cdot \alpha_z$;
- 5) $\alpha'_p + (\alpha_x + \alpha_{ex}) + 0,3 \cdot (\alpha_y - \alpha_{ey}) + 0,3 \cdot \alpha_z$; 6) $\alpha'_p + (\alpha_x + \alpha_{ex}) - 0,3 \cdot (\alpha_y - \alpha_{ey}) + 0,3 \cdot \alpha_z$;
- 7) $\alpha'_p + (\alpha_x + \alpha_{ex}) + 0,3 \cdot (\alpha_y - \alpha_{ey}) - 0,3 \cdot \alpha_z$; 8) $\alpha'_p + (\alpha_x + \alpha_{ex}) - 0,3 \cdot (\alpha_y - \alpha_{ey}) - 0,3 \cdot \alpha_z$;
- 9) $\alpha'_p + (\alpha_x - \alpha_{ex}) + 0,3 \cdot (\alpha_y + \alpha_{ey}) + 0,3 \cdot \alpha_z$; 10) $\alpha'_p + (\alpha_x - \alpha_{ex}) - 0,3 \cdot (\alpha_y + \alpha_{ey}) + 0,3 \cdot \alpha_z$;
- 11) $\alpha'_p + (\alpha_x - \alpha_{ex}) + 0,3 \cdot (\alpha_y + \alpha_{ey}) - 0,3 \cdot \alpha_z$; 12) $\alpha'_p + (\alpha_x - \alpha_{ex}) - 0,3 \cdot (\alpha_y + \alpha_{ey}) - 0,3 \cdot \alpha_z$;
- 13) $\alpha'_p + (\alpha_x - \alpha_{ex}) + 0,3 \cdot (\alpha_y - \alpha_{ey}) + 0,3 \cdot \alpha_z$; 14) $\alpha'_p + (\alpha_x - \alpha_{ex}) - 0,3 \cdot (\alpha_y - \alpha_{ey}) + 0,3 \cdot \alpha_z$;
- 15) $\alpha'_p + (\alpha_x - \alpha_{ex}) + 0,3 \cdot (\alpha_y - \alpha_{ey}) - 0,3 \cdot \alpha_z$; 16) $\alpha'_p + (\alpha_x - \alpha_{ex}) - 0,3 \cdot (\alpha_y - \alpha_{ey}) - 0,3 \cdot \alpha_z$;
- 17) $\alpha'_p + (\alpha_y + \alpha_{ey}) + 0,3 \cdot (\alpha_x + \alpha_{ex}) + 0,3 \cdot \alpha_z$; 18) $\alpha'_p + (\alpha_y + \alpha_{ey}) - 0,3 \cdot (\alpha_x + \alpha_{ex}) + 0,3 \cdot \alpha_z$;
- 19) $\alpha'_p + (\alpha_y + \alpha_{ey}) + 0,3 \cdot (\alpha_x + \alpha_{ex}) - 0,3 \cdot \alpha_z$; 20) $\alpha'_p + (\alpha_y + \alpha_{ey}) - 0,3 \cdot (\alpha_x + \alpha_{ex}) - 0,3 \cdot \alpha_z$;
- 21) $\alpha'_p + (\alpha_y + \alpha_{ey}) + 0,3 \cdot (\alpha_x - \alpha_{ex}) + 0,3 \cdot \alpha_z$; 22) $\alpha'_p + (\alpha_y + \alpha_{ey}) - 0,3 \cdot (\alpha_x - \alpha_{ex}) + 0,3 \cdot \alpha_z$;
- 23) $\alpha'_p + (\alpha_y + \alpha_{ey}) + 0,3 \cdot (\alpha_x - \alpha_{ex}) - 0,3 \cdot \alpha_z$; 24) $\alpha'_p + (\alpha_y + \alpha_{ey}) - 0,3 \cdot (\alpha_x - \alpha_{ex}) - 0,3 \cdot \alpha_z$;
- 25) $\alpha'_p + (\alpha_y - \alpha_{ey}) + 0,3 \cdot (\alpha_x + \alpha_{ex}) + 0,3 \cdot \alpha_z$; 26) $\alpha'_p + (\alpha_y - \alpha_{ey}) - 0,3 \cdot (\alpha_x + \alpha_{ex}) + 0,3 \cdot \alpha_z$;
- 27) $\alpha'_p + (\alpha_y - \alpha_{ey}) + 0,3 \cdot (\alpha_x + \alpha_{ex}) - 0,3 \cdot \alpha_z$; 28) $\alpha'_p + (\alpha_y - \alpha_{ey}) - 0,3 \cdot (\alpha_x + \alpha_{ex}) - 0,3 \cdot \alpha_z$;
- 29) $\alpha'_p + (\alpha_y - \alpha_{ey}) + 0,3 \cdot (\alpha_x - \alpha_{ex}) + 0,3 \cdot \alpha_z$; 30) $\alpha'_p + (\alpha_y - \alpha_{ey}) - 0,3 \cdot (\alpha_x - \alpha_{ex}) + 0,3 \cdot \alpha_z$;
- 31) $\alpha'_p + (\alpha_y - \alpha_{ey}) + 0,3 \cdot (\alpha_x - \alpha_{ex}) - 0,3 \cdot \alpha_z$; 32) $\alpha'_p + (\alpha_y - \alpha_{ey}) - 0,3 \cdot (\alpha_x - \alpha_{ex}) - 0,3 \cdot \alpha_z$;
- 33) $\alpha'_p + \alpha_z + 0,3 \cdot (\alpha_x + \alpha_{ex}) + 0,3 \cdot (\alpha_y + \alpha_{ey})$; 34) $\alpha'_p + \alpha_z - 0,3 \cdot (\alpha_x + \alpha_{ex}) + 0,3 \cdot (\alpha_y + \alpha_{ey})$;
- 35) $\alpha'_p + \alpha_z + 0,3 \cdot (\alpha_x + \alpha_{ex}) - 0,3 \cdot (\alpha_y + \alpha_{ey})$; 36) $\alpha'_p + \alpha_z - 0,3 \cdot (\alpha_x + \alpha_{ex}) - 0,3 \cdot (\alpha_y + \alpha_{ey})$;
- 37) $\alpha'_p + \alpha_z + 0,3 \cdot (\alpha_x + \alpha_{ex}) + 0,3 \cdot (\alpha_y - \alpha_{ey})$; 38) $\alpha'_p + \alpha_z - 0,3 \cdot (\alpha_x + \alpha_{ex}) + 0,3 \cdot (\alpha_y - \alpha_{ey})$;
- 39) $\alpha'_p + \alpha_z + 0,3 \cdot (\alpha_x + \alpha_{ex}) - 0,3 \cdot (\alpha_y - \alpha_{ey})$; 40) $\alpha'_p + \alpha_z - 0,3 \cdot (\alpha_x + \alpha_{ex}) - 0,3 \cdot (\alpha_y - \alpha_{ey})$;
- 41) $\alpha'_p + \alpha_z + 0,3 \cdot (\alpha_x - \alpha_{ex}) + 0,3 \cdot (\alpha_y + \alpha_{ey})$; 42) $\alpha'_p + \alpha_z - 0,3 \cdot (\alpha_x - \alpha_{ex}) + 0,3 \cdot (\alpha_y + \alpha_{ey})$;
- 43) $\alpha'_p + \alpha_z + 0,3 \cdot (\alpha_x - \alpha_{ex}) - 0,3 \cdot (\alpha_y + \alpha_{ey})$; 44) $\alpha'_p + \alpha_z - 0,3 \cdot (\alpha_x - \alpha_{ex}) - 0,3 \cdot (\alpha_y + \alpha_{ey})$;
- 45) $\alpha'_p + \alpha_z + 0,3 \cdot (\alpha_x - \alpha_{ex}) + 0,3 \cdot (\alpha_y - \alpha_{ey})$; 46) $\alpha'_p + \alpha_z - 0,3 \cdot (\alpha_x - \alpha_{ex}) + 0,3 \cdot (\alpha_y - \alpha_{ey})$;
- 47) $\alpha'_p + \alpha_z + 0,3 \cdot (\alpha_x - \alpha_{ex}) - 0,3 \cdot (\alpha_y - \alpha_{ey})$; 48) $\alpha'_p + \alpha_z - 0,3 \cdot (\alpha_x - \alpha_{ex}) - 0,3 \cdot (\alpha_y - \alpha_{ey})$.

Nel caso di verifiche effettuate con sollecitazioni composte, per tenere conto del fatto che le sollecitazioni sismiche sono state ricavate come CQC delle sollecitazioni derivanti dai modi di vibrazione, dette N, Mx, My, Tx e Ty le sollecitazioni dovute al sisma, per ognuna delle combinazioni precedenti, sono state ricavate 32 combinazioni di carico permutando nel seguente modo i segni delle sollecitazioni derivanti dal sisma:

- 1) N, Mx, My, Tx e Ty; 2) N, Mx, -My, Tx e Ty; 3) N, -Mx, My, Tx e Ty; 4) N, -Mx, -My, Tx e Ty; 5) -N, Mx, My, Tx e Ty; 6) -N, Mx, -My, Tx e Ty; 7) -N, -Mx, My, Tx e Ty; 8) -N, -Mx, -My, Tx e Ty; 9) N, Mx, My, Tx e -Ty; 10) N, Mx, -My, Tx e -Ty; 11) N, -Mx, My, Tx e -Ty; 12) N, -Mx, -My, Tx e -Ty; 13) -N, Mx, My, Tx e -Ty; 14) -N, Mx, -My, Tx e -Ty; 15) -N, -Mx, My, Tx e -Ty; 16) -N, -Mx, -My, Tx e -Ty; 17) N, Mx, My, -Tx e Ty; 18) N, Mx, -My, -Tx e Ty; 19) N, -Mx, My, -Tx e Ty; 20) N, -Mx, -My, -Tx e Ty; 21) -N, Mx, My, -Tx e Ty; 22) -N, Mx, -My, -Tx e Ty; 23) -N, -Mx, My, -Tx e Ty; 24) -N, -Mx, -My, -Tx e Ty; 25) N, Mx, My, -Tx e -Ty; 26) N, Mx, -My, -Tx e -Ty; 27) N, -Mx, My, -Tx e -Ty; 28) N, -Mx, -My, -Tx e -Ty; 29) -N, Mx, My, -Tx e -Ty; 30) -N, Mx, -My, -Tx e -Ty; 31) -N, -Mx, My, -Tx e -Ty; 32) -N, -Mx, -My, -Tx e -Ty.

SERVIZIO(SLE): Caratteristica(RARA)

Id _{Comb}	SERVIZIO(SLE): Caratteristica(RARA)						
	CC 01 Carico Permanente	CC 02 Permanenti NON Strutturali	CC 03 Carico da Neve <= 1000 m s.l.m.	CC 04 Pressione del Vento (+X)	CC 05 Pressione del Vento (-X)	CC 06 Pressione del Vento (+Y)	CC 07 Pressione del Vento (-Y)
01	1,00	1,00	1,00	0,00	0,00	0,00	0,00
02	1,00	1,00	1,00	0,00	0,00	0,00	0,60
03	1,00	1,00	1,00	0,00	0,00	0,60	0,00
04	1,00	1,00	1,00	0,00	0,60	0,00	0,00
05	1,00	1,00	1,00	0,60	0,00	0,00	0,00
06	1,00	1,00	0,50	0,00	0,00	0,00	0,00
07	1,00	1,00	0,50	1,00	0,00	0,00	0,00
08	1,00	1,00	0,50	0,00	1,00	0,00	0,00
09	1,00	1,00	0,50	0,00	0,00	1,00	0,00
10	1,00	1,00	0,50	0,00	0,00	0,00	1,00

LEGENDA:

Id_{Comb} Numero identificativo della Combinazione di Carico.

SERVIZIO(SLE): Caratteristica(RARA)

Id_{Comb}	CC 01 Carico Permanente	CC 02 Permanenti NON Strutturali	CC 03 Carico da Neve <= 1000 m s.l.m.	CC 04 Pressione del Vento (+X)	CC 05 Pressione del Vento (-X)	CC 06 Pressione del Vento (+Y)	CC 07 Pressione del Vento (-Y)
--------------------------	-----------------------------------	--------------------------------------------	-------------------------------------------------	------------------------------------------	------------------------------------------	------------------------------------------	------------------------------------------

CC Identificativo della tipologia di carico nella relativa tabella.
 CC 01= Carico Permanente
 CC 02= Permanenti NON Strutturali
 CC 03= Carico da Neve <= 1000 m s.l.m.
 CC 04= Pressione del Vento (+X)
 CC 05= Pressione del Vento (-X)
 CC 06= Pressione del Vento (+Y)
 CC 07= Pressione del Vento (-Y)

SERVIZIO(SLE): Frequente

SERVIZIO(SLE): Frequente

Id_{Comb}	CC 01 Carico Permanente	CC 02 Permanenti NON Strutturali	CC 03 Carico da Neve <= 1000 m s.l.m.	CC 04 Pressione del Vento (+X)	CC 05 Pressione del Vento (-X)	CC 06 Pressione del Vento (+Y)	CC 07 Pressione del Vento (-Y)
--------------------------	-----------------------------------	--------------------------------------------	-------------------------------------------------	------------------------------------------	------------------------------------------	------------------------------------------	------------------------------------------

01	1,00	1,00	0,20	0,00	0,00	0,00	0,00
02	1,00	1,00	0,00	0,20	0,00	0,00	0,00
03	1,00	1,00	0,00	0,00	0,20	0,00	0,00
04	1,00	1,00	0,00	0,00	0,00	0,20	0,00
05	1,00	1,00	0,00	0,00	0,00	0,00	0,20

LEGENDA:

Id_{Comb} Numero identificativo della Combinazione di Carico.
CC Identificativo della tipologia di carico nella relativa tabella.
 CC 01= Carico Permanente
 CC 02= Permanenti NON Strutturali
 CC 03= Carico da Neve <= 1000 m s.l.m.
 CC 04= Pressione del Vento (+X)
 CC 05= Pressione del Vento (-X)
 CC 06= Pressione del Vento (+Y)
 CC 07= Pressione del Vento (-Y)

SERVIZIO(SLE): Quasi permanente

SERVIZIO(SLE): Quasi permanente

Id_{Comb}	CC 01 Carico Permanente	CC 02 Permanenti NON Strutturali	CC 03 Carico da Neve <= 1000 m s.l.m.	CC 04 Pressione del Vento (+X)	CC 05 Pressione del Vento (-X)	CC 06 Pressione del Vento (+Y)	CC 07 Pressione del Vento (-Y)
--------------------------	-----------------------------------	--------------------------------------------	-------------------------------------------------	------------------------------------------	------------------------------------------	------------------------------------------	------------------------------------------

01	1,00	1,00	0,00	0,00	0,00	0,00	0,00
-----------	------	------	------	------	------	------	------

LEGENDA:

Id_{Comb} Numero identificativo della Combinazione di Carico.
CC Identificativo della tipologia di carico nella relativa tabella.
 CC 01= Carico Permanente
 CC 02= Permanenti NON Strutturali
 CC 03= Carico da Neve <= 1000 m s.l.m.
 CC 04= Pressione del Vento (+X)
 CC 05= Pressione del Vento (-X)
 CC 06= Pressione del Vento (+Y)
 CC 07= Pressione del Vento (-Y)

DATI GENERALI ANALISI SISMICA

Dati generali analisi sismica

Ang	NV	CD	MP	Dir	TS	EcA	Ir_{Temp}	C.S.T.	RP	RH	ξ
[°]											[%]
0	50	ND	ac	X Y	- -	S	N	B	NO	SI	5

LEGENDA:

Ang Direzione di una componente dell'azione sismica rispetto all'asse X (sistema di riferimento globale); la seconda componente dell'azione sismica e' assunta con direzione ruotata di 90 gradi rispetto alla prima.
NV Nel caso di analisi dinamica, indica il numero di modi di vibrazione considerati.
CD Classe di duttilità: [A] = Alta - [B] = Media - [ND] = Non Dissipativa - [-] = Nessuna.
MP Tipo di struttura sismo-resistente prevalente: [ca] = calcestruzzo armato - [caOld] = calcestruzzo armato esistente - [muOld] = muratura esistente - [muNew] = muratura nuova - [muArm] = muratura armata - [ac] = acciaio.
Dir Direzione del sisma.
TS Tipologia della struttura:
 Cemento armato: [T 1C] = Telai ad una sola campata - [T+C] = Telai a più campate - [P] = Pareti accoppiate o miste equivalenti a pareti - [2P NC] = Due pareti per direzione non accoppiate - [P NC] = Pareti non accoppiate - [DT] = Deformabili torsionalmente - [PI] = Pendolo inverso - [PM] = Pendolo inverso intelaiate monopiano;
 Muratura: [P] = un solo piano - [PP] = più di un piano - [C-P/MP] = muratura in pietra e/o mattoni pieni - [C-BAS] = muratura in blocchi artificiali con percentuale di foratura > 15%;
 Acciaio: [T 1C] = Telai ad una sola campata - [T+C] = Telai a più campate - [CT] = controventi concentrici diagonale tesa - [CV] = controventi concentrici a V - [M] = mensola o pendolo inverso - [TT] = telaio con tamponature.
EcA Eccentricità accidentale: [S] = considerata come condizione di carico statica aggiuntiva - [N] = Considerata come incremento delle sollecitazioni.
Ir_{Temp} Per piani con distribuzione dei tamponamenti in pianta fortemente irregolare, l'eccentricità accidentale è stata incrementata di un fattore pari a 2: [SI] = Distribuzione tamponamenti irregolare fortemente - [NO] = Distribuzione tamponamenti regolare.
C.S.T. Categoria di sottosuolo: [A] = Ammassi rocciosi affioranti o terreni molto rigidi - [B] = Rocce tenere e depositi di terreni a grana grossa molto addensati o terreni a grana fina molto consistenti - [C] = Depositi di terreni a grana grossa mediamente addensati o terreni a grana fina mediamente consistenti - [D] = Depositi di terreni a grana grossa scarsamente addensati o di terreni a grana fina scarsamente consistenti - [E] = Terreni con caratteristiche e valori di velocità equivalente riconducibili a quelle definite per le categorie C o D.

Ang	NV	CD	MP	Dir	TS	EcA	Ir _{tmp}	C.S.T.	RP	RH	ξ
-----	----	----	----	-----	----	-----	-------------------	--------	----	----	---

RP [°] Regolarità in pianta: [SI] = Struttura regolare - [NO] = Struttura non regolare.
RH Regolarità in altezza: [SI] = Struttura regolare - [NO] = Struttura non regolare.
ξ Coefficiente viscoso equivalente.

NOTE [-] = Parametro non significativo per il tipo di calcolo effettuato.

DATI GENERALI ANALISI SISMICA - FATTORI DI COMPORTAMENTO

Fattori di comportamento

Dir	q'	q	q ₀	K _R	α _u /α ₁	k _w
X	-	1,333	2,00	-	1,00	-
Y	-	1,333	2,00	-	1,00	-
Z	-	1,000	-	-	-	-

LEGENDA:

q' Fattore di riduzione dello spettro di risposta sismico allo SLU ridotto (Fattore di comportamento ridotto - relazione C7.3.1 circolare NTC)
q Fattore di riduzione dello spettro di risposta sismico allo SLU (Fattore di comportamento).
q₀ Valore di base (comprensivo di k_w).
K_R Fattore riduttivo funzione della regolarità in altezza : pari ad 1 per costruzioni regolari in altezza, 0,8 per costruzioni non regolari in altezza, e 0,75 per costruzioni in muratura esistenti non regolari in altezza (§ C8.5.5.1).
α_u/α₁ Rapporto di sovrarigidità.
k_w Fattore di riduzione di q₀.

Stato Limite	T _r	a _g /g	Amplif. Stratigrafica		F ₀	T [*] _c	T _B	T _C	T _D
			S _s	C _c					
	[t]					[s]	[s]	[s]	[s]
SLO	30	0,0390	1,200	1,419	2,504	0,280	0,132	0,397	1,756
SLD	50	0,0475	1,200	1,382	2,493	0,320	0,147	0,442	1,790
SLV	475	0,0991	1,200	1,289	2,676	0,452	0,194	0,583	1,996
SLC	975	0,1231	1,200	1,257	2,697	0,513	0,215	0,645	2,092

LEGENDA:

T_r Periodo di ritorno dell'azione sismica. [t] = anni.
a_g/g Coefficiente di accelerazione al suolo.
S_s Coefficienti di Amplificazione Stratigrafica allo SLO/SLD/SLV/SLC.
C_c Coefficienti di Amplificazione di T_c allo SLO/SLD/SLV/SLC.
F₀ Valore massimo del fattore di amplificazione dello spettro in accelerazione orizzontale.
T^{*}_c Periodo di inizio del tratto a velocità costante dello spettro in accelerazione orizzontale.
T_B Periodo di inizio del tratto accelerazione costante dello spettro di progetto.
T_C Periodo di inizio del tratto a velocità costante dello spettro di progetto.
T_D Periodo di inizio del tratto a spostamento costante dello spettro di progetto.

Cl Ed	V _N	V _R	Lat.	Long.	Q _g	C _{Top}	S _T
	[t]	[t]	[°ssdc]	[°ssdc]	[m]		
2	50	50	41.278889	13.843333	10	T1	1,00

LEGENDA:

Cl Ed Classe dell'edificio
V_N Vita nominale ([t] = anni).
V_R Periodo di riferimento. [t] = anni.
Lat. Latitudine geografica del sito.
Long. Longitudine geografica del sito.
Q_g Altitudine geografica del sito.
C_{Top} Categoria topografica (Vedi NOTE).
S_T Coefficiente di amplificazione topografica.
NOTE [-] = Parametro non significativo per il tipo di calcolo effettuato.
 Categoria topografica.
 T1: Superficie pianeggiante, pendii e rilievi isolati con inclinazione media i <= 15°.
 T2: Pendii con inclinazione media i > 15°.
 T3: Rilievi con larghezza in cresta molto minore che alla base e inclinazione media 15° <= i <= 30°.
 T4: Rilievi con larghezza in cresta molto minore che alla base e inclinazione media i > 30°.

PRINCIPALI ELEMENTI ANALISI SISMICA

Dir	M _{Str}	M _{SLU}	M _{Ecc,SLU}	M _{SLD}	M _{Ecc,SLD}	%T.M _{Ecc}	ΣV _{Ed,SLU}
	[N-s ² /m]	[N-s ² /m]	[N-s ² /m]	[N-s ² /m]	[N-s ² /m]	[%]	[N]
X	4.582	2.461	2.460	2.461	2.460	99,94	3.214
Y	4.582	2.461	2.458	2.461	2.458	99,96	3.435
Z	4.582	0	0	0	0	100,00	0

LEGENDA:

Dir Direzione del sisma.
M_{Str} Massa complessiva della struttura.
M_{SLU} Massa eccitabile allo SLU.
M_{Ecc,SLU} Massa Eccitata dal sisma allo SLU.
M_{SLD} Massa eccitabile della struttura allo SLD, nelle direzioni X, Y, Z.
M_{Ecc,SLD} Massa Eccitata dal sisma allo SLD.
%T.M_{Ecc} Percentuale Totale di Masse Eccitate dal sisma.
ΣV_{Ed,SLU} Tagliante totale, alla base, per sisma allo SLU.

RIEPILOGO MODI DI VIBRAZIONE MODI DI VIBRAZIONE N.50

Sptr	T	a _{g,o}	a _{g,v}	Γ	CM	%M.M	M _{Ecc}
	[s]	[m/s ²]	[m/s ²]			[%]	[N-s ² /m]
Modo Vibrazione n. 1							
SLU-X	0,038	1,396	0,000	0,000	0,0000	0,00	0
SLU-Y	0,038	1,396	0,000	-37,474	-0,0014	57,06	1.404
SLU-Z	0,000	0,000	0,413	0,000	0,0000	0,00	0
SLD-X	0,038	0,774	0,000	0,000	0,0000	0,00	0
SLD-Y	0,038	0,774	0,000	-37,474	-0,0014	57,06	1.404
SLD-Z	0,000	0,000	0,137	0,000	0,0000	0,00	0
Elast-X	-	0,774	0,000	-	-	-	-
Elast-Y	-	0,774	0,000	-	-	-	-
Elast-Z	-	0,000	0,413	-	-	-	-
Modo Vibrazione n. 2							
SLU-X	0,023	1,306	0,000	-25,172	-0,0003	25,75	634
SLU-Y	0,023	1,306	0,000	0,000	0,0000	0,00	0
SLU-Z	0,000	0,000	0,413	0,000	0,0000	0,00	0
SLD-X	0,023	0,690	0,000	-25,172	-0,0003	25,75	634
SLD-Y	0,023	0,690	0,000	0,000	0,0000	0,00	0
SLD-Z	0,000	0,000	0,137	0,000	0,0000	0,00	0
Elast-X	-	0,690	0,000	-	-	-	-
Elast-Y	-	0,690	0,000	-	-	-	-
Elast-Z	-	0,000	0,413	-	-	-	-
Modo Vibrazione n. 3							
SLU-X	0,046	1,447	0,000	0,000	0,0000	0,00	0
SLU-Y	0,046	1,447	0,000	-22,119	-0,0012	19,88	489
SLU-Z	0,000	0,000	0,413	0,000	0,0000	0,00	0
SLD-X	0,046	0,822	0,000	0,000	0,0000	0,00	0
SLD-Y	0,046	0,822	0,000	-22,119	-0,0012	19,88	489
SLD-Z	0,000	0,000	0,137	0,000	0,0000	0,00	0
Elast-X	-	0,822	0,000	-	-	-	-
Elast-Y	-	0,822	0,000	-	-	-	-
Elast-Z	-	0,000	0,413	-	-	-	-
Modo Vibrazione n. 4							
SLU-X	0,033	1,364	0,000	-19,017	-0,0005	14,70	362
SLU-Y	0,033	1,364	0,000	0,000	0,0000	0,00	0
SLU-Z	0,000	0,000	0,413	0,000	0,0000	0,00	0
SLD-X	0,033	0,745	0,000	-19,017	-0,0005	14,70	362
SLD-Y	0,033	0,745	0,000	0,000	0,0000	0,00	0
SLD-Z	0,000	0,000	0,137	0,000	0,0000	0,00	0
Elast-X	-	0,745	0,000	-	-	-	-
Elast-Y	-	0,745	0,000	-	-	-	-
Elast-Z	-	0,000	0,413	-	-	-	-
Modo Vibrazione n. 5							
SLU-X	0,072	1,599	0,000	-18,597	-0,0024	14,05	346
SLU-Y	0,072	1,599	0,000	0,000	0,0000	0,00	0
SLU-Z	0,000	0,000	0,413	0,000	0,0000	0,00	0
SLD-X	0,072	0,965	0,000	-18,597	-0,0024	14,05	346
SLD-Y	0,072	0,965	0,000	0,000	0,0000	0,00	0
SLD-Z	0,000	0,000	0,137	0,000	0,0000	0,00	0
Elast-X	-	0,965	0,000	-	-	-	-
Elast-Y	-	0,965	0,000	-	-	-	-
Elast-Z	-	0,000	0,413	-	-	-	-
Modo Vibrazione n. 6							
SLU-X	0,063	1,546	0,000	16,825	0,0017	11,50	283
SLU-Y	0,063	1,546	0,000	0,000	0,0000	0,00	0
SLU-Z	0,000	0,000	0,413	0,000	0,0000	0,00	0
SLD-X	0,063	0,915	0,000	16,825	0,0017	11,50	283
SLD-Y	0,063	0,915	0,000	0,000	0,0000	0,00	0
SLD-Z	0,000	0,000	0,137	0,000	0,0000	0,00	0
Elast-X	-	0,915	0,000	-	-	-	-
Elast-Y	-	0,915	0,000	-	-	-	-
Elast-Z	-	0,000	0,413	-	-	-	-
Modo Vibrazione n. 7							
SLU-X	0,067	1,571	0,000	16,253	0,0018	10,73	264
SLU-Y	0,067	1,571	0,000	0,000	0,0000	0,00	0
SLU-Z	0,000	0,000	0,413	0,000	0,0000	0,00	0
SLD-X	0,067	0,938	0,000	16,253	0,0018	10,73	264
SLD-Y	0,067	0,938	0,000	0,000	0,0000	0,00	0
SLD-Z	0,000	0,000	0,137	0,000	0,0000	0,00	0
Elast-X	-	0,938	0,000	-	-	-	-
Elast-Y	-	0,938	0,000	-	-	-	-
Elast-Z	-	0,000	0,413	-	-	-	-
Modo Vibrazione n. 8							
SLU-X	0,015	1,258	0,000	0,000	0,0000	0,00	0
SLU-Y	0,015	1,258	0,000	-16,094	-0,0001	10,52	259
SLU-Z	0,000	0,000	0,413	0,000	0,0000	0,00	0
SLD-X	0,015	0,645	0,000	0,000	0,0000	0,00	0
SLD-Y	0,015	0,645	0,000	-16,094	-0,0001	10,52	259
SLD-Z	0,000	0,000	0,137	0,000	0,0000	0,00	0
Elast-X	-	0,645	0,000	-	-	-	-
Elast-Y	-	0,645	0,000	-	-	-	-
Elast-Z	-	0,000	0,413	-	-	-	-
Modo Vibrazione n. 9							
SLU-X	0,064	1,555	0,000	13,923	0,0015	7,88	194
SLU-Y	0,064	1,555	0,000	0,000	0,0000	0,00	0
SLU-Z	0,000	0,000	0,413	0,000	0,0000	0,00	0

Sptr	T	a _{g,o}	a _{g,v}	Γ	CM	%M.M	M _{Ecc}
SLD-X	0,064	0,923	0,000	13,923	0,0015	7,88	194
SLD-Y	0,064	0,923	0,000	0,000	0,0000	0,00	0
SLD-Z	0,000	0,000	0,137	0,000	0,0000	0,00	0
Elast-X	-	0,923	0,000	-	-	-	-
Elast-Y	-	0,923	0,000	-	-	-	-
Elast-Z	-	0,000	0,413	-	-	-	-
Modo Vibrazione n. 10							
SLU-X	0,037	1,392	0,000	-13,832	-0,0005	7,77	191
SLU-Y	0,037	1,392	0,000	0,000	0,0000	0,00	0
SLU-Z	0,000	0,000	0,413	0,000	0,0000	0,00	0
SLD-X	0,037	0,770	0,000	-13,832	-0,0005	7,77	191
SLD-Y	0,037	0,770	0,000	0,000	0,0000	0,00	0
SLD-Z	0,000	0,000	0,137	0,000	0,0000	0,00	0
Elast-X	-	0,770	0,000	-	-	-	-
Elast-Y	-	0,770	0,000	-	-	-	-
Elast-Z	-	0,000	0,413	-	-	-	-
Modo Vibrazione n. 11							
SLU-X	0,013	1,246	0,000	8,140	0,0000	2,69	66
SLU-Y	0,013	1,246	0,000	0,000	0,0000	0,00	0
SLU-Z	0,000	0,000	0,413	0,000	0,0000	0,00	0
SLD-X	0,013	0,634	0,000	8,140	0,0000	2,69	66
SLD-Y	0,013	0,634	0,000	0,000	0,0000	0,00	0
SLD-Z	0,000	0,000	0,137	0,000	0,0000	0,00	0
Elast-X	-	0,634	0,000	-	-	-	-
Elast-Y	-	0,634	0,000	-	-	-	-
Elast-Z	-	0,000	0,413	-	-	-	-
Modo Vibrazione n. 12							
SLU-X	0,039	1,399	0,000	0,000	0,0000	0,00	0
SLU-Y	0,039	1,399	0,000	8,043	0,0003	2,63	65
SLU-Z	0,000	0,000	0,413	0,000	0,0000	0,00	0
SLD-X	0,039	0,777	0,000	0,000	0,0000	0,00	0
SLD-Y	0,039	0,777	0,000	8,043	0,0003	2,63	65
SLD-Z	0,000	0,000	0,137	0,000	0,0000	0,00	0
Elast-X	-	0,777	0,000	-	-	-	-
Elast-Y	-	0,777	0,000	-	-	-	-
Elast-Z	-	0,000	0,413	-	-	-	-
Modo Vibrazione n. 13							
SLU-X	0,069	1,585	0,000	0,000	0,0000	0,00	0
SLU-Y	0,069	1,585	0,000	7,996	0,0010	2,60	64
SLU-Z	0,000	0,000	0,413	0,000	0,0000	0,00	0
SLD-X	0,069	0,951	0,000	0,000	0,0000	0,00	0
SLD-Y	0,069	0,951	0,000	7,996	0,0010	2,60	64
SLD-Z	0,000	0,000	0,137	0,000	0,0000	0,00	0
Elast-X	-	0,951	0,000	-	-	-	-
Elast-Y	-	0,951	0,000	-	-	-	-
Elast-Z	-	0,000	0,413	-	-	-	-
Modo Vibrazione n. 14							
SLU-X	0,070	1,586	0,000	0,000	0,0000	0,00	0
SLU-Y	0,070	1,586	0,000	-7,499	-0,0009	2,29	56
SLU-Z	0,000	0,000	0,413	0,000	0,0000	0,00	0
SLD-X	0,070	0,953	0,000	0,000	0,0000	0,00	0
SLD-Y	0,070	0,953	0,000	-7,499	-0,0009	2,29	56
SLD-Z	0,000	0,000	0,137	0,000	0,0000	0,00	0
Elast-X	-	0,953	0,000	-	-	-	-
Elast-Y	-	0,953	0,000	-	-	-	-
Elast-Z	-	0,000	0,413	-	-	-	-
Modo Vibrazione n. 15							
SLU-X	0,033	1,366	0,000	-7,296	-0,0002	2,16	53
SLU-Y	0,033	1,366	0,000	0,000	0,0000	0,00	0
SLU-Z	0,000	0,000	0,413	0,000	0,0000	0,00	0
SLD-X	0,033	0,747	0,000	-7,296	-0,0002	2,16	53
SLD-Y	0,033	0,747	0,000	0,000	0,0000	0,00	0
SLD-Z	0,000	0,000	0,137	0,000	0,0000	0,00	0
Elast-X	-	0,747	0,000	-	-	-	-
Elast-Y	-	0,747	0,000	-	-	-	-
Elast-Z	-	0,000	0,413	-	-	-	-
Modo Vibrazione n. 16							
SLU-X	0,061	1,538	0,000	5,144	0,0005	1,08	26
SLU-Y	0,061	1,538	0,000	0,000	0,0000	0,00	0
SLU-Z	0,000	0,000	0,413	0,000	0,0000	0,00	0
SLD-X	0,061	0,907	0,000	5,144	0,0005	1,08	26
SLD-Y	0,061	0,907	0,000	0,000	0,0000	0,00	0
SLD-Z	0,000	0,000	0,137	0,000	0,0000	0,00	0
Elast-X	-	0,907	0,000	-	-	-	-
Elast-Y	-	0,907	0,000	-	-	-	-
Elast-Z	-	0,000	0,413	-	-	-	-
Modo Vibrazione n. 17							
SLU-X	0,132	1,966	0,000	0,000	0,0000	0,00	0
SLU-Y	0,132	1,966	0,000	4,659	0,0021	0,88	22
SLU-Z	0,000	0,000	0,413	0,000	0,0000	0,00	0
SLD-X	0,132	1,308	0,000	0,000	0,0000	0,00	0
SLD-Y	0,132	1,308	0,000	4,659	0,0021	0,88	22
SLD-Z	0,000	0,000	0,137	0,000	0,0000	0,00	0
Elast-X	-	1,308	0,000	-	-	-	-
Elast-Y	-	1,308	0,000	-	-	-	-
Elast-Z	-	0,000	0,413	-	-	-	-
Modo Vibrazione n. 18							

Sptr	T	a _{g,o}	a _{g,v}	Γ	CM	%M.M	M _{Ecc}
SLU-X	0,068	1,577	0,000	-4,439	-0,0005	0,80	20
SLU-Y	0,068	1,577	0,000	0,000	0,0000	0,00	0
SLU-Z	0,000	0,000	0,413	0,000	0,0000	0,00	0
SLD-X	0,068	0,944	0,000	-4,439	-0,0005	0,80	20
SLD-Y	0,068	0,944	0,000	0,000	0,0000	0,00	0
SLD-Z	0,000	0,000	0,137	0,000	0,0000	0,00	0
Elast-X	-	0,944	0,000	-	-	-	-
Elast-Y	-	0,944	0,000	-	-	-	-
Elast-Z	-	0,000	0,413	-	-	-	-
Modo Vibrazione n. 19							
SLU-X	0,066	1,565	0,000	0,000	0,0000	0,00	0
SLU-Y	0,066	1,565	0,000	4,265	0,0005	0,74	18
SLU-Z	0,000	0,000	0,413	0,000	0,0000	0,00	0
SLD-X	0,066	0,933	0,000	0,000	0,0000	0,00	0
SLD-Y	0,066	0,933	0,000	4,265	0,0005	0,74	18
SLD-Z	0,000	0,000	0,137	0,000	0,0000	0,00	0
Elast-X	-	0,933	0,000	-	-	-	-
Elast-Y	-	0,933	0,000	-	-	-	-
Elast-Z	-	0,000	0,413	-	-	-	-
Modo Vibrazione n. 20							
SLU-X	0,065	1,556	0,000	3,513	0,0004	0,50	12
SLU-Y	0,065	1,556	0,000	0,000	0,0000	0,00	0
SLU-Z	0,000	0,000	0,413	0,000	0,0000	0,00	0
SLD-X	0,065	0,925	0,000	3,513	0,0004	0,50	12
SLD-Y	0,065	0,925	0,000	0,000	0,0000	0,00	0
SLD-Z	0,000	0,000	0,137	0,000	0,0000	0,00	0
Elast-X	-	0,925	0,000	-	-	-	-
Elast-Y	-	0,925	0,000	-	-	-	-
Elast-Z	-	0,000	0,413	-	-	-	-
Modo Vibrazione n. 21							
SLU-X	0,049	1,464	0,000	0,000	0,0000	0,00	0
SLU-Y	0,049	1,464	0,000	3,479	0,0002	0,49	12
SLU-Z	0,000	0,000	0,413	0,000	0,0000	0,00	0
SLD-X	0,049	0,838	0,000	0,000	0,0000	0,00	0
SLD-Y	0,049	0,838	0,000	3,479	0,0002	0,49	12
SLD-Z	0,000	0,000	0,137	0,000	0,0000	0,00	0
Elast-X	-	0,838	0,000	-	-	-	-
Elast-Y	-	0,838	0,000	-	-	-	-
Elast-Z	-	0,000	0,413	-	-	-	-
Modo Vibrazione n. 22							
SLU-X	0,069	1,584	0,000	0,000	0,0000	0,00	0
SLU-Y	0,069	1,584	0,000	3,278	0,0004	0,44	11
SLU-Z	0,000	0,000	0,413	0,000	0,0000	0,00	0
SLD-X	0,069	0,951	0,000	0,000	0,0000	0,00	0
SLD-Y	0,069	0,951	0,000	3,278	0,0004	0,44	11
SLD-Z	0,000	0,000	0,137	0,000	0,0000	0,00	0
Elast-X	-	0,951	0,000	-	-	-	-
Elast-Y	-	0,951	0,000	-	-	-	-
Elast-Z	-	0,000	0,413	-	-	-	-
Modo Vibrazione n. 23							
SLU-X	0,074	1,612	0,000	0,000	0,0000	0,00	0
SLU-Y	0,074	1,612	0,000	3,234	0,0004	0,42	10
SLU-Z	0,000	0,000	0,413	0,000	0,0000	0,00	0
SLD-X	0,074	0,977	0,000	0,000	0,0000	0,00	0
SLD-Y	0,074	0,977	0,000	3,234	0,0004	0,42	10
SLD-Z	0,000	0,000	0,137	0,000	0,0000	0,00	0
Elast-X	-	0,977	0,000	-	-	-	-
Elast-Y	-	0,977	0,000	-	-	-	-
Elast-Z	-	0,000	0,413	-	-	-	-
Modo Vibrazione n. 24							
SLU-X	0,124	1,918	0,000	0,000	0,0000	0,00	0
SLU-Y	0,124	1,918	0,000	-2,794	-0,0011	0,32	8
SLU-Z	0,000	0,000	0,413	0,000	0,0000	0,00	0
SLD-X	0,124	1,264	0,000	0,000	0,0000	0,00	0
SLD-Y	0,124	1,264	0,000	-2,794	-0,0011	0,32	8
SLD-Z	0,000	0,000	0,137	0,000	0,0000	0,00	0
Elast-X	-	1,264	0,000	-	-	-	-
Elast-Y	-	1,264	0,000	-	-	-	-
Elast-Z	-	0,000	0,413	-	-	-	-
Modo Vibrazione n. 25							
SLU-X	0,107	1,810	0,000	0,000	0,0000	0,00	0
SLU-Y	0,107	1,810	0,000	-2,673	-0,0008	0,29	7
SLU-Z	0,000	0,000	0,413	0,000	0,0000	0,00	0
SLD-X	0,107	1,163	0,000	0,000	0,0000	0,00	0
SLD-Y	0,107	1,163	0,000	-2,673	-0,0008	0,29	7
SLD-Z	0,000	0,000	0,137	0,000	0,0000	0,00	0
Elast-X	-	1,163	0,000	-	-	-	-
Elast-Y	-	1,163	0,000	-	-	-	-
Elast-Z	-	0,000	0,413	-	-	-	-
Modo Vibrazione n. 26							
SLU-X	0,071	1,593	0,000	0,000	0,0000	0,00	0
SLU-Y	0,071	1,593	0,000	-2,388	-0,0003	0,23	6
SLU-Z	0,000	0,000	0,413	0,000	0,0000	0,00	0
SLD-X	0,071	0,959	0,000	0,000	0,0000	0,00	0
SLD-Y	0,071	0,959	0,000	-2,388	-0,0003	0,23	6
SLD-Z	0,000	0,000	0,137	0,000	0,0000	0,00	0
Elast-X	-	0,959	0,000	-	-	-	-

Sptr	T	a _{g,o}	a _{g,v}	Γ	CM	%M.M	M _{Ecc}
Elast-Y	-	0,959	0,000	-	-	-	-
Elast-Z	-	0,000	0,413	-	-	-	-
Modo Vibrazione n. 27							
SLU-X	0,128	1,943	0,000	0,000	0,0000	0,00	0
SLU-Y	0,128	1,943	0,000	-2,272	-0,0009	0,21	5
SLU-Z	0,000	0,000	0,413	0,000	0,0000	0,00	0
SLD-X	0,128	1,287	0,000	0,000	0,0000	0,00	0
SLD-Y	0,128	1,287	0,000	-2,272	-0,0009	0,21	5
SLD-Z	0,000	0,000	0,137	0,000	0,0000	0,00	0
Elast-X	-	1,287	0,000	-	-	-	-
Elast-Y	-	1,287	0,000	-	-	-	-
Elast-Z	-	0,000	0,413	-	-	-	-
Modo Vibrazione n. 28							
SLU-X	0,113	1,848	0,000	0,000	0,0000	0,00	0
SLU-Y	0,113	1,848	0,000	-1,959	-0,0006	0,16	4
SLU-Z	0,000	0,000	0,413	0,000	0,0000	0,00	0
SLD-X	0,113	1,198	0,000	0,000	0,0000	0,00	0
SLD-Y	0,113	1,198	0,000	-1,959	-0,0006	0,16	4
SLD-Z	0,000	0,000	0,137	0,000	0,0000	0,00	0
Elast-X	-	1,198	0,000	-	-	-	-
Elast-Y	-	1,198	0,000	-	-	-	-
Elast-Z	-	0,000	0,413	-	-	-	-
Modo Vibrazione n. 29							
SLU-X	0,073	1,607	0,000	0,000	0,0000	0,00	0
SLU-Y	0,073	1,607	0,000	-1,839	-0,0002	0,14	3
SLU-Z	0,000	0,000	0,413	0,000	0,0000	0,00	0
SLD-X	0,073	0,972	0,000	0,000	0,0000	0,00	0
SLD-Y	0,073	0,972	0,000	-1,839	-0,0002	0,14	3
SLD-Z	0,000	0,000	0,137	0,000	0,0000	0,00	0
Elast-X	-	0,972	0,000	-	-	-	-
Elast-Y	-	0,972	0,000	-	-	-	-
Elast-Z	-	0,000	0,413	-	-	-	-
Modo Vibrazione n. 30							
SLU-X	0,071	1,592	0,000	0,000	0,0000	0,00	0
SLU-Y	0,071	1,592	0,000	-1,638	-0,0002	0,11	3
SLU-Z	0,000	0,000	0,413	0,000	0,0000	0,00	0
SLD-X	0,071	0,959	0,000	0,000	0,0000	0,00	0
SLD-Y	0,071	0,959	0,000	-1,638	-0,0002	0,11	3
SLD-Z	0,000	0,000	0,137	0,000	0,0000	0,00	0
Elast-X	-	0,959	0,000	-	-	-	-
Elast-Y	-	0,959	0,000	-	-	-	-
Elast-Z	-	0,000	0,413	-	-	-	-
Modo Vibrazione n. 31							
SLU-X	0,005	1,198	0,000	1,591	0,0000	0,10	3
SLU-Y	0,005	1,198	0,000	0,000	0,0000	0,00	0
SLU-Z	0,000	0,000	0,413	0,000	0,0000	0,00	0
SLD-X	0,005	0,589	0,000	1,591	0,0000	0,10	3
SLD-Y	0,005	0,589	0,000	0,000	0,0000	0,00	0
SLD-Z	0,000	0,000	0,137	0,000	0,0000	0,00	0
Elast-X	-	0,589	0,000	-	-	-	-
Elast-Y	-	0,589	0,000	-	-	-	-
Elast-Z	-	0,000	0,413	-	-	-	-
Modo Vibrazione n. 32							
SLU-X	0,066	1,564	0,000	0,000	0,0000	0,00	0
SLU-Y	0,066	1,564	0,000	1,550	0,0002	0,10	2
SLU-Z	0,000	0,000	0,413	0,000	0,0000	0,00	0
SLD-X	0,066	0,932	0,000	0,000	0,0000	0,00	0
SLD-Y	0,066	0,932	0,000	1,550	0,0002	0,10	2
SLD-Z	0,000	0,000	0,137	0,000	0,0000	0,00	0
Elast-X	-	0,932	0,000	-	-	-	-
Elast-Y	-	0,932	0,000	-	-	-	-
Elast-Z	-	0,000	0,413	-	-	-	-
Modo Vibrazione n. 33							
SLU-X	0,076	1,627	0,000	0,000	0,0000	0,00	0
SLU-Y	0,076	1,627	0,000	-1,340	-0,0002	0,07	2
SLU-Z	0,000	0,000	0,413	0,000	0,0000	0,00	0
SLD-X	0,076	0,991	0,000	0,000	0,0000	0,00	0
SLD-Y	0,076	0,991	0,000	-1,340	-0,0002	0,07	2
SLD-Z	0,000	0,000	0,137	0,000	0,0000	0,00	0
Elast-X	-	0,991	0,000	-	-	-	-
Elast-Y	-	0,991	0,000	-	-	-	-
Elast-Z	-	0,000	0,413	-	-	-	-
Modo Vibrazione n. 34							
SLU-X	0,061	1,537	0,000	1,280	0,0001	0,07	2
SLU-Y	0,061	1,537	0,000	0,000	0,0000	0,00	0
SLU-Z	0,000	0,000	0,413	0,000	0,0000	0,00	0
SLD-X	0,061	0,907	0,000	1,280	0,0001	0,07	2
SLD-Y	0,061	0,907	0,000	0,000	0,0000	0,00	0
SLD-Z	0,000	0,000	0,137	0,000	0,0000	0,00	0
Elast-X	-	0,907	0,000	-	-	-	-
Elast-Y	-	0,907	0,000	-	-	-	-
Elast-Z	-	0,000	0,413	-	-	-	-
Modo Vibrazione n. 35							
SLU-X	0,006	1,202	0,000	0,000	0,0000	0,00	0
SLU-Y	0,006	1,202	0,000	-1,205	0,0000	0,06	1
SLU-Z	0,000	0,000	0,413	0,000	0,0000	0,00	0
SLD-X	0,006	0,593	0,000	0,000	0,0000	0,00	0

Sptr	T	a _{g,o}	a _{g,v}	Γ	CM	%M.M	M _{Ecc}
SLD-Y	0,006	0,593	0,000	-1,205	0,0000	0,06	1
SLD-Z	0,000	0,000	0,137	0,000	0,0000	0,00	0
Elast-X	-	0,593	0,000	-	-	-	-
Elast-Y	-	0,593	0,000	-	-	-	-
Elast-Z	-	0,000	0,413	-	-	-	-
Modo Vibrazione n. 36							
SLU-X	0,067	1,571	0,000	0,000	0,0000	0,00	0
SLU-Y	0,067	1,571	0,000	1,156	0,0001	0,05	1
SLU-Z	0,000	0,000	0,413	0,000	0,0000	0,00	0
SLD-X	0,067	0,938	0,000	0,000	0,0000	0,00	0
SLD-Y	0,067	0,938	0,000	1,156	0,0001	0,05	1
SLD-Z	0,000	0,000	0,137	0,000	0,0000	0,00	0
Elast-X	-	0,938	0,000	-	-	-	-
Elast-Y	-	0,938	0,000	-	-	-	-
Elast-Z	-	0,000	0,413	-	-	-	-
Modo Vibrazione n. 37							
SLU-X	0,012	1,240	0,000	-1,138	0,0000	0,05	1
SLU-Y	0,012	1,240	0,000	0,000	0,0000	0,00	0
SLU-Z	0,000	0,000	0,413	0,000	0,0000	0,00	0
SLD-X	0,012	0,628	0,000	-1,138	0,0000	0,05	1
SLD-Y	0,012	0,628	0,000	0,000	0,0000	0,00	0
SLD-Z	0,000	0,000	0,137	0,000	0,0000	0,00	0
Elast-X	-	0,628	0,000	-	-	-	-
Elast-Y	-	0,628	0,000	-	-	-	-
Elast-Z	-	0,000	0,413	-	-	-	-
Modo Vibrazione n. 38							
SLU-X	0,023	1,307	0,000	0,000	0,0000	0,00	0
SLU-Y	0,023	1,307	0,000	-1,115	0,0000	0,05	1
SLU-Z	0,000	0,000	0,413	0,000	0,0000	0,00	0
SLD-X	0,023	0,691	0,000	0,000	0,0000	0,00	0
SLD-Y	0,023	0,691	0,000	-1,115	0,0000	0,05	1
SLD-Z	0,000	0,000	0,137	0,000	0,0000	0,00	0
Elast-X	-	0,691	0,000	-	-	-	-
Elast-Y	-	0,691	0,000	-	-	-	-
Elast-Z	-	0,000	0,413	-	-	-	-
Modo Vibrazione n. 39							
SLU-X	0,066	1,564	0,000	0,000	0,0000	0,00	0
SLU-Y	0,066	1,564	0,000	-1,101	-0,0001	0,05	1
SLU-Z	0,000	0,000	0,413	0,000	0,0000	0,00	0
SLD-X	0,066	0,932	0,000	0,000	0,0000	0,00	0
SLD-Y	0,066	0,932	0,000	-1,101	-0,0001	0,05	1
SLD-Z	0,000	0,000	0,137	0,000	0,0000	0,00	0
Elast-X	-	0,932	0,000	-	-	-	-
Elast-Y	-	0,932	0,000	-	-	-	-
Elast-Z	-	0,000	0,413	-	-	-	-
Modo Vibrazione n. 40							
SLU-X	0,011	1,233	0,000	0,000	0,0000	0,00	0
SLU-Y	0,011	1,233	0,000	-1,066	0,0000	0,05	1
SLU-Z	0,000	0,000	0,413	0,000	0,0000	0,00	0
SLD-X	0,011	0,622	0,000	0,000	0,0000	0,00	0
SLD-Y	0,011	0,622	0,000	-1,066	0,0000	0,05	1
SLD-Z	0,000	0,000	0,137	0,000	0,0000	0,00	0
Elast-X	-	0,622	0,000	-	-	-	-
Elast-Y	-	0,622	0,000	-	-	-	-
Elast-Z	-	0,000	0,413	-	-	-	-
Modo Vibrazione n. 41							
SLU-X	0,007	1,211	0,000	0,000	0,0000	0,00	0
SLU-Y	0,007	1,211	0,000	-0,935	0,0000	0,04	1
SLU-Z	0,000	0,000	0,413	0,000	0,0000	0,00	0
SLD-X	0,007	0,601	0,000	0,000	0,0000	0,00	0
SLD-Y	0,007	0,601	0,000	-0,935	0,0000	0,04	1
SLD-Z	0,000	0,000	0,137	0,000	0,0000	0,00	0
Elast-X	-	0,601	0,000	-	-	-	-
Elast-Y	-	0,601	0,000	-	-	-	-
Elast-Z	-	0,000	0,413	-	-	-	-
Modo Vibrazione n. 42							
SLU-X	0,005	1,198	0,000	-0,881	0,0000	0,03	1
SLU-Y	0,005	1,198	0,000	0,000	0,0000	0,00	0
SLU-Z	0,000	0,000	0,413	0,000	0,0000	0,00	0
SLD-X	0,005	0,589	0,000	-0,881	0,0000	0,03	1
SLD-Y	0,005	0,589	0,000	0,000	0,0000	0,00	0
SLD-Z	0,000	0,000	0,137	0,000	0,0000	0,00	0
Elast-X	-	0,589	0,000	-	-	-	-
Elast-Y	-	0,589	0,000	-	-	-	-
Elast-Z	-	0,000	0,413	-	-	-	-
Modo Vibrazione n. 43							
SLU-X	0,061	1,535	0,000	-0,867	-0,0001	0,03	1
SLU-Y	0,061	1,535	0,000	0,000	0,0000	0,00	0
SLU-Z	0,000	0,000	0,413	0,000	0,0000	0,00	0
SLD-X	0,061	0,904	0,000	-0,867	-0,0001	0,03	1
SLD-Y	0,061	0,904	0,000	0,000	0,0000	0,00	0
SLD-Z	0,000	0,000	0,137	0,000	0,0000	0,00	0
Elast-X	-	0,904	0,000	-	-	-	-
Elast-Y	-	0,904	0,000	-	-	-	-
Elast-Z	-	0,000	0,413	-	-	-	-
Modo Vibrazione n. 44							
SLU-X	0,063	1,546	0,000	0,000	0,0000	0,00	0

Sptr	T	a _{g,o}	a _{g,v}	Γ	CM	%M.M	M _{Ecc}
SLU-Y	0,063	1,546	0,000	0,822	0,0001	0,03	1
SLU-Z	0,000	0,000	0,413	0,000	0,0000	0,00	0
SLD-X	0,063	0,915	0,000	0,000	0,0000	0,00	0
SLD-Y	0,063	0,915	0,000	0,822	0,0001	0,03	1
SLD-Z	0,000	0,000	0,137	0,000	0,0000	0,00	0
Elast-X	-	0,915	0,000	-	-	-	-
Elast-Y	-	0,915	0,000	-	-	-	-
Elast-Z	-	0,000	0,413	-	-	-	-
Modo Vibrazione n. 45							
SLU-X	0,085	1,683	0,000	0,000	0,0000	0,00	0
SLU-Y	0,085	1,683	0,000	-0,758	-0,0001	0,02	1
SLU-Z	0,000	0,000	0,413	0,000	0,0000	0,00	0
SLD-X	0,085	1,043	0,000	0,000	0,0000	0,00	0
SLD-Y	0,085	1,043	0,000	-0,758	-0,0001	0,02	1
SLD-Z	0,000	0,000	0,137	0,000	0,0000	0,00	0
Elast-X	-	1,043	0,000	-	-	-	-
Elast-Y	-	1,043	0,000	-	-	-	-
Elast-Z	-	0,000	0,413	-	-	-	-
Modo Vibrazione n. 46							
SLU-X	0,005	1,194	0,000	0,709	0,0000	0,02	1
SLU-Y	0,005	1,194	0,000	0,000	0,0000	0,00	0
SLU-Z	0,000	0,000	0,413	0,000	0,0000	0,00	0
SLD-X	0,005	0,585	0,000	0,709	0,0000	0,02	1
SLD-Y	0,005	0,585	0,000	0,000	0,0000	0,00	0
SLD-Z	0,000	0,000	0,137	0,000	0,0000	0,00	0
Elast-X	-	0,585	0,000	-	-	-	-
Elast-Y	-	0,585	0,000	-	-	-	-
Elast-Z	-	0,000	0,413	-	-	-	-
Modo Vibrazione n. 47							
SLU-X	0,004	1,191	0,000	0,659	0,0000	0,02	0
SLU-Y	0,004	1,191	0,000	0,000	0,0000	0,00	0
SLU-Z	0,000	0,000	0,413	0,000	0,0000	0,00	0
SLD-X	0,004	0,583	0,000	0,659	0,0000	0,02	0
SLD-Y	0,004	0,583	0,000	0,000	0,0000	0,00	0
SLD-Z	0,000	0,000	0,137	0,000	0,0000	0,00	0
Elast-X	-	0,583	0,000	-	-	-	-
Elast-Y	-	0,583	0,000	-	-	-	-
Elast-Z	-	0,000	0,413	-	-	-	-
Modo Vibrazione n. 48							
SLU-X	0,063	1,548	0,000	0,000	0,0000	0,00	0
SLU-Y	0,063	1,548	0,000	0,656	0,0001	0,02	0
SLU-Z	0,000	0,000	0,413	0,000	0,0000	0,00	0
SLD-X	0,063	0,917	0,000	0,000	0,0000	0,00	0
SLD-Y	0,063	0,917	0,000	0,656	0,0001	0,02	0
SLD-Z	0,000	0,000	0,137	0,000	0,0000	0,00	0
Elast-X	-	0,917	0,000	-	-	-	-
Elast-Y	-	0,917	0,000	-	-	-	-
Elast-Z	-	0,000	0,413	-	-	-	-
Modo Vibrazione n. 49							
SLU-X	0,063	1,545	0,000	0,000	0,0000	0,00	0
SLU-Y	0,063	1,545	0,000	0,572	0,0001	0,01	0
SLU-Z	0,000	0,000	0,413	0,000	0,0000	0,00	0
SLD-X	0,063	0,914	0,000	0,000	0,0000	0,00	0
SLD-Y	0,063	0,914	0,000	0,572	0,0001	0,01	0
SLD-Z	0,000	0,000	0,137	0,000	0,0000	0,00	0
Elast-X	-	0,914	0,000	-	-	-	-
Elast-Y	-	0,914	0,000	-	-	-	-
Elast-Z	-	0,000	0,413	-	-	-	-
Modo Vibrazione n. 50							
SLU-X	0,021	1,293	0,000	0,000	0,0000	0,00	0
SLU-Y	0,021	1,293	0,000	-0,536	0,0000	0,01	0
SLU-Z	0,000	0,000	0,413	0,000	0,0000	0,00	0
SLD-X	0,021	0,678	0,000	0,000	0,0000	0,00	0
SLD-Y	0,021	0,678	0,000	-0,536	0,0000	0,01	0
SLD-Z	0,000	0,000	0,137	0,000	0,0000	0,00	0
Elast-X	-	0,678	0,000	-	-	-	-
Elast-Y	-	0,678	0,000	-	-	-	-
Elast-Z	-	0,000	0,413	-	-	-	-

LEGENDA:

Sptr	Spettro di risposta considerato.
T	Periodo del Modo di vibrazione.
a_{g,o}	Valore dell'Accelerazione Spettrale Orizzontale, riferita al corrispondente periodo.
a_{g,v}	Valore dell'Accelerazione Spettrale Verticale, riferita al corrispondente periodo.
Γ	Coefficiente di partecipazione.
CM	Coefficiente modale del modo di vibrazione.
%M.M	Percentuale di mobilitazione delle masse nel modo di vibrazione.
M_{Ecc}	Massa Eccitata nel modo di vibrazione.
SLU-X	Spettro di progetto allo S.L. Ultimo per sisma in direzione X.
SLU-Y	Spettro di progetto allo S.L. Ultimo per sisma in direzione Y.
SLU-Z	Spettro di progetto allo S.L. Ultimo per sisma in direzione Z.
SLD-X	Spettro di progetto allo S.L. di Danno per sisma in direzione X.
SLD-Y	Spettro di progetto allo S.L. di Danno per sisma in direzione Y.
SLD-Z	Spettro di progetto allo S.L. di Danno per sisma in direzione Z.
Elast-X	Spettro Elastico per sisma in direzione X.
Elast-Y	Spettro Elastico per sisma in direzione Y.
Elast-Z	Spettro Elastico per sisma in direzione Z.

LIVELLI O PIANI

Livelli o piani														
Id _{Lv}	Descrizione	Z _{Lv}	H _{Lv}	Q _{ex,lv}	PR	Rd _{tmp}	Massa del piano			Dir	G _{st}	G _{SLU}	G _{SLD}	R _{SLU}
							M _{L,Str}	M _{L,SLU}	M _{L,SLD}					
		[m]	[m]	[m]			[N·s ² /m]	[N·s ² /m]	[N·s ² /m]		[m]	[m]	[m]	[m]
01	Piano Terra	0,00	1,50	1,50	NO	NO	4.374	2.466	2.466	X Y	-26,90 5,69	-27,00 5,68	-27,00 5,68	-27,04 5,68
02	Fondazione	0,00		0,00	NO	NO	203	203	203	X Y	-26,99 5,67	-26,99 5,67	-26,99 5,67	- -

LEGENDA:

- Id_{Lv}** Numero identificativo del livello o piano.
- Z_{Lv}** Quota di calpestio del livello o piano, relativa al sistema di riferimento globale X, Y, Z.
- H_{Lv}** Altezza del livello o piano.
- Q_{ex,lv}** Quota dell'estradosso dell'impalcato del livello o piano.
- PR** Indica se l'impalcato (orizzontale) è considerato rigido nel calcolo: [SI] = Piano Rigido - [NO] = Piano non Rigido.
In alternativa vedere tabella "Solai e Balconi" in quanto il comportamento rigido potrebbe essere stato assegnato ai singoli solai del livello.
- Rd_{tmp}** Per i piani con riduzione dei tamponamenti, sono state incrementate le azioni di calcolo per gli elementi verticali (pilastri e pareti) di un fattore 1,4: [SI] = Piano con riduzione dei tamponamenti - [NO] = Piano senza riduzione dei tamponamenti.
- M_{L,Str}** Massa del piano valutata in condizioni statiche.
- M_{L,SLU}** Massa del piano valutata allo SLU.
- M_{L,SLD}** Massa del piano valutata allo SLD.
- G_{st}** Coordinate del baricentro delle masse, valutate in condizioni statiche.
- G_{SLU}** Coordinate del baricentro delle masse, valutate per SLU.
- G_{SLD}** Coordinate del baricentro delle masse, valutate per SLD.
- R_{SLU}** Coordinate del baricentro delle rigidezze, valutate per SLU.

NODI

Nodi									
Id _{Nd}	Dir	X, Y, Z	Vincolo Esterno			Cedimenti Impresi		Clc Fnd	
			V. ex	R _s	R _θ	S	θ		
		[m]		[N/cm]	[N·m/rad]	[cm]	[rad]		
00001	X	-32,75	Incastro	infinita	infinita	-	-	NO	
	Y	5,68		infinita	infinita	-	-		
	Z	0,00		infinita	infinita	-	-		
00002	X	-32,75	nessuno	-	-	-	-	NO	
	Y	5,68		-	-	-	-		
	Z	1,50		-	-	-	-		
00003	X	-27,04	Incastro	infinita	infinita	-	-	NO	
	Y	5,68		infinita	infinita	-	-		
	Z	0,00		infinita	infinita	-	-		
00004	X	-27,04	nessuno	-	-	-	-	NO	
	Y	5,68		-	-	-	-		
	Z	1,50		-	-	-	-		
00005	X	-21,35	Incastro	infinita	infinita	-	-	NO	
	Y	5,68		infinita	infinita	-	-		
	Z	0,00		infinita	infinita	-	-		
00006	X	-21,35	nessuno	-	-	-	-	NO	
	Y	5,68		-	-	-	-		
	Z	1,50		-	-	-	-		
00007	X	-19,60	nessuno	-	-	-	-	NO	
	Y	5,68		-	-	-	-		
	Z	1,50		-	-	-	-		
00008	X	-34,50	nessuno	-	-	-	-	NO	
	Y	5,68		-	-	-	-		
	Z	1,50		-	-	-	-		
00009	X	-34,50	nessuno	-	-	-	-	NO	
	Y	7,68		-	-	-	-		
	Z	1,50		-	-	-	-		
00010	X	-34,50	nessuno	-	-	-	-	NO	
	Y	3,68		-	-	-	-		
	Z	1,50		-	-	-	-		
00011	X	-33,56	nessuno	-	-	-	-	NO	
	Y	5,68		-	-	-	-		
	Z	1,50		-	-	-	-		
00012	X	-32,60	nessuno	-	-	-	-	NO	
	Y	7,68		-	-	-	-		
	Z	1,50		-	-	-	-		
00013	X	-33,56	nessuno	-	-	-	-	NO	
	Y	7,68		-	-	-	-		
	Z	1,50		-	-	-	-		
00014	X	-31,51	nessuno	-	-	-	-	NO	
	Y	5,68		-	-	-	-		
	Z	1,50		-	-	-	-		
00015	X	-31,51	nessuno	-	-	-	-	NO	
	Y	7,68		-	-	-	-		
	Z	1,50		-	-	-	-		
00016	X	-30,44	nessuno	-	-	-	-	NO	
	Y	5,68		-	-	-	-		
	Z	1,50		-	-	-	-		
00017	X	-30,44	nessuno	-	-	-	-	NO	
	Y	7,68		-	-	-	-		
	Z	1,50		-	-	-	-		
00018	X	-29,36	nessuno	-	-	-	-	NO	
	Y	5,68		-	-	-	-		

IdNd	Dir	X, Y, Z [m]	Vincolo Esterno			Cedimenti Impressi		Clc Fnd
			V. ex	R _s [N/cm]	R _e [N-m/rad]	S [cm]	⊙ [rad]	
	Z	1,50		-	-	-	-	
00019	X	-29,36	nessuno	-	-	-	-	NO
	Y	7,68		-	-	-	-	
	Z	1,50		-	-	-	-	
00020	X	-28,28	nessuno	-	-	-	-	NO
	Y	5,68		-	-	-	-	
	Z	1,50		-	-	-	-	
00021	X	-28,28	nessuno	-	-	-	-	NO
	Y	7,68		-	-	-	-	
	Z	1,50		-	-	-	-	
00022	X	-27,29	nessuno	-	-	-	-	NO
	Y	5,68		-	-	-	-	
	Z	1,50		-	-	-	-	
00023	X	-27,29	nessuno	-	-	-	-	NO
	Y	7,68		-	-	-	-	
	Z	1,50		-	-	-	-	
00024	X	-26,33	nessuno	-	-	-	-	NO
	Y	5,68		-	-	-	-	
	Z	1,50		-	-	-	-	
00025	X	-26,33	nessuno	-	-	-	-	NO
	Y	7,68		-	-	-	-	
	Z	1,50		-	-	-	-	
00026	X	-25,42	nessuno	-	-	-	-	NO
	Y	5,68		-	-	-	-	
	Z	1,50		-	-	-	-	
00027	X	-25,42	nessuno	-	-	-	-	NO
	Y	7,68		-	-	-	-	
	Z	1,50		-	-	-	-	
00028	X	-24,40	nessuno	-	-	-	-	NO
	Y	5,68		-	-	-	-	
	Z	1,50		-	-	-	-	
00029	X	-24,40	nessuno	-	-	-	-	NO
	Y	7,68		-	-	-	-	
	Z	1,50		-	-	-	-	
00030	X	-23,47	nessuno	-	-	-	-	NO
	Y	5,68		-	-	-	-	
	Z	1,50		-	-	-	-	
00031	X	-23,47	nessuno	-	-	-	-	NO
	Y	7,68		-	-	-	-	
	Z	1,50		-	-	-	-	
00032	X	-22,62	nessuno	-	-	-	-	NO
	Y	5,68		-	-	-	-	
	Z	1,50		-	-	-	-	
00033	X	-22,62	nessuno	-	-	-	-	NO
	Y	7,68		-	-	-	-	
	Z	1,50		-	-	-	-	
00034	X	-19,60	nessuno	-	-	-	-	NO
	Y	7,68		-	-	-	-	
	Z	1,50		-	-	-	-	
00035	X	-21,55	nessuno	-	-	-	-	NO
	Y	7,68		-	-	-	-	
	Z	1,50		-	-	-	-	
00036	X	-20,51	nessuno	-	-	-	-	NO
	Y	5,68		-	-	-	-	
	Z	1,50		-	-	-	-	
00037	X	-20,51	nessuno	-	-	-	-	NO
	Y	7,68		-	-	-	-	
	Z	1,50		-	-	-	-	
00038	X	-33,56	nessuno	-	-	-	-	NO
	Y	3,68		-	-	-	-	
	Z	1,50		-	-	-	-	
00039	X	-32,60	nessuno	-	-	-	-	NO
	Y	3,68		-	-	-	-	
	Z	1,50		-	-	-	-	
00040	X	-31,51	nessuno	-	-	-	-	NO
	Y	3,68		-	-	-	-	
	Z	1,50		-	-	-	-	
00041	X	-30,44	nessuno	-	-	-	-	NO
	Y	3,68		-	-	-	-	
	Z	1,50		-	-	-	-	
00042	X	-29,36	nessuno	-	-	-	-	NO
	Y	3,68		-	-	-	-	
	Z	1,50		-	-	-	-	
00043	X	-28,28	nessuno	-	-	-	-	NO
	Y	3,68		-	-	-	-	
	Z	1,50		-	-	-	-	
00044	X	-27,29	nessuno	-	-	-	-	NO
	Y	3,68		-	-	-	-	
	Z	1,50		-	-	-	-	
00045	X	-26,33	nessuno	-	-	-	-	NO
	Y	3,68		-	-	-	-	
	Z	1,50		-	-	-	-	
00046	X	-25,42	nessuno	-	-	-	-	NO

Id _{Nd}	Dir	X, Y, Z [m]	Vincolo Esterno			Cedimenti Impresi		Clc Fnd
			V. ex	R _S [N/cm]	R _θ [N-m/rad]	S [cm]	θ [rad]	
	Y	3,68		-	-	-	-	
	Z	1,50		-	-	-	-	
00047	X	-24,40	nessuno	-	-	-	-	NO
	Y	3,68		-	-	-	-	
	Z	1,50		-	-	-	-	
00048	X	-23,47	nessuno	-	-	-	-	NO
	Y	3,68		-	-	-	-	
	Z	1,50		-	-	-	-	
00049	X	-22,62	nessuno	-	-	-	-	NO
	Y	3,68		-	-	-	-	
	Z	1,50		-	-	-	-	
00050	X	-21,55	nessuno	-	-	-	-	NO
	Y	3,68		-	-	-	-	
	Z	1,50		-	-	-	-	
00051	X	-20,51	nessuno	-	-	-	-	NO
	Y	3,68		-	-	-	-	
	Z	1,50		-	-	-	-	
00052	X	-19,60	nessuno	-	-	-	-	NO
	Y	3,68		-	-	-	-	
	Z	1,50		-	-	-	-	

LEGENDA:

Id_{Nd} Identificativo del nodo.

X, Y, Z Coordinate del nodo rispetto al riferimento globale X, Y, Z.

V. ex Descrizione del tipo di vincolo esterno presente sul nodo.

R_S, R_θ Valori di rigidità del vincolo riferiti agli assi globali: R_S indica i valori di rigidità alla traslazione lungo gli assi X, Y e Z, mentre R_θ indica i valori di rigidità alla rotazione intorno agli assi X, Y, e Z.

S, θ Valori di spostamenti/rotazioni del nodo riferiti agli assi globali: S indica i valori di spostamento lungo gli assi X, Y, e Z, mentre θ indica i valori di rotazione intorno agli assi X, Y, e Z.

Clc Fnd [Si] = elemento progettato attraverso una modalità di rispetto della Gerarchia delle Resistenze per le Fondazioni. [No] = elemento progettato con le sollecitazioni ottenute dall'analisi (senza nessuna modalità di rispetto della Gerarchia delle Resistenze per le Fondazioni).

TRAVI IN ELEVAZIONE

Id _{Tr}	L _{L1} [m]	Sezione		V. Int.			Stz	Note	Mt r _l	AA /C IS	Nd i	Nd f	Disi- j [m]	Q _{LLI}			Clc Fnd	Pr/ Sc
		Id _{Sz}	Tp	Label	Rtz	Iniz.								Fin.	Iniz [m]	Fin. [m]		
Piano Terra														Travata: Piano Terra				
Trave Acciaio 18a-1	0,82	001	□	200x200x10	0,00	S;S;S;S;S;S	S;S;S;S;S;S	-		00 1	-	00 11	02	0,81	1,40	1,40	NO	-
Trave Acciaio 23a-2	0,24	001	□	200x200x10	0,00	S;S;S;S;S;S	S;S;S;S;S;S	-		00 1	-	00 22	04	0,24	1,40	1,40	NO	-
Trave Acciaio 29a-30a	0,92	001	□	200x200x10	0,00	S;S;S;S;S;S	S;S;S;S;S;S	-		00 1	-	00 36	07	0,92	1,40	1,40	NO	-
Trave Acciaio 17a-31a	2,00	002	□	100x100x5	0,00	S;S;S;S;S;S	S;S;S;S;S;S	-		00 1	-	00 08	09	2,00	1,45	1,45	NO	-
Trave Acciaio 1a-17a	2,00	002	□	100x100x5	0,00	S;S;S;S;S;S	S;S;S;S;S;S	-		00 1	-	00 10	08	2,00	1,45	1,45	NO	-
Trave Acciaio 17a-18a	0,94	001	□	200x200x10	0,00	S;S;S;S;S;S	S;S;S;S;S;S	-		00 1	-	00 08	11	0,94	1,40	1,40	NO	-
Trave Acciaio 1-33a	2,00	002	□	100x100x5	0,00	S;S;S;S;S;S	S;S;S;S;S;S	-		00 1	-	00 02	12	2,01	1,45	1,45	NO	-
Trave Acciaio 18a-32a	2,00	002	□	100x100x5	0,00	S;S;S;S;S;S	S;S;S;S;S;S	-		00 1	-	00 11	13	2,00	1,45	1,45	NO	-
Trave Acciaio 19a-34a	2,00	002	□	100x100x5	0,00	S;S;S;S;S;S	S;S;S;S;S;S	-		00 1	-	00 14	15	2,00	1,45	1,45	NO	-
Trave Acciaio 1-19a	1,23	001	□	200x200x10	0,00	S;S;S;S;S;S	S;S;S;S;S;S	-		00 1	-	00 02	14	1,24	1,40	1,40	NO	-
Trave Acciaio 20a-35a	2,00	002	□	100x100x5	0,00	S;S;S;S;S;S	S;S;S;S;S;S	-		00 1	-	00 16	17	2,00	1,45	1,45	NO	-
Trave Acciaio 19a-20a	1,08	001	□	200x200x10	0,00	S;S;S;S;S;S	S;S;S;S;S;S	-		00 1	-	00 14	16	1,08	1,40	1,40	NO	-
Trave Acciaio 21a-36a	2,00	002	□	100x100x5	0,00	S;S;S;S;S;S	S;S;S;S;S;S	-		00 1	-	00 18	19	2,00	1,45	1,45	NO	-
Trave Acciaio 20a-21a	1,08	001	□	200x200x10	0,00	S;S;S;S;S;S	S;S;S;S;S;S	-		00 1	-	00 16	18	1,08	1,40	1,40	NO	-
Trave Acciaio 22a-37a	2,00	002	□	100x100x5	0,00	S;S;S;S;S;S	S;S;S;S;S;S	-		00 1	-	00 20	21	2,00	1,45	1,45	NO	-
Trave Acciaio 21a-22a	1,08	001	□	200x200x10	0,00	S;S;S;S;S;S	S;S;S;S;S;S	-		00 1	-	00 18	20	1,08	1,40	1,40	NO	-
Trave Acciaio 23a-38a	2,00	002	□	100x100x5	0,00	S;S;S;S;S;S	S;S;S;S;S;S	-		00 1	-	00 22	23	2,00	1,45	1,45	NO	-
Trave Acciaio 22a-23a	0,99	001	□	200x200x10	0,00	S;S;S;S;S;S	S;S;S;S;S;S	-		00 1	-	00 20	22	0,99	1,40	1,40	NO	-
Trave Acciaio 24a-39a	2,00	002	□	100x100x5	0,00	S;S;S;S;S;S	S;S;S;S;S;S	-		00 1	-	00 24	25	2,00	1,45	1,45	NO	-
Trave Acciaio 2-24a	0,72	001	□	200x200x10	0,00	S;S;S;S;S;S	S;S;S;S;S;S	-		00 1	-	00 04	24	0,72	1,40	1,40	NO	-
Trave Acciaio 25a-40a	2,00	002	□	100x100x5	0,00	S;S;S;S;S;S	S;S;S;S;S;S	-		00 1	-	00 26	27	2,00	1,45	1,45	NO	-
Trave Acciaio 24a-25a	0,91	001	□	200x200x10	0,00	S;S;S;S;S;S	S;S;S;S;S;S	-		00 1	-	00 24	26	0,91	1,40	1,40	NO	-
Trave Acciaio	2,00	002	□	100x100x5	0,00	S;S;S;S;S;S	S;S;S;S;S;S	-		00	-	00	00	2,00	1,45	1,45	NO	-

Id _{Tr}	L _{L1}	Sezione				V. Int.			Stz	Note	Mtr l	AA / C / IS	Nd _i	Nd _f	Dis _{i-j}	Travi in elevazione			Clc Fnd	Pr / Sc
		Id _{Sz}	Tp	Label	Rtz	Iniz.	Fin.	Q _{LL1}												
								Iniz								Fin.	[m]	[m]		
26a-41a					[*ssdc]															
Trave Acciaio 25a-26a	1,03	001	□	200x200x10	0,00	S;S;S;S;S	S;S;S;S;S	-		1 00 1	-	28 00 26	29 00 28	1,03	1,40	1,40	NO	-		
Trave Acciaio 27a-42a	2,00	002	□	100x100x5	0,00	S;S;S;S;S	S;S;S;S;S	-		1 00 1	-	30 00 31	31 00 31	2,00	1,45	1,45	NO	-		
Trave Acciaio 26a-27a	0,92	001	□	200x200x10	0,00	S;S;S;S;S	S;S;S;S;S	-		1 00 1	-	28 00 30	30 00 30	0,92	1,40	1,40	NO	-		
Trave Acciaio 28a-43a	2,00	002	□	100x100x5	0,00	S;S;S;S;S	S;S;S;S;S	-		1 00 1	-	32 00 33	33 00 33	2,00	1,45	1,45	NO	-		
Trave Acciaio 27a-28a	0,85	001	□	200x200x10	0,00	S;S;S;S;S	S;S;S;S;S	-		1 00 1	-	30 00 32	32 00 32	0,85	1,40	1,40	NO	-		
Trave Acciaio 30a-46a	2,00	002	□	100x100x5	0,00	S;S;S;S;S	S;S;S;S;S	-		1 00 1	-	07 00 34	34 00 34	2,00	1,45	1,45	NO	-		
Trave Acciaio 3-44a	2,00	002	□	100x100x5	0,00	S;S;S;S;S	S;S;S;S;S	-		1 00 1	-	06 00 35	35 00 35	2,01	1,45	1,45	NO	-		
Trave Acciaio 29a-45a	2,00	002	□	100x100x5	0,00	S;S;S;S;S	S;S;S;S;S	-		1 00 1	-	36 00 37	37 00 37	2,00	1,45	1,45	NO	-		
Trave Acciaio 3-29a	0,84	001	□	200x200x10	0,00	S;S;S;S;S	S;S;S;S;S	-		1 00 1	-	06 00 36	36 00 36	0,84	1,40	1,40	NO	-		
Trave Acciaio 2a-18a	2,00	002	□	100x100x5	0,00	S;S;S;S;S	S;S;S;S;S	-		1 00 1	-	38 00 11	11 00 11	2,00	1,45	1,45	NO	-		
Trave Acciaio 3a-1	2,00	002	□	100x100x5	0,00	S;S;S;S;S	S;S;S;S;S	-		1 00 1	-	39 00 02	02 00 02	2,01	1,45	1,45	NO	-		
Trave Acciaio 4a-19a	2,00	002	□	100x100x5	0,00	S;S;S;S;S	S;S;S;S;S	-		1 00 1	-	40 00 14	14 00 14	2,00	1,45	1,45	NO	-		
Trave Acciaio 5a-20a	2,00	002	□	100x100x5	0,00	S;S;S;S;S	S;S;S;S;S	-		1 00 1	-	41 00 16	16 00 16	2,00	1,45	1,45	NO	-		
Trave Acciaio 6a-21a	2,00	002	□	100x100x5	0,00	S;S;S;S;S	S;S;S;S;S	-		1 00 1	-	42 00 18	18 00 18	2,00	1,45	1,45	NO	-		
Trave Acciaio 7a-22a	2,00	002	□	100x100x5	0,00	S;S;S;S;S	S;S;S;S;S	-		1 00 1	-	43 00 20	20 00 20	2,00	1,45	1,45	NO	-		
Trave Acciaio 8a-23a	2,00	002	□	100x100x5	0,00	S;S;S;S;S	S;S;S;S;S	-		1 00 1	-	44 00 22	22 00 22	2,00	1,45	1,45	NO	-		
Trave Acciaio 9a-24a	2,00	002	□	100x100x5	0,00	S;S;S;S;S	S;S;S;S;S	-		1 00 1	-	45 00 24	24 00 24	2,00	1,45	1,45	NO	-		
Trave Acciaio 10a-25a	2,00	002	□	100x100x5	0,00	S;S;S;S;S	S;S;S;S;S	-		1 00 1	-	46 00 26	26 00 26	2,00	1,45	1,45	NO	-		
Trave Acciaio 11a-26a	2,00	002	□	100x100x5	0,00	S;S;S;S;S	S;S;S;S;S	-		1 00 1	-	47 00 28	28 00 28	2,00	1,45	1,45	NO	-		
Trave Acciaio 12a-27a	2,00	002	□	100x100x5	0,00	S;S;S;S;S	S;S;S;S;S	-		1 00 1	-	48 00 30	30 00 30	2,00	1,45	1,45	NO	-		
Trave Acciaio 13a-28a	2,00	002	□	100x100x5	0,00	S;S;S;S;S	S;S;S;S;S	-		1 00 1	-	49 00 32	32 00 32	2,00	1,45	1,45	NO	-		
Trave Acciaio 14a-3	2,00	002	□	100x100x5	0,00	S;S;S;S;S	S;S;S;S;S	-		1 00 1	-	50 00 06	06 00 06	2,01	1,45	1,45	NO	-		
Trave Acciaio 28a-3	1,27	001	□	200x200x10	0,00	S;S;S;S;S	S;S;S;S;S	-		1 00 1	-	32 00 06	06 00 06	1,27	1,40	1,40	NO	-		
Trave Acciaio 15a-29a	2,00	002	□	100x100x5	0,00	S;S;S;S;S	S;S;S;S;S	-		1 00 1	-	51 00 36	36 00 36	2,00	1,45	1,45	NO	-		
Trave Acciaio 16a-30a	2,00	002	□	100x100x5	0,00	S;S;S;S;S	S;S;S;S;S	-		1 00 1	-	52 00 07	07 00 07	2,00	1,45	1,45	NO	-		

LEGENDA:

- Id_{Tr}** Identificativo della trave. L'eventuale lettera tra parentesi distingue i diversi tratti della travata al livello considerato.
- L_{L1}** Lunghezza libera d'inflessione.
- Id_{Sz}** Identificativo della sezione, nella relativa tabella.
- Tp** Tipo di sezione.
- Label** Identificativo della sezione, come indicato nelle carpenterie.
- Rtz** Angolo di rotazione della sezione.
- V. Int.** Identificativo delle condizioni di vincolo agli estremi inferiore e superiore del pilastro, costituito da sei caratteri. I primi tre, sono relativi alla traslazione rispettivamente lungo gli assi 1, 2 e 3, mentre i secondi tre sono relativi rispettivamente alla rotazione intorno agli assi 1, 2 e 3 (Assi 1, 2, 3: riferimento locale). Il carattere "S" o "N" indica se il vincolo allo spostamento/rotazione è presente o assente.
- Stz** Tipo di situazione: [F] = di Fatto (Esistente); [P] = di Progetto (Nuovo).
- Note** Nota relativa alla verifica di deformabilità delle travi in acciaio e in legno.
Se presente "elemento a sbalzo" = la freccia viene valutata nell'ipotesi di trave a mensola; altrimenti la freccia viene valutata nell'ipotesi di trave appoggiata-appoggiata.
- Mtr l** Identificativo del materiale.
- AA/CIS** Identificativo dell'aggressività dell'ambiente o della classe di servizio:
Aggressività dell'ambiente: [PCA] = "Ordinario"; [MDA] = "Aggressivo"; [MLA] = "Molto aggressivo";
Classe di servizio: [1] = Ambiente con umidità bassa - [2] = Ambiente con umidità media - [3] = Ambiente con umidità alta.
- Nd_i** Identificativo del nodo iniziale, nella relativa tabella.
- Nd_f** Identificativo del nodo finale, nella relativa tabella.
- Dis_{i-j}** Distanza tra il nodo iniziale e finale.
- Q_{LL1}** Quota agli estremi iniziale e finale del tratto di trave libero d'inflettersi (Lunghezza Libera d'Inflessione), valutata rispetto al livello (piano) di appartenenza.
- Clc Fnd** [SI] = elemento progettato attraverso una modalità di rispetto della Gerarchia delle Resistenze per le Fondazioni. [No] = elemento progettato con le sollecitazioni ottenute dall'analisi (senza nessuna modalità di rispetto della Gerarchia delle Resistenze per le Fondazioni).
- Pr/Sc** Indica se l'elemento strutturale è incluso nel modello per il calcolo delle azioni sismiche. [1] = non incluso; [-] = incluso.

PILASTRI

N _{id}	Lv	L _{L1}	Sezione			V. Int.		Mtr l	AA/CI S	Nod		Dis _{i-j}	Q _{LL1}		Clc Fnd	Pr/Sc
			Id _{Sz}	Tp	Label	Rtz	Inf.			Sup.	Inf.		Sup.	Inf.		

		[m]				[°ssdc]						[m]	[m]	[m]			
001	01	1,50	003	I	HE 300 A	0,00	S;S;S;S;S	S;S;S;S;S	001	-	0001	0002	1,50	0,00	1,50	NO	-
002	01	1,50	003	I	HE 300 A	0,00	S;S;S;S;S	S;S;S;S;S	001	-	0003	0004	1,50	0,00	1,50	NO	-
003	01	1,50	003	I	HE 300 A	0,00	S;S;S;S;S	S;S;S;S;S	001	-	0005	0006	1,50	0,00	1,50	NO	-

LEGENDA:

- N_{id}** Numero identificativo della pilastrata. L'eventuale lettera tra parentesi distingue i diversi tratti della pilastrata al livello considerato.
- L_v** Identificativo del livello, nella relativa tabella.
- L_{L1}** Lunghezza libera d'Inflessione.
- Id_{sz}** Identificativo della sezione, nella relativa tabella.
- TP** Tipo di sezione.
- Label** Identificativo della sezione, come indicato nelle carpenterie.
- R_{tz}** Angolo di rotazione della sezione.
- V. Int.** Identificativo delle condizioni di vincolo agli estremi inferiore e superiore del pilastro, costituito da sei caratteri. I primi tre, sono relativi alla traslazione rispettivamente lungo gli assi 1, 2 e 3, mentre i secondi tre sono relativi rispettivamente alla rotazione intorno agli assi 1, 2 e 3 (Assi 1, 2, 3: riferimento locale). Il carattere "S" o "N" indica se il vincolo allo spostamento/rotazione è presente o assente.
- M_{trl}** Identificativo del materiale.
- AA/CIS** Identificativo dell'aggressività dell'ambiente o della classe di servizio:
 Aggressività dell'ambiente: [PCA] = "Ordinario"; [MDA] = "Aggressivo"; [MLA] = "Molto aggressivo";
 Classe di servizio: [1] = Ambiente con umidità bassa - [2] = Ambiente con umidità media - [3] = Ambiente con umidità alta.
- Nod** Identificativo del nodo nella relativa tabella.
- Dis_{i-j}** Distanza tra il nodo iniziale e finale.
- Q_{LL1}** Quota agli estremi inferiore e superiore del tratto di elemento libero d'inflettersi (Lunghezza Libera d'Inflessione), valutata rispetto al livello (piano) di appartenenza.
- Cic Fnd** [Si] = elemento progettato attraverso una modalità di rispetto della Gerarchia delle Resistenze per le Fondazioni. [No] = elemento progettato con le sollecitazioni ottenute dall'analisi (senza nessuna modalità di rispetto della Gerarchia delle Resistenze per le Fondazioni).
- Pr/Sc** Indica se l'elemento strutturale è incluso nel modello per il calcolo delle azioni sismiche. [1] = non incluso; [-] = incluso.

CARICHI SUI NODI (PER CONDIZIONI DI CARICO NON SISMICHE)

Carichi sui nodi (per condizioni di carico non sismiche)											
TC	C	CC	SR	F _x	F _y	F _z	M _x	M _y	M _z		
				[N]	[N]	[N]	[N-m]	[N-m]	[N-m]		

LEGENDA:

- TC** Descrizione del tipo di carico: [L] = Lineare - [C] = Concentrato - [S] = Superficiale - [T] = Termico.
- C** Descrizione del carico:
- CC** Identificativo della tipologia di carico nella relativa tabella.
- SR** Identificativo del sistema di riferimento considerato: [G] = Sistema di riferimento Globale X, Y, Z - [L] = Sistema di riferimento Locale 1, 2, 3.
- F_x, F_y, F_z** Componenti del vettore Forza riferita agli assi del sistema di riferimento indicato nella colonna "S.R".
- M_x, M_y, M_z** Momenti relativi agli assi del sistema di riferimento.

CARICHI SULLE TRAVI

Carichi sulle travi															
TC	C	CC	SR	Dis _i	F _{x,i} /Q _{x,i}	F _{y,i} /Q _{y,i}	F _{z,i} /Q _{z,i}	M _{x,i} /M _{T,i}	M _{y,i}	M _{z,i}	Dis _f	Q _{x,f}	Q _{y,f}	Q _{z,f}	M _{T,f}
				[m]	[N;N/m]	[N;N/m]	[N;N/m]	[N-m;N-m/m]	[N-m;N-m/m]	[N-m;N-m/m]	[m]	[N/m]	[N/m]	[N/m]	[N-m/m]
Piano Terra			Travata: Piano Terra						Trave: Trave Acciaio 18a-1			Peso proprio			-597
Piano Terra			Travata: Piano Terra						Trave: Trave Acciaio 23a-2			Peso proprio			-597
Piano Terra			Travata: Piano Terra						Trave: Trave Acciaio 29a-30a			Peso proprio			-597
Piano Terra			Travata: Piano Terra						Trave: Trave Acciaio 17a-31a			Peso proprio			-149
L	CR001	004	G	0,00	0	0	33	0	-	-	0,00	0	0	33	0
L	CR001	005	G	0,00	0	0	33	0	-	-	0,00	0	0	33	0
L	CR001	006	G	0,00	0	0	33	0	-	-	0,00	0	0	33	0
L	CR001	007	G	0,00	0	0	33	0	-	-	0,00	0	0	33	0
L	CR002	002	G	0,00	0	0	-59	0	-	-	0,00	0	0	-59	0
L	CR002	003	G	0,00	0	0	-300	0	-	-	0,00	0	0	-300	0
Piano Terra			Travata: Piano Terra						Trave: Trave Acciaio 1a-17a			Peso proprio			-149
L	CR001	004	G	0,00	0	0	33	0	-	-	0,00	0	0	33	0
L	CR001	005	G	0,00	0	0	33	0	-	-	0,00	0	0	33	0
L	CR001	006	G	0,00	0	0	33	0	-	-	0,00	0	0	33	0
L	CR001	007	G	0,00	0	0	33	0	-	-	0,00	0	0	33	0
L	CR002	002	G	0,00	0	0	-59	0	-	-	0,00	0	0	-59	0
L	CR002	003	G	0,00	0	0	-59	0	-	-	0,00	0	0	-59	0
Piano Terra			Travata: Piano Terra						Trave: Trave Acciaio 17a-18a			Peso proprio			-597
Piano Terra			Travata: Piano Terra						Trave: Trave Acciaio 1-33a			Peso proprio			-149
L	CR001	004	G	0,00	0	0	33	0	-	-	0,00	0	0	33	0
L	CR001	005	G	0,00	0	0	33	0	-	-	0,00	0	0	33	0
L	CR001	006	G	0,00	0	0	33	0	-	-	0,00	0	0	33	0
L	CR001	007	G	0,00	0	0	33	0	-	-	0,00	0	0	33	0
L	CR002	002	G	0,00	0	0	-59	0	-	-	0,00	0	0	-59	0
L	CR002	003	G	0,00	0	0	-300	0	-	-	0,00	0	0	-300	0
Piano Terra			Travata: Piano Terra						Trave: Trave Acciaio 18a-32a			Peso proprio			-149
L	CR001	004	G	0,00	0	0	33	0	-	-	0,00	0	0	33	0
L	CR001	005	G	0,00	0	0	33	0	-	-	0,00	0	0	33	0
L	CR001	006	G	0,00	0	0	33	0	-	-	0,00	0	0	33	0
L	CR001	007	G	0,00	0	0	33	0	-	-	0,00	0	0	33	0
L	CR002	002	G	0,00	0	0	-59	0	-	-	0,00	0	0	-59	0
L	CR002	003	G	0,00	0	0	-300	0	-	-	0,00	0	0	-300	0
Piano Terra			Travata: Piano Terra						Trave: Trave Acciaio 19a-34a			Peso proprio			-149
L	CR001	004	G	0,00	0	0	33	0	-	-	0,00	0	0	33	0
L	CR001	005	G	0,00	0	0	33	0	-	-	0,00	0	0	33	0
L	CR001	006	G	0,00	0	0	33	0	-	-	0,00	0	0	33	0

														Carichi sulle travi			
TC	C	CC	SR	Dis _i	F _{X,i} /Q _{X,i}	F _{Y,i} /Q _{Y,i}	F _{Z,i} /Q _{Z,i}	M _{X,i} /M _{T,i}	M _{Y,i}	M _{Z,i}	Dis _f	Q _{X,f}	Q _{Y,f}	Q _{Z,f}	M _{T,f}		
				[m]	[N;N/m]	[N;N/m]	[N;N/m]	[N-m;N-m/m]	[N-m;N-m/m]	[N-m;N-m/m]	[m]	[N/m]	[N/m]	[N/m]	[N-m/m]		
Piano Terra			Travata: Piano Terra					Trave: Trave Acciaio 9a-24a			Peso proprio			-149			
L	CR001	004	G	0,00	0	0	33	0	-	-	0,00	0	0	33	0		
L	CR001	005	G	0,00	0	0	33	0	-	-	0,00	0	0	33	0		
L	CR001	006	G	0,00	0	0	33	0	-	-	0,00	0	0	33	0		
L	CR001	007	G	0,00	0	0	33	0	-	-	0,00	0	0	33	0		
L	CR002	002	G	0,00	0	0	-59	0	-	-	0,00	0	0	-59	0		
L	CR002	003	G	0,00	0	0	-300	0	-	-	0,00	0	0	-300	0		
Piano Terra			Travata: Piano Terra					Trave: Trave Acciaio 10a-25a			Peso proprio			-149			
L	CR001	004	G	0,00	0	0	33	0	-	-	0,00	0	0	33	0		
L	CR001	005	G	0,00	0	0	33	0	-	-	0,00	0	0	33	0		
L	CR001	006	G	0,00	0	0	33	0	-	-	0,00	0	0	33	0		
L	CR001	007	G	0,00	0	0	33	0	-	-	0,00	0	0	33	0		
L	CR002	002	G	0,00	0	0	-59	0	-	-	0,00	0	0	-59	0		
L	CR002	003	G	0,00	0	0	-300	0	-	-	0,00	0	0	-300	0		
Piano Terra			Travata: Piano Terra					Trave: Trave Acciaio 11a-26a			Peso proprio			-149			
L	CR001	004	G	0,00	0	0	33	0	-	-	0,00	0	0	33	0		
L	CR001	005	G	0,00	0	0	33	0	-	-	0,00	0	0	33	0		
L	CR001	006	G	0,00	0	0	33	0	-	-	0,00	0	0	33	0		
L	CR001	007	G	0,00	0	0	33	0	-	-	0,00	0	0	33	0		
L	CR002	002	G	0,00	0	0	-59	0	-	-	0,00	0	0	-59	0		
L	CR002	003	G	0,00	0	0	-300	0	-	-	0,00	0	0	-300	0		
Piano Terra			Travata: Piano Terra					Trave: Trave Acciaio 12a-27a			Peso proprio			-149			
L	CR001	004	G	0,00	0	0	33	0	-	-	0,00	0	0	33	0		
L	CR001	005	G	0,00	0	0	33	0	-	-	0,00	0	0	33	0		
L	CR001	006	G	0,00	0	0	33	0	-	-	0,00	0	0	33	0		
L	CR001	007	G	0,00	0	0	33	0	-	-	0,00	0	0	33	0		
L	CR002	002	G	0,00	0	0	-59	0	-	-	0,00	0	0	-59	0		
L	CR002	003	G	0,00	0	0	-300	0	-	-	0,00	0	0	-300	0		
Piano Terra			Travata: Piano Terra					Trave: Trave Acciaio 13a-28a			Peso proprio			-149			
L	CR001	004	G	0,00	0	0	33	0	-	-	0,00	0	0	33	0		
L	CR001	005	G	0,00	0	0	33	0	-	-	0,00	0	0	33	0		
L	CR001	006	G	0,00	0	0	33	0	-	-	0,00	0	0	33	0		
L	CR001	007	G	0,00	0	0	33	0	-	-	0,00	0	0	33	0		
L	CR002	002	G	0,00	0	0	-59	0	-	-	0,00	0	0	-59	0		
L	CR002	003	G	0,00	0	0	-300	0	-	-	0,00	0	0	-300	0		
Piano Terra			Travata: Piano Terra					Trave: Trave Acciaio 14a-3			Peso proprio			-149			
L	CR001	004	G	0,00	0	0	33	0	-	-	0,00	0	0	33	0		
L	CR001	005	G	0,00	0	0	33	0	-	-	0,00	0	0	33	0		
L	CR001	006	G	0,00	0	0	33	0	-	-	0,00	0	0	33	0		
L	CR001	007	G	0,00	0	0	33	0	-	-	0,00	0	0	33	0		
L	CR002	002	G	0,00	0	0	-59	0	-	-	0,00	0	0	-59	0		
L	CR002	003	G	0,00	0	0	-300	0	-	-	0,00	0	0	-300	0		
Piano Terra			Travata: Piano Terra					Trave: Trave Acciaio 28a-3			Peso proprio			-597			
Piano Terra			Travata: Piano Terra					Trave: Trave Acciaio 15a-29a			Peso proprio			-149			
L	CR001	004	G	0,00	0	0	33	0	-	-	0,00	0	0	33	0		
L	CR001	005	G	0,00	0	0	33	0	-	-	0,00	0	0	33	0		
L	CR001	006	G	0,00	0	0	33	0	-	-	0,00	0	0	33	0		
L	CR001	007	G	0,00	0	0	33	0	-	-	0,00	0	0	33	0		
L	CR002	002	G	0,00	0	0	-59	0	-	-	0,00	0	0	-59	0		
L	CR002	003	G	0,00	0	0	-300	0	-	-	0,00	0	0	-300	0		
Piano Terra			Travata: Piano Terra					Trave: Trave Acciaio 16a-30a			Peso proprio			-149			
L	CR001	004	G	0,00	0	0	33	0	-	-	0,00	0	0	33	0		
L	CR001	005	G	0,00	0	0	33	0	-	-	0,00	0	0	33	0		
L	CR001	006	G	0,00	0	0	33	0	-	-	0,00	0	0	33	0		
L	CR001	007	G	0,00	0	0	33	0	-	-	0,00	0	0	33	0		
L	CR002	002	G	0,00	0	0	-59	0	-	-	0,00	0	0	-59	0		
L	CR002	003	G	0,00	0	0	-300	0	-	-	0,00	0	0	-300	0		

LEGENDA:

- TC** Descrizione del tipo di carico: [L] = Lineare - [C] = Concentrato - [S] = Superficiale - [T] = Termico.
- C** Descrizione del carico:
CR001= Azione del Vento (Trave Acciaio) CR002= Forza lineare
- CC** Identificativo della tipologia di carico nella relativa tabella.
- SR** Identificativo del sistema di riferimento considerato: [G] = Sistema di riferimento Globale X, Y, Z - [L] = Sistema di riferimento Locale 1, 2, 3.
- Dis_i** Distanza del punto "i" dall'estremo iniziale dell'elemento. Il punto "i" indica il punto iniziale del tratto interessato dal carico distribuito sul bordo.
- M_{X,i}/M_{T,i}** Se nella colonna "TC" è riportato "Concentrato", è il valore del vettore momento concentrato collocato nel punto "i", riferito agli assi del sistema di riferimento indicato nella colonna "S.R.". Se nella colonna "TC" è riportato "Lineare", è il valore nel punto "i", del vettore momento (torcente) distribuito sempre riferito all'asse 1 (asse dell'elemento) del sistema di riferimento locale 1, 2, 3, quale che sia il sistema di riferimento indicato nella colonna "S.R".
- Dis_f** Distanza del punto "f" dall'estremo inferiore dell'elemento. Il punto "f" indica il punto finale del tratto interessato dal carico distribuito.
- M_{T,f}** Se nella colonna "TC" è riportato "Lineare", è il valore nel punto "f", del vettore momento (torcente) distribuito sempre riferito all'asse 1 (asse dell'elemento) del sistema di riferimento locale 1, 2, 3, quale che sia il sistema di riferimento indicato nella colonna "S.R".
- F_{X,i}/Q_{X,i}** Valore (nel punto "i") della forza concentrata/distribuita riferita agli assi del sistema di riferimento indicato nella colonna "S.R".
- F_{Y,i}/Q_{Y,i}**
- F_{Z,i}/Q_{Z,i}**
- M_{Y,i} M_{Z,i}** Valore (nel punto "i") del vettore momento concentrato riferito agli assi del sistema di riferimento indicato nella colonna "S.R".
- Q_{X,f} Q_{Y,f}** Valore (nel punto "f") della forza distribuita riferita agli assi del sistema di riferimento indicato nella colonna "S.R".
- Q_{Z,f}**
- ΔT₁, ΔT₂, ΔT₃** Variazione di temperatura rispettivamente lungo gli assi 1, 2 o 3 del sistema locale.

CARICHI SUI PILASTRI

											Carichi sui pilastri				
TC	C	CC	SR	Dis _i	F _{x,i} /Q _{x,i}	F _{y,i} /Q _{y,i}	F _{z,i} /Q _{z,i}	M _{x,i} /M _{T,i}	M _{y,i}	M _{z,i}	Dis _f	Q _{x,f}	Q _{y,f}	Q _{z,f}	M _{T,f}
				[m]	[N;N/m]	[N;N/m]	[N;N/m]	[N-m;N-m/m]	[N-m;N-m/m]	[N-m;N-m/m]	[m]	[N/m]	[N/m]	[N/m]	[N-m/m]
Piano Terra				Pilastro 001											-883
Piano Terra				Pilastro 002											-883
Piano Terra				Pilastro 003											-883

LEGENDA:

- TC** Descrizione del tipo di carico: [L] = Lineare - [C] = Concentrato - [S] = Superficiale - [T] = Termico.
- C** Descrizione del carico:
- CC** Identificativo della tipologia di carico nella relativa tabella.
- SR** Identificativo del sistema di riferimento considerato: [G] = Sistema di riferimento Globale X, Y, Z - [L] = Sistema di riferimento Locale 1, 2, 3.
- Dis_i** Distanza del punto "i" dall'estremo inferiore dell'elemento. Il punto "i", in relazione alla descrizione riportata nella colonna "TC" ("Lineare" o "Concentrato"), indica rispettivamente il punto iniziale del tratto interessato dal carico distribuito o in cui è posizionato il carico concentrato.
- M_{x,i}/M_{T,i}** Se nella colonna "TC" è riportato "Concentrato", è il valore del vettore momento concentrato collocato nel punto "i", riferito agli assi del sistema di riferimento indicato nella colonna "S.R.". Se nella colonna "TC" è riportato "Lineare", è il valore nel punto "i", del vettore momento (torcente) distribuito sempre riferito all'asse 1 (asse dell'elemento) del sistema di riferimento locale 1, 2, 3, quale che sia il sistema di riferimento indicato nella colonna "S.R."
- Dis_f** Distanza del punto "f" dall'estremo inferiore dell'elemento. Il punto "f" indica il punto finale del tratto interessato dal carico distribuito.
- M_{T,f}** Se nella colonna "TC" è riportato "Lineare", è il valore nel punto "f", del vettore momento (torcente) distribuito sempre riferito all'asse 1 (asse dell'elemento) del sistema di riferimento locale 1, 2, 3, quale che sia il sistema di riferimento indicato nella colonna "S.R."
- F_{x,i}/Q_{x,i}** Valore (nel punto "i") della forza concentrata/distribuita riferita agli assi del sistema di riferimento indicato nella colonna "S.R."
- F_{y,i}/Q_{y,i}**
- F_{z,i}/Q_{z,i}**
- M_{y,i}, M_{z,i}** Valore (nel punto "i") del vettore momento concentrato riferito agli assi del sistema di riferimento indicato nella colonna "S.R."
- Q_{x,f}, Q_{y,f}** Valore (nel punto "f") della forza distribuita riferita agli assi del sistema di riferimento indicato nella colonna "S.R."
- Q_{z,f}**
- ΔT₁, ΔT₂, ΔT₃** Variazione di temperatura rispettivamente lungo gli assi 1, 2 o 3 del sistema locale.

NODI - SPOSTAMENTI PER CONDIZIONI DI CARICO NON SISMICHE

Nodi - Spostamenti per condizioni di carico non sismiche									
Nodo	CC	S _x	S _y	S _z	Θ _x	Θ _y	Θ _z		
		[cm]	[cm]	[cm]	[rad]	[rad]	[rad]		
00001	001	0,0000	0,0000	0,0000	0 E+00	0 E+00	0 E+00		
	002	0,0000	0,0000	0,0000	0 E+00	0 E+00	0 E+00		
	003	0,0000	0,0000	0,0000	0 E+00	0 E+00	0 E+00		
	004	0,0000	0,0000	0,0000	0 E+00	0 E+00	0 E+00		
	005	0,0000	0,0000	0,0000	0 E+00	0 E+00	0 E+00		
	006	0,0000	0,0000	0,0000	0 E+00	0 E+00	0 E+00		
	007	0,0000	0,0000	0,0000	0 E+00	0 E+00	0 E+00		
00002	001	0,0004	0,0000	-0,0004	1,6401 E-12	2,1265 E-05	-3,0036 E-12		
	002	0,0000	0,0000	-0,0001	2,9597 E-13	-6,8439 E-07	-8,0774 E-13		
	003	0,0012	0,0014	-0,0003	-1,8598 E-05	3,008 E-05	-2,5701 E-06		
	004	0,0000	0,0000	0,0000	-1,6554 E-13	3,8279 E-07	4,5179 E-13		
	005	0,0000	0,0000	0,0000	-1,6554 E-13	3,8279 E-07	4,5179 E-13		
	006	0,0000	0,0000	0,0000	-1,6554 E-13	3,8279 E-07	4,5179 E-13		
	007	0,0000	0,0000	0,0000	-1,6554 E-13	3,8279 E-07	4,5179 E-13		
00003	001	0,0000	0,0000	0,0000	0 E+00	0 E+00	0 E+00		
	002	0,0000	0,0000	0,0000	0 E+00	0 E+00	0 E+00		
	003	0,0000	0,0000	0,0000	0 E+00	0 E+00	0 E+00		
	004	0,0000	0,0000	0,0000	0 E+00	0 E+00	0 E+00		
	005	0,0000	0,0000	0,0000	0 E+00	0 E+00	0 E+00		
	006	0,0000	0,0000	0,0000	0 E+00	0 E+00	0 E+00		
	007	0,0000	0,0000	0,0000	0 E+00	0 E+00	0 E+00		
00004	001	0,0000	0,0000	-0,0005	-3,5906 E-11	4,3931 E-06	1,635 E-11		
	002	0,0000	0,0000	-0,0001	-1,726 E-12	1,7729 E-06	2,4359 E-12		
	003	0,0009	0,0000	-0,0004	-2,7605 E-07	1,1945 E-05	-1,0588 E-06		
	004	0,0000	0,0000	0,0000	9,6541 E-13	-9,9162 E-07	-1,3625 E-12		
	005	0,0000	0,0000	0,0000	9,6541 E-13	-9,9162 E-07	-1,3625 E-12		
	006	0,0000	0,0000	0,0000	9,6541 E-13	-9,9162 E-07	-1,3625 E-12		
	007	0,0000	0,0000	0,0000	9,6541 E-13	-9,9162 E-07	-1,3625 E-12		
00005	001	0,0000	0,0000	0,0000	0 E+00	0 E+00	0 E+00		
	002	0,0000	0,0000	0,0000	0 E+00	0 E+00	0 E+00		
	003	0,0000	0,0000	0,0000	0 E+00	0 E+00	0 E+00		
	004	0,0000	0,0000	0,0000	0 E+00	0 E+00	0 E+00		
	005	0,0000	0,0000	0,0000	0 E+00	0 E+00	0 E+00		
	006	0,0000	0,0000	0,0000	0 E+00	0 E+00	0 E+00		
	007	0,0000	0,0000	0,0000	0 E+00	0 E+00	0 E+00		
00006	001	-0,0006	0,0000	-0,0004	-3,3726 E-11	-2,8032 E-05	-4,227 E-11		
	002	-0,0001	0,0000	-0,0001	-3,869 E-12	-2,4268 E-06	-3,4046 E-12		
	003	0,0006	0,0000	-0,0004	1,941 E-08	-5,6857 E-06	4,6223 E-07		
	004	0,0000	0,0000	0,0000	2,164 E-12	1,3574 E-06	1,9043 E-12		
	005	0,0000	0,0000	0,0000	2,164 E-12	1,3574 E-06	1,9043 E-12		
	006	0,0000	0,0000	0,0000	2,164 E-12	1,3574 E-06	1,9043 E-12		
	007	0,0000	0,0000	0,0000	2,164 E-12	1,3574 E-06	1,9043 E-12		
00007	001	0,0012	0,0000	-0,0179	8,2709 E-11	1,4406 E-04	-4,227 E-11		
	002	0,0004	0,0000	-0,0055	4,9556 E-11	4,373 E-05	-3,4046 E-12		
	003	0,0029	0,0001	-0,0291	1,9682 E-08	2,2901 E-04	4,6223 E-07		
	004	-0,0002	0,0000	0,0031	-2,7718 E-11	-2,4459 E-05	1,9043 E-12		
	005	-0,0002	0,0000	0,0031	-2,7718 E-11	-2,4459 E-05	1,9043 E-12		
	006	-0,0002	0,0000	0,0031	-2,7718 E-11	-2,4459 E-05	1,9043 E-12		
	007	-0,0002	0,0000	0,0031	-2,7718 E-11	-2,4459 E-05	1,9043 E-12		
00008	001	-0,0013	0,0000	-0,0190	-2,3074 E-11	-1,5008 E-04	-3,0036 E-12		
	002	-0,0005	0,0000	-0,0060	-3,1615 E-12	-4,6495 E-05	-8,0774 E-13		
	003	-0,0003	0,0064	-0,0153	-4,7487 E-04	-1,2595 E-04	-2,5701 E-06		

Nodi - Spostamenti per condizioni di carico non sismiche

Nodo	CC	S _x [cm]	S _y [cm]	S _z [cm]	Θ _x [rad]	Θ _y [rad]	Θ _z [rad]
	004	0,0003	0,0000	0,0034	1,7683 E-12	2,6006 E-05	4,5179 E-13
	005	0,0003	0,0000	0,0034	1,7683 E-12	2,6006 E-05	4,5179 E-13
	006	0,0003	0,0000	0,0034	1,7683 E-12	2,6006 E-05	4,5179 E-13
	007	0,0003	0,0000	0,0034	1,7683 E-12	2,6006 E-05	4,5179 E-13
00009	001	-0,0013	0,0017	-0,0689	-3,3011 E-04	-1,5008 E-04	-3,0036 E-12
	002	-0,0005	0,0007	-0,0258	-1,3071 E-04	-4,6495 E-05	-8,0774 E-13
	003	0,0002	0,0097	-0,2108	-1,1395 E-03	-1,2595 E-04	-2,5701 E-06
	004	0,0003	-0,0004	0,0144	7,3111 E-05	2,6006 E-05	4,5179 E-13
	005	0,0003	-0,0004	0,0144	7,3111 E-05	2,6006 E-05	4,5179 E-13
	006	0,0003	-0,0004	0,0144	7,3111 E-05	2,6006 E-05	4,5179 E-13
	007	0,0003	-0,0004	0,0144	7,3111 E-05	2,6006 E-05	4,5179 E-13
00010	001	-0,0013	-0,0017	-0,0689	3,3011 E-04	-1,5008 E-04	-3,0036 E-12
	002	-0,0005	-0,0007	-0,0258	1,3071 E-04	-4,6495 E-05	-8,0774 E-13
	003	-0,0008	0,0058	0,0599	-3,4416 E-04	-1,2595 E-04	-2,5701 E-06
	004	0,0003	0,0004	0,0144	-7,3111 E-05	2,6006 E-05	4,5179 E-13
	005	0,0003	0,0004	0,0144	-7,3111 E-05	2,6006 E-05	4,5179 E-13
	006	0,0003	0,0004	0,0144	-7,3111 E-05	2,6006 E-05	4,5179 E-13
	007	0,0003	0,0004	0,0144	-7,3111 E-05	2,6006 E-05	4,5179 E-13
00011	001	-0,0010	0,0000	-0,0057	-2,0865 E-11	-1,144 E-04	-3,0036 E-12
	002	-0,0004	0,0000	-0,0019	-1,7835 E-12	-3,5733 E-05	-8,0774 E-13
	003	0,0000	0,0037	-0,0043	-2,3095 E-04	-9,3209 E-05	-2,5701 E-06
	004	0,0002	0,0000	0,0011	9,9753 E-13	1,9986 E-05	4,5179 E-13
	005	0,0002	0,0000	0,0011	9,9753 E-13	1,9986 E-05	4,5179 E-13
	006	0,0002	0,0000	0,0011	9,9753 E-13	1,9986 E-05	4,5179 E-13
	007	0,0002	0,0000	0,0011	9,9753 E-13	1,9986 E-05	4,5179 E-13
00012	001	0,0004	0,0017	-0,0506	-3,3011 E-04	2,1265 E-05	-3,0036 E-12
	002	0,0000	0,0007	-0,0198	-1,3071 E-04	-6,8439 E-07	-8,0774 E-13
	003	0,0018	0,0047	-0,1050	-6,8324 E-04	3,008 E-05	-2,5701 E-06
	004	0,0000	-0,0004	0,0111	7,3111 E-05	3,8279 E-07	4,5179 E-13
	005	0,0000	-0,0004	0,0111	7,3111 E-05	3,8279 E-07	4,5179 E-13
	006	0,0000	-0,0004	0,0111	7,3111 E-05	3,8279 E-07	4,5179 E-13
	007	0,0000	-0,0004	0,0111	7,3111 E-05	3,8279 E-07	4,5179 E-13
00013	001	-0,0010	0,0017	-0,0556	-3,3011 E-04	-1,144 E-04	-3,0036 E-12
	002	-0,0004	0,0007	-0,0217	-1,3071 E-04	-3,5733 E-05	-8,0774 E-13
	003	0,0005	0,0070	-0,1510	-8,9559 E-04	-9,3209 E-05	-2,5701 E-06
	004	0,0002	-0,0004	0,0121	7,3111 E-05	1,9986 E-05	4,5179 E-13
	005	0,0002	-0,0004	0,0121	7,3111 E-05	1,9986 E-05	4,5179 E-13
	006	0,0002	-0,0004	0,0121	7,3111 E-05	1,9986 E-05	4,5179 E-13
	007	0,0002	-0,0004	0,0121	7,3111 E-05	1,9986 E-05	4,5179 E-13
00014	001	0,0019	0,0000	-0,0179	-5,1484 E-11	1,8201 E-04	5,6615 E-13
	002	0,0003	0,0000	-0,0030	-1,2373 E-11	3,3025 E-05	-7,0147 E-13
	003	0,0027	0,0010	-0,0178	-1,4642 E-05	1,7658 E-04	-2,5108 E-06
	004	-0,0002	0,0000	0,0017	6,9207 E-12	-1,8472 E-05	3,9235 E-13
	005	-0,0002	0,0000	0,0017	6,9207 E-12	-1,8472 E-05	3,9235 E-13
	006	-0,0002	0,0000	0,0017	6,9207 E-12	-1,8472 E-05	3,9235 E-13
	007	-0,0002	0,0000	0,0017	6,9207 E-12	-1,8472 E-05	3,9235 E-13
00015	001	0,0019	0,0017	-0,0678	-3,3011 E-04	1,8201 E-04	5,6615 E-13
	002	0,0003	0,0007	-0,0228	-1,3071 E-04	3,3025 E-05	-7,0147 E-13
	003	0,0032	0,0044	-0,1212	-6,7929 E-04	1,7658 E-04	-2,5108 E-06
	004	-0,0002	-0,0004	0,0127	7,3111 E-05	-1,8472 E-05	3,9235 E-13
	005	-0,0002	-0,0004	0,0127	7,3111 E-05	-1,8472 E-05	3,9235 E-13
	006	-0,0002	-0,0004	0,0127	7,3111 E-05	-1,8472 E-05	3,9235 E-13
	007	-0,0002	-0,0004	0,0127	7,3111 E-05	-1,8472 E-05	3,9235 E-13
00016	001	0,0009	0,0000	-0,0338	-7,5286 E-12	8,1081 E-05	1,2237 E-12
	002	0,0001	0,0000	-0,0060	1,282 E-11	1,5795 E-05	-2,9621 E-13
	003	0,0016	0,0007	-0,0330	-1,1179 E-05	7,5433 E-05	-2,3382 E-06
	004	-0,0001	0,0000	0,0033	-7,1703 E-12	-8,8345 E-06	1,6567 E-13
	005	-0,0001	0,0000	0,0033	-7,1703 E-12	-8,8345 E-06	1,6567 E-13
	006	-0,0001	0,0000	0,0033	-7,1703 E-12	-8,8345 E-06	1,6567 E-13
	007	-0,0001	0,0000	0,0033	-7,1703 E-12	-8,8345 E-06	1,6567 E-13
00017	001	0,0009	0,0017	-0,0837	-3,3011 E-04	8,1081 E-05	1,2237 E-12
	002	0,0001	0,0007	-0,0257	-1,3071 E-04	1,5795 E-05	-2,9621 E-13
	003	0,0021	0,0041	-0,1357	-6,7582 E-04	7,5433 E-05	-2,3382 E-06
	004	-0,0001	-0,0004	0,0144	7,3111 E-05	-8,8345 E-06	1,6567 E-13
	005	-0,0001	-0,0004	0,0144	7,3111 E-05	-8,8345 E-06	1,6567 E-13
	006	-0,0001	-0,0004	0,0144	7,3111 E-05	-8,8345 E-06	1,6567 E-13
	007	-0,0001	-0,0004	0,0144	7,3111 E-05	-8,8345 E-06	1,6567 E-13
00018	001	-0,0009	0,0000	-0,0333	-5,2134 E-11	-8,9981 E-05	3,7281 E-12
	002	-0,0002	0,0000	-0,0060	1,0329 E-11	-1,5678 E-05	3,3458 E-13
	003	-0,0001	0,0005	-0,0321	-7,715 E-06	-9,0409 E-05	-2,0528 E-06
	004	0,0001	0,0000	0,0034	-5,7771 E-12	8,7688 E-06	-1,8714 E-13
	005	0,0001	0,0000	0,0034	-5,7771 E-12	8,7688 E-06	-1,8714 E-13
	006	0,0001	0,0000	0,0034	-5,7771 E-12	8,7688 E-06	-1,8714 E-13
	007	0,0001	0,0000	0,0034	-5,7771 E-12	8,7688 E-06	-1,8714 E-13
00019	001	-0,0009	0,0017	-0,0832	-3,3011 E-04	-8,9981 E-05	3,7281 E-12
	002	-0,0002	0,0007	-0,0258	-1,3071 E-04	-1,5678 E-05	3,3458 E-13
	003	0,0004	0,0038	-0,1341	-6,7236 E-04	-9,0409 E-05	-2,0528 E-06
	004	0,0001	-0,0004	0,0144	7,3111 E-05	8,7688 E-06	-1,8714 E-13
	005	0,0001	-0,0004	0,0144	7,3111 E-05	8,7688 E-06	-1,8714 E-13
	006	0,0001	-0,0004	0,0144	7,3111 E-05	8,7688 E-06	-1,8714 E-13
	007	0,0001	-0,0004	0,0144	7,3111 E-05	8,7688 E-06	-1,8714 E-13
00020	001	-0,0018	0,0000	-0,0168	-8,8152 E-11	-1,8176 E-04	8,0794 E-12
	002	-0,0004	0,0000	-0,0030	1,8616 E-12	-3,2937 E-05	1,1909 E-12
	003	-0,0009	0,0002	-0,0159	-4,2516 E-06	-1,7626 E-04	-1,6547 E-06
	004	0,0002	0,0000	0,0017	-1,0412 E-12	1,8423 E-05	-6,661 E-13

Nodi - Spostamenti per condizioni di carico non sismiche

Nodo	CC	S _x [cm]	S _y [cm]	S _z [cm]	Θ _x [rad]	Θ _y [rad]	Θ _z [rad]
	005	0,0002	0,0000	0,0017	-1,0412 E-12	1,8423 E-05	-6,661 E-13
	006	0,0002	0,0000	0,0017	-1,0412 E-12	1,8423 E-05	-6,661 E-13
	007	0,0002	0,0000	0,0017	-1,0412 E-12	1,8423 E-05	-6,661 E-13
00021	001	-0,0018	0,0017	-0,0667	-3,3011 E-04	-1,8176 E-04	8,0794 E-12
	002	-0,0004	0,0007	-0,0228	-1,3071 E-04	-3,2937 E-05	1,1909 E-12
	003	-0,0006	0,0036	-0,1172	-6,689 E-04	-1,7626 E-04	-1,6547 E-06
	004	0,0002	-0,0004	0,0127	7,3111 E-05	1,8423 E-05	-6,661 E-13
	005	0,0002	-0,0004	0,0127	7,3111 E-05	1,8423 E-05	-6,661 E-13
	006	0,0002	-0,0004	0,0127	7,3111 E-05	1,8423 E-05	-6,661 E-13
	007	0,0002	-0,0004	0,0127	7,3111 E-05	1,8423 E-05	-6,661 E-13
00022	001	-0,0007	0,0000	-0,0015	-2,8835 E-11	-6,6533 E-05	1,3735 E-11
	002	-0,0001	0,0000	-0,0003	6,5376 E-12	-1,1506 E-05	2,1815 E-12
	003	0,0002	0,0001	-0,0013	-1,0546 E-06	-5,8669 E-05	-1,1872 E-06
	004	0,0001	0,0000	0,0002	-3,6566 E-12	6,4354 E-06	-1,2201 E-12
	005	0,0001	0,0000	0,0002	-3,6566 E-12	6,4354 E-06	-1,2201 E-12
	006	0,0001	0,0000	0,0002	-3,6566 E-12	6,4354 E-06	-1,2201 E-12
	007	0,0001	0,0000	0,0002	-3,6566 E-12	6,4354 E-06	-1,2201 E-12
00023	001	-0,0007	0,0017	-0,0515	-3,3011 E-04	-6,6533 E-05	1,3735 E-11
	002	-0,0001	0,0007	-0,0200	-1,3071 E-04	-1,1506 E-05	2,1815 E-12
	003	0,0004	0,0034	-0,1020	-6,657 E-04	-5,8669 E-05	-1,1872 E-06
	004	0,0001	-0,0004	0,0112	7,3111 E-05	6,4354 E-06	-1,2201 E-12
	005	0,0001	-0,0004	0,0112	7,3111 E-05	6,4354 E-06	-1,2201 E-12
	006	0,0001	-0,0004	0,0112	7,3111 E-05	6,4354 E-06	-1,2201 E-12
	007	0,0001	-0,0004	0,0112	7,3111 E-05	6,4354 E-06	-1,2201 E-12
00024	001	0,0016	0,0000	-0,0084	3,0247 E-10	1,6886 E-04	2,1185 E-11
	002	0,0003	0,0000	-0,0017	9,6163 E-11	3,413 E-05	2,4757 E-12
	003	0,0025	0,0000	-0,0089	-2,3837 E-07	1,7381 E-04	-6,9864 E-07
	004	-0,0002	0,0000	0,0010	-5,3786 E-11	-1,909 E-05	-1,3847 E-12
	005	-0,0002	0,0000	0,0010	-5,3786 E-11	-1,909 E-05	-1,3847 E-12
	006	-0,0002	0,0000	0,0010	-5,3786 E-11	-1,909 E-05	-1,3847 E-12
	007	-0,0002	0,0000	0,0010	-5,3786 E-11	-1,909 E-05	-1,3847 E-12
00025	001	0,0016	0,0017	-0,0583	-3,3011 E-04	1,6886 E-04	2,1185 E-11
	002	0,0003	0,0007	-0,0215	-1,3071 E-04	3,413 E-05	2,4757 E-12
	003	0,0026	0,0033	-0,1094	-6,6488 E-04	1,7381 E-04	-6,9864 E-07
	004	-0,0002	-0,0004	0,0120	7,3111 E-05	-1,909 E-05	-1,3847 E-12
	005	-0,0002	-0,0004	0,0120	7,3111 E-05	-1,909 E-05	-1,3847 E-12
	006	-0,0002	-0,0004	0,0120	7,3111 E-05	-1,909 E-05	-1,3847 E-12
	007	-0,0002	-0,0004	0,0120	7,3111 E-05	-1,909 E-05	-1,3847 E-12
00026	001	0,0017	0,0000	-0,0262	4,1162 E-10	1,7992 E-04	1,7998 E-11
	002	0,0003	0,0000	-0,0053	1,4168 E-10	3,5505 E-05	1,882 E-12
	003	0,0025	-0,0001	-0,0269	-1,9105 E-07	1,7873 E-04	-3,1233 E-07
	004	-0,0002	0,0000	0,0030	-7,9243 E-11	-1,9859 E-05	-1,0526 E-12
	005	-0,0002	0,0000	0,0030	-7,9243 E-11	-1,9859 E-05	-1,0526 E-12
	006	-0,0002	0,0000	0,0030	-7,9243 E-11	-1,9859 E-05	-1,0526 E-12
	007	-0,0002	0,0000	0,0030	-7,9243 E-11	-1,9859 E-05	-1,0526 E-12
00027	001	0,0017	0,0017	-0,0761	-3,3011 E-04	1,7992 E-04	1,7998 E-11
	002	0,0003	0,0007	-0,0250	-1,3071 E-04	3,5505 E-05	1,882 E-12
	003	0,0026	0,0032	-0,1274	-6,6484 E-04	1,7873 E-04	-3,1233 E-07
	004	-0,0002	-0,0004	0,0140	7,3111 E-05	-1,9859 E-05	-1,0526 E-12
	005	-0,0002	-0,0004	0,0140	7,3111 E-05	-1,9859 E-05	-1,0526 E-12
	006	-0,0002	-0,0004	0,0140	7,3111 E-05	-1,9859 E-05	-1,0526 E-12
	007	-0,0002	-0,0004	0,0140	7,3111 E-05	-1,9859 E-05	-1,0526 E-12
00028	001	0,0003	0,0000	-0,0387	3,7202 E-10	4,077 E-05	8,2092 E-12
	002	0,0000	0,0000	-0,0077	1,466 E-10	7,3502 E-06	8,2575 E-13
	003	0,0011	-0,0001	-0,0389	-1,3776 E-07	3,4961 E-05	3,0788 E-08
	004	0,0000	0,0000	0,0043	-8,1998 E-11	-4,1111 E-06	-4,6186 E-13
	005	0,0000	0,0000	0,0043	-8,1998 E-11	-4,1111 E-06	-4,6186 E-13
	006	0,0000	0,0000	0,0043	-8,1998 E-11	-4,1111 E-06	-4,6186 E-13
	007	0,0000	0,0000	0,0043	-8,1998 E-11	-4,1111 E-06	-4,6186 E-13
00029	001	0,0003	0,0017	-0,0886	-3,3011 E-04	4,077 E-05	8,2092 E-12
	002	0,0000	0,0007	-0,0275	-1,3071 E-04	7,3502 E-06	8,2575 E-13
	003	0,0011	0,0032	-0,1394	-6,6478 E-04	3,4961 E-05	3,0788 E-08
	004	0,0000	-0,0004	0,0154	7,3111 E-05	-4,1111 E-06	-4,6186 E-13
	005	0,0000	-0,0004	0,0154	7,3111 E-05	-4,1111 E-06	-4,6186 E-13
	006	0,0000	-0,0004	0,0154	7,3111 E-05	-4,1111 E-06	-4,6186 E-13
	007	0,0000	-0,0004	0,0154	7,3111 E-05	-4,1111 E-06	-4,6186 E-13
00030	001	-0,0014	0,0000	-0,0349	1,8829 E-10	-1,1663 E-04	-6,2248 E-12
	002	-0,0003	0,0000	-0,0069	9,7814 E-11	-2,4186 E-05	-4,7499 E-13
	003	-0,0006	-0,0001	-0,0345	-9,0037 E-08	-1,2436 E-04	2,545 E-07
	004	0,0002	0,0000	0,0038	-5,471 E-11	1,3528 E-05	2,6567 E-13
	005	0,0002	0,0000	0,0038	-5,471 E-11	1,3528 E-05	2,6567 E-13
	006	0,0002	0,0000	0,0038	-5,471 E-11	1,3528 E-05	2,6567 E-13
	007	0,0002	0,0000	0,0038	-5,471 E-11	1,3528 E-05	2,6567 E-13
00031	001	-0,0014	0,0017	-0,0848	-3,3011 E-04	-1,1663 E-04	-6,2248 E-12
	002	-0,0003	0,0007	-0,0266	-1,3071 E-04	-2,4186 E-05	-4,7499 E-13
	003	-0,0006	0,0032	-0,1350	-6,6474 E-04	-1,2436 E-04	2,545 E-07
	004	0,0002	-0,0004	0,0149	7,3111 E-05	1,3528 E-05	2,6567 E-13
	005	0,0002	-0,0004	0,0149	7,3111 E-05	1,3528 E-05	2,6567 E-13
	006	0,0002	-0,0004	0,0149	7,3111 E-05	1,3528 E-05	2,6567 E-13
	007	0,0002	-0,0004	0,0149	7,3111 E-05	1,3528 E-05	2,6567 E-13
00032	001	-0,0022	0,0000	-0,0204	-5,973 E-12	-1,9779 E-04	-2,4244 E-11
	002	-0,0004	0,0000	-0,0039	3,6142 E-11	-3,9804 E-05	-1,9672 E-12
	003	-0,0013	-0,0001	-0,0194	-4,6131 E-08	-2,0149 E-04	3,891 E-07
	004	0,0002	0,0000	0,0022	-2,0215 E-11	2,2263 E-05	1,1003 E-12
	005	0,0002	0,0000	0,0022	-2,0215 E-11	2,2263 E-05	1,1003 E-12

Nodi - Spostamenti per condizioni di carico non sismiche

Nodo	CC	S _x [cm]	S _y [cm]	S _z [cm]	Θ _x [rad]	Θ _y [rad]	Θ _z [rad]
	006	0,0002	0,0000	0,0022	-2,0215 E-11	2,2263 E-05	1,1003 E-12
	007	0,0002	0,0000	0,0022	-2,0215 E-11	2,2263 E-05	1,1003 E-12
00033	001	-0,0022	0,0017	-0,0703	-3,3011 E-04	-1,9779 E-04	-2,4244 E-11
	002	-0,0004	0,0007	-0,0237	-1,3071 E-04	-3,9804 E-05	-1,9672 E-12
	003	-0,0014	0,0033	-0,1199	-6,6469 E-04	-2,0149 E-04	3,891 E-07
	004	0,0002	-0,0004	0,0132	7,3111 E-05	2,2263 E-05	1,1003 E-12
	005	0,0002	-0,0004	0,0132	7,3111 E-05	2,2263 E-05	1,1003 E-12
	006	0,0002	-0,0004	0,0132	7,3111 E-05	2,2263 E-05	1,1003 E-12
	007	0,0002	-0,0004	0,0132	7,3111 E-05	2,2263 E-05	1,1003 E-12
00034	001	0,0012	0,0017	-0,0678	-3,3011 E-04	1,4406 E-04	-4,227 E-11
	002	0,0004	0,0007	-0,0253	-1,3071 E-04	4,373 E-05	-3,4046 E-12
	003	0,0028	0,0034	-0,1296	-6,6463 E-04	2,2901 E-04	4,6223 E-07
	004	-0,0002	-0,0004	0,0141	7,3111 E-05	-2,4459 E-05	1,9043 E-12
	005	-0,0002	-0,0004	0,0141	7,3111 E-05	-2,4459 E-05	1,9043 E-12
	006	-0,0002	-0,0004	0,0141	7,3111 E-05	-2,4459 E-05	1,9043 E-12
	007	-0,0002	-0,0004	0,0141	7,3111 E-05	-2,4459 E-05	1,9043 E-12
00035	001	-0,0006	0,0017	-0,0509	-3,3011 E-04	-2,8032 E-05	-4,227 E-11
	002	-0,0001	0,0007	-0,0199	-1,3071 E-04	-2,4268 E-06	-3,4046 E-12
	003	0,0005	0,0033	-0,1010	-6,6463 E-04	-5,6857 E-06	4,6223 E-07
	004	0,0000	-0,0004	0,0111	7,3111 E-05	1,3574 E-06	1,9043 E-12
	005	0,0000	-0,0004	0,0111	7,3111 E-05	1,3574 E-06	1,9043 E-12
	006	0,0000	-0,0004	0,0111	7,3111 E-05	1,3574 E-06	1,9043 E-12
	007	0,0000	-0,0004	0,0111	7,3111 E-05	1,3574 E-06	1,9043 E-12
00036	001	0,0008	0,0000	-0,0054	6,8403 E-12	1,1018 E-04	-4,227 E-11
	002	0,0003	0,0000	-0,0017	1,9034 E-11	3,3455 E-05	-3,4046 E-12
	003	0,0024	0,0000	-0,0094	1,9527 E-08	1,7676 E-04	4,6223 E-07
	004	-0,0002	0,0000	0,0010	-1,0646 E-11	-1,8712 E-05	1,9043 E-12
	005	-0,0002	0,0000	0,0010	-1,0646 E-11	-1,8712 E-05	1,9043 E-12
	006	-0,0002	0,0000	0,0010	-1,0646 E-11	-1,8712 E-05	1,9043 E-12
	007	-0,0002	0,0000	0,0010	-1,0646 E-11	-1,8712 E-05	1,9043 E-12
00037	001	0,0008	0,0017	-0,0553	-3,3011 E-04	1,1018 E-04	-4,227 E-11
	002	0,0003	0,0007	-0,0215	-1,3071 E-04	3,3455 E-05	-3,4046 E-12
	003	0,0023	0,0034	-0,1099	-6,6463 E-04	1,7676 E-04	4,6223 E-07
	004	-0,0002	-0,0004	0,0120	7,3111 E-05	-1,8712 E-05	1,9043 E-12
	005	-0,0002	-0,0004	0,0120	7,3111 E-05	-1,8712 E-05	1,9043 E-12
	006	-0,0002	-0,0004	0,0120	7,3111 E-05	-1,8712 E-05	1,9043 E-12
	007	-0,0002	-0,0004	0,0120	7,3111 E-05	-1,8712 E-05	1,9043 E-12
00038	001	-0,0010	-0,0017	-0,0556	3,3011 E-04	-1,144 E-04	-3,0036 E-12
	002	-0,0004	-0,0007	-0,0217	-1,3071 E-04	-3,5733 E-05	-8,0774 E-13
	003	-0,0005	0,0004	-0,0586	4,337 E-04	-9,3209 E-05	-2,5701 E-06
	004	0,0002	0,0004	0,0121	-7,3111 E-05	1,9986 E-05	4,5179 E-13
	005	0,0002	0,0004	0,0121	-7,3111 E-05	1,9986 E-05	4,5179 E-13
	006	0,0002	0,0004	0,0121	-7,3111 E-05	1,9986 E-05	4,5179 E-13
	007	0,0002	0,0004	0,0121	-7,3111 E-05	1,9986 E-05	4,5179 E-13
00039	001	0,0004	-0,0017	-0,0506	3,3011 E-04	2,1265 E-05	-3,0036 E-12
	002	0,0000	-0,0007	-0,0198	1,3071 E-04	-6,8439 E-07	-8,0774 E-13
	003	0,0007	-0,0020	-0,0976	6,4605 E-04	3,008 E-05	-2,5701 E-06
	004	0,0000	0,0004	0,0111	-7,3111 E-05	3,8279 E-07	4,5179 E-13
	005	0,0000	0,0004	0,0111	-7,3111 E-05	3,8279 E-07	4,5179 E-13
	006	0,0000	0,0004	0,0111	-7,3111 E-05	3,8279 E-07	4,5179 E-13
	007	0,0000	0,0004	0,0111	-7,3111 E-05	3,8279 E-07	4,5179 E-13
00040	001	0,0019	-0,0017	-0,0678	3,3011 E-04	1,8201 E-04	5,6615 E-13
	002	0,0003	-0,0007	-0,0228	1,3071 E-04	3,3025 E-05	-7,0147 E-13
	003	0,0022	-0,0023	-0,1153	6,5 E-04	1,7658 E-04	-2,5108 E-06
	004	-0,0002	0,0004	0,0127	-7,3111 E-05	-1,8472 E-05	3,9235 E-13
	005	-0,0002	0,0004	0,0127	-7,3111 E-05	-1,8472 E-05	3,9235 E-13
	006	-0,0002	0,0004	0,0127	-7,3111 E-05	-1,8472 E-05	3,9235 E-13
	007	-0,0002	0,0004	0,0127	-7,3111 E-05	-1,8472 E-05	3,9235 E-13
00041	001	0,0009	-0,0017	-0,0837	3,3011 E-04	8,1081 E-05	1,2237 E-12
	002	0,0001	-0,0007	-0,0257	1,3071 E-04	1,5795 E-05	-2,9621 E-13
	003	0,0012	-0,0026	-0,1312	6,5347 E-04	7,5433 E-05	-2,3382 E-06
	004	-0,0001	0,0004	0,0144	-7,3111 E-05	-8,8345 E-06	1,6567 E-13
	005	-0,0001	0,0004	0,0144	-7,3111 E-05	-8,8345 E-06	1,6567 E-13
	006	-0,0001	0,0004	0,0144	-7,3111 E-05	-8,8345 E-06	1,6567 E-13
	007	-0,0001	0,0004	0,0144	-7,3111 E-05	-8,8345 E-06	1,6567 E-13
00042	001	-0,0009	-0,0017	-0,0832	3,3011 E-04	-8,9981 E-05	3,7281 E-12
	002	-0,0002	-0,0007	-0,0258	1,3071 E-04	-1,5678 E-05	3,3458 E-13
	003	-0,0005	-0,0029	-0,1310	6,5693 E-04	-9,0409 E-05	-2,0528 E-06
	004	0,0001	0,0004	0,0144	-7,3111 E-05	8,7688 E-06	-1,8714 E-13
	005	0,0001	0,0004	0,0144	-7,3111 E-05	8,7688 E-06	-1,8714 E-13
	006	0,0001	0,0004	0,0144	-7,3111 E-05	8,7688 E-06	-1,8714 E-13
	007	0,0001	0,0004	0,0144	-7,3111 E-05	8,7688 E-06	-1,8714 E-13
00043	001	-0,0018	-0,0017	-0,0667	3,3011 E-04	-1,8176 E-04	8,0794 E-12
	002	-0,0004	-0,0007	-0,0228	1,3071 E-04	-3,2937 E-05	1,1909 E-12
	003	-0,0013	-0,0031	-0,1155	6,6039 E-04	-1,7626 E-04	-1,6547 E-06
	004	0,0002	0,0004	0,0127	-7,3111 E-05	1,8423 E-05	-6,661 E-13
	005	0,0002	0,0004	0,0127	-7,3111 E-05	1,8423 E-05	-6,661 E-13
	006	0,0002	0,0004	0,0127	-7,3111 E-05	1,8423 E-05	-6,661 E-13
	007	0,0002	0,0004	0,0127	-7,3111 E-05	1,8423 E-05	-6,661 E-13
00044	001	-0,0007	-0,0017	-0,0515	3,3011 E-04	-6,6533 E-05	1,3735 E-11
	002	-0,0001	-0,0007	-0,0200	1,3071 E-04	-1,1506 E-05	2,1815 E-12
	003	0,0000	-0,0033	-0,1016	6,6359 E-04	-5,8669 E-05	-1,1872 E-06
	004	0,0001	0,0004	0,0112	-7,3111 E-05	6,4354 E-06	-1,2201 E-12
	005	0,0001	0,0004	0,0112	-7,3111 E-05	6,4354 E-06	-1,2201 E-12
	006	0,0001	0,0004	0,0112	-7,3111 E-05	6,4354 E-06	-1,2201 E-12

Nodi - Spostamenti per condizioni di carico non sismiche

Nodo	CC	S _x [cm]	S _y [cm]	S _z [cm]	Θ _x [rad]	Θ _y [rad]	Θ _z [rad]
	007	0,0001	0,0004	0,0112	-7,3111 E-05	6,4354 E-06	-1,2201 E-12
00045	001	0,0016	-0,0017	-0,0583	3,3011 E-04	1,6886 E-04	2,1185 E-11
	002	0,0003	-0,0007	-0,0215	1,3071 E-04	3,413 E-05	2,4757 E-12
	003	0,0024	-0,0034	-0,1093	6,6441 E-04	1,7381 E-04	-6,9864 E-07
	004	-0,0002	0,0004	0,0120	-7,3111 E-05	-1,909 E-05	-1,3847 E-12
	005	-0,0002	0,0004	0,0120	-7,3111 E-05	-1,909 E-05	-1,3847 E-12
	006	-0,0002	0,0004	0,0120	-7,3111 E-05	-1,909 E-05	-1,3847 E-12
	007	-0,0002	0,0004	0,0120	-7,3111 E-05	-1,909 E-05	-1,3847 E-12
00046	001	0,0017	-0,0017	-0,0761	3,3011 E-04	1,7992 E-04	1,7998 E-11
	002	0,0003	-0,0007	-0,0250	1,3071 E-04	3,5505 E-05	1,882 E-12
	003	0,0025	-0,0034	-0,1273	6,6445 E-04	1,7873 E-04	-3,1233 E-07
	004	-0,0002	0,0004	0,0140	-7,3111 E-05	-1,9859 E-05	-1,0526 E-12
	005	-0,0002	0,0004	0,0140	-7,3111 E-05	-1,9859 E-05	-1,0526 E-12
	006	-0,0002	0,0004	0,0140	-7,3111 E-05	-1,9859 E-05	-1,0526 E-12
	007	-0,0002	0,0004	0,0140	-7,3111 E-05	-1,9859 E-05	-1,0526 E-12
00047	001	0,0003	-0,0017	-0,0886	3,3011 E-04	4,077 E-05	8,2092 E-12
	002	0,0000	-0,0007	-0,0275	1,3071 E-04	7,3502 E-06	8,2575 E-13
	003	0,0011	-0,0034	-0,1394	6,6451 E-04	3,4961 E-05	3,0788 E-08
	004	0,0000	0,0004	0,0154	-7,3111 E-05	-4,1111 E-06	-4,6186 E-13
	005	0,0000	0,0004	0,0154	-7,3111 E-05	-4,1111 E-06	-4,6186 E-13
	006	0,0000	0,0004	0,0154	-7,3111 E-05	-4,1111 E-06	-4,6186 E-13
	007	0,0000	0,0004	0,0154	-7,3111 E-05	-4,1111 E-06	-4,6186 E-13
00048	001	-0,0014	-0,0017	-0,0848	3,3011 E-04	-1,1663 E-04	-6,2248 E-12
	002	-0,0003	-0,0007	-0,0266	1,3071 E-04	-2,4186 E-05	-4,7499 E-13
	003	-0,0005	-0,0034	-0,1350	6,6456 E-04	-1,2436 E-04	2,545 E-07
	004	0,0002	0,0004	0,0149	-7,3111 E-05	1,3528 E-05	2,6567 E-13
	005	0,0002	0,0004	0,0149	-7,3111 E-05	1,3528 E-05	2,6567 E-13
	006	0,0002	0,0004	0,0149	-7,3111 E-05	1,3528 E-05	2,6567 E-13
	007	0,0002	0,0004	0,0149	-7,3111 E-05	1,3528 E-05	2,6567 E-13
00049	001	-0,0022	-0,0017	-0,0703	3,3011 E-04	-1,9779 E-04	-2,4244 E-11
	002	-0,0004	-0,0007	-0,0237	1,3071 E-04	-3,9804 E-05	-1,9672 E-12
	003	-0,0013	-0,0034	-0,1199	6,646 E-04	-2,0149 E-04	3,891 E-07
	004	0,0002	0,0004	0,0132	-7,3111 E-05	2,2263 E-05	1,1003 E-12
	005	0,0002	0,0004	0,0132	-7,3111 E-05	2,2263 E-05	1,1003 E-12
	006	0,0002	0,0004	0,0132	-7,3111 E-05	2,2263 E-05	1,1003 E-12
	007	0,0002	0,0004	0,0132	-7,3111 E-05	2,2263 E-05	1,1003 E-12
00050	001	-0,0006	-0,0017	-0,0509	3,3011 E-04	-2,8032 E-05	-4,227 E-11
	002	-0,0001	-0,0007	-0,0199	1,3071 E-04	-2,4268 E-06	-3,4046 E-12
	003	0,0007	-0,0033	-0,1010	6,6466 E-04	-5,6857 E-06	4,6223 E-07
	004	0,0000	0,0004	0,0111	-7,3111 E-05	1,3574 E-06	1,9043 E-12
	005	0,0000	0,0004	0,0111	-7,3111 E-05	1,3574 E-06	1,9043 E-12
	006	0,0000	0,0004	0,0111	-7,3111 E-05	1,3574 E-06	1,9043 E-12
	007	0,0000	0,0004	0,0111	-7,3111 E-05	1,3574 E-06	1,9043 E-12
00051	001	0,0008	-0,0017	-0,0553	3,3011 E-04	1,1018 E-04	-4,227 E-11
	002	0,0003	-0,0007	-0,0215	1,3071 E-04	3,3455 E-05	-3,4046 E-12
	003	0,0025	-0,0033	-0,1099	6,6466 E-04	1,7676 E-04	4,6223 E-07
	004	-0,0002	0,0004	0,0120	-7,3111 E-05	-1,8712 E-05	1,9043 E-12
	005	-0,0002	0,0004	0,0120	-7,3111 E-05	-1,8712 E-05	1,9043 E-12
	006	-0,0002	0,0004	0,0120	-7,3111 E-05	-1,8712 E-05	1,9043 E-12
	007	-0,0002	0,0004	0,0120	-7,3111 E-05	-1,8712 E-05	1,9043 E-12
00052	001	0,0012	-0,0017	-0,0678	3,3011 E-04	1,4406 E-04	-4,227 E-11
	002	0,0004	-0,0007	-0,0253	1,3071 E-04	4,373 E-05	-3,4046 E-12
	003	0,0030	-0,0032	-0,1296	6,6466 E-04	2,2901 E-04	4,6223 E-07
	004	-0,0002	0,0004	0,0141	-7,3111 E-05	-2,4459 E-05	1,9043 E-12
	005	-0,0002	0,0004	0,0141	-7,3111 E-05	-2,4459 E-05	1,9043 E-12
	006	-0,0002	0,0004	0,0141	-7,3111 E-05	-2,4459 E-05	1,9043 E-12
	007	-0,0002	0,0004	0,0141	-7,3111 E-05	-2,4459 E-05	1,9043 E-12

LEGENDA:

CC Identificativo della tipologia di carico nella relativa tabella.
 S_x, S_y, S_z, Θ_x, Θ_y, Θ_z Le componenti dello spostamento sono relative al sistema di riferimento globale X, Y, Z.

NODI - SPOSTAMENTI PER EFFETTO DEL SISMA

Nodo	Di r	Stato Limite Ultimo						Stato Limite di Danno					
		S _x	S _y	S _z	Θ _x	Θ _y	Θ _z	S _x	S _y	S _z	Θ _x	Θ _y	Θ _z
		[cm]	[cm]	[cm]	[rad]	[rad]	[rad]	[cm]	[cm]	[cm]	[rad]	[rad]	[rad]
00001	X	0,000 0	0,000 0	0,000 0	0 E+00	0 E+00	0 E+00	0,000 0	0,000 0	0,000 0	0 E+00	0 E+00	0 E+00
00001	Y	0,000 0	0,000 0	0,000 0	0 E+00	0 E+00	0 E+00	0,000 0	0,000 0	0,000 0	0 E+00	0 E+00	0 E+00
00001	Z	0,000 0	0,000 0	0,000 0	0 E+00	0 E+00	0 E+00	0,000 0	0,000 0	0,000 0	0 E+00	0 E+00	0 E+00
00002	X	0,014 2	0,000 0	0,000 0	4,2378 E-12	1,1245 E-04	1,428 E-11	0,003 1	0,000 0	0,000 0	8,7546 E-13	2,4681 E-05	3,5067 E-12
00002	Y	0,000 0	0,009 1	0,000 0	7,888 E-05	8,0399 E-12	3,9001 E-05	0,000 0	0,002 0	0,000 0	1,7106 E-05	2,0261 E-12	8,9578 E-06
00002	Z	0,000 0	0,000 0	0,000 0	0 E+00	0 E+00	0 E+00	0,000 0	0,000 0	0,000 0	0 E+00	0 E+00	0 E+00
00003	X	0,000 0	0,000 0	0,000 0	0 E+00	0 E+00	0 E+00	0,000 0	0,000 0	0,000 0	0 E+00	0 E+00	0 E+00
00003	Y	0,000 0	0,000 0	0,000 0	0 E+00	0 E+00	0 E+00	0,000 0	0,000 0	0,000 0	0 E+00	0 E+00	0 E+00

Nodi - Spostamenti per effetto del sisma													
Nodo	Di r	Stato Limite Ultimo						Stato Limite di Danno					
		S _x [cm]	S _y [cm]	S _z [cm]	Θ _x [rad]	Θ _y [rad]	Θ _z [rad]	S _x [cm]	S _y [cm]	S _z [cm]	Θ _x [rad]	Θ _y [rad]	Θ _z [rad]
00003	Z	0,000	0,000	0,000	0 E+00	0 E+00	0 E+00	0,000	0,000	0,000	0 E+00	0 E+00	0 E+00
00004	X	0,013	0,000	0,000	7,2609 E-11	7,5223 E-05	8,9215 E-11	0,003	0,000	0,000	1,6019 E-11	1,6124 E-05	1,9637 E-11
00004	Y	0,000	0,011	0,000	9,6868 E-05	2,3538 E-11	1,7776 E-05	0,000	0,002	0,000	2,1404 E-05	5,7706 E-12	4,3682 E-06
00004	Z	0,000	0,000	0,000	0 E+00	0 E+00	0 E+00	0,000	0,000	0,000	0 E+00	0 E+00	0 E+00
00005	X	0,000	0,000	0,000	0 E+00	0 E+00	0 E+00	0,000	0,000	0,000	0 E+00	0 E+00	0 E+00
00005	Y	0,000	0,000	0,000	0 E+00	0 E+00	0 E+00	0,000	0,000	0,000	0 E+00	0 E+00	0 E+00
00005	Z	0,000	0,000	0,000	0 E+00	0 E+00	0 E+00	0,000	0,000	0,000	0 E+00	0 E+00	0 E+00
00006	X	0,014	0,000	0,000	3,4681 E-12	1,1276 E-04	1,0732 E-10	0,003	0,000	0,000	7,3607 E-13	2,4756 E-05	2,4335 E-11
00006	Y	0,000	0,009	0,000	7,9387 E-05	2,366 E-11	7,3229 E-05	0,000	0,002	0,000	1,7235 E-05	5,4006 E-12	1,7591 E-05
00006	Z	0,000	0,000	0,000	0 E+00	0 E+00	0 E+00	0,000	0,000	0,000	0 E+00	0 E+00	0 E+00
00007	X	0,014	0,000	0,023	1,2047 E-11	1,4511 E-04	1,1375 E-10	0,003	0,000	0,005	2,7029 E-12	3,2486 E-05	2,4872 E-11
00007	Y	0,000	0,014	0,000	1,7211 E-04	1,6518 E-11	6,5334 E-05	0,000	0,003	0,000	4,1717 E-05	3,9451 E-12	1,4331 E-05
00007	Z	0,000	0,000	0,000	0 E+00	0 E+00	0 E+00	0,000	0,000	0,000	0 E+00	0 E+00	0 E+00
00008	X	0,014	0,000	0,023	7,1186 E-12	1,4388 E-04	3,5741 E-11	0,003	0,000	0,005	1,5234 E-12	3,2215 E-05	8,5266 E-12
00008	Y	0,000	0,016	0,000	1,9692 E-04	1,6478 E-11	6,2995 E-05	0,000	0,003	0,000	4,7719 E-05	3,5339 E-12	1,3012 E-05
00008	Z	0,000	0,000	0,000	0 E+00	0 E+00	0 E+00	0,000	0,000	0,000	0 E+00	0 E+00	0 E+00
00009	X	0,055	0,000	0,027	8,5047 E-05	2,2425 E-04	3,1086 E-04	0,012	0,000	0,006	1,9262 E-05	5,0436 E-05	7,0408 E-05
00009	Y	0,014	0,016	0,048	2,6591 E-04	1,984 E-05	8,969 E-05	0,003	0,003	0,011	6,5679 E-05	4,3617 E-06	2,0352 E-05
00009	Z	0,000	0,000	0,000	0 E+00	0 E+00	0 E+00	0,000	0,000	0,000	0 E+00	0 E+00	0 E+00
00010	X	0,055	0,000	0,027	8,5047 E-05	2,2425 E-04	3,1086 E-04	0,012	0,000	0,006	1,9262 E-05	5,0436 E-05	7,0408 E-05
00010	Y	0,014	0,016	0,048	2,6591 E-04	1,984 E-05	8,969 E-05	0,003	0,003	0,011	6,5679 E-05	4,3617 E-06	2,0352 E-05
00010	Z	0,000	0,000	0,000	0 E+00	0 E+00	0 E+00	0,000	0,000	0,000	0 E+00	0 E+00	0 E+00
00011	X	0,014	0,000	0,010	9,4951 E-12	1,3472 E-04	3,6691 E-11	0,003	0,000	0,002	2,1228 E-12	3,006 E-05	8,7171 E-12
00011	Y	0,000	0,010	0,000	1,4957 E-04	1,1772 E-11	4,442 E-05	0,000	0,002	0,000	3,5598 E-05	2,5776 E-12	9,026 E-06
00011	Z	0,000	0,000	0,000	0 E+00	0 E+00	0 E+00	0,000	0,000	0,000	0 E+00	0 E+00	0 E+00
00012	X	0,061	0,000	0,002	1,0913 E-05	2,0173 E-04	3,5364 E-04	0,013	0,000	0,000	2,565 E-06	4,5082 E-05	8,0415 E-05
00012	Y	0,008	0,009	0,023	1,416 E-04	6,0877 E-06	4,8771 E-05	0,002	0,002	0,005	3,3089 E-05	1,4151 E-06	1,1771 E-05
00012	Z	0,000	0,000	0,000	0 E+00	0 E+00	0 E+00	0,000	0,000	0,000	0 E+00	0 E+00	0 E+00
00013	X	0,056	0,000	0,014	4,6536 E-05	2,1578 E-04	3,1419 E-04	0,012	0,000	0,003	1,097 E-05	4,8436 E-05	7,1137 E-05
00013	Y	0,009	0,010	0,038	2,171 E-04	1,5588 E-05	6,0233 E-05	0,002	0,002	0,009	5,2886 E-05	3,3852 E-06	1,3438 E-05
00013	Z	0,000	0,000	0,000	0 E+00	0 E+00	0 E+00	0,000	0,000	0,000	0 E+00	0 E+00	0 E+00
00014	X	0,013	0,000	0,007	3,0198 E-11	1,3854 E-05	2,019 E-10	0,002	0,000	0,001	6,5955 E-12	3,1998 E-06	4,5133 E-11
00014	Y	0,000	0,020	0,000	2,1061 E-04	9,3704 E-12	9,6095 E-05	0,000	0,004	0,000	5,1547 E-05	2,0465 E-12	2,0938 E-05
00014	Z	0,000	0,000	0,000	0 E+00	0 E+00	0 E+00	0,000	0,000	0,000	0 E+00	0 E+00	0 E+00
00015	X	0,054	0,000	0,009	3,0234 E-05	9,4538 E-05	3,1138 E-04	0,012	0,000	0,002	7,0459 E-06	2,1447 E-05	7,0391 E-05
00015	Y	0,023	0,020	0,052	2,8716 E-04	2,212 E-05	1,3765 E-04	0,005	0,004	0,012	7,1299 E-05	5,012 E-06	3,2159 E-05
00015	Z	0,000	0,000	0,000	0 E+00	0 E+00	0 E+00	0,000	0,000	0,000	0 E+00	0 E+00	0 E+00
00016	X	0,012	0,000	0,005	4,8255 E-11	3,7767 E-05	1,4254 E-10	0,002	0,000	0,001	1,175 E-11	8,1552 E-06	3,1628 E-11
00016	Y	0,000	0,028	0,000	2,7563 E-04	1,1725 E-11	3,8464 E-05	0,000	0,006	0,000	6,8349 E-05	2,9055 E-12	8,2528 E-06
00016	Z	0,000	0,000	0,000	0 E+00	0 E+00	0 E+00	0,000	0,000	0,000	0 E+00	0 E+00	0 E+00
00017	X	0,056	0,000	0,005	1,9074 E-05	5,1508 E-05	3,2526 E-04	0,012	0,000	0,001	4,1076 E-06	1,1813 E-05	7,3415 E-05
00017	Y	0,007	0,028	0,064	3,4954 E-04	9,2935 E-06	4,4231 E-05	0,001	0,006	0,016	8,7984 E-05	1,9958 E-06	1,029 E-05

Nodi - Spostamenti per effetto del sisma													
Nodo	Dir	Stato Limite Ultimo						Stato Limite di Danno					
		Sx [cm]	Sy [cm]	Sz [cm]	θx [rad]	θy [rad]	θz [rad]	Sx [cm]	Sy [cm]	Sz [cm]	θx [rad]	θy [rad]	θz [rad]
00017	Z	0,0008	0,0007	0,0006	0 E+00	0 E+00	0 E+00	0,0008	0,0003	0,0002	0 E+00	0 E+00	0 E+00
00018	X	0,0127	0,0000	0,0014	2,8102 E-11	4,5077 E-05	1,5517 E-10	0,0027	0,0000	0,0003	7,2009 E-12	9,9139 E-06	3,4755 E-11
00018	Y	0,0000	0,0278	0,0000	2,7485 E-04	9,289 E-12	4,8893 E-05	0,0000	0,0061	0,0000	6,8278 E-05	2,1567 E-12	1,0775 E-05
00018	Z	0,0000	0,0000	0,0000	0 E+00	0 E+00	0 E+00	0,0000	0,0000	0,0000	0 E+00	0 E+00	0 E+00
00019	X	0,0561	0,0000	0,0013	8,6486 E-06	4,304 E-05	3,2685 E-04	0,0126	0,0000	0,0003	1,7407 E-06	9,8292 E-06	7,3761 E-05
00019	Y	0,0125	0,0279	0,0630	3,3819 E-04	1,0624 E-05	7,1699 E-05	0,0029	0,0061	0,0159	8,5472 E-05	2,4407 E-06	1,6825 E-05
00019	Z	0,0000	0,0000	0,0000	0 E+00	0 E+00	0 E+00	0,0000	0,0000	0,0000	0 E+00	0 E+00	0 E+00
00020	X	0,0130	0,0000	0,0035	1,1246 E-10	1,1746 E-05	3,7456 E-11	0,0028	0,0000	0,0007	2,6078 E-11	2,73 E-06	8,0348 E-12
00020	Y	0,0000	0,0192	0,0000	2,1652 E-04	1,3317 E-11	8,8333 E-05	0,0000	0,0042	0,0000	5,3217 E-05	2,8815 E-12	1,9141 E-05
00020	Z	0,0000	0,0000	0,0000	0 E+00	0 E+00	0 E+00	0,0000	0,0000	0,0000	0 E+00	0 E+00	0 E+00
00021	X	0,0547	0,0001	0,0048	2,131 E-05	7,0582 E-05	3,1463 E-04	0,0123	0,0000	0,0011	4,7763 E-06	1,5858 E-05	7,1089 E-05
00021	Y	0,0211	0,0192	0,0507	2,7506 E-04	2,0572 E-05	1,2125 E-04	0,0049	0,0042	0,0127	6,8909 E-05	4,6071 E-06	2,8278 E-05
00021	Z	0,0000	0,0000	0,0000	0 E+00	0 E+00	0 E+00	0,0000	0,0000	0,0000	0 E+00	0 E+00	0 E+00
00022	X	0,0136	0,0000	0,0016	9,568 E-11	5,5703 E-05	1,301 E-10	0,0029	0,0000	0,0003	2,1158 E-11	1,1884 E-05	2,8778 E-11
00022	Y	0,0000	0,0118	0,0000	1,2342 E-04	2,4585 E-11	2,5466 E-05	0,0000	0,0026	0,0000	2,8677 E-05	5,9959 E-12	5,3382 E-06
00022	Z	0,0000	0,0000	0,0000	0 E+00	0 E+00	0 E+00	0,0000	0,0000	0,0000	0 E+00	0 E+00	0 E+00
00023	X	0,0560	0,0001	0,0040	1,9698 E-05	1,3492 E-04	3,2002 E-04	0,0125	0,0000	0,0009	4,5167 E-06	2,9917 E-05	7,2343 E-05
00023	Y	0,0065	0,0119	0,0326	1,872 E-04	8,0082 E-06	3,9492 E-05	0,0014	0,0026	0,0078	4,5057 E-05	1,8067 E-06	8,9122 E-06
00023	Z	0,0000	0,0000	0,0000	0 E+00	0 E+00	0 E+00	0,0000	0,0000	0,0000	0 E+00	0 E+00	0 E+00
00024	X	0,0133	0,0000	0,0033	2,2394 E-10	2,2219 E-05	8,6116 E-11	0,0029	0,0000	0,0007	4,9399 E-11	4,6138 E-06	1,9357 E-11
00024	Y	0,0000	0,0166	0,0000	1,8474 E-04	5,6034 E-12	9,5562 E-05	0,0000	0,0037	0,0000	4,4929 E-05	1,3358 E-12	2,1364 E-05
00024	Z	0,0000	0,0000	0,0000	0 E+00	0 E+00	0 E+00	0,0000	0,0000	0,0000	0 E+00	0 E+00	0 E+00
00025	X	0,0551	0,0001	0,0059	2,5807 E-05	1,002 E-04	3,1528 E-04	0,0123	0,0000	0,0013	5,9476 E-06	2,2322 E-05	7,1263 E-05
00025	Y	0,0233	0,0168	0,0457	2,5297 E-04	1,9142 E-05	1,3178 E-04	0,0055	0,0038	0,0113	6,2627 E-05	4,3336 E-06	3,1288 E-05
00025	Z	0,0000	0,0000	0,0000	0 E+00	0 E+00	0 E+00	0,0000	0,0000	0,0000	0 E+00	0 E+00	0 E+00
00026	X	0,0129	0,0000	0,0029	5,4672 E-10	2,7583 E-05	1,0759 E-10	0,0028	0,0000	0,0006	1,246 E-10	6,1919 E-06	2,405 E-11
00026	Y	0,0000	0,0271	0,0000	2,6895 E-04	5,9734 E-12	1,0218 E-04	0,0000	0,0061	0,0000	6,6892 E-05	1,3511 E-12	2,2847 E-05
00026	Z	0,0000	0,0000	0,0000	0 E+00	0 E+00	0 E+00	0,0000	0,0000	0,0000	0 E+00	0 E+00	0 E+00
00027	X	0,0553	0,0001	0,0024	1,6877 E-05	5,6071 E-05	3,1999 E-04	0,0124	0,0000	0,0005	3,4798 E-06	1,2674 E-05	7,2261 E-05
00027	Y	0,0253	0,0273	0,0634	3,4319 E-04	2,0343 E-05	1,4339 E-04	0,0059	0,0061	0,0159	8,65 E-05	4,6455 E-06	3,3997 E-05
00027	Z	0,0000	0,0000	0,0000	0 E+00	0 E+00	0 E+00	0,0000	0,0000	0,0000	0 E+00	0 E+00	0 E+00
00028	X	0,0127	0,0000	0,0023	4,8562 E-10	4,7387 E-05	1,48 E-10	0,0027	0,0000	0,0005	1,073 E-10	1,0378 E-05	3,2778 E-11
00028	Y	0,0000	0,0346	0,0000	3,0576 E-04	6,8307 E-12	2,7595 E-05	0,0000	0,0078	0,0000	7,6612 E-05	1,51 E-12	6,3075 E-06
00028	Z	0,0000	0,0000	0,0000	0 E+00	0 E+00	0 E+00	0,0000	0,0000	0,0000	0 E+00	0 E+00	0 E+00
00029	X	0,0565	0,0000	0,0023	6,6477 E-06	4,2384 E-05	3,2957 E-04	0,0127	0,0000	0,0006	1,4603 E-06	9,6983 E-06	7,4364 E-05
00029	Y	0,0077	0,0347	0,0697	3,73 E-04	5,3717 E-06	4,4038 E-05	0,0018	0,0078	0,0177	9,4858 E-05	1,2807 E-06	1,0465 E-05
00029	Z	0,0000	0,0000	0,0000	0 E+00	0 E+00	0 E+00	0,0000	0,0000	0,0000	0 E+00	0 E+00	0 E+00
00030	X	0,0129	0,0000	0,0059	6,2643 E-10	3,2259 E-05	6,3975 E-12	0,0028	0,0000	0,0013	1,4217 E-10	6,9187 E-06	1,4585 E-12
00030	Y	0,0000	0,0327	0,0000	2,868 E-04	1,4251 E-11	6,3776 E-05	0,0000	0,0073	0,0000	7,1772 E-05	3,3255 E-12	1,4091 E-05
00030	Z	0,0000	0,0000	0,0000	0 E+00	0 E+00	0 E+00	0,0000	0,0000	0,0000	0 E+00	0 E+00	0 E+00
00031	X	0,0561	0,0001	0,0064	2,0224 E-05	5,6852 E-05	3,2524 E-04	0,0126	0,0000	0,0015	4,4676 E-06	1,3033 E-05	7,3418 E-05
00031	Y	0,016	0,032	0,066	3,5669 E-04	1,3787 E-05	9,194 E-05	0,003	0,007	0,016	9,0463 E-05	3,1435 E-06	2,1646 E-05

Nodi - Spostamenti per effetto del sisma													
Nodo	Dir	Stato Limite Ultimo						Stato Limite di Danno					
		S _x [cm]	S _y [cm]	S _z [cm]	Θ _x [rad]	Θ _y [rad]	Θ _z [rad]	S _x [cm]	S _y [cm]	S _z [cm]	Θ _x [rad]	Θ _y [rad]	Θ _z [rad]
00031	Z	0,000 0	0,000 0	0,000 0	0 E+00	0 E+00	0 E+00	0,000 0	0,000 0	0,000 0	0 E+00	0 E+00	0 E+00
00032	X	0,013 2	0,000 0	0,007 1	3,2935 E-10	1,2203 E-05	1,9299 E-10	0,002 9	0,000 0	0,001 6	7,3127 E-11	2,8364 E-06	4,2682 E-11
00032	Y	0,000 0	0,024 0	0,000 0	2,2104 E-04	2,2076 E-11	1,1814 E-04	0,000 0	0,005 4	0,000 0	5,4798 E-05	5,5363 E-12	2,6423 E-05
00032	Z	0,000 0	0,000 0	0,000 0	0 E+00	0 E+00	0 E+00	0,000 0	0,000 0	0,000 0	0 E+00	0 E+00	0 E+00
00033	X	0,055 1	0,000 2	0,009 9	3,0831 E-05	9,3519 E-05	3,1531 E-04	0,012 4	0,000 0	0,002 3	7,2356 E-06	2,1238 E-05	7,1261 E-05
00033	Y	0,029 2	0,024 2	0,052 2	2,8336 E-04	2,3563 E-05	1,6563 E-04	0,006 9	0,005 4	0,013 1	7,1296 E-05	5,3743 E-06	3,9283 E-05
00033	Z	0,000 0	0,000 0	0,000 0	0 E+00	0 E+00	0 E+00	0,000 0	0,000 0	0,000 0	0 E+00	0 E+00	0 E+00
00034	X	0,055 8	0,000 4	0,028 3	8,6751 E-05	2,2551 E-04	3,1101 E-04	0,012 5	0,000 1	0,006 6	1,9826 E-05	5,0714 E-05	7,0445 E-05
00034	Y	0,012 1	0,014 5	0,041 0	2,2442 E-04	2,0015 E-05	7,2928 E-05	0,002 7	0,003 0	0,010 1	5,5605 E-05	4,361 E-06	1,6244 E-05
00034	Z	0,000 0	0,000 0	0,000 0	0 E+00	0 E+00	0 E+00	0,000 0	0,000 0	0,000 0	0 E+00	0 E+00	0 E+00
00035	X	0,061 0	0,000 1	0,003 8	1,4526 E-05	2,0206 E-04	3,5368 E-04	0,013 8	0,000 0	0,000 9	3,4153 E-06	4,5164 E-05	8,0427 E-05
00035	Y	0,015 8	0,010 6	0,022 8	1,3972 E-04	8,7076 E-06	8,3803 E-05	0,003 9	0,002 3	0,005 3	3,2689 E-05	1,9977 E-06	2,0928 E-05
00035	Z	0,000 0	0,000 0	0,000 0	0 E+00	0 E+00	0 E+00	0,000 0	0,000 0	0,000 0	0 E+00	0 E+00	0 E+00
00036	X	0,014 4	0,000 0	0,010 6	3,794 E-11	1,3603 E-04	1,1415 E-10	0,003 1	0,000 0	0,002 4	8,8323 E-12	3,0356 E-05	2,5862 E-11
00036	Y	0,000 0	0,009 6	0,000 0	1,3663 E-04	1,4936 E-11	5,7347 E-05	0,000 0	0,002 0	0,000 0	3,2483 E-05	3,5024 E-12	1,3172 E-05
00036	Z	0,000 0	0,000 0	0,000 0	0 E+00	0 E+00	0 E+00	0,000 0	0,000 0	0,000 0	0 E+00	0 E+00	0 E+00
00037	X	0,056 6	0,000 2	0,012 2	4,0129 E-05	2,1801 E-04	3,1771 E-04	0,012 7	0,000 0	0,002 8	8,9842 E-06	4,8937 E-05	7,192 E-05
00037	Y	0,009 2	0,009 6	0,034 5	1,9345 E-04	1,5759 E-05	5,2382 E-05	0,002 2	0,002 0	0,008 4	4,7196 E-05	3,3727 E-06	1,2085 E-05
00037	Z	0,000 0	0,000 0	0,000 0	0 E+00	0 E+00	0 E+00	0,000 0	0,000 0	0,000 0	0 E+00	0 E+00	0 E+00
00038	X	0,056 1	0,000 2	0,014 7	4,6536 E-05	2,1578 E-04	3,142 E-04	0,012 6	0,000 1	0,003 4	1,097 E-05	4,8436 E-05	7,1137 E-05
00038	Y	0,009 6	0,010 7	0,038 5	2,171 E-04	1,5588 E-05	6,0233 E-05	0,002 1	0,002 3	0,009 4	5,2886 E-05	3,3852 E-06	1,3438 E-05
00038	Z	0,000 0	0,000 0	0,000 0	0 E+00	0 E+00	0 E+00	0,000 0	0,000 0	0,000 0	0 E+00	0 E+00	0 E+00
00039	X	0,061 0	0,000 1	0,002 8	1,0913 E-05	2,0172 E-04	3,5363 E-04	0,013 8	0,000 0	0,000 7	2,5652 E-06	4,5081 E-05	8,0414 E-05
00039	Y	0,008 9	0,009 8	0,023 1	1,416 E-04	6,0877 E-06	4,8771 E-05	0,002 1	0,002 1	0,005 4	3,3089 E-05	1,4151 E-06	1,1771 E-05
00039	Z	0,000 0	0,000 0	0,000 0	0 E+00	0 E+00	0 E+00	0,000 0	0,000 0	0,000 0	0 E+00	0 E+00	0 E+00
00040	X	0,054 5	0,000 2	0,009 6	3,0234 E-05	9,4539 E-05	3,1139 E-04	0,012 2	0,000 0	0,002 2	7,046 E-06	2,1447 E-05	7,0392 E-05
00040	Y	0,023 9	0,020 4	0,052 0	2,8716 E-04	2,2119 E-05	1,3765 E-04	0,005 5	0,004 5	0,012 9	7,1299 E-05	5,012 E-06	3,2159 E-05
00040	Z	0,000 0	0,000 0	0,000 0	0 E+00	0 E+00	0 E+00	0,000 0	0,000 0	0,000 0	0 E+00	0 E+00	0 E+00
00041	X	0,056 0	0,000 1	0,005 3	1,9074 E-05	5,1506 E-05	3,2525 E-04	0,012 5	0,000 0	0,001 3	4,1076 E-06	1,1813 E-05	7,3414 E-05
00041	Y	0,007 8	0,028 7	0,064 6	3,4954 E-04	9,2935 E-06	4,4231 E-05	0,001 8	0,006 3	0,016 2	8,7984 E-05	1,9958 E-06	1,029 E-05
00041	Z	0,000 0	0,000 0	0,000 0	0 E+00	0 E+00	0 E+00	0,000 0	0,000 0	0,000 0	0 E+00	0 E+00	0 E+00
00042	X	0,056 1	0,000 0	0,001 3	8,6486 E-06	4,3039 E-05	3,2685 E-04	0,012 6	0,000 0	0,000 3	1,7408 E-06	9,8289 E-06	7,3761 E-05
00042	Y	0,012 5	0,027 9	0,063 0	3,382 E-04	1,0624 E-05	7,1699 E-05	0,002 9	0,006 1	0,015 9	8,5472 E-05	2,4407 E-06	1,6825 E-05
00042	Z	0,000 0	0,000 0	0,000 0	0 E+00	0 E+00	0 E+00	0,000 0	0,000 0	0,000 0	0 E+00	0 E+00	0 E+00
00043	X	0,054 7	0,000 1	0,004 8	2,1311 E-05	7,0584 E-05	3,1464 E-04	0,012 3	0,000 0	0,001 1	4,7765 E-06	1,5858 E-05	7,109 E-05
00043	Y	0,021 1	0,019 2	0,050 7	2,7506 E-04	2,0572 E-05	1,2125 E-04	0,004 9	0,004 2	0,012 7	6,8909 E-05	4,6071 E-06	2,8278 E-05
00043	Z	0,000 0	0,000 0	0,000 0	0 E+00	0 E+00	0 E+00	0,000 0	0,000 0	0,000 0	0 E+00	0 E+00	0 E+00
00044	X	0,056 0	0,000 1	0,004 0	1,9697 E-05	1,3492 E-04	3,2001 E-04	0,012 5	0,000 0	0,000 9	4,5165 E-06	2,9916 E-05	7,2342 E-05
00044	Y	0,006 5	0,011 9	0,032 6	1,872 E-04	8,0082 E-06	3,9493 E-05	0,001 4	0,002 6	0,007 8	4,5057 E-05	1,8067 E-06	8,9123 E-06
00044	Z	0,000 0	0,000 0	0,000 0	0 E+00	0 E+00	0 E+00	0,000 0	0,000 0	0,000 0	0 E+00	0 E+00	0 E+00
00045	X	0,055 1	0,000 1	0,005 9	2,581 E-05	1,002 E-04	3,1529 E-04	0,012 3	0,000 0	0,001 3	5,9484 E-06	2,2322 E-05	7,1264 E-05
00045	Y	0,023	0,016	0,045	2,5297 E-04	1,9142 E-05	1,3178 E-04	0,005	0,003	0,011	6,2627 E-05	4,3336 E-06	3,1288 E-05

Nodi - Spostamenti per effetto del sisma													
Nodo	Dir	Stato Limite Ultimo						Stato Limite di Danno					
		S _x [cm]	S _y [cm]	S _z [cm]	Θ _x [rad]	Θ _y [rad]	Θ _z [rad]	S _x [cm]	S _y [cm]	S _z [cm]	Θ _x [rad]	Θ _y [rad]	Θ _z [rad]
00045	Z	0,000 3 0	0,000 8 0	0,000 7 0	0 E+00	0 E+00	0 E+00	0,000 5 0	0,000 8 0	0,000 3 0	0 E+00	0 E+00	0 E+00
00046	X	0,055 3	0,000 1	0,002 4	1,6877 E-05	5,6073 E-05	3,2 E-04	0,012 4	0,000 0	0,000 5	3,4796 E-06	1,2675 E-05	7,2262 E-05
00046	Y	0,025 3	0,027 3	0,063 4	3,4319 E-04	2,0343 E-05	1,4339 E-04	0,005 9	0,006 1	0,015 9	8,65 E-05	4,6455 E-06	3,3997 E-05
00046	Z	0,000 0	0,000 0	0,000 0	0 E+00	0 E+00	0 E+00	0,000 0	0,000 0	0,000 0	0 E+00	0 E+00	0 E+00
00047	X	0,056 5	0,000 0	0,002 3	6,65 E-06	4,2383 E-05	3,2957 E-04	0,012 7	0,000 0	0,000 6	1,4607 E-06	9,6981 E-06	7,4362 E-05
00047	Y	0,007 7	0,034 7	0,069 7	3,73 E-04	5,3717 E-06	4,4038 E-05	0,001 8	0,007 8	0,017 7	9,4858 E-05	1,2807 E-06	1,0465 E-05
00047	Z	0,000 0	0,000 0	0,000 0	0 E+00	0 E+00	0 E+00	0,000 0	0,000 0	0,000 0	0 E+00	0 E+00	0 E+00
00048	X	0,056 1	0,000 1	0,006 4	2,0223 E-05	5,6852 E-05	3,2524 E-04	0,012 6	0,000 0	0,001 5	4,4678 E-06	1,3033 E-05	7,3418 E-05
00048	Y	0,016 0	0,032 9	0,066 3	3,5669 E-04	1,3787 E-05	9,194 E-05	0,003 7	0,007 4	0,016 8	9,0463 E-05	3,1435 E-06	2,1646 E-05
00048	Z	0,000 0	0,000 0	0,000 0	0 E+00	0 E+00	0 E+00	0,000 0	0,000 0	0,000 0	0 E+00	0 E+00	0 E+00
00049	X	0,055 1	0,000 2	0,009 9	3,0828 E-05	9,3522 E-05	3,1532 E-04	0,012 4	0,000 0	0,002 3	7,2349 E-06	2,1238 E-05	7,1263 E-05
00049	Y	0,029 2	0,024 2	0,052 2	2,8336 E-04	2,3563 E-05	1,6563 E-04	0,006 9	0,005 4	0,013 1	7,1296 E-05	5,3743 E-06	3,9283 E-05
00049	Z	0,000 0	0,000 0	0,000 0	0 E+00	0 E+00	0 E+00	0,000 0	0,000 0	0,000 0	0 E+00	0 E+00	0 E+00
00050	X	0,061 0	0,000 1	0,003 8	1,4526 E-05	2,0206 E-04	3,5368 E-04	0,013 8	0,000 0	0,000 9	3,4153 E-06	4,5164 E-05	8,0427 E-05
00050	Y	0,015 8	0,010 6	0,022 8	1,3972 E-04	8,7076 E-06	8,3803 E-05	0,003 9	0,002 3	0,005 3	3,2689 E-05	1,9977 E-06	2,0928 E-05
00050	Z	0,000 0	0,000 0	0,000 0	0 E+00	0 E+00	0 E+00	0,000 0	0,000 0	0,000 0	0 E+00	0 E+00	0 E+00
00051	X	0,056 6	0,000 2	0,012 2	4,0129 E-05	2,1801 E-04	3,1771 E-04	0,012 7	0,000 0	0,002 8	8,9842 E-06	4,8936 E-05	7,192 E-05
00051	Y	0,009 2	0,009 6	0,034 5	1,9345 E-04	1,5759 E-05	5,2382 E-05	0,002 2	0,002 0	0,008 4	4,7196 E-05	3,3727 E-06	1,2085 E-05
00051	Z	0,000 0	0,000 0	0,000 0	0 E+00	0 E+00	0 E+00	0,000 0	0,000 0	0,000 0	0 E+00	0 E+00	0 E+00
00052	X	0,055 8	0,000 4	0,028 3	8,6751 E-05	2,2551 E-04	3,1101 E-04	0,012 5	0,000 1	0,006 6	1,9826 E-05	5,0714 E-05	7,0445 E-05
00052	Y	0,012 1	0,014 5	0,041 0	2,2442 E-04	2,0015 E-05	7,2928 E-05	0,002 7	0,003 0	0,010 1	5,5605 E-05	4,361 E-06	1,6244 E-05
00052	Z	0,000 0	0,000 0	0,000 0	0 E+00	0 E+00	0 E+00	0,000 0	0,000 0	0,000 0	0 E+00	0 E+00	0 E+00

LEGENDA:

Dir Direzione del sisma.
S_x, S_y, S_z, Θ_x, Θ_y, Θ_z Le componenti dello spostamento sono relative al sistema di riferimento globale X, Y, Z.

NODI - SPOSTAMENTI PER ECCENTRICITÀ ACCIDENTALE

Nodi - Spostamenti per eccentricità accidentale									
Nodo	Dir	e	S _x [cm]	S _y [cm]	S _z [cm]	Θ _x [rad]	Θ _y [rad]	Θ _z [rad]	
00001	X	+	0,0000	0,0000	0,0000	0 E+00	0 E+00	0 E+00	
	X	-	0,0000	0,0000	0,0000	0 E+00	0 E+00	0 E+00	
	Y	+	0,0000	0,0000	0,0000	0 E+00	0 E+00	0 E+00	
00002	X	+	0,0000	-0,0005	0,0000	4,2169 E-06	-8,5716 E-13	1,1644 E-05	
	X	-	0,0000	0,0005	0,0000	-4,2169 E-06	8,5716 E-13	-1,1644 E-05	
	Y	+	0,0000	-0,0020	0,0000	1,6895 E-05	-3,1008 E-12	4,8079 E-05	
00003	X	+	0,0000	0,0000	0,0000	0 E+00	0 E+00	0 E+00	
	X	-	0,0000	0,0000	0,0000	0 E+00	0 E+00	0 E+00	
	Y	+	0,0000	0,0000	0,0000	0 E+00	0 E+00	0 E+00	
00004	X	+	0,0000	0,0000	0,0000	1,3903 E-07	-6,6496 E-13	-7,6506 E-07	
	X	-	0,0000	0,0000	0,0000	-1,3903 E-07	6,6496 E-13	7,6506 E-07	
	Y	+	0,0000	0,0000	0,0000	-1,7539 E-09	-1,7962 E-12	-9,7125 E-07	
00005	X	+	0,0000	0,0000	0,0000	0 E+00	0 E+00	0 E+00	
	X	-	0,0000	0,0000	0,0000	0 E+00	0 E+00	0 E+00	
	Y	+	0,0000	0,0000	0,0000	0 E+00	0 E+00	0 E+00	
00006	X	+	0,0000	0,0005	0,0000	-4,1212 E-06	2,3889 E-12	1,2255 E-05	
	X	-	0,0000	-0,0005	0,0000	4,1212 E-06	-2,3889 E-12	-1,2255 E-05	
	Y	+	0,0000	0,0020	0,0000	-1,6502 E-05	7,94 E-12	4,2772 E-05	
00007	X	+	0,0000	0,0038	0,0000	-8,5924 E-06	2,1935 E-12	2,1379 E-05	
	X	-	0,0000	-0,0038	0,0000	8,5924 E-06	-2,1935 E-12	-2,1379 E-05	
	Y	+	0,0000	0,0139	0,0000	-3,3665 E-05	7,1583 E-12	7,8691 E-05	

Nodi - Spostamenti per eccentricità accidentale

Nodo	Dir	e	Sx	Sy	Sz	Θx	Θy	Θz
			[cm]	[cm]	[cm]	[rad]	[rad]	[rad]
	Y	-	0,0000	-0,0139	0,0000	3,3665 E-05	-7,1583 E-12	-7,8691 E-05
00008	X	+	0,0000	-0,0037	0,0000	8,6558 E-06	-6,6175 E-13	2,0701 E-05
	X	-	0,0000	0,0037	0,0000	-8,6558 E-06	6,6175 E-13	-2,0701 E-05
	Y	+	0,0000	-0,0150	0,0000	3,5056 E-05	-2,2704 E-12	8,5307 E-05
	Y	-	0,0000	0,0150	0,0000	-3,5056 E-05	2,2704 E-12	-8,5307 E-05
00009	X	+	-0,0053	-0,0037	0,0019	1,0428 E-05	-2,3041 E-06	2,9563 E-05
	X	-	0,0053	0,0037	-0,0019	-1,0428 E-05	2,3041 E-06	-2,9563 E-05
	Y	+	-0,0219	-0,0151	0,0078	4,2589 E-05	-9,2164 E-06	1,2076 E-04
	Y	-	0,0219	0,0151	-0,0078	-4,2589 E-05	9,2164 E-06	-1,2076 E-04
00010	X	+	0,0053	-0,0037	-0,0019	1,0428 E-05	2,3041 E-06	2,9563 E-05
	X	-	-0,0053	0,0037	0,0019	-1,0428 E-05	-2,3041 E-06	-2,9563 E-05
	Y	+	0,0219	-0,0151	-0,0078	4,2589 E-05	9,2164 E-06	1,2076 E-04
	Y	-	-0,0219	0,0151	0,0078	-4,2589 E-05	-9,2164 E-06	-1,2076 E-04
00011	X	+	0,0000	-0,0018	0,0000	7,0364 E-06	-8,5716 E-13	1,8204 E-05
	X	-	0,0000	0,0018	0,0000	-7,0364 E-06	8,5716 E-13	-1,8204 E-05
	Y	+	0,0000	-0,0073	0,0000	2,8174 E-05	-3,1008 E-12	7,4953 E-05
	Y	-	0,0000	0,0073	0,0000	-2,8174 E-05	3,1008 E-12	-7,4953 E-05
00012	X	+	-0,0035	-0,0003	0,0010	5,5462 E-06	-2,3041 E-06	2,0506 E-05
	X	-	0,0035	0,0003	-0,0010	-5,5462 E-06	2,3041 E-06	-2,0506 E-05
	Y	+	-0,0144	-0,0013	0,0040	2,2656 E-05	-9,2164 E-06	8,3527 E-05
	Y	-	0,0144	0,0013	-0,0040	-2,2656 E-05	9,2164 E-06	-8,3527 E-05
00013	X	+	-0,0048	-0,0018	0,0016	8,8088 E-06	-2,3041 E-06	2,7066 E-05
	X	-	0,0048	0,0018	-0,0016	-8,8088 E-06	2,3041 E-06	-2,7066 E-05
	Y	+	-0,0198	-0,0074	0,0063	3,482 E-05	-9,2164 E-06	1,104 E-04
	Y	-	0,0198	0,0074	-0,0063	-3,482 E-05	9,2164 E-06	-1,104 E-04
00014	X	+	0,0000	0,0002	0,0000	5,5511 E-06	-1,4048 E-15	2,3232 E-06
	X	-	0,0000	-0,0002	0,0000	-5,5511 E-06	1,4048 E-15	-2,3232 E-06
	Y	+	0,0000	0,0010	0,0000	2,1395 E-05	-1,6067 E-13	9,4569 E-06
	Y	-	0,0000	-0,0010	0,0000	-2,1395 E-05	1,6067 E-13	-9,4569 E-06
00015	X	+	-0,0017	0,0002	0,0012	6,8804 E-06	-2,3041 E-06	1,1185 E-05
	X	-	0,0017	-0,0002	-0,0012	-6,8804 E-06	2,3041 E-06	-1,1185 E-05
	Y	+	-0,0067	0,0010	0,0047	2,5826 E-05	-9,2164 E-06	4,4905 E-05
	Y	-	0,0067	-0,0010	-0,0047	-2,5826 E-05	9,2164 E-06	-4,4905 E-05
00016	X	+	0,0000	0,0003	0,0000	5,3227 E-06	4,0187 E-13	-5,7161 E-07
	X	-	0,0000	-0,0003	0,0000	-5,3227 E-06	-4,0187 E-13	5,7161 E-07
	Y	+	0,0000	0,0012	0,0000	2,068 E-05	1,3204 E-12	-3,1304 E-06
	Y	-	0,0000	-0,0012	0,0000	-2,068 E-05	-1,3204 E-12	3,1304 E-06
00017	X	+	-0,0011	0,0003	0,0012	6,2089 E-06	-2,3041 E-06	8,2903 E-06
	X	-	0,0011	-0,0003	-0,0012	-6,2089 E-06	2,3041 E-06	-8,2903 E-06
	Y	+	-0,0042	0,0011	0,0045	2,4224 E-05	-9,2164 E-06	3,2317 E-05
	Y	-	0,0042	-0,0011	-0,0045	-2,4224 E-05	9,2164 E-06	-3,2317 E-05
00018	X	+	0,0000	0,0002	0,0000	4,1633 E-06	4,1397 E-13	-1,1371 E-06
	X	-	0,0000	-0,0002	0,0000	-4,1633 E-06	-4,1397 E-13	1,1371 E-06
	Y	+	0,0000	0,0006	0,0000	1,624 E-05	1,4844 E-12	-5,2176 E-06
	Y	-	0,0000	-0,0006	0,0000	-1,624 E-05	-1,4844 E-12	5,2176 E-06
00019	X	+	-0,0010	0,0002	0,0009	4,6064 E-06	-2,3041 E-06	7,7249 E-06
	X	-	0,0010	-0,0002	-0,0009	-4,6064 E-06	2,3041 E-06	-7,7249 E-06
	Y	+	-0,0038	0,0006	0,0035	1,8456 E-05	-9,2164 E-06	3,023 E-05
	Y	-	0,0038	-0,0006	-0,0035	-1,8456 E-05	9,2164 E-06	-3,023 E-05
00020	X	+	0,0000	0,0001	0,0000	2,5384 E-06	8,377 E-14	-8,1995 E-07
	X	-	0,0000	-0,0001	0,0000	-2,5384 E-06	-8,377 E-14	8,1995 E-07
	Y	+	0,0000	0,0002	0,0000	9,4732 E-06	4,7784 E-13	-3,0745 E-06
	Y	-	0,0000	-0,0002	0,0000	-9,4732 E-06	-4,7784 E-13	3,0745 E-06
00021	X	+	-0,0010	0,0001	0,0006	2,9815 E-06	-2,3041 E-06	8,042 E-06
	X	-	0,0010	-0,0001	-0,0006	-2,9815 E-06	2,3041 E-06	-8,042 E-06
	Y	+	-0,0042	0,0002	0,0020	1,0802 E-05	-9,2164 E-06	3,2373 E-05
	Y	-	0,0042	-0,0002	-0,0020	-1,0802 E-05	9,2164 E-06	-3,2373 E-05
00022	X	+	0,0000	0,0000	0,0000	6,0894 E-07	-5,4345 E-13	-6,2533 E-07
	X	-	0,0000	0,0000	0,0000	-6,0894 E-07	5,4345 E-13	6,2533 E-07
	Y	+	0,0000	0,0000	0,0000	1,938 E-06	-1,4746 E-12	-8,8431 E-07
	Y	-	0,0000	0,0000	0,0000	-1,938 E-06	1,4746 E-12	8,8431 E-07
00023	X	+	-0,0011	0,0000	0,0001	6,0894 E-07	-2,3041 E-06	8,2366 E-06
	X	-	0,0011	0,0000	-0,0001	-6,0894 E-07	2,3041 E-06	-8,2366 E-06
	Y	+	-0,0046	0,0000	0,0004	2,3811 E-06	-9,2164 E-06	3,4563 E-05
	Y	-	0,0046	0,0000	-0,0004	-2,3811 E-06	9,2164 E-06	-3,4563 E-05
00024	X	+	0,0000	-0,0001	0,0000	-1,1518 E-06	-7,7256 E-13	-8,5962 E-07
	X	-	0,0000	0,0001	0,0000	1,1518 E-06	7,7256 E-13	8,5962 E-07
	Y	+	0,0000	0,0000	0,0000	-5,6149 E-06	-2,3752 E-12	-4,3791 E-07
	Y	-	0,0000	0,0000	0,0000	5,6149 E-06	2,3752 E-12	4,3791 E-07
00025	X	+	-0,0010	-0,0001	-0,0002	-1,1518 E-06	-2,3041 E-06	8,0023 E-06
	X	-	0,0010	0,0001	0,0002	1,1518 E-06	2,3041 E-06	-8,0023 E-06
	Y	+	-0,0047	0,0000	-0,0012	-6,058 E-06	-9,2164 E-06	3,501 E-05
	Y	-	0,0047	0,0000	0,0012	6,058 E-06	9,2164 E-06	-3,501 E-05
00026	X	+	0,0000	-0,0002	0,0000	-2,786 E-06	-4,9446 E-13	-1,1971 E-06
	X	-	0,0000	0,0002	0,0000	2,786 E-06	4,9446 E-13	1,1971 E-06
	Y	+	0,0000	-0,0001	0,0000	-1,2329 E-05	-1,3938 E-12	-1,7482 E-06
	Y	-	0,0000	0,0001	0,0000	1,2329 E-05	1,3938 E-12	1,7482 E-06
00027	X	+	-0,0010	-0,0002	-0,0006	-3,2291 E-06	-2,3041 E-06	7,6648 E-06
	X	-	0,0010	0,0002	0,0006	3,2291 E-06	2,3041 E-06	-7,6648 E-06
	Y	+	-0,0045	-0,0001	-0,0026	-1,3659 E-05	-9,2164 E-06	3,37 E-05
	Y	-	0,0045	0,0001	0,0026	1,3659 E-05	9,2164 E-06	-3,37 E-05
00028	X	+	0,0000	-0,0003	0,0000	-4,1915 E-06	8,5008 E-15	-1,2184 E-06
	X	-	0,0000	0,0003	0,0000	4,1915 E-06	-8,5008 E-15	1,2184 E-06
	Y	+	0,0000	-0,0003	0,0000	-1,8596 E-05	2,7966 E-13	-3,3632 E-06
	Y	-	0,0000	0,0003	0,0000	1,8596 E-05	-2,7966 E-13	3,3632 E-06

Nodi - Spostamenti per eccentricità accidentale

Nodo	Dir	e	Sx [cm]	Sy [cm]	Sz [cm]	Θx [rad]	Θy [rad]	Θz [rad]
00029	X	+	-0,0010	-0,0003	-0,0009	-4,6346 E-06	-2,3041 E-06	7,6435 E-06
	X	-	0,0010	0,0003	0,0009	4,6346 E-06	2,3041 E-06	-7,6435 E-06
	Y	+	-0,0041	-0,0003	-0,0040	-2,1254 E-05	-9,2164 E-06	3,2084 E-05
00030	Y	-	0,0041	0,0003	0,0040	2,1254 E-05	9,2164 E-06	-3,2084 E-05
	X	+	0,0000	-0,0004	0,0000	-5,0583 E-06	5,9739 E-13	-1,9528 E-07
	X	-	0,0000	0,0004	0,0000	5,0583 E-06	-5,9739 E-13	1,9528 E-07
00031	Y	+	0,0000	-0,0006	0,0000	-2,1845 E-05	2,2901 E-12	-1,7214 E-06
	Y	-	0,0000	0,0006	0,0000	2,1845 E-05	-2,2901 E-12	1,7214 E-06
	X	+	-0,0012	-0,0004	-0,0011	-5,9445 E-06	-2,3041 E-06	8,6667 E-06
00032	X	-	0,0012	0,0004	0,0011	5,9445 E-06	2,3041 E-06	-8,6667 E-06
	Y	+	-0,0045	-0,0006	-0,0047	-2,539 E-05	-9,2164 E-06	3,3726 E-05
	Y	-	0,0045	0,0006	0,0047	2,539 E-05	9,2164 E-06	-3,3726 E-05
00033	X	+	0,0000	-0,0003	0,0000	-5,1214 E-06	1,3156 E-12	2,4713 E-06
	X	-	0,0000	0,0003	0,0000	5,1214 E-06	-1,3156 E-12	-2,4713 E-06
	Y	+	0,0000	-0,0006	0,0000	-2,1896 E-05	4,7369 E-12	6,4465 E-06
00034	Y	-	0,0000	0,0006	0,0000	2,1896 E-05	-4,7369 E-12	-6,4465 E-06
	X	+	-0,0017	-0,0003	-0,0011	-6,0076 E-06	-2,3041 E-06	1,1333 E-05
	X	-	0,0017	0,0003	0,0011	6,0076 E-06	2,3041 E-06	-1,1333 E-05
00035	Y	+	-0,0061	-0,0005	-0,0048	-2,6327 E-05	-9,2164 E-06	4,1894 E-05
	Y	-	0,0061	0,0005	0,0048	2,6327 E-05	9,2164 E-06	-4,1894 E-05
	X	+	-0,0055	0,0038	-0,0019	-1,0365 E-05	-2,3041 E-06	3,0241 E-05
00036	X	-	0,0055	-0,0038	0,0019	1,0365 E-05	2,3041 E-06	-3,0241 E-05
	Y	+	-0,0205	0,0140	-0,0074	-4,0755 E-05	-9,2164 E-06	1,1414 E-04
	Y	-	0,0205	-0,0140	0,0074	4,0755 E-05	9,2164 E-06	-1,1414 E-04
00037	X	+	-0,0037	0,0003	-0,0010	-5,4505 E-06	-2,3041 E-06	2,1117 E-05
	X	-	0,0037	-0,0003	0,0010	5,4505 E-06	2,3041 E-06	-2,1117 E-05
	Y	+	-0,0134	0,0011	-0,0038	-2,182 E-05	-9,2164 E-06	7,822 E-05
00038	Y	-	0,0134	-0,0011	0,0038	2,182 E-05	9,2164 E-06	-7,822 E-05
	X	+	0,0000	0,0019	0,0000	-7,01 E-06	2,3889 E-12	1,8972 E-05
	X	-	0,0000	-0,0019	0,0000	7,01 E-06	-2,3889 E-12	-1,8972 E-05
00039	Y	+	0,0000	0,0069	0,0000	-2,7335 E-05	7,94 E-12	6,906 E-05
	Y	-	0,0000	-0,0069	0,0000	2,7335 E-05	-7,94 E-12	-6,906 E-05
	X	+	-0,0050	0,0019	-0,0016	-8,7824 E-06	-2,3041 E-06	2,7834 E-05
00040	X	-	0,0050	-0,0019	0,0016	8,7824 E-06	2,3041 E-06	-2,7834 E-05
	Y	+	-0,0186	0,0070	-0,0061	-3,3539 E-05	-9,2164 E-06	1,0451 E-04
	Y	-	0,0186	-0,0070	0,0061	3,3539 E-05	9,2164 E-06	-1,0451 E-04
00041	X	+	0,0048	-0,0018	-0,0016	8,8088 E-06	2,3041 E-06	2,7066 E-05
	X	-	-0,0048	0,0018	0,0016	-8,8088 E-06	-2,3041 E-06	-2,7066 E-05
	Y	+	0,0198	-0,0074	-0,0063	3,482 E-05	9,2164 E-06	1,104 E-04
00042	Y	-	-0,0198	0,0074	0,0063	-3,482 E-05	-9,2164 E-06	-1,104 E-04
	X	+	0,0035	-0,0003	-0,0010	5,5462 E-06	2,3041 E-06	2,0506 E-05
	X	-	-0,0035	0,0003	0,0010	-5,5462 E-06	-2,3041 E-06	-2,0506 E-05
00043	Y	+	0,0144	-0,0013	-0,0040	2,2656 E-05	9,2164 E-06	8,3527 E-05
	Y	-	-0,0144	0,0013	0,0040	-2,2656 E-05	-9,2164 E-06	-8,3527 E-05
	X	+	0,0017	0,0002	-0,0012	6,8804 E-06	2,3041 E-06	1,1185 E-05
00044	X	-	-0,0017	-0,0002	0,0012	-6,8804 E-06	-2,3041 E-06	-1,1185 E-05
	Y	+	0,0067	0,0010	-0,0047	2,5826 E-05	9,2164 E-06	4,4905 E-05
	Y	-	-0,0067	-0,0010	0,0047	-2,5826 E-05	-9,2164 E-06	-4,4905 E-05
00045	X	+	0,0011	0,0003	-0,0012	6,2089 E-06	2,3041 E-06	8,2903 E-06
	X	-	-0,0011	-0,0003	0,0012	-6,2089 E-06	-2,3041 E-06	-8,2903 E-06
	Y	+	0,0042	0,0011	-0,0045	2,4224 E-05	9,2164 E-06	3,2317 E-05
00046	Y	-	-0,0042	-0,0011	0,0045	-2,4224 E-05	-9,2164 E-06	-3,2317 E-05
	X	+	0,0010	0,0002	-0,0009	4,6064 E-06	2,3041 E-06	7,7249 E-06
	X	-	-0,0010	-0,0002	0,0009	-4,6064 E-06	-2,3041 E-06	-7,7249 E-06
00047	Y	+	0,0038	0,0006	-0,0035	1,8456 E-05	9,2164 E-06	3,023 E-05
	Y	-	-0,0038	-0,0006	0,0035	-1,8456 E-05	-9,2164 E-06	-3,023 E-05
	X	+	0,0010	0,0001	-0,0006	2,9815 E-06	2,3041 E-06	8,042 E-06
00048	X	-	-0,0010	-0,0001	0,0006	-2,9815 E-06	-2,3041 E-06	-8,042 E-06
	Y	+	0,0042	0,0002	-0,0020	1,0802 E-05	9,2164 E-06	3,2373 E-05
	Y	-	-0,0042	-0,0002	0,0020	-1,0802 E-05	-9,2164 E-06	-3,2373 E-05
00049	X	+	0,0011	0,0000	-0,0001	6,0894 E-07	2,3041 E-06	8,2366 E-06
	X	-	-0,0011	0,0000	0,0001	-6,0894 E-07	-2,3041 E-06	-8,2366 E-06
	Y	+	0,0046	0,0000	-0,0004	2,3811 E-06	9,2164 E-06	3,4563 E-05
00050	Y	-	-0,0046	0,0000	0,0004	-2,3811 E-06	-9,2164 E-06	-3,4563 E-05
	X	+	0,0010	-0,0001	0,0002	-1,1518 E-06	2,3041 E-06	8,0023 E-06
	X	-	-0,0010	0,0001	-0,0002	1,1518 E-06	-2,3041 E-06	-8,0023 E-06
00051	Y	+	0,0047	0,0000	0,0012	-6,058 E-06	9,2164 E-06	3,501 E-05
	Y	-	-0,0047	0,0000	-0,0012	6,058 E-06	-9,2164 E-06	-3,501 E-05
	X	+	0,0010	-0,0002	0,0006	-3,2291 E-06	2,3041 E-06	7,6648 E-06
00052	X	-	-0,0010	0,0002	-0,0006	3,2291 E-06	-2,3041 E-06	-7,6648 E-06
	Y	+	0,0045	-0,0001	0,0026	-1,3659 E-05	9,2164 E-06	3,37 E-05
	Y	-	-0,0045	0,0001	-0,0026	1,3659 E-05	-9,2164 E-06	-3,37 E-05
00053	X	+	0,0010	-0,0003	0,0009	-4,6346 E-06	2,3041 E-06	7,6435 E-06
	X	-	-0,0010	0,0003	-0,0009	4,6346 E-06	-2,3041 E-06	-7,6435 E-06
	Y	+	0,0041	-0,0003	0,0040	-2,1254 E-05	9,2164 E-06	3,2085 E-05
00054	Y	-	-0,0041	0,0003	-0,0040	2,1254 E-05	-9,2164 E-06	-3,2085 E-05
	X	+	0,0012	-0,0004	0,0011	-5,9445 E-06	2,3041 E-06	8,6667 E-06
	X	-	-0,0012	0,0004	-0,0011	5,9445 E-06	-2,3041 E-06	-8,6667 E-06
00055	Y	+	0,0045	-0,0006	0,0047	-2,539 E-05	9,2164 E-06	3,3726 E-05
	Y	-	-0,0045	0,0006	-0,0047	2,539 E-05	-9,2164 E-06	-3,3726 E-05
	X	+	0,0017	-0,0003	0,0011	-6,0076 E-06	2,3041 E-06	1,1333 E-05
00056	X	-	-0,0017	0,0003	-0,0011	6,0076 E-06	-2,3041 E-06	-1,1333 E-05
	Y	+	0,0061	-0,0005	0,0048	-2,6327 E-05	9,2164 E-06	4,1894 E-05
	Y	-	-0,0061	0,0005	-0,0048	2,6327 E-05	-9,2164 E-06	-4,1894 E-05
00057	X	+	0,0037	0,0003	0,0010	-5,4505 E-06	2,3041 E-06	2,1117 E-05

Nodi - Spostamenti per eccentricità accidentale

Nodo	Dir	e	S _x [cm]	S _y [cm]	S _z [cm]	Θ _x [rad]	Θ _y [rad]	Θ _z [rad]
00050	X	-	-0,0037	-0,0003	-0,0010	5,4505 E-06	-2,3041 E-06	-2,1117 E-05
	Y	+	0,0134	0,0011	0,0038	-2,182 E-05	9,2164 E-06	7,822 E-05
	Y	-	-0,0134	-0,0011	-0,0038	2,182 E-05	-9,2164 E-06	-7,822 E-05
00051	X	+	0,0050	0,0019	0,0016	-8,7824 E-06	2,3041 E-06	2,7834 E-05
	X	-	-0,0050	-0,0019	-0,0016	8,7824 E-06	-2,3041 E-06	-2,7834 E-05
	Y	+	0,0186	0,0070	0,0061	-3,3539 E-05	9,2164 E-06	1,0451 E-04
00052	Y	-	-0,0186	-0,0070	-0,0061	3,3539 E-05	-9,2164 E-06	-1,0451 E-04
	X	+	0,0055	0,0038	0,0019	-1,0365 E-05	2,3041 E-06	3,0241 E-05
	X	-	-0,0055	-0,0038	-0,0019	1,0365 E-05	-2,3041 E-06	-3,0241 E-05
	Y	+	0,0205	0,0140	0,0074	-4,0755 E-05	9,2164 E-06	1,1414 E-04
	Y	-	-0,0205	-0,0140	-0,0074	4,0755 E-05	-9,2164 E-06	-1,1414 E-04

LEGENDA:

Dir Direzione del sisma.
 S_x, S_y, S_z, Θ_x, Θ_y, Θ_z Le componenti dello spostamento sono relative al sistema di riferimento globale X, Y, Z.

TRAVI - SOLLECITAZIONI PER CONDIZIONI DI CARICO NON SISMICHE

Travi - Sollecitazioni per condizioni di carico non sismiche

Id _{Tr}	CC	Estr. Inz.						Estr. Fin.					
		M ₁ [N-m]	M ₂ [N-m]	M ₃ [N-m]	N [N]	T ₂ [N]	T ₃ [N]	M ₁ [N-m]	M ₂ [N-m]	M ₃ [N-m]	N [N]	T ₂ [N]	T ₃ [N]
Piano Terra													
Travata: Piano Terra													
Trave Acciaio 18a-1	001	0	0	821	0	-1.751	0	0	0	2.448	0	-2.239	0
	002	0	0	221	0	-472	0	0	0	606	0	-472	0
	003	-482	0	673	0	-1.918	0	-482	0	2.238	0	-1.918	0
	004	0	0	-124	0	264	0	0	0	-339	0	264	0
	005	0	0	-124	0	264	0	0	0	-339	0	264	0
	006	0	0	-124	0	264	0	0	0	-339	0	264	0
	007	0	0	-124	0	264	0	0	0	-339	0	264	0
Trave Acciaio 23a-2	001	0	0	2.404	530	-3.385	0	0	0	3.241	530	-3.529	0
	002	0	0	442	-8	-708	0	0	0	614	-8	-708	0
	003	-6	-5	2.364	437	-3.663	-1	-6	-5	3.251	437	-3.663	-1
	004	0	0	-247	5	396	0	0	0	-343	5	396	0
	005	0	0	-247	5	396	0	0	0	-343	5	396	0
	006	0	0	-247	5	396	0	0	0	-343	5	396	0
	007	0	0	-247	5	396	0	0	0	-343	5	396	0
Trave Acciaio 29a-30a	001	0	0	796	0	1.143	0	0	0	0	0	596	0
	002	0	0	216	0	236	0	0	0	0	0	236	0
	003	0	0	1.099	0	1.200	0	0	0	0	0	1.200	0
	004	0	0	-121	0	-132	0	0	0	0	0	-132	0
	005	0	0	-121	0	-132	0	0	0	0	0	-132	0
	006	0	0	-121	0	-132	0	0	0	0	0	-132	0
	007	0	0	-121	0	-132	0	0	0	0	0	-132	0
Trave Acciaio 17a-31a	001	0	0	298	0	298	0	0	0	0	0	0	0
	002	0	0	118	0	118	0	0	0	0	0	0	0
	003	0	0	600	0	600	0	0	0	0	0	0	0
	004	0	0	-66	0	-66	0	0	0	0	0	0	0
	005	0	0	-66	0	-66	0	0	0	0	0	0	0
	006	0	0	-66	0	-66	0	0	0	0	0	0	0
	007	0	0	-66	0	-66	0	0	0	0	0	0	0
Trave Acciaio 1a-17a	001	0	0	0	0	0	0	0	0	298	0	-298	0
	002	0	0	0	0	0	0	0	0	118	0	-118	0
	003	0	0	0	0	0	0	0	0	118	0	-118	0
	004	0	0	0	0	0	0	0	0	-66	0	66	0
	005	0	0	0	0	0	0	0	0	-66	0	66	0
	006	0	0	0	0	0	0	0	0	-66	0	66	0
	007	0	0	0	0	0	0	0	0	-66	0	66	0
Trave Acciaio 17a-18a	001	0	0	0	0	-596	0	0	0	821	0	-1.155	0
	002	0	0	0	0	-236	0	0	0	221	0	-236	0
	003	-482	0	0	0	-718	0	-482	0	673	0	-718	0
	004	0	0	0	0	132	0	0	0	-124	0	132	0
	005	0	0	0	0	132	0	0	0	-124	0	132	0
	006	0	0	0	0	132	0	0	0	-124	0	132	0
	007	0	0	0	0	132	0	0	0	-124	0	132	0
Trave Acciaio 1-33a	001	0	0	298	0	298	0	0	0	0	0	0	0
	002	0	0	118	0	118	0	0	0	0	0	0	0
	003	0	0	600	0	600	0	0	0	0	0	0	0
	004	0	0	-66	0	-66	0	0	0	0	0	0	0
	005	0	0	-66	0	-66	0	0	0	0	0	0	0
	006	0	0	-66	0	-66	0	0	0	0	0	0	0
	007	0	0	-66	0	-66	0	0	0	0	0	0	0
Trave Acciaio 18a-32a	001	0	0	298	0	298	0	0	0	0	0	0	0
	002	0	0	118	0	118	0	0	0	0	0	0	0
	003	0	0	600	0	600	0	0	0	0	0	0	0
	004	0	0	-66	0	-66	0	0	0	0	0	0	0
	005	0	0	-66	0	-66	0	0	0	0	0	0	0
	006	0	0	-66	0	-66	0	0	0	0	0	0	0
	007	0	0	-66	0	-66	0	0	0	0	0	0	0
Trave Acciaio 19a-34a	001	0	0	298	0	298	0	0	0	0	0	0	0
	002	0	0	118	0	118	0	0	0	0	0	0	0
	003	0	0	600	0	600	0	0	0	0	0	0	0
	004	0	0	-66	0	-66	0	0	0	0	0	0	0

Id _{Tr}	CC	Estr. Inz.						Estr. Fin.					
		M ₁ [N-m]	M ₂ [N-m]	M ₃ [N-m]	N [N]	T ₂ [N]	T ₃ [N]	M ₁ [N-m]	M ₂ [N-m]	M ₃ [N-m]	N [N]	T ₂ [N]	T ₃ [N]
	005	0	0	-66	0	-66	0	0	0	0	0	0	0
	006	0	0	-66	0	-66	0	0	0	0	0	0	0
	007	0	0	-66	0	-66	0	0	0	0	0	0	0
Trave Acciaio 1-19a	001	0	0	2.863	530	2.854	0	0	0	-197	530	2.119	0
	002	0	0	554	-8	472	0	0	0	-27	-8	472	0
	003	-6	0	2.584	437	2.337	-1	-6	-1	-292	437	2.337	-1
	004	0	0	-310	5	-264	0	0	0	15	5	-264	0
	005	0	0	-310	5	-264	0	0	0	15	5	-264	0
	006	0	0	-310	5	-264	0	0	0	15	5	-264	0
	007	0	0	-310	5	-264	0	0	0	15	5	-264	0
Trave Acciaio 20a-35a	001	0	0	298	0	298	0	0	0	0	0	0	0
	002	0	0	118	0	118	0	0	0	0	0	0	0
	003	0	0	600	0	600	0	0	0	0	0	0	0
	004	0	0	-66	0	-66	0	0	0	0	0	0	0
	005	0	0	-66	0	-66	0	0	0	0	0	0	0
	006	0	0	-66	0	-66	0	0	0	0	0	0	0
	007	0	0	-66	0	-66	0	0	0	0	0	0	0
Trave Acciaio 19a-20a	001	0	0	-197	530	1.523	0	0	0	-1.491	530	880	0
	002	0	0	-27	-8	236	0	0	0	-281	-8	236	0
	003	-6	-1	-292	437	1.137	-1	-6	-2	-1.516	437	1.137	-1
	004	0	0	15	5	-132	0	0	0	157	5	-132	0
	005	0	0	15	5	-132	0	0	0	157	5	-132	0
	006	0	0	15	5	-132	0	0	0	157	5	-132	0
	007	0	0	15	5	-132	0	0	0	157	5	-132	0
Trave Acciaio 21a-36a	001	0	0	298	0	298	0	0	0	0	0	0	0
	002	0	0	118	0	118	0	0	0	0	0	0	0
	003	0	0	600	0	600	0	0	0	0	0	0	0
	004	0	0	-66	0	-66	0	0	0	0	0	0	0
	005	0	0	-66	0	-66	0	0	0	0	0	0	0
	006	0	0	-66	0	-66	0	0	0	0	0	0	0
	007	0	0	-66	0	-66	0	0	0	0	0	0	0
Trave Acciaio 20a-21a	001	0	0	-1.491	530	284	0	0	0	-1.451	530	-360	0
	002	0	0	-281	-8	0	0	0	0	-281	-8	0	0
	003	-6	-2	-1.516	437	-63	-1	-6	-3	-1.448	437	-63	-1
	004	0	0	157	5	0	0	0	0	157	5	0	0
	005	0	0	157	5	0	0	0	0	157	5	0	0
	006	0	0	157	5	0	0	0	0	157	5	0	0
	007	0	0	157	5	0	0	0	0	157	5	0	0
Trave Acciaio 22a-37a	001	0	0	298	0	298	0	0	0	0	0	0	0
	002	0	0	118	0	118	0	0	0	0	0	0	0
	003	0	0	600	0	600	0	0	0	0	0	0	0
	004	0	0	-66	0	-66	0	0	0	0	0	0	0
	005	0	0	-66	0	-66	0	0	0	0	0	0	0
	006	0	0	-66	0	-66	0	0	0	0	0	0	0
	007	0	0	-66	0	-66	0	0	0	0	0	0	0
Trave Acciaio 21a-22a	001	0	0	-1.451	530	-956	0	0	0	-74	530	-1.599	0
	002	0	0	-281	-8	-236	0	0	0	-27	-8	-236	0
	003	-6	-3	-1.448	437	-1.263	-1	-6	-4	-87	437	-1.263	-1
	004	0	0	157	5	132	0	0	0	15	5	132	0
	005	0	0	157	5	132	0	0	0	15	5	132	0
	006	0	0	157	5	132	0	0	0	15	5	132	0
	007	0	0	157	5	132	0	0	0	15	5	132	0
Trave Acciaio 23a-38a	001	0	0	298	0	298	0	0	0	0	0	0	0
	002	0	0	118	0	118	0	0	0	0	0	0	0
	003	0	0	600	0	600	0	0	0	0	0	0	0
	004	0	0	-66	0	-66	0	0	0	0	0	0	0
	005	0	0	-66	0	-66	0	0	0	0	0	0	0
	006	0	0	-66	0	-66	0	0	0	0	0	0	0
	007	0	0	-66	0	-66	0	0	0	0	0	0	0
Trave Acciaio 22a-23a	001	0	0	-74	530	-2.195	0	0	0	2.404	530	-2.789	0
	002	0	0	-27	-8	-472	0	0	0	442	-8	-472	0
	003	-6	-4	-87	437	-2.463	-1	-6	-5	2.364	437	-2.463	-1
	004	0	0	15	5	264	0	0	0	-247	5	264	0
	005	0	0	15	5	264	0	0	0	-247	5	264	0
	006	0	0	15	5	264	0	0	0	-247	5	264	0
	007	0	0	15	5	264	0	0	0	-247	5	264	0
Trave Acciaio 24a-39a	001	0	0	298	0	298	0	0	0	0	0	0	0
	002	0	0	118	0	118	0	0	0	0	0	0	0
	003	0	0	600	0	600	0	0	0	0	0	0	0
	004	0	0	-66	0	-66	0	0	0	0	0	0	0
	005	0	0	-66	0	-66	0	0	0	0	0	0	0
	006	0	0	-66	0	-66	0	0	0	0	0	0	0
	007	0	0	-66	0	-66	0	0	0	0	0	0	0
Trave Acciaio 2-24a	001	0	0	3.370	668	3.378	0	0	0	1.103	668	2.951	0
	002	0	0	668	51	650	0	0	0	202	51	650	0
	003	0	-5	3.353	432	3.288	1	0	-5	999	432	3.288	1
	004	0	0	-373	-28	-363	0	0	0	-113	-28	-363	0
	005	0	0	-373	-28	-363	0	0	0	-113	-28	-363	0
	006	0	0	-373	-28	-363	0	0	0	-113	-28	-363	0
	007	0	0	-373	-28	-363	0	0	0	-113	-28	-363	0
Trave Acciaio 25a-40a	001	0	0	298	0	298	0	0	0	0	0	0	0
	002	0	0	118	0	118	0	0	0	0	0	0	0
	003	0	0	600	0	600	0	0	0	0	0	0	0
	004	0	0	-66	0	-66	0	0	0	0	0	0	0

Travi - Sollecitazioni per condizioni di carico non sismiche

Id _{Tr}	CC	Estr. Inz.						Estr. Fin.					
		M ₁ [N-m]	M ₂ [N-m]	M ₃ [N-m]	N [N]	T ₂ [N]	T ₃ [N]	M ₁ [N-m]	M ₂ [N-m]	M ₃ [N-m]	N [N]	T ₂ [N]	T ₃ [N]
	005	0	0	-66	0	-66	0	0	0	0	0	0	0
	006	0	0	-66	0	-66	0	0	0	0	0	0	0
	007	0	0	-66	0	-66	0	0	0	0	0	0	0
Trave Acciaio 24a-25a	001	0	0	1.103	668	2.355	0	0	0	-787	668	1.813	0
	002	0	0	202	51	414	0	0	0	-173	51	414	0
	003	0	-5	999	432	2.088	1	0	-4	-894	432	2.088	1
	004	0	0	-113	-28	-231	0	0	0	97	-28	-231	0
	005	0	0	-113	-28	-231	0	0	0	97	-28	-231	0
	006	0	0	-113	-28	-231	0	0	0	97	-28	-231	0
	007	0	0	-113	-28	-231	0	0	0	97	-28	-231	0
Trave Acciaio 26a-41a	001	0	0	298	0	298	0	0	0	0	0	0	0
	002	0	0	118	0	118	0	0	0	0	0	0	0
	003	0	0	600	0	600	0	0	0	0	0	0	0
	004	0	0	-66	0	-66	0	0	0	0	0	0	0
	005	0	0	-66	0	-66	0	0	0	0	0	0	0
	006	0	0	-66	0	-66	0	0	0	0	0	0	0
	007	0	0	-66	0	-66	0	0	0	0	0	0	0
Trave Acciaio 25a-26a	001	0	0	-787	668	1.217	0	0	0	-1.721	668	605	0
	002	0	0	-173	51	178	0	0	0	-356	51	178	0
	003	0	-4	-894	432	888	1	0	-3	-1.805	432	888	1
	004	0	0	97	-28	-99	0	0	0	199	-28	-99	0
	005	0	0	97	-28	-99	0	0	0	199	-28	-99	0
	006	0	0	97	-28	-99	0	0	0	199	-28	-99	0
	007	0	0	97	-28	-99	0	0	0	199	-28	-99	0
Trave Acciaio 27a-42a	001	0	0	298	0	298	0	0	0	0	0	0	0
	002	0	0	118	0	118	0	0	0	0	0	0	0
	003	0	0	600	0	600	0	0	0	0	0	0	0
	004	0	0	-66	0	-66	0	0	0	0	0	0	0
	005	0	0	-66	0	-66	0	0	0	0	0	0	0
	006	0	0	-66	0	-66	0	0	0	0	0	0	0
	007	0	0	-66	0	-66	0	0	0	0	0	0	0
Trave Acciaio 26a-27a	001	0	0	-1.721	668	9	0	0	0	-1.475	668	-543	0
	002	0	0	-356	51	-58	0	0	0	-302	51	-58	0
	003	0	-3	-1.805	432	-312	1	0	-2	-1.516	432	-312	1
	004	0	0	199	-28	33	0	0	0	169	-28	33	0
	005	0	0	199	-28	33	0	0	0	169	-28	33	0
	006	0	0	199	-28	33	0	0	0	169	-28	33	0
	007	0	0	199	-28	33	0	0	0	169	-28	33	0
Trave Acciaio 28a-43a	001	0	0	298	0	298	0	0	0	0	0	0	0
	002	0	0	118	0	118	0	0	0	0	0	0	0
	003	0	0	600	0	600	0	0	0	0	0	0	0
	004	0	0	-66	0	-66	0	0	0	0	0	0	0
	005	0	0	-66	0	-66	0	0	0	0	0	0	0
	006	0	0	-66	0	-66	0	0	0	0	0	0	0
	007	0	0	-66	0	-66	0	0	0	0	0	0	0
Trave Acciaio 27a-28a	001	0	0	-1.475	668	-1.139	0	0	0	-289	668	-1.647	0
	002	0	0	-302	51	-294	0	0	0	-51	51	-294	0
	003	0	-2	-1.516	432	-1.512	1	0	-1	-228	432	-1.512	1
	004	0	0	169	-28	165	0	0	0	29	-28	165	0
	005	0	0	169	-28	165	0	0	0	29	-28	165	0
	006	0	0	169	-28	165	0	0	0	29	-28	165	0
	007	0	0	169	-28	165	0	0	0	29	-28	165	0
Trave Acciaio 30a-46a	001	0	0	298	0	298	0	0	0	0	0	0	0
	002	0	0	118	0	118	0	0	0	0	0	0	0
	003	0	0	600	0	600	0	0	0	0	0	0	0
	004	0	0	-66	0	-66	0	0	0	0	0	0	0
	005	0	0	-66	0	-66	0	0	0	0	0	0	0
	006	0	0	-66	0	-66	0	0	0	0	0	0	0
	007	0	0	-66	0	-66	0	0	0	0	0	0	0
Trave Acciaio 3-44a	001	0	0	298	0	298	0	0	0	0	0	0	0
	002	0	0	118	0	118	0	0	0	0	0	0	0
	003	0	0	600	0	600	0	0	0	0	0	0	0
	004	0	0	-66	0	-66	0	0	0	0	0	0	0
	005	0	0	-66	0	-66	0	0	0	0	0	0	0
	006	0	0	-66	0	-66	0	0	0	0	0	0	0
	007	0	0	-66	0	-66	0	0	0	0	0	0	0
Trave Acciaio 29a-45a	001	0	0	298	0	298	0	0	0	0	0	0	0
	002	0	0	118	0	118	0	0	0	0	0	0	0
	003	0	0	600	0	600	0	0	0	0	0	0	0
	004	0	0	-66	0	-66	0	0	0	0	0	0	0
	005	0	0	-66	0	-66	0	0	0	0	0	0	0
	006	0	0	-66	0	-66	0	0	0	0	0	0	0
	007	0	0	-66	0	-66	0	0	0	0	0	0	0
Trave Acciaio 3-29a	001	0	0	2.458	0	2.238	0	0	0	796	0	1.739	0
	002	0	0	611	0	472	0	0	0	216	0	472	0
	003	0	0	3.105	0	2.400	0	0	0	1.099	0	2.400	0
	004	0	0	-342	0	-264	0	0	0	-121	0	-264	0
	005	0	0	-342	0	-264	0	0	0	-121	0	-264	0
	006	0	0	-342	0	-264	0	0	0	-121	0	-264	0
	007	0	0	-342	0	-264	0	0	0	-121	0	-264	0
Trave Acciaio 2a-18a	001	0	0	0	0	0	0	0	0	298	0	-298	0
	002	0	0	0	0	0	0	0	0	118	0	-118	0
	003	0	0	0	0	0	0	0	0	600	0	-600	0
	004	0	0	0	0	0	0	0	0	-66	0	66	0

Travi - Sollecitazioni per condizioni di carico non sismiche

Id _{Tr}	CC	Estr. Inz.						Estr. Fin.					
		M ₁ [N-m]	M ₂ [N-m]	M ₃ [N-m]	N [N]	T ₂ [N]	T ₃ [N]	M ₁ [N-m]	M ₂ [N-m]	M ₃ [N-m]	N [N]	T ₂ [N]	T ₃ [N]
	005	0	0	0	0	0	0	0	0	-66	0	66	0
	006	0	0	0	0	0	0	0	0	-66	0	66	0
	007	0	0	0	0	0	0	0	0	-66	0	66	0
Trave Acciaio 28a-3	001	0	0	-289	668	-2.243	0	0	0	3.030	668	-2.999	0
	002	0	0	-51	51	-530	0	0	0	620	51	-530	0
	003	0	-1	-228	432	-2.712	1	0	0	3.206	432	-2.712	1
	004	0	0	29	-28	297	0	0	0	-347	-28	297	0
	005	0	0	29	-28	297	0	0	0	-347	-28	297	0
	006	0	0	29	-28	297	0	0	0	-347	-28	297	0
	007	0	0	29	-28	297	0	0	0	-347	-28	297	0
Trave Acciaio 15a-29a	001	0	0	0	0	0	0	0	0	298	0	-298	0
	002	0	0	0	0	0	0	0	0	118	0	-118	0
	003	0	0	0	0	0	0	0	0	600	0	-600	0
	004	0	0	0	0	0	0	0	0	-66	0	66	0
	005	0	0	0	0	0	0	0	0	-66	0	66	0
	006	0	0	0	0	0	0	0	0	-66	0	66	0
	007	0	0	0	0	0	0	0	0	-66	0	66	0
Trave Acciaio 16a-30a	001	0	0	0	0	0	0	0	0	298	0	-298	0
	002	0	0	0	0	0	0	0	0	118	0	-118	0
	003	0	0	0	0	0	0	0	0	600	0	-600	0
	004	0	0	0	0	0	0	0	0	-66	0	66	0
	005	0	0	0	0	0	0	0	0	-66	0	66	0
	006	0	0	0	0	0	0	0	0	-66	0	66	0
	007	0	0	0	0	0	0	0	0	-66	0	66	0

LEGENDA:

Id_{Tr} Identificativo della trave. L'eventuale lettera tra parentesi distingue i diversi tratti della travata al livello considerato.

CC Identificativo della tipologia di carico nella relativa tabella.

Estr. Sollecitazione caratteristiche relative al sistema di riferimento locale 1, 2, 3 (N > 0: compressione).

Inz./Fin.

TRAVI - SOLLECITAZIONI PER EFFETTO DEL SISMA

Travi - Sollecitazioni per effetto del sisma

Id _{Tr}	Di r	Estr. Inz.						Estr. Fin.					
		M ₁ [N-m]	M ₂ [N-m]	M ₃ [N-m]	N [N]	T ₂ [N]	T ₃ [N]	M ₁ [N-m]	M ₂ [N-m]	M ₃ [N-m]	N [N]	T ₂ [N]	T ₃ [N]
Piano Terra													
Travata: Piano Terra													
Trave Acciaio 18a-1	X	0	0	89	328	124	0	0	0	188	328	124	0
	Y	77	172	0	0	0	0	358	77	455	0	0	358
	Z	0	0	0	0	0	0	0	0	0	0	0	0
Trave Acciaio 23a-2	X	0	0	281	606	114	0	0	0	307	606	114	0
	Y	114	473	0	0	0	0	586	114	609	0	0	586
	Z	0	0	0	0	0	0	0	0	0	0	0	0
Trave Acciaio 29a-30a	X	0	0	78	142	77	0	0	0	15	142	77	0
	Y	32	167	0	0	0	0	179	32	34	0	0	179
	Z	0	0	0	0	0	0	0	0	0	0	0	0
Trave Acciaio 17a-31a	X	0	69	19	0	10	36	0	0	0	0	10	36
	Y	0	17	18	34	10	7	0	0	3	34	10	7
	Z	0	0	0	0	0	0	0	0	0	0	0	0
Trave Acciaio 1a-17a	X	0	0	0	0	10	36	0	69	19	0	10	36
	Y	0	0	3	34	10	7	0	17	18	34	10	7
	Z	0	0	0	0	0	0	0	0	0	0	0	0
Trave Acciaio 17a-18a	X	0	0	12	148	79	0	0	0	78	148	79	0
	Y	40	35	0	0	0	178	40	174	0	0	0	178
	Z	0	0	0	0	0	0	0	0	0	0	0	0
Trave Acciaio 1-33a	X	0	79	2	0	3	41	0	0	0	0	3	41
	Y	0	4	21	26	9	4	0	0	1	26	9	4
	Z	0	0	0	0	0	0	0	0	0	0	0	0
Trave Acciaio 18a-32a	X	2	71	11	0	5	35	2	0	0	0	5	35
	Y	0	14	18	26	10	6	0	0	1	26	10	6
	Z	0	0	0	0	0	0	0	0	0	0	0	0
Trave Acciaio 19a-34a	X	2	70	6	0	3	37	2	0	0	0	3	37
	Y	1	18	17	28	11	11	1	0	0	28	11	11
	Z	0	0	0	0	0	0	0	0	0	0	0	0
Trave Acciaio 1-19a	X	0	0	365	350	121	0	0	0	225	350	121	0
	Y	89	444	0	0	0	423	89	70	0	0	0	423
	Z	0	0	0	0	0	0	0	0	0	0	0	0
Trave Acciaio 20a-35a	X	2	77	7	1	3	35	2	0	0	1	3	35
	Y	0	8	19	37	9	4	0	0	2	37	9	4
	Z	0	0	0	0	0	0	0	0	0	0	0	0
Trave Acciaio 19a-20a	X	0	0	242	164	144	0	0	0	92	164	144	0
	Y	43	93	0	0	0	218	43	307	0	0	0	218
	Z	0	0	0	0	0	0	0	0	0	0	0	0
Trave Acciaio 21a-36a	X	2	76	4	1	2	37	2	0	0	1	2	37
	Y	0	10	19	37	9	6	0	0	2	37	9	6
	Z	0	0	0	0	0	0	0	0	0	0	0	0
Trave Acciaio 20a-21a	X	0	0	108	89	155	0	0	0	61	89	155	0
	Y	0	305	0	0	0	31	0	278	0	0	0	31
	Z	0	0	0	0	0	0	0	0	0	0	0	0
Trave Acciaio 22a-37a	X	2	74	5	1	3	35	2	0	0	1	3	35
	Y	1	17	19	30	9	10	1	0	1	30	9	10
	Z	0	0	0	0	0	0	0	0	0	0	0	0
Trave Acciaio 21a-22a	X	0	0	43	259	144	0	0	0	198	259	144	0

Travi - Sollecitazioni per effetto del sisma

Id _{tr}	Dir	Estr. Inz.						Estr. Fin.					
		M ₁ [N-m]	M ₂ [N-m]	M ₃ [N-m]	N [N]	T ₂ [N]	T ₃ [N]	M ₁ [N-m]	M ₂ [N-m]	M ₃ [N-m]	N [N]	T ₂ [N]	T ₃ [N]
	Y	42	275	0	0	0	263	42	22	0	0	0	263
	Z	0	0	0	0	0	0	0	0	0	0	0	0
Trave Acciaio 23a-38a	X	2	73	3	0	2	37	2	0	0	0	2	37
	Y	0	6	21	24	10	5	0	0	0	24	10	5
	Z	0	0	0	0	0	0	0	0	0	0	0	0
Trave Acciaio 22a-23a	X	0	0	178	443	126	0	0	0	294	443	126	0
	Y	75	55	0	0	0	460	75	465	0	0	0	460
	Z	0	0	0	0	0	0	0	0	0	0	0	0
Trave Acciaio 24a-39a	X	2	70	7	0	3	39	2	0	0	0	3	39
	Y	0	17	20	25	9	10	0	0	0	25	9	10
	Z	0	0	0	0	0	0	0	0	0	0	0	0
Trave Acciaio 2-24a	X	0	0	311	588	114	0	0	0	234	588	114	0
	Y	106	609	0	0	0	559	106	213	0	0	0	559
	Z	0	0	0	0	0	0	0	0	0	0	0	0
Trave Acciaio 25a-40a	X	2	74	4	0	4	39	2	0	0	0	4	39
	Y	0	18	20	28	10	10	0	0	0	28	10	10
	Z	0	0	0	0	0	0	0	0	0	0	0	0
Trave Acciaio 24a-25a	X	0	0	250	416	135	0	0	0	130	416	135	0
	Y	72	208	0	0	0	406	72	158	0	0	0	406
	Z	0	0	0	0	0	0	0	0	0	0	0	0
Trave Acciaio 26a-41a	X	2	75	2	2	0	36	2	0	0	2	0	36
	Y	0	4	19	32	11	4	0	0	0	32	11	4
	Z	0	0	0	0	0	0	0	0	0	0	0	0
Trave Acciaio 25a-26a	X	0	0	150	239	153	0	0	0	19	239	153	0
	Y	29	163	0	0	0	194	29	366	0	0	0	194
	Z	0	0	0	0	0	0	0	0	0	0	0	0
Trave Acciaio 27a-42a	X	2	77	5	0	1	36	2	0	0	0	1	36
	Y	0	13	19	33	10	5	0	0	0	33	10	5
	Z	0	0	0	0	0	0	0	0	0	0	0	0
Trave Acciaio 26a-27a	X	0	0	23	89	156	0	0	0	134	89	156	0
	Y	15	368	0	0	0	42	15	347	0	0	0	42
	Z	0	0	0	0	0	0	0	0	0	0	0	0
Trave Acciaio 28a-43a	X	2	73	6	0	6	35	2	0	0	0	6	35
	Y	1	18	17	25	10	12	1	0	0	25	10	12
	Z	0	0	0	0	0	0	0	0	0	0	0	0
Trave Acciaio 27a-28a	X	0	0	118	170	148	0	0	0	237	170	148	0
	Y	54	332	0	0	0	253	54	137	0	0	0	253
	Z	0	0	0	0	0	0	0	0	0	0	0	0
Trave Acciaio 30a-46a	X	0	70	20	1	10	37	0	0	0	1	10	37
	Y	1	15	16	33	8	10	1	0	1	33	8	10
	Z	0	0	0	0	0	0	0	0	0	0	0	0
Trave Acciaio 3-44a	X	2	80	3	0	2	39	2	0	0	0	2	39
	Y	1	8	22	26	12	3	1	0	1	26	12	3
	Z	0	0	0	0	0	0	0	0	0	0	0	0
Trave Acciaio 29a-45a	X	2	71	10	0	5	35	2	0	0	0	5	35
	Y	0	15	16	27	9	7	0	0	1	27	9	7
	Z	0	0	0	0	0	0	0	0	0	0	0	0
Trave Acciaio 3-29a	X	0	0	186	327	123	0	0	0	89	327	123	0
	Y	63	458	0	0	0	358	63	171	0	0	0	358
	Z	0	0	0	0	0	0	0	0	0	0	0	0
Trave Acciaio 2a-18a	X	2	0	0	0	5	35	2	71	11	0	5	35
	Y	0	0	1	26	10	6	0	14	18	26	10	6
	Z	0	0	0	0	0	0	0	0	0	0	0	0
Trave Acciaio 3a-1	X	0	0	0	0	3	41	0	79	2	0	3	41
	Y	0	0	1	26	9	4	0	4	21	26	9	4
	Z	0	0	0	0	0	0	0	0	0	0	0	0
Trave Acciaio 4a-19a	X	2	0	0	0	3	37	2	70	6	0	3	37
	Y	1	0	0	28	11	11	1	18	17	28	11	11
	Z	0	0	0	0	0	0	0	0	0	0	0	0
Trave Acciaio 5a-20a	X	2	0	0	1	3	35	2	77	7	1	3	35
	Y	0	0	2	37	9	4	0	8	19	37	9	4
	Z	0	0	0	0	0	0	0	0	0	0	0	0
Trave Acciaio 6a-21a	X	2	0	0	1	2	37	2	76	4	1	2	37
	Y	0	0	2	37	9	6	0	10	19	37	9	6
	Z	0	0	0	0	0	0	0	0	0	0	0	0
Trave Acciaio 7a-22a	X	2	0	0	1	3	35	2	74	5	1	3	35
	Y	1	0	1	30	9	10	1	17	19	30	9	10
	Z	0	0	0	0	0	0	0	0	0	0	0	0
Trave Acciaio 8a-23a	X	2	0	0	0	2	37	2	73	3	0	2	37
	Y	0	0	0	24	10	5	0	6	21	24	10	5
	Z	0	0	0	0	0	0	0	0	0	0	0	0
Trave Acciaio 9a-24a	X	2	0	0	0	3	39	2	70	7	0	3	39
	Y	0	0	0	25	9	10	0	17	20	25	9	10
	Z	0	0	0	0	0	0	0	0	0	0	0	0
Trave Acciaio 10a-25a	X	2	0	0	0	4	39	2	74	4	0	4	39
	Y	0	0	0	28	10	10	0	18	20	28	10	10
	Z	0	0	0	0	0	0	0	0	0	0	0	0
Trave Acciaio 11a-26a	X	2	0	0	2	0	36	2	75	2	2	0	36
	Y	0	0	0	32	11	4	0	4	19	32	11	4
	Z	0	0	0	0	0	0	0	0	0	0	0	0
Trave Acciaio 12a-27a	X	2	0	0	0	1	36	2	77	5	0	1	36
	Y	0	0	0	33	10	5	0	13	19	33	10	5
	Z	0	0	0	0	0	0	0	0	0	0	0	0

Travi - Sollecitazioni per effetto del sisma

Id _{Tr}	Dir	Estr. Inz.							Estr. Fin.						
		M ₁ [N-m]	M ₂ [N-m]	M ₃ [N-m]	N [N]	T ₂ [N]	T ₃ [N]	M ₁ [N-m]	M ₂ [N-m]	M ₃ [N-m]	N [N]	T ₂ [N]	T ₃ [N]		
Trave Acciaio 13a-28a	X	2	0	0	0	6	35	2	73	6	0	6	35		
	Y	1	0	0	25	10	12	1	18	17	25	10	12		
	Z	0	0	0	0	0	0	0	0	0	0	0	0		
Trave Acciaio 14a-3	X	2	0	0	0	2	39	2	80	3	0	2	39		
	Y	1	0	1	26	12	3	1	8	22	26	12	3		
	Z	0	0	0	0	0	0	0	0	0	0	0	0		
Trave Acciaio 28a-3	X	0	0	221	354	126	0	0	0	369	354	126	0		
	Y	92	120	0	0	0	449	92	458	0	0	0	449		
	Z	0	0	0	0	0	0	0	0	0	0	0	0		
Trave Acciaio 15a-29a	X	2	0	0	0	5	35	2	71	10	0	5	35		
	Y	0	0	1	27	9	7	0	15	16	27	9	7		
	Z	0	0	0	0	0	0	0	0	0	0	0	0		
Trave Acciaio 16a-30a	X	0	0	0	1	10	37	0	70	20	1	10	37		
	Y	1	0	1	33	8	10	1	15	16	33	8	10		
	Z	0	0	0	0	0	0	0	0	0	0	0	0		

LEGENDA:

Id_{Tr} Identificativo della trave. L'eventuale lettera tra parentesi distingue i diversi tratti della travata al livello considerato.
Dir Direzione del sisma.
Estr. Sollecitazione caratteristiche relative al sistema di riferimento locale 1, 2, 3 (N > 0: compressione).
Inz./Fin.

TRAVI - SOLLECITAZIONI PER ECCENTRICITÀ ACCIDENTALE

Travi - Sollecitazioni per eccentricità accidentale

Id _{Tr}	Dir	e	Estr. Inz.							Estr. Fin.						
			M ₁ [N-m]	M ₂ [N-m]	M ₃ [N-m]	N [N]	T ₂ [N]	T ₃ [N]	M ₁ [N-m]	M ₂ [N-m]	M ₃ [N-m]	N [N]	T ₂ [N]	T ₃ [N]		
Piano Terra																
Travata: Piano Terra																
Trave Acciaio 18a-1	X	+	2	19	0	0	0	24	2	39	0	0	0	24		
	X	-	-2	-19	0	0	0	-24	-2	-39	0	0	0	-24		
	Y	+	10	80	0	0	0	96	10	158	0	0	0	96		
Trave Acciaio 23a-2	Y	-	-10	-80	0	0	0	-96	-10	-158	0	0	0	-96		
	X	+	1	2	0	0	0	-2	1	2	0	0	0	-2		
	X	-	-1	-2	0	0	0	2	-1	-2	0	0	0	2		
Trave Acciaio 29a-30a	Y	+	6	2	0	0	0	-9	6	0	0	0	0	-9		
	Y	-	-6	-2	0	0	0	9	-6	0	0	0	0	9		
	X	+	1	-15	0	0	0	12	1	-4	0	0	0	12		
Trave Acciaio 17a-31a	X	-	-1	15	0	0	0	-12	-1	4	0	0	0	-12		
	Y	+	5	-60	0	0	0	48	5	-16	0	0	0	48		
	Y	-	-5	60	0	0	0	-48	-5	16	0	0	0	-48		
Trave Acciaio 1a-17a	X	+	0	-2	0	4	0	1	0	0	0	4	0	1		
	X	-	0	2	0	-4	0	-1	0	0	0	-4	0	-1		
	Y	+	0	-8	-1	17	0	4	0	0	-1	17	0	4		
Trave Acciaio 17a-18a	Y	-	0	8	1	-17	0	-4	0	0	1	-17	0	-4		
	X	+	0	0	0	-4	0	1	0	2	0	-4	0	1		
	X	-	0	0	0	4	0	-1	0	-2	0	4	0	-1		
Trave Acciaio 1-33a	Y	+	0	0	1	-17	0	4	0	8	1	-17	0	4		
	Y	-	0	0	-1	17	0	-4	0	-8	-1	17	0	-4		
	X	+	1	4	0	0	0	12	1	15	0	0	0	12		
Trave Acciaio 18a-32a	X	-	-1	-4	0	0	0	-12	-1	-15	0	0	0	-12		
	Y	+	5	16	0	0	0	51	5	64	0	0	0	51		
	Y	-	-5	-16	0	0	0	-51	-5	-64	0	0	0	-51		
Trave Acciaio 19a-34a	X	+	0	-2	0	3	0	1	0	0	0	3	0	1		
	X	-	0	2	0	-3	0	-1	0	0	0	-3	0	-1		
	Y	+	0	-8	-1	13	0	4	0	0	-1	13	0	4		
Trave Acciaio 1-19a	Y	-	0	8	1	-13	0	-4	0	0	1	-13	0	-4		
	X	+	0	-2	0	4	0	1	0	0	0	4	0	1		
	X	-	0	2	0	-4	0	-1	0	0	0	-4	0	-1		
Trave Acciaio 20a-35a	Y	+	0	-8	-1	15	0	4	0	0	-1	15	0	4		
	Y	-	0	8	1	-15	0	-4	0	0	1	-15	0	-4		
	X	+	0	-2	0	3	0	1	0	0	0	3	0	1		
Trave Acciaio 19a-20a	X	-	0	2	0	-3	0	-1	0	0	0	-3	0	-1		
	Y	+	0	-8	0	10	0	4	0	0	-1	10	0	4		
	Y	-	0	8	0	-10	0	-4	0	0	1	-10	0	-4		
Trave Acciaio 21a-36a	X	+	-1	41	0	0	0	-23	-1	13	0	0	0	-23		
	X	-	1	-41	0	0	0	23	1	-13	0	0	0	23		
	Y	+	-3	168	0	0	0	-90	-3	58	0	0	0	-90		
Trave Acciaio 20a-21a	Y	-	3	-168	0	0	0	90	3	-58	0	0	0	90		
	X	+	0	-2	0	2	0	1	0	0	0	2	0	1		
	X	-	0	2	0	-2	0	-1	0	0	0	-2	0	-1		
Trave Acciaio 20a-21a	Y	+	0	-8	0	8	0	4	0	0	0	8	0	4		
	Y	-	0	8	0	-8	0	-4	0	0	0	-8	0	-4		
	X	+	0	17	0	0	0	-14	0	2	0	0	0	-14		
Trave Acciaio 20a-21a	X	-	0	-17	0	0	0	14	0	-2	0	0	0	14		
	Y	+	0	74	0	0	0	-60	0	10	0	0	0	-60		
	Y	-	0	-74	0	0	0	60	0	-10	0	0	0	60		
Trave Acciaio 20a-21a	X	+	0	-2	0	1	0	1	0	0	0	1	0	1		
	X	-	0	2	0	-1	0	-1	0	0	0	-1	0	-1		
	Y	+	0	-8	0	5	0	4	0	0	0	5	0	4		
Trave Acciaio 20a-21a	Y	-	0	8	0	-5	0	-4	0	0	0	-5	0	-4		
	X	+	1	6	0	0	0	-8	1	-2	0	0	0	-8		
	X	-	-1	-6	0	0	0	8	-1	2	0	0	0	8		
Trave Acciaio 20a-21a	Y	+	3	26	0	0	0	-36	3	-12	0	0	0	-36		

Travi - Sollecitazioni per eccentricità accidentale

Id _{Tr}	Dire	Estr. Inz.							Estr. Fin.						
		M ₁ [N-m]	M ₂ [N-m]	M ₃ [N-m]	N [N]	T ₂ [N]	T ₃ [N]	M ₁ [N-m]	M ₂ [N-m]	M ₃ [N-m]	N [N]	T ₂ [N]	T ₃ [N]		
	Y -	-3	-26	0	0	0	36	-3	12	0	0	0	36		
Trave Acciaio 22a-37a	X +	0	-2	0	1	0	1	0	0	0	1	0	1		
	X -	0	2	0	-1	0	-1	0	0	0	-1	0	-1		
	Y +	0	-8	0	3	0	4	0	0	0	3	0	4		
	Y -	0	8	0	-3	0	-4	0	0	0	-3	0	-4		
Trave Acciaio 21a-22a	X +	1	2	0	0	0	-5	1	-4	0	0	0	-5		
	X -	-1	-2	0	0	0	5	-1	4	0	0	0	5		
	Y +	4	4	0	0	0	-21	4	-18	0	0	0	-21		
	Y -	-4	-4	0	0	0	21	-4	18	0	0	0	21		
Trave Acciaio 23a-38a	X +	0	-2	0	0	0	1	0	0	0	0	0	1		
	X -	0	2	0	0	0	-1	0	0	0	0	0	-1		
	Y +	0	-8	0	1	0	4	0	0	0	1	0	4		
	Y -	0	8	0	-1	0	-4	0	0	0	-1	0	-4		
Trave Acciaio 22a-23a	X +	1	0	0	0	0	-2	1	-2	0	0	0	-2		
	X -	-1	0	0	0	0	2	-1	2	0	0	0	2		
	Y +	5	-2	0	0	0	-12	5	-14	0	0	0	-12		
	Y -	-5	2	0	0	0	12	-5	14	0	0	0	12		
Trave Acciaio 24a-39a	X +	0	-2	0	0	0	1	0	0	0	0	0	1		
	X -	0	2	0	0	0	-1	0	0	0	0	0	-1		
	Y +	0	-8	0	-1	0	4	0	0	0	-1	0	4		
	Y -	0	8	0	1	0	-4	0	0	0	1	0	-4		
Trave Acciaio 2-24a	X +	1	2	0	0	0	-4	1	-1	0	0	0	-4		
	X -	-1	-2	0	0	0	4	-1	1	0	0	0	4		
	Y +	5	0	0	0	0	-8	5	-6	0	0	0	-8		
	Y -	-5	0	0	0	0	8	-5	6	0	0	0	8		
Trave Acciaio 25a-40a	X +	0	-2	0	-1	0	1	0	0	0	-1	0	1		
	X -	0	2	0	1	0	-1	0	0	0	1	0	-1		
	Y +	0	-8	0	-3	0	4	0	0	0	-3	0	4		
	Y -	0	8	0	3	0	-4	0	0	0	3	0	-4		
Trave Acciaio 24a-25a	X +	1	3	0	0	0	-4	1	0	0	0	0	-4		
	X -	-1	-3	0	0	0	4	-1	0	0	0	0	4		
	Y +	5	10	0	0	0	-11	5	0	0	0	0	-11		
	Y -	-5	-10	0	0	0	11	-5	0	0	0	0	11		
Trave Acciaio 26a-41a	X +	0	-2	0	-1	0	1	0	0	0	-1	0	1		
	X -	0	2	0	1	0	-1	0	0	0	1	0	-1		
	Y +	0	-8	0	-6	0	4	0	0	0	-6	0	4		
	Y -	0	8	0	6	0	-4	0	0	0	6	0	-4		
Trave Acciaio 25a-26a	X +	1	4	0	0	0	-7	1	-3	0	0	0	-7		
	X -	-1	-4	0	0	0	7	-1	3	0	0	0	7		
	Y +	4	16	0	0	0	-20	4	-5	0	0	0	-20		
	Y -	-4	-16	0	0	0	20	-4	5	0	0	0	20		
Trave Acciaio 27a-42a	X +	0	-2	0	-2	0	1	0	0	0	-2	0	1		
	X -	0	2	0	2	0	-1	0	0	0	2	0	-1		
	Y +	0	-8	0	-8	0	4	0	0	0	-8	0	4		
	Y -	0	8	0	8	0	-4	0	0	0	8	0	-4		
Trave Acciaio 26a-27a	X +	1	1	0	0	0	-10	1	-9	0	0	0	-10		
	X -	-1	-1	0	0	0	10	-1	9	0	0	0	10		
	Y +	2	11	0	0	0	-38	2	-24	0	0	0	-38		
	Y -	-2	-11	0	0	0	38	-2	24	0	0	0	38		
Trave Acciaio 28a-43a	X +	0	-2	0	-2	0	1	0	0	0	-2	0	1		
	X -	0	2	0	2	0	-1	0	0	0	2	0	-1		
	Y +	0	-8	1	-10	0	4	0	0	0	-10	0	4		
	Y -	0	8	-1	10	0	-4	0	0	0	10	0	-4		
Trave Acciaio 27a-28a	X +	0	-5	0	0	0	-16	0	-18	0	0	0	-16		
	X -	0	5	0	0	0	16	0	18	0	0	0	16		
	Y +	0	-8	0	0	0	-62	0	-61	0	0	0	-62		
	Y -	0	8	0	0	0	62	0	61	0	0	0	62		
Trave Acciaio 30a-46a	X +	0	-2	0	-4	0	1	0	0	0	-4	0	1		
	X -	0	2	0	4	0	-1	0	0	0	4	0	-1		
	Y +	0	-8	1	-16	0	4	0	0	1	-16	0	4		
	Y -	0	8	-1	16	0	-4	0	0	-1	16	0	-4		
Trave Acciaio 3-44a	X +	0	-2	0	-3	0	1	0	0	0	-3	0	1		
	X -	0	2	0	3	0	-1	0	0	0	3	0	-1		
	Y +	0	-8	1	-12	0	4	0	0	1	-12	0	4		
	Y -	0	8	-1	12	0	-4	0	0	-1	12	0	-4		
Trave Acciaio 29a-45a	X +	0	-2	0	-4	0	1	0	0	0	-4	0	1		
	X -	0	2	0	4	0	-1	0	0	0	4	0	-1		
	Y +	0	-8	1	-14	0	4	0	0	1	-14	0	4		
	Y -	0	8	-1	14	0	-4	0	0	-1	14	0	-4		
Trave Acciaio 3-29a	X +	2	-39	0	0	0	24	2	-19	0	0	0	24		
	X -	-2	39	0	0	0	-24	-2	19	0	0	0	-24		
	Y +	9	-151	0	0	0	90	9	-76	0	0	0	90		
	Y -	-9	151	0	0	0	-90	-9	76	0	0	0	-90		
Trave Acciaio 2a-18a	X +	0	0	0	-4	0	1	0	2	0	-4	0	1		
	X -	0	0	0	4	0	-1	0	-2	0	4	0	-1		
	Y +	0	0	1	-15	0	4	0	8	1	-15	0	4		
	Y -	0	0	-1	15	0	-4	0	-8	-1	15	0	-4		
Trave Acciaio 3a-1	X +	0	0	0	-3	0	1	0	2	0	-3	0	1		
	X -	0	0	0	3	0	-1	0	-2	0	3	0	-1		
	Y +	0	0	1	-13	0	4	0	8	1	-13	0	4		
	Y -	0	0	-1	13	0	-4	0	-8	-1	13	0	-4		
Trave Acciaio 4a-19a	X +	0	0	0	-3	0	1	0	2	0	-3	0	1		
	X -	0	0	0	3	0	-1	0	-2	0	3	0	-1		
	Y +	0	0	0	-10	0	4	0	8	0	-10	0	4		

Travi - Sollecitazioni per eccentricità accidentale

Id _{Tr}	Dir	e	Estr. Inz.						Estr. Fin.					
			M ₁ [N-m]	M ₂ [N-m]	M ₃ [N-m]	N [N]	T ₂ [N]	T ₃ [N]	M ₁ [N-m]	M ₂ [N-m]	M ₃ [N-m]	N [N]	T ₂ [N]	T ₃ [N]
Trave Acciaio 5a-20a	Y -		0	0	0	10	0	-4	0	-8	0	10	0	-4
	X +		0	0	0	-2	0	1	0	2	0	-2	0	1
	X -		0	0	0	2	0	-1	0	-2	0	2	0	-1
	Y +		0	0	0	-8	0	4	0	8	0	-8	0	4
Trave Acciaio 6a-21a	Y -		0	0	0	8	0	-4	0	-8	0	8	0	-4
	X +		0	0	0	-1	0	1	0	2	0	-1	0	1
	X -		0	0	0	1	0	-1	0	-2	0	1	0	-1
	Y +		0	0	0	-5	0	4	0	8	0	-5	0	4
Trave Acciaio 7a-22a	Y -		0	0	0	5	0	-4	0	-8	0	5	0	-4
	X +		0	0	0	-1	0	1	0	2	0	-1	0	1
	X -		0	0	0	1	0	-1	0	-2	0	1	0	-1
	Y +		0	0	0	-3	0	4	0	8	0	-3	0	4
Trave Acciaio 8a-23a	Y -		0	0	0	3	0	-4	0	-8	0	3	0	-4
	X +		0	0	0	0	0	1	0	2	0	0	0	1
	X -		0	0	0	0	0	-1	0	-2	0	0	0	-1
	Y +		0	0	0	-1	0	4	0	8	0	-1	0	4
Trave Acciaio 9a-24a	Y -		0	0	0	1	0	-4	0	-8	0	1	0	-4
	X +		0	0	0	0	0	1	0	2	0	0	0	1
	X -		0	0	0	0	0	-1	0	-2	0	0	0	-1
	Y +		0	0	0	1	0	4	0	8	0	1	0	4
Trave Acciaio 10a-25a	Y -		0	0	0	-1	0	-4	0	-8	0	-1	0	-4
	X +		0	0	0	1	0	1	0	2	0	1	0	1
	X -		0	0	0	-1	0	-1	0	-2	0	-1	0	-1
	Y +		0	0	0	3	0	4	0	8	0	3	0	4
Trave Acciaio 11a-26a	Y -		0	0	0	-3	0	-4	0	-8	0	-3	0	-4
	X +		0	0	0	1	0	1	0	2	0	1	0	1
	X -		0	0	0	-1	0	-1	0	-2	0	-1	0	-1
	Y +		0	0	0	6	0	4	0	8	0	6	0	4
Trave Acciaio 12a-27a	Y -		0	0	0	-6	0	-4	0	-8	0	-6	0	-4
	X +		0	0	0	2	0	1	0	2	0	2	0	1
	X -		0	0	0	-2	0	-1	0	-2	0	-2	0	-1
	Y +		0	0	0	8	0	4	0	8	0	8	0	4
Trave Acciaio 13a-28a	Y -		0	0	0	-8	0	-4	0	-8	0	-8	0	-4
	X +		0	0	0	2	0	1	0	2	0	2	0	1
	X -		0	0	0	-2	0	-1	0	-2	0	-2	0	-1
	Y +		0	0	-1	10	0	4	0	8	-1	10	0	4
Trave Acciaio 14a-3	Y -		0	0	1	-10	0	-4	0	-8	1	-10	0	-4
	X +		0	0	0	3	0	1	0	2	0	3	0	1
	X -		0	0	0	-3	0	-1	0	-2	0	-3	0	-1
	Y +		0	0	-1	12	0	4	0	8	-1	12	0	4
Trave Acciaio 28a-3	Y -		0	0	1	-12	0	-4	0	-8	1	-12	0	-4
	X +		-1	-14	0	0	0	-22	-1	-42	0	0	0	-22
	X -		1	14	0	0	0	22	1	42	0	0	0	22
	Y +		-3	-45	0	0	0	-92	-3	-162	0	0	0	-92
Trave Acciaio 15a-29a	Y -		3	45	0	0	0	92	3	162	0	0	0	92
	X +		0	0	0	4	0	1	0	2	0	4	0	1
	X -		0	0	0	-4	0	-1	0	-2	0	-4	0	-1
	Y +		0	0	-1	14	0	4	0	8	-1	14	0	4
Trave Acciaio 16a-30a	Y -		0	0	1	-14	0	-4	0	-8	1	-14	0	-4
	X +		0	0	0	4	0	1	0	2	0	4	0	1
	X -		0	0	0	-4	0	-1	0	-2	0	-4	0	-1
	Y +		0	0	-1	16	0	4	0	8	-1	16	0	4
	Y -		0	0	1	-16	0	-4	0	-8	1	-16	0	-4

LEGENDA:

- Id_{Tr}** Identificativo della trave. L'eventuale lettera tra parentesi distingue i diversi tratti della travata al livello considerato.
- Dir** Direzione del sisma.
- e** Segno dell'eccentricità accidentale.
- Estr.** Sollecitazione caratteristiche relative al sistema di riferimento locale 1, 2, 3 (N > 0: compressione).
- Inz./Fin.**

PILASTRI - SOLLECITAZIONI PER CONDIZIONI DI CARICO NON SISMICHE

Pilastri - Sollecitazioni per condizioni di carico non sismiche

Id _{PII}	CC	Estr. Inf.						Estr. Sup.						Lv
		M ₁ [N-m]	M ₂ [N-m]	M ₃ [N-m]	N [N]	T ₂ [N]	T ₃ [N]	M ₁ [N-m]	M ₂ [N-m]	M ₃ [N-m]	N [N]	T ₂ [N]	T ₃ [N]	
Pilastro Acciaio 1	001	0	-209	0	7.013	0	530	0	585	0	5.688	0	530	01
	002	0	0	0	1.180	0	-8	0	-12	0	1.180	0	-8	01
	003	0	-62	475	5.455	-1	437	0	593	476	5.455	-1	437	01
	004	0	0	0	-660	0	5	0	7	0	-660	0	5	01
	005	0	0	0	-660	0	5	0	7	0	-660	0	5	01
	006	0	0	0	-660	0	5	0	7	0	-660	0	5	01
	007	0	0	0	-660	0	5	0	7	0	-660	0	5	01
Pilastro Acciaio 2	001	0	-65	0	8.232	0	138	0	143	0	6.908	0	138	01
	002	0	-29	0	1.358	0	59	0	60	0	1.358	0	59	01
	003	0	109	8	6.951	2	-4	0	102	6	6.951	2	-4	01
	004	0	16	0	-759	0	-33	0	-34	0	-759	0	-33	01
	005	0	16	0	-759	0	-33	0	-34	0	-759	0	-33	01
	006	0	16	0	-759	0	-33	0	-34	0	-759	0	-33	01
	007	0	16	0	-759	0	-33	0	-34	0	-759	0	-33	01
Pilastro Acciaio 3	001	0	253	0	7.157	0	-668	0	-749	0	5.833	0	-668	01
	002	0	17	0	1.238	0	-51	0	-60	0	1.238	0	-51	01

Pilastri - Sollecitazioni per condizioni di carico non sismiche

Id _{PII}	CC	Estr. Inf.						Estr. Sup.						Lv
		M ₁ [N-m]	M ₂ [N-m]	M ₃ [N-m]	N [N]	T ₂ [N]	T ₃ [N]	M ₁ [N-m]	M ₂ [N-m]	M ₃ [N-m]	N [N]	T ₂ [N]	T ₃ [N]	
	003	0	274	-1	6.312	-1	-432	0	-374	0	6.312	-1	-432	01
	004	0	-9	0	-693	0	28	0	33	0	-693	0	28	01
	005	0	-9	0	-693	0	28	0	33	0	-693	0	28	01
	006	0	-9	0	-693	0	28	0	33	0	-693	0	28	01
	007	0	-9	0	-693	0	28	0	33	0	-693	0	28	01

LEGENDA:

- Id_{PII}** Identificativo del Pilastro.
- CC** Identificativo della tipologia di carico nella relativa tabella.
- Lv** Identificativo del livello, nella relativa tabella.
- Estr.** Sollecitazione caratteristiche relative al sistema di riferimento locale 1, 2, 3 (N > 0: compressione).
- Inf./Sup.**

PILASTRI - SOLLECITAZIONI PER EFFETTO DEL SISMA

Pilastri - Sollecitazioni per effetto del sisma

Id _{PII}	Dir	Dist r	Estr. Inf.						Estr. Sup.						Lv
			M ₁ [N-m]	M ₂ [N-m]	M ₃ [N-m]	N [N]	T ₂ [N]	T ₃ [N]	M ₁ [N-m]	M ₂ [N-m]	M ₃ [N-m]	N [N]	T ₂ [N]	T ₃ [N]	
Pilastrata: Piano Terra															
Pilastro Acciaio 1	X	-	0	1.081	0	188	0	951	0	375	0	188	0	951	01
	Y	-	0	0	1.497	0	1.005	0	0	0	194	0	1.005	0	01
	Z	-	0	0	0	0	0	0	0	0	0	0	0	0	01
Pilastro Acciaio 2	X	-	0	1.231	0	5	0	1.314	0	737	0	5	0	1.314	01
	Y	-	0	0	1.854	0	1.248	0	0	0	206	0	1.248	0	01
	Z	-	0	0	0	0	0	0	0	0	0	0	0	0	01
Pilastro Acciaio 3	X	-	0	1.077	0	189	0	955	0	376	0	189	0	955	01
	Y	-	1	0	1.521	0	1.025	0	1	0	187	0	1.025	0	01
	Z	-	0	0	0	0	0	0	0	0	0	0	0	0	01

LEGENDA:

- Id_{PII}** Identificativo del Pilastro.
- Dir** Direzione del sisma.
- Dist r** Distribuzione delle forze (0P = Principale non richiesta; 1P = Principale proporzionale alle forze statiche; 2P = Proporzionale I Modo vibrazione; 3P = Principale proporzionale ai taglianti; 0S = Secondaria non richiesta; 1S = Secondaria proporzionale alle masse; 2S = secondaria multimodale).
- Lv** Identificativo del livello, nella relativa tabella.
- Estr.** Sollecitazione caratteristiche relative al sistema di riferimento locale 1, 2, 3 (N > 0: compressione).
- Inf./Sup.**

PILASTRI - SOLLECITAZIONI PER ECCENTRICITÀ ACCIDENTALE

Pilastri - Sollecitazioni per eccentricità accidentale

Id _{PII}	Di r	e	Estr. Inf.						Estr. Sup.						Lv
			M ₁ [N-m]	M ₂ [N-m]	M ₃ [N-m]	N [N]	T ₂ [N]	T ₃ [N]	M ₁ [N-m]	M ₂ [N-m]	M ₃ [N-m]	N [N]	T ₂ [N]	T ₃ [N]	
Pilastrata: Piano Terra															
Pilastro Acciaio 1	X	+	0	0	-82	0	-56	0	0	0	2	0	-56	0	01
	X	-	0	0	82	0	56	0	0	0	-2	0	56	0	01
	Y	+	-1	0	-330	0	-225	0	-1	0	6	0	-225	0	01
	Y	-	1	0	330	0	225	0	1	0	-6	0	225	0	01
Pilastro Acciaio 2	X	+	0	0	-3	0	-2	0	0	0	0	0	-2	0	01
	X	-	0	0	3	0	2	0	0	0	0	0	2	0	01
	Y	+	0	0	0	0	0	0	0	0	0	0	0	0	01
	Y	-	0	0	0	0	0	0	0	0	0	0	0	0	01
Pilastro Acciaio 3	X	+	0	0	81	0	55	0	0	0	-2	0	55	0	01
	X	-	0	0	-81	0	-55	0	0	0	2	0	-55	0	01
	Y	+	-1	0	323	0	219	0	-1	0	-6	0	219	0	01
	Y	-	1	0	-323	0	-219	0	1	0	6	0	-219	0	01

LEGENDA:

- Id_{PII}** Identificativo del Pilastro.
- Dir** Direzione del sisma.
- e** Segno dell'eccentricità accidentale.
- Lv** Identificativo del livello, nella relativa tabella.
- Estr.** Sollecitazione caratteristiche relative al sistema di riferimento locale 1, 2, 3 (N > 0: compressione).
- Inf./Sup.**

NODI - REAZIONI VINCOLARI ESTERNE PER TIPOLOGIE DI CARICO NON SISMICHE

Nodi - Reazioni vincolari esterne per tipologie di carico non sismiche

Id _{Nd}	CC	F _x [N]	F _y [N]	F _z [N]	M _x [N-m]	M _y [N-m]	M _z [N-m]
00001	001	530	0	7.013	0	209	0
00001	002	-8	0	1.180	0	0	0
00001	003	437	1	5.455	475	62	0
00001	004	5	0	-660	0	0	0
00001	005	5	0	-660	0	0	0
00001	006	5	0	-660	0	0	0
00001	007	5	0	-660	0	0	0
00003	001	138	0	8.232	0	65	0
00003	002	59	0	1.358	0	29	0
00003	003	-4	-2	6.951	8	-109	0
00003	004	-33	0	-759	0	-16	0
00003	005	-33	0	-759	0	-16	0
00003	006	-33	0	-759	0	-16	0

Nodi - Reazioni vincolari esterne per tipologie di carico non sismiche

IdNd	CC	F _x	F _y	F _z	M _x	M _y	M _z
		[N]	[N]	[N]	[N-m]	[N-m]	[N-m]
00003	007	-33	0	-759	0	-16	0
00005	001	-668	0	7.157	0	-253	0
00005	002	-51	0	1.238	0	-17	0
00005	003	-432	1	6.312	-1	-274	0
00005	004	28	0	-693	0	9	0
00005	005	28	0	-693	0	9	0
00005	006	28	0	-693	0	9	0
00005	007	28	0	-693	0	9	0

LEGENDA:

IdNd Identificativo del nodo.
CC Identificativo della tipologia di carico nella relativa tabella.
F_x, F_y, F_z, M_x, M_y, M_z Reazioni vincolari relative al sistema di riferimento globale X, Y, Z.

NODI - REAZIONI VINCOLARI ESTERNE PER EFFETTO DEL SISMA

Nodi - Reazioni vincolari esterne per effetto del sisma							
IdNd	Dir	F _x	F _y	F _z	M _x	M _y	M _z
		[N]	[N]	[N]	[N-m]	[N-m]	[N-m]
00001	X	954	0	188	0	1.077	0
00001	Y	0	1.005	0	1.498	0	1
00001	Z	0	0	0	0	0	0
00003	X	1.314	0	4	0	1.234	0
00003	Y	0	1.250	0	1.855	0	0
00003	Z	0	0	0	0	0	0
00005	X	955	0	189	0	1.079	0
00005	Y	0	1.029	0	1.522	0	1
00005	Z	0	0	0	0	0	0

LEGENDA:

IdNd Identificativo del nodo.
Dir Direzione del sisma.
F_x, F_y, F_z, M_x, M_y, M_z Reazioni vincolari relative al sistema di riferimento globale X, Y, Z.

NODI - REAZIONI VINCOLARI ESTERNE PER ECCENTRICITÀ ACCIDENTALE

Nodi - Reazioni vincolari esterne per eccentricità accidentale								
IdNd	Dir	e	F _x	F _y	F _z	M _x	M _y	M _z
			[N]	[N]	[N]	[N-m]	[N-m]	[N-m]
00001	X	+	0	56	0	-82	0	0
00001	X	-	0	-56	0	82	0	0
00001	Y	+	0	225	0	-330	0	-1
00001	Y	-	0	-225	0	330	0	1
00003	X	+	0	2	0	-3	0	0
00003	X	-	0	-2	0	3	0	0
00003	Y	+	0	0	0	0	0	0
00003	Y	-	0	0	0	0	0	0
00005	X	+	0	-55	0	81	0	0
00005	X	-	0	55	0	-81	0	0
00005	Y	+	0	-219	0	323	0	-1
00005	Y	-	0	219	0	-323	0	1

LEGENDA:

IdNd Identificativo del nodo.
Dir Direzione del sisma.
e Segno dell'eccentricità accidentale.
F_x, F_y, F_z, M_x, M_y, M_z Reazioni vincolari relative al sistema di riferimento globale X, Y, Z.

TRAVI (AC) - VERIFICHE A PRESSOFLESSIONE DEVIATA (Elevazione) allo SLU

Travi (AC) - Verifiche a pressoflessione deviata

IdTr	%L _{L1}	N _{Ed}	V _{Ed}	M _{Ed,3}	M _{Ed,2}	CS	Tp Vr	max/m in	M _{c,Rd}	V _{c,Rd}	ρ	A _v	t _w	N _{pl,Rd}
									[N-m]	[N]				
Piano Terra														
Trave Acciaio 18a-1	0%	-	-	2409	-	50.35[V]	PLS	Max	121.305	491.023	0,000	3.800,0	20	1.700.952
			Min					121.305	491.023	0,000	3.800,0			
	25,0%	-	-	3619	-	33.52[V]	PLS	Max	121.305	491.023	0,000	3.800,0	20	1.700.952
			Min					121.305	491.023	0,000	3.800,0			
	50,0%	-	-	4863	-	24.94[V]	PLS	Max	121.305	491.023	0,000	3.800,0	20	1.700.952
			Min					121.305	491.023	0,000	3.800,0			
	75,0%	-	-	6140	-	19.76[V]	PLS	Max	121.305	491.023	0,000	3.800,0	20	1.700.952
			Min					121.305	491.023	0,000	3.800,0			
			-6336											

Travi (AC) - Verifiche a pressoflessione deviata

Id _{Tr}	%L _{L1}	N _{Ed}	V _{Ed}	M _{Ed,3}	M _{Ed,2}	CS	Tp Vr	max/m in	M _{c,Rd}	V _{c,Rd}	ρ	A _v	t _w	N _{pl,Rd}	
	[%]	[N]	[N]	[N-m]	[N-m]				[N-m]	[N]		[cm ²]	[mm]		[N]
	100%	-	-	7448	-	16.28[V]	PLS	Max	121.305	491.023	0,000	3.800,0	20	1.700.952	
			Min					121.305	491.023	0,000		3.800,0			
Trave Acciaio 23a-2	0%	677	-	3788	-	32.02[V]	PLS	Max	121.305	491.023	0,000	3.800,0	20	1.700.952	
			Min					121.305	491.023	0,000		3.800,0			
	25,2%	677	-	4121	-	29.44[V]	PLS	Max	121.305	491.023	0,000	3.800,0	20	1.700.952	
			Min					121.305	491.023	0,000		3.800,0			
	50,0%	677	-	4455	-	27.23[V]	PLS	Max	121.305	491.023	0,000	3.800,0	20	1.700.952	
			Min					121.305	491.023	0,000		3.800,0			
	75,1%	677	-	4794	-	25.30[V]	PLS	Max	121.305	491.023	0,000	3.800,0	20	1.700.952	
			Min					121.305	491.023	0,000		3.800,0			
	99,9%	677	-	5135	-	23.62[V]	PLS	Max	121.305	491.023	0,000	3.800,0	20	1.700.952	
			Min					121.305	491.023	0,000		3.800,0			
	Trave Acciaio 29a-30a	0%	-	-	3007	-	40.34[V]	PLS	Max	121.305	491.023	0,000	3.800,0	20	1.700.952
				Min					121.305	491.023	0,000		3.800,0		
25,0%		-	-	2194	-	55.28[V]	PLS	Max	121.305	491.023	0,000	3.800,0	20	1.700.952	
			Min					121.305	491.023	0,000		3.800,0			
50,0%		-	-	1424	-	85.18[V]	PLS	Max	121.305	491.023	0,000	3.800,0	20	1.700.952	
			Min					121.305	491.023	0,000		3.800,0			
75,0%		-	-	691	-	NS	PLS	Max	121.305	491.023	0,000	3.800,0	20	1.700.952	
			Min					121.305	491.023	0,000		3.800,0			
100%		-	-	-1	-	NS	PLS	Max	121.305	491.023	0,000	3.800,0	20	1.700.952	
			Min					121.305	491.023	0,000		3.800,0			
Trave Acciaio 17a-31a	0%	-	-	1464	-	10.35[V]	PLS	Max	15.163	122.755	0,000	950,00	10	425.238	
			Min					15.163	122.755	0,000		950,00			
	25,0%	-	-	823	-	18.42[V]	PLS	Max	15.163	122.755	0,000	950,00	10	425.238	
			Min					15.163	122.755	0,000		950,00			
	50,0%	-	-	365	-	41.53[V]	PLS	Max	15.163	122.755	0,000	950,00	10	425.238	
			Min					15.163	122.755	0,000		950,00			
	75,0%	-	-	91	-	NS	PLS	Max	15.163	122.755	0,000	950,00	10	425.238	
			Min					15.163	122.755	0,000		950,00			
100%	18	14	-4	-	NS	PLS	Max	15.163	122.755	0,000	950,00	10	425.238		
		13					Min	15.163	122.755		0,000			950,00	
Trave Acciaio 1a-17a	0%	52	22	4	-	NS	PLS	Max	15.163	122.755	0,000	950,00	10	425.238	
			13					Min	15.163	122.755		0,000			950,00
	25,0%	-	-	45	-	NS	PLS	Max	15.163	122.755	0,000	950,00	10	425.238	
			-184					Min	15.163	122.755		0,000			950,00
	50,0%	-	-	184	-	82.40[V]	PLS	Max	15.163	122.755	0,000	950,00	10	425.238	
			-370					Min	15.163	122.755		0,000			950,00
75,0%	-	-	416	-	36.45[V]	PLS	Max	15.163	122.755	0,000	950,00	10	425.238		
		-554					Min	15.163	122.755		0,000			950,00	
100%	-	-	741	-	20.46[V]	PLS	Max	15.163	122.755	0,000	950,00	10	425.238		
		-741					Min	15.163	122.755		0,000			950,00	
Trave Acciaio 17a-18a	0%	44	233	4	52	NS	PLS	Max	121.305	491.023	0,000	3.800,0	20	1.700.952	
			-808					Min	121.305	491.023		0,000			3.800,0
	25,0%	-	-	537	-	NS	PLS	Max	121.305	491.023	0,000	3.800,0	20	1.700.952	
			-2388					Min	121.305	491.023		0,000			3.800,0
	50,0%	-	-	1118	-	NS	PLS	Max	121.305	491.023	0,000	3.800,0	20	1.700.952	
			-2570					Min	121.305	491.023		0,000			3.800,0
	75,0%	-	-	1743	-	69.59[V]	PLS	Max	121.305	491.023	0,000	3.800,0	20	1.700.952	
			-2752					Min	121.305	491.023		0,000			3.800,0
	100,0	-	-	2409	-	50.35[V]	PLS	Max	121.305	491.023	0,000	3.800,0	20	1.700.952	

Travi (AC) - Verifiche a pressoflessione deviata

Id _{Tr}	%L _{L1}	N _{Ed}	V _{Ed}	M _{Ed,3}	M _{Ed,2}	CS	Tp Vr	max/m in	M _{C,Rd}	V _{C,Rd}	ρ	A _v	t _w	N _{pl,Rd}
	[%]		[N]	[N]	[N-m]				[N-m]	[N-m]		[N]	[cm ²]	
			-2932			V]		Min	121.305	491.023	0,000	3.800,0 0	20	
Trave Acciaio 1-33a	0%	-	1464	1464	-	10.35[V]	PLS	Max	15.163	122.755	0,000	950,00	10	425.238
								Min	15.163	122.755	0,000	950,00	10	
	25,0%	-	1097	824	-	18.39[V]	PLS	Max	15.163	122.755	0,000	950,00	10	425.238
								Min	15.163	122.755	0,000	950,00	10	
	50,0%	-	732	367	-	41.32[V]	PLS	Max	15.163	122.755	0,000	950,00	10	425.238
								Min	15.163	122.755	0,000	950,00	10	
	75,0%	-	365	92	-	NS	PLS	Max	15.163	122.755	0,000	950,00	10	425.238
								Min	15.163	122.755	0,000	950,00	10	
	100,0%	14	13	-2	-	NS	PLS	Max	15.163	122.755	0,000	950,00	10	425.238
				10				Min	15.163	122.755	0,000	950,00	10	
Trave Acciaio 18a-32a	0%	-	1464	1464	-	10.35[V]	PLS	Max	15.163	122.755	0,000	950,00	10	425.238
								Min	15.163	122.755	0,000	950,00	10	
	25,0%	-	1097	824	-	18.39[V]	PLS	Max	15.163	122.755	0,000	950,00	10	425.238
								Min	15.163	122.755	0,000	950,00	10	
	50,0%	-	732	367	-	41.32[V]	PLS	Max	15.163	122.755	0,000	950,00	10	425.238
								Min	15.163	122.755	0,000	950,00	10	
	75,0%	-	365	92	-	NS	PLS	Max	15.163	122.755	0,000	950,00	10	425.238
								Min	15.163	122.755	0,000	950,00	10	
	100,0%	12	13	-2	-	NS	PLS	Max	15.163	122.755	0,000	950,00	10	425.238
				11				Min	15.163	122.755	0,000	950,00	10	
Trave Acciaio 19a-34a	0%	-	1464	1464	-	10.35[V]	PLS	Max	15.163	122.755	0,000	950,00	10	425.238
								Min	15.163	122.755	0,000	950,00	10	
	25,0%	-	1097	824	-	18.39[V]	PLS	Max	15.163	122.755	0,000	950,00	10	425.238
								Min	15.163	122.755	0,000	950,00	10	
	50,0%	-	732	367	-	41.32[V]	PLS	Max	15.163	122.755	0,000	950,00	10	425.238
								Min	15.163	122.755	0,000	950,00	10	
	75,0%	-	365	92	-	NS	PLS	Max	15.163	122.755	0,000	950,00	10	425.238
								Min	15.163	122.755	0,000	950,00	10	
	100,0%	39	26	1	-	NS	PLS	Max	15.163	122.755	0,000	950,00	10	425.238
				12				Min	15.163	122.755	0,000	950,00	10	
Trave Acciaio 1-19a	0%	1333	-2	8429	-	14.39[V]	PLS	Max	121.305	491.023	0,000	3.800,0 0	20	1.700.952
								Min	121.305	491.023	0,000	3.800,0 0	20	
	25,0%	1333	-2	6029	-	20.12[V]	PLS	Max	121.305	491.023	0,000	3.800,0 0	20	1.700.952
								Min	121.305	491.023	0,000	3.800,0 0	20	
	50,0%	677	-	1982	-	61.20[V]	PLS	Max	121.305	491.023	0,000	3.800,0 0	20	1.700.952
								Min	121.305	491.023	0,000	3.800,0 0	20	
	75,0%	677	-	805	-	NS	PLS	Max	121.305	491.023	0,000	3.800,0 0	20	1.700.952
								Min	121.305	491.023	0,000	3.800,0 0	20	
	100%	677	-	-296	-	NS	PLS	Max	121.305	491.023	0,000	3.800,0 0	20	1.700.952
								Min	121.305	491.023	0,000	3.800,0 0	20	
Trave Acciaio 20a-35a	0%	-	1464	1464	-	10.35[V]	PLS	Max	15.163	122.755	0,000	950,00	10	425.238
								Min	15.163	122.755	0,000	950,00	10	
	25,0%	-	1100	823	-	18.42[V]	PLS	Max	15.163	122.755	0,000	950,00	10	425.238
								Min	15.163	122.755	0,000	950,00	10	
	50,0%	-	732	365	-	41.53[V]	PLS	Max	15.163	122.755	0,000	950,00	10	425.238
								Min	15.163	122.755	0,000	950,00	10	
	75,0%	-	367	91	-	NS	PLS	Max	15.163	122.755	0,000	950,00	10	425.238
								Min	15.163	122.755	0,000	950,00	10	
	100%	46	19	-2	-	NS	PLS	Max	15.163	122.755	0,000	950,00	10	425.238
				10				Min	15.163	122.755	0,000	950,00	10	
Trave Acciaio 19a-20a	0%	677	-	-296	-	NS	PLS	Max	121.305	491.023	0,000	3.800,0 0	20	1.700.952
								Min	121.305	491.023	0,000	3.800,0 0	20	
	25,0%	677	-	-896	-	NS	PLS	Max	121.305	491.023	0,000	3.800,0 0	20	1.700.952
								Min	121.305	491.023	0,000	3.800,0 0	20	
	50,0%	677	-	-1441	-	84.18[V]	PLS	Max	121.305	491.023	0,000	3.800,0 0	20	1.700.952
								Min	121.305	491.023	0,000	3.800,0 0	20	
	75,0%	677	-	-1930	-	62.85[V]	PLS	Max	121.305	491.023	0,000	3.800,0 0	20	1.700.952
								Min	121.305	491.023	0,000	3.800,0 0	20	
	100%	677	-	-2360	-	51.39[V]	PLS	Max	121.305	491.023	0,000	3.800,0 0	20	1.700.952
								Min	121.305	491.023	0,000	3.800,0 0	20	

Travi (AC) - Verifiche a pressoflessione deviata

Id _{Tr}	%L _L	N _{Ed}	V _{Ed}	M _{Ed,3}	M _{Ed,2}	CS	Tp Vr	max/m	M _{c,Rd}	V _{c,Rd}	ρ	A _v	t _w	N _{pl,Rd}	
	[%]		[N]	[N]	[N-m]			[N-m]				in			[N-m]
Trave Acciaio 21a-36a	0%	-	-	1464	1464	-	10.35[V]	PLS	Max	15.163	122.755	0,000	950,00	10	425.238
			Min					15.163	122.755	0,000	950,00	10			
	25,0%	-	-	1097	824	-	18.39[V]	PLS	Max	15.163	122.755	0,000	950,00	10	425.238
			Min					15.163	122.755	0,000	950,00	10			
	50,0%	-	-	732	367	-	41.32[V]	PLS	Max	15.163	122.755	0,000	950,00	10	425.238
			Min					15.163	122.755	0,000	950,00	10			
75,0%	-	-	365	92	-	NS	PLS	Max	15.163	122.755	0,000	950,00	10	425.238	
		Min					15.163	122.755	0,000	950,00	10				
100,0%	43	-	21	-2	-	NS	PLS	Max	15.163	122.755	0,000	950,00	10	425.238	
Min			10				Min	15.163	122.755	0,000	950,00	10			
Trave Acciaio 20a-21a	0%	677	-	-2360	-	51.39[V]	PLS	Max	121.305	491.023	0,000	3.800,00	20	1.700.952	
			Min				121.305	491.023	0,000	3.800,00	20				
	25,0%	677	-	160	-2432	-	49.88[V]	PLS	Max	121.305	491.023	0,000	3.800,00	20	1.700.952
			Min					121.305	491.023	0,000	3.800,00	20			
	50,0%	677	-	-49	-2446	-	49.59[V]	PLS	Max	121.305	491.023	0,000	3.800,00	20	1.700.952
			Min					121.305	491.023	0,000	3.800,00	20			
	75,0%	677	-	-257	-2406	-	50.42[V]	PLS	Max	121.305	491.023	0,000	3.800,00	20	1.700.952
			Min					121.305	491.023	0,000	3.800,00	20			
	100%	677	-	-467	-2307	-	52.57[V]	PLS	Max	121.305	491.023	0,000	3.800,00	20	1.700.952
			Min					121.305	491.023	0,000	3.800,00	20			
Trave Acciaio 22a-37a	0%	-	-	1464	1464	-	10.35[V]	PLS	Max	15.163	122.755	0,000	950,00	10	425.238
			Min					15.163	122.755	0,000	950,00	10			
	25,0%	-	-	1097	824	-	18.39[V]	PLS	Max	15.163	122.755	0,000	950,00	10	425.238
			Min					15.163	122.755	0,000	950,00	10			
	50,0%	-	-	732	367	-	41.32[V]	PLS	Max	15.163	122.755	0,000	950,00	10	425.238
			Min					15.163	122.755	0,000	950,00	10			
75,0%	-	-	365	92	-	NS	PLS	Max	15.163	122.755	0,000	950,00	10	425.238	
		Min					15.163	122.755	0,000	950,00	10				
100,0%	34	-	25	-1	-	NS	PLS	Max	15.163	122.755	0,000	950,00	10	425.238	
Min			10				Min	15.163	122.755	0,000	950,00	10			
Trave Acciaio 21a-22a	0%	677	-	-1597	-2308	-	52.56[V]	PLS	Max	121.305	491.023	0,000	3.800,00	20	1.700.952
			Min					121.305	491.023	0,000	3.800,00	20			
	25,0%	677	-	-1806	-1848	-	65.64[V]	PLS	Max	121.305	491.023	0,000	3.800,00	20	1.700.952
			Min					121.305	491.023	0,000	3.800,00	20			
	50,0%	677	-	-2015	-1335	-	90.85[V]	PLS	Max	121.305	491.023	0,000	3.800,00	20	1.700.952
			Min					121.305	491.023	0,000	3.800,00	20			
	75,0%	677	-	-2223	-763	-	NS	PLS	Max	121.305	491.023	0,000	3.800,00	20	1.700.952
			Min					121.305	491.023	0,000	3.800,00	20			
	100%	677	-	-2433	-136	-	NS	PLS	Max	121.305	491.023	0,000	3.800,00	20	1.700.952
			Min					121.305	491.023	0,000	3.800,00	20			
Trave Acciaio 23a-38a	0%	-	-	1464	1464	-	10.35[V]	PLS	Max	15.163	122.755	0,000	950,00	10	425.238
			Min					15.163	122.755	0,000	950,00	10			
	25,0%	-	-	1100	823	-	18.42[V]	PLS	Max	15.163	122.755	0,000	950,00	10	425.238
			Min					15.163	122.755	0,000	950,00	10			
	50,0%	-	-	732	365	-	41.53[V]	PLS	Max	15.163	122.755	0,000	950,00	10	425.238
			Min					15.163	122.755	0,000	950,00	10			
75,0%	-	-	367	91	-	NS	PLS	Max	15.163	122.755	0,000	950,00	10	425.238	
		Min					15.163	122.755	0,000	950,00	10				
100%	25	-	20	-	-	NS	PLS	Max	15.163	122.755	0,000	950,00	10	425.238	
Min			11				Min	15.163	122.755	0,000	950,00	10			
Trave Acciaio 22a-23a	0%	677	-	-3561	-136	-	NS	PLS	Max	121.305	491.023	0,000	3.800,00	20	1.700.952
			Min					121.305	491.023	0,000	3.800,00	20			
	25,0%	677	-	-3754	772	-	NS	PLS	Max	121.305	491.023	0,000	3.800,00	20	1.700.952
			Min					121.305	491.023	0,000	3.800,00	20			
	50,0%	677	-		1732	-	70.04[V]	PLS	Max	121.305	491.023	0,000	3.800,00	20	1.700.952
			Min									20			

Travi (AC) - Verifiche a pressoflessione deviata

Id _{Tr}	%L _{L1}	N _{Ed}	V _{Ed}	M _{Ed,3}	M _{Ed,2}	CS	Tp Vr	max/m in	M _{c,Rd}	V _{c,Rd}	ρ	A _v	t _w	N _{pl,Rd}
	[%]		[N]	[N]	[N-m]				[N-m]	[N-m]		[N]	[N]	
			-3948					Min	121.305	491.023	0,000	3.800,0 0		
	75,0%	677	-	2736	-	44.34[V]	PLS	Max	121.305	491.023	0,000	3.800,0 0	20 20	1.700.952
			-4140					Min	121.305	491.023	0,000	3.800,0 0		
	100%	677	-	3788	-	32.02[V]	PLS	Max	121.305	491.023	0,000	3.800,0 0	20 20	1.700.952
			-4334					Min	121.305	491.023	0,000	3.800,0 0		
	Trave Acciaio 24a-39a	0%	-	-	1464	-	10.35[V]	PLS	Max	15.163	122.755	0,000	950,00	10 10
1464				Min					15.163	122.755	0,000	950,00		
25,0%		-	-	823	-	18.42[V]	PLS	Max	15.163	122.755	0,000	950,00	10 10	425.238
			1100					Min	15.163	122.755	0,000	950,00		
50,0%		-	-	365	-	41.53[V]	PLS	Max	15.163	122.755	0,000	950,00	10 10	425.238
			732					Min	15.163	122.755	0,000	950,00		
75,0%		-	-	91	-	NS	PLS	Max	15.163	122.755	0,000	950,00	10 10	425.238
			367					Min	15.163	122.755	0,000	950,00		
100%		26	26	-	-	NS	PLS	Max	15.163	122.755	0,000	950,00	10 10	425.238
			10					Min	15.163	122.755	0,000	950,00		
Trave Acciaio 2-24a	0%	944	-	5366	-	22.53[V]	PLS	Max	121.305	491.023	0,000	3.800,0 0	20 20	1.700.952
			5366					Min	121.305	491.023	0,000	3.800,0 0		
	25,0%	944	-	4435	-	27.35[V]	PLS	Max	121.305	491.023	0,000	3.800,0 0	20 20	1.700.952
			5227					Min	121.305	491.023	0,000	3.800,0 0		
	50,0%	944	-	3509	-	34.57[V]	PLS	Max	121.305	491.023	0,000	3.800,0 0	20 20	1.700.952
			5088					Min	121.305	491.023	0,000	3.800,0 0		
	75,0%	944	-	2611	-	46.46[V]	PLS	Max	121.305	491.023	0,000	3.800,0 0	20 20	1.700.952
			4949					Min	121.305	491.023	0,000	3.800,0 0		
	100,0%	944	-	1737	-	69.84[V]	PLS	Max	121.305	491.023	0,000	3.800,0 0	20 20	1.700.952
			4810					Min	121.305	491.023	0,000	3.800,0 0		
Trave Acciaio 25a-40a	0%	-	-	1464	-	10.35[V]	PLS	Max	15.163	122.755	0,000	950,00	10 10	425.238
			1464					Min	15.163	122.755	0,000	950,00		
	25,0%	-	-	823	-	18.42[V]	PLS	Max	15.163	122.755	0,000	950,00	10 10	425.238
			1100					Min	15.163	122.755	0,000	950,00		
	50,0%	-	-	365	-	41.53[V]	PLS	Max	15.163	122.755	0,000	950,00	10 10	425.238
			732					Min	15.163	122.755	0,000	950,00		
	75,0%	-	-	91	-	NS	PLS	Max	15.163	122.755	0,000	950,00	10 10	425.238
			367					Min	15.163	122.755	0,000	950,00		
	100%	31	26	-	-	NS	PLS	Max	15.163	122.755	0,000	950,00	10 10	425.238
			11					Min	15.163	122.755	0,000	950,00		
Trave Acciaio 24a-25a	0%	944	-	3682	-	69.84[V]	PLS	Max	121.305	491.023	0,000	3.800,0 0	20 20	1.700.952
			3682					Min	121.305	491.023	0,000	3.800,0 0		
	25,0%	944	-	921	-	NS	PLS	Max	121.305	491.023	0,000	3.800,0 0	20 20	1.700.952
			3507					Min	121.305	491.023	0,000	3.800,0 0		
	50,0%	944	-	146	-	NS	PLS	Max	121.305	491.023	0,000	3.800,0 0	20 20	1.700.952
			3330					Min	121.305	491.023	0,000	3.800,0 0		
	75,0%	944	-	-589	-	NS	PLS	Max	121.305	491.023	0,000	3.800,0 0	20 20	1.700.952
			3155					Min	121.305	491.023	0,000	3.800,0 0		
	100%	944	-	-1283	-	94.54[V]	PLS	Max	121.305	491.023	0,000	3.800,0 0	20 20	1.700.952
			2979					Min	121.305	491.023	0,000	3.800,0 0		
Trave Acciaio 26a-41a	0%	-	-	1464	-	10.35[V]	PLS	Max	15.163	122.755	0,000	950,00	10 10	425.238
			1464					Min	15.163	122.755	0,000	950,00		
	25,0%	-	-	823	-	18.42[V]	PLS	Max	15.163	122.755	0,000	950,00	10 10	425.238
			1100					Min	15.163	122.755	0,000	950,00		
	50,0%	-	-	365	-	41.53[V]	PLS	Max	15.163	122.755	0,000	950,00	10 10	425.238
			732					Min	15.163	122.755	0,000	950,00		
	75,0%	-	-	91	-	NS	PLS	Max	15.163	122.755	0,000	950,00	10 10	425.238
			367					Min	15.163	122.755	0,000	950,00		
	100%	39	19	-	-	NS	PLS	Max	15.163	122.755	0,000	950,00	10 10	425.238
			11					Min	15.163	122.755	0,000	950,00		
Trave Acciaio 25a-26a	0%	944	-	-1283	-	94.54[V]	PLS	Max	121.305	491.023	0,000	3.800,0 0	20 20	1.700.952

Travi (AC) - Verifiche a pressoflessione deviata

Id _{Tr}	%L _{L1}	N _{Ed}	V _{Ed}	M _{Ed,3}	M _{Ed,2}	CS	Tp Vr	max/m in	M _{c,Rd}	V _{c,Rd}	ρ	A _v	t _w	N _{pl,Rd}
	[%]		[N]	[N]	[N-m]				[N-m]	[N-m]		[N]	[N]	
			1849					Min	121.305	491.023	0,000	3.800,0 0		
	25,0%	944	-	-1731	-	70.07[V]	PLS	Max	121.305	491.023	0,000	3.800,0 0	20 20	1.700.952
			1650					Min	121.305	491.023	0,000	3.800,0 0		
	50,0%	944	-	-2128	-	57.00[V]	PLS	Max	121.305	491.023	0,000	3.800,0 0	20 20	1.700.952
			1451					Min	121.305	491.023	0,000	3.800,0 0		
	75,0%	944	-	-2475	-	49.00[V]	PLS	Max	121.305	491.023	0,000	3.800,0 0	20 20	1.700.952
			1252					Min	121.305	491.023	0,000	3.800,0 0		
	100%	944	-	-2771	-	43.78[V]	PLS	Max	121.305	491.023	0,000	3.800,0 0	20 20	1.700.952
			1053					Min	121.305	491.023	0,000	3.800,0 0		
	Trave Acciaio 27a-42a	0%	-	-	1464	-	10.35[V]	PLS	Max	15.163	122.755	0,000	950,00	10 10
1464				Min					15.163	122.755	0,000	950,00		
25,0%		-	-	823	-	18.42[V]	PLS	Max	15.163	122.755	0,000	950,00	10 10	425.238
			1100					Min	15.163	122.755	0,000	950,00		
50,0%		-	-	365	-	41.53[V]	PLS	Max	15.163	122.755	0,000	950,00	10 10	425.238
			732					Min	15.163	122.755	0,000	950,00		
75,0%		-	-	91	-	NS	PLS	Max	15.163	122.755	0,000	950,00	10 10	425.238
			367					Min	15.163	122.755	0,000	950,00		
100%		42	-	-	-	NS	PLS	Max	15.163	122.755	0,000	950,00	10 10	425.238
			20 10					Min	15.163	122.755	0,000	950,00		
Trave Acciaio 26a-27a	0%	944	-	-2771	-	43.78[V]	PLS	Max	121.305	491.023	0,000	3.800,0 0	20 20	1.700.952
			-75					Min	121.305	491.023	0,000	3.800,0 0		
	25,0%	944	-	-2733	-	44.39[V]	PLS	Max	121.305	491.023	0,000	3.800,0 0	20 20	1.700.952
			-255					Min	121.305	491.023	0,000	3.800,0 0		
	50,0%	944	-	-2653	-	45.71[V]	PLS	Max	121.305	491.023	0,000	3.800,0 0	20 20	1.700.952
			-434					Min	121.305	491.023	0,000	3.800,0 0		
	75,0%	944	-	-2533	-	47.89[V]	PLS	Max	121.305	491.023	0,000	3.800,0 0	20 20	1.700.952
			-613					Min	121.305	491.023	0,000	3.800,0 0		
	100%	944	-	-2369	-	51.21[V]	PLS	Max	121.305	491.023	0,000	3.800,0 0	20 20	1.700.952
			-793					Min	121.305	491.023	0,000	3.800,0 0		
Trave Acciaio 28a-43a	0%	-	-	1464	-	10.35[V]	PLS	Max	15.163	122.755	0,000	950,00	10 10	425.238
			1464					Min	15.163	122.755	0,000	950,00		
	25,0%	-	-	823	-	18.42[V]	PLS	Max	15.163	122.755	0,000	950,00	10 10	425.238
			1100					Min	15.163	122.755	0,000	950,00		
	50,0%	-	-	365	-	41.53[V]	PLS	Max	15.163	122.755	0,000	950,00	10 10	425.238
			732					Min	15.163	122.755	0,000	950,00		
	75,0%	-	-	91	-	NS	PLS	Max	15.163	122.755	0,000	950,00	10 10	425.238
			367					Min	15.163	122.755	0,000	950,00		
	100%	36	-	-	-	NS	PLS	Max	15.163	122.755	0,000	950,00	10 10	425.238
			27 12					Min	15.163	122.755	0,000	950,00		
Trave Acciaio 27a-28a	0%	944	-	-2370	-	51.17[V]	PLS	Max	121.305	491.023	0,000	3.800,0 0	20 20	1.700.952
			-1922					Min	121.305	491.023	0,000	3.800,0 0		
	25,0%	944	-	-1943	-	62.42[V]	PLS	Max	121.305	491.023	0,000	3.800,0 0	20 20	1.700.952
			-2087					Min	121.305	491.023	0,000	3.800,0 0		
	50,0%	944	-	-1483	-	81.79[V]	PLS	Max	121.305	491.023	0,000	3.800,0 0	20 20	1.700.952
			-2252					Min	121.305	491.023	0,000	3.800,0 0		
	75,0%	944	-	-985	-	NS	PLS	Max	121.305	491.023	0,000	3.800,0 0	20 20	1.700.952
			-2417					Min	121.305	491.023	0,000	3.800,0 0		
	100%	944	-	-454	-	NS	PLS	Max	121.305	491.023	0,000	3.800,0 0	20 20	1.700.952
			-2582					Min	121.305	491.023	0,000	3.800,0 0		
Trave Acciaio 30a-46a	0%	-	-	1464	-	10.35[V]	PLS	Max	15.163	122.755	0,000	950,00	10 10	425.238
			1464					Min	15.163	122.755	0,000	950,00		
	25,0%	-	-	823	-	18.42[V]	PLS	Max	15.163	122.755	0,000	950,00	10 10	425.238
			1100					Min	15.163	122.755	0,000	950,00		

Travi (AC) - Verifiche a pressoflessione deviata

Id _{Tr}	%L _{L1}	N _{Ed}	V _{Ed}	M _{Ed,3}	M _{Ed,2}	CS	Tp Vr	max/m in	M _{c,Rd}	V _{c,Rd}	ρ	A _v	t _w	N _{pl,Rd}	
	[%]		[N]	[N]	[N-m]				[N-m]	[N-m]		[N]	[cm ²]		[mm]
	50,0%	-	-	365	-	41.53[V]	PLS	Max	15.163	122.755	0,000	950,00	10	425.238	
			Min					15.163	122.755	0,000		950,00	10		
	75,0%	-	-	91	-	NS	PLS	Max	15.163	122.755	0,000	950,00	10	425.238	
			Min					15.163	122.755	0,000		950,00	10		
	100%	18	-	17	-2	-	NS	PLS	Max	15.163	122.755	0,000	950,00	10	425.238
				11					Min	15.163	122.755		0,000	950,00	
Trave Acciaio 3-44a	0%	-	-	1464	-	10.35[V]	PLS	Max	15.163	122.755	0,000	950,00	10	425.238	
			1464					Min	15.163	122.755		0,000	950,00		10
	25,0%	-	-	824	-	18.39[V]	PLS	Max	15.163	122.755	0,000	950,00	10	425.238	
			1097					Min	15.163	122.755		0,000	950,00		10
	50,0%	-	-	367	-	41.32[V]	PLS	Max	15.163	122.755	0,000	950,00	10	425.238	
			732					Min	15.163	122.755		0,000	950,00		10
75,0%	-	-	92	-	NS	PLS	Max	15.163	122.755	0,000	950,00	10	425.238		
		365					Min	15.163	122.755		0,000	950,00		10	
100,0 %	15	-	11	-2	-	NS	PLS	Max	15.163	122.755	0,000	950,00	10	425.238	
			13					Min	15.163	122.755		0,000	950,00		10
Trave Acciaio 29a-45a	0%	-	-	1464	-	10.35[V]	PLS	Max	15.163	122.755	0,000	950,00	10	425.238	
			1464					Min	15.163	122.755		0,000	950,00		10
	25,0%	-	-	823	-	18.42[V]	PLS	Max	15.163	122.755	0,000	950,00	10	425.238	
			1100					Min	15.163	122.755		0,000	950,00		10
	50,0%	-	-	365	-	41.53[V]	PLS	Max	15.163	122.755	0,000	950,00	10	425.238	
			732					Min	15.163	122.755		0,000	950,00		10
75,0%	-	-	91	-	NS	PLS	Max	15.163	122.755	0,000	950,00	10	425.238		
		367					Min	15.163	122.755		0,000	950,00		10	
100%	14	-	14	-2	-	NS	PLS	Max	15.163	122.755	0,000	950,00	10	425.238	
			10					Min	15.163	122.755		0,000	950,00		10
Trave Acciaio 3-29a	0%	-	-	8769	-	13.83[V]	PLS	Max	121.305	491.023	0,000	3.800,0 0	20	1.700.952	
			7217					Min	121.305	491.023		0,000	3.800,0 0		20
	25,0%	-	-	7276	-	16.67[V]	PLS	Max	121.305	491.023	0,000	3.800,0 0	20	1.700.952	
			7055					Min	121.305	491.023		0,000	3.800,0 0		20
	50,0%	-	-	5821	-	20.83[V]	PLS	Max	121.305	491.023	0,000	3.800,0 0	20	1.700.952	
			6894					Min	121.305	491.023		0,000	3.800,0 0		20
	75,0%	-	-	4396	-	27.58[V]	PLS	Max	121.305	491.023	0,000	3.800,0 0	20	1.700.952	
			6731					Min	121.305	491.023		0,000	3.800,0 0		20
	100%	-	-	3007	-	40.34[V]	PLS	Max	121.305	491.023	0,000	3.800,0 0	20	1.700.952	
			6569					Min	121.305	491.023		0,000	3.800,0 0		20
Trave Acciaio 2a-18a	0%	42	21	2	-	NS	PLS	Max	15.163	122.755	0,000	950,00	10	425.238	
			11					Min	15.163	122.755		0,000	950,00		10
	25,0%	-	-	92	-	NS	PLS	Max	15.163	122.755	0,000	950,00	10	425.238	
			-367					Min	15.163	122.755		0,000	950,00		10
	50,0%	-	-	367	-	41.32[V]	PLS	Max	15.163	122.755	0,000	950,00	10	425.238	
			-732					Min	15.163	122.755		0,000	950,00		10
75,0%	-	-	824	-	18.39[V]	PLS	Max	15.163	122.755	0,000	950,00	10	425.238		
		-1100					Min	15.163	122.755		0,000	950,00		10	
100,0 %	-	-	1464	-	10.35[V]	PLS	Max	15.163	122.755	0,000	950,00	10	425.238		
		-1464					Min	15.163	122.755		0,000	950,00		10	
Trave Acciaio 3a-1	0%	40	21	2	-	NS	PLS	Max	15.163	122.755	0,000	950,00	10	425.238	
			10					Min	15.163	122.755		0,000	950,00		10
	25,0%	-	-	92	-	NS	PLS	Max	15.163	122.755	0,000	950,00	10	425.238	
			-367					Min	15.163	122.755		0,000	950,00		10
	50,0%	-	-	367	-	41.32[V]	PLS	Max	15.163	122.755	0,000	950,00	10	425.238	
			-732					Min	15.163	122.755		0,000	950,00		10
75,0%	-	-	824	-	18.39[V]	PLS	Max	15.163	122.755	0,000	950,00	10	425.238		
		-1100					Min	15.163	122.755		0,000	950,00		10	
100,0 %	-	-	1464	-	10.35[V]	PLS	Max	15.163	122.755	0,000	950,00	10	425.238		
		-1464					Min	15.163	122.755		0,000	950,00		10	
Trave Acciaio 4a-19a	0%	39	26	-	-	NS	PLS	Max	15.163	122.755	0,000	950,00	10	425.238	
			12					Min	15.163	122.755		0,000	950,00		10
	25,0%	-	-	91	-	NS	PLS	Max	15.163	122.755	0,000	950,00	10	425.238	
			-365					Min	15.163	122.755		0,000	950,00		10
	50,0%	-	-	365	-	41.53[V]	PLS	Max	15.163	122.755	0,000	950,00	10	425.238	
			-732					Min	15.163	122.755		0,000	950,00		10
75,0%	-	-	823	-	18.42[V]	PLS	Max	15.163	122.755	0,000	950,00	10	425.238		
		-1097					Min	15.163	122.755		0,000	950,00		10	
100%	-	-	1464	-	10.35[V]	PLS	Max	15.163	122.755	0,000	950,00	10	425.238		
		-1464					Min	15.163	122.755		0,000	950,00		10	
Trave Acciaio 5a-20a	0%	46	19	2	-	NS	PLS	Max	15.163	122.755	0,000	950,00	10	425.238	
			10					Min	15.163	122.755		0,000	950,00		10
	25,0%	-	-	92	-	NS	PLS	Max	15.163	122.755	0,000	950,00	10	425.238	
-367			Min					15.163	122.755	0,000		950,00	10		
50,0%	-	-	367	-	41.32[PLS	Max	15.163	122.755	0,000	950,00	10	425.238		

Travi (AC) - Verifiche a pressoflessione deviata

Id _{Tr}	%L _{L1}	N _{Ed}	V _{Ed}	M _{Ed,3}	M _{Ed,2}	CS	Tp Vr	max/m in	M _{c,Rd}	V _{c,Rd}	ρ	A _v	t _w	N _{pl,Rd}
	[%]	[N]	[N]	[N-m]	[N-m]				[N-m]	[N]		[cm ²]	[mm]	
Trave Acciaio 6a-21a	75,0%	-	-732	824	-	18.39[V]	PLS	Min	15.163	122.755	0,000	950,00	10	425.238
			Max					15.163	122.755	950,00		10		
	100,0%	-	-1100	1464	-	10.35[V]	PLS	Min	15.163	122.755	0,000	950,00	10	425.238
			Max					15.163	122.755	950,00		10		
	0%	43	21	2	-	NS	PLS	Max	15.163	122.755	0,000	950,00	10	425.238
			10					15.163	122.755	950,00		10		
	25,0%	-	-	92	-	NS	PLS	Max	15.163	122.755	0,000	950,00	10	425.238
			-367					15.163	122.755	950,00		10		
	50,0%	-	-	367	-	41.32[V]	PLS	Max	15.163	122.755	0,000	950,00	10	425.238
			-732					15.163	122.755	950,00		10		
75,0%	-	-	824	-	18.39[V]	PLS	Max	15.163	122.755	0,000	950,00	10	425.238	
		-1100					15.163	122.755	950,00		10			
100,0%	-	-	1464	-	10.35[V]	PLS	Max	15.163	122.755	0,000	950,00	10	425.238	
		-1464					15.163	122.755	950,00		10			
Trave Acciaio 7a-22a	0%	34	25	1	-	NS	PLS	Max	15.163	122.755	0,000	950,00	10	425.238
			10					15.163	122.755	950,00		10		
	25,0%	-	-	92	-	NS	PLS	Max	15.163	122.755	0,000	950,00	10	425.238
			-367					15.163	122.755	950,00		10		
	50,0%	-	-	367	-	41.32[V]	PLS	Max	15.163	122.755	0,000	950,00	10	425.238
			-732					15.163	122.755	950,00		10		
	75,0%	-	-	824	-	18.39[V]	PLS	Max	15.163	122.755	0,000	950,00	10	425.238
			-1100					15.163	122.755	950,00		10		
	100,0%	-	-	1464	-	10.35[V]	PLS	Max	15.163	122.755	0,000	950,00	10	425.238
			-1464					15.163	122.755	950,00		10		
Trave Acciaio 8a-23a	0%	25	20	-	-	NS	PLS	Max	15.163	122.755	0,000	950,00	10	425.238
			11					15.163	122.755	950,00		10		
	25,0%	-	-	92	-	NS	PLS	Max	15.163	122.755	0,000	950,00	10	425.238
			-367					15.163	122.755	950,00		10		
	50,0%	-	-	367	-	41.32[V]	PLS	Max	15.163	122.755	0,000	950,00	10	425.238
			-732					15.163	122.755	950,00		10		
	75,0%	-	-	824	-	18.39[V]	PLS	Max	15.163	122.755	0,000	950,00	10	425.238
			-1100					15.163	122.755	950,00		10		
	100,0%	-	-	1464	-	10.35[V]	PLS	Max	15.163	122.755	0,000	950,00	10	425.238
			-1464					15.163	122.755	950,00		10		
Trave Acciaio 9a-24a	0%	26	26	-	-	NS	PLS	Max	15.163	122.755	0,000	950,00	10	425.238
			10					15.163	122.755	950,00		10		
	25,0%	-	-	92	-	NS	PLS	Max	15.163	122.755	0,000	950,00	10	425.238
			-367					15.163	122.755	950,00		10		
	50,0%	-	-	367	-	41.32[V]	PLS	Max	15.163	122.755	0,000	950,00	10	425.238
			-732					15.163	122.755	950,00		10		
	75,0%	-	-	824	-	18.39[V]	PLS	Max	15.163	122.755	0,000	950,00	10	425.238
			-1100					15.163	122.755	950,00		10		
	100,0%	-	-	1464	-	10.35[V]	PLS	Max	15.163	122.755	0,000	950,00	10	425.238
			-1464					15.163	122.755	950,00		10		
Trave Acciaio 10a-25a	0%	31	26	-	-	NS	PLS	Max	15.163	122.755	0,000	950,00	10	425.238
			11					15.163	122.755	950,00		10		
	25,0%	-	-	92	-	NS	PLS	Max	15.163	122.755	0,000	950,00	10	425.238
			-367					15.163	122.755	950,00		10		
	50,0%	-	-	367	-	41.32[V]	PLS	Max	15.163	122.755	0,000	950,00	10	425.238
			-732					15.163	122.755	950,00		10		
	75,0%	-	-	824	-	18.39[V]	PLS	Max	15.163	122.755	0,000	950,00	10	425.238
			-1100					15.163	122.755	950,00		10		
	100,0%	-	-	1464	-	10.35[V]	PLS	Max	15.163	122.755	0,000	950,00	10	425.238
			-1464					15.163	122.755	950,00		10		
Trave Acciaio 11a-26a	0%	39	19	-	-	NS	PLS	Max	15.163	122.755	0,000	950,00	10	425.238
			11					15.163	122.755	950,00		10		
	25,0%	-	-	92	-	NS	PLS	Max	15.163	122.755	0,000	950,00	10	425.238
			-367					15.163	122.755	950,00		10		
	50,0%	-	-	367	-	41.32[V]	PLS	Max	15.163	122.755	0,000	950,00	10	425.238
			-732					15.163	122.755	950,00		10		
	75,0%	-	-	824	-	18.39[V]	PLS	Max	15.163	122.755	0,000	950,00	10	425.238
			-1100					15.163	122.755	950,00		10		
	100,0%	-	-	1464	-	10.35[V]	PLS	Max	15.163	122.755	0,000	950,00	10	425.238
			-1464					15.163	122.755	950,00		10		
Trave Acciaio 12a-27a	0%	42	20	-	-	NS	PLS	Max	15.163	122.755	0,000	950,00	10	425.238
			10					15.163	122.755	950,00		10		
	25,0%	-	-	92	-	NS	PLS	Max	15.163	122.755	0,000	950,00	10	425.238
			-367					15.163	122.755	950,00		10		
	50,0%	-	-	367	-	41.32[V]	PLS	Max	15.163	122.755	0,000	950,00	10	425.238
			-732					15.163	122.755	950,00		10		
	75,0%	-	-	824	-	18.39[V]	PLS	Max	15.163	122.755	0,000	950,00	10	425.238
			-1100					15.163	122.755	950,00		10		
	100,0%	-	-	1464	-	10.35[V]	PLS	Max	15.163	122.755	0,000	950,00	10	425.238
			-1464					15.163	122.755	950,00		10		
Trave Acciaio 13a-28a	0%	36	27	1	-	NS	PLS	Max	15.163	122.755	0,000	950,00	10	425.238
			12					15.163	122.755	950,00		10		
	25,0%	-	-	91	-	NS	PLS	Max	15.163	122.755	0,000	950,00	10	425.238
			-365					15.163	122.755	950,00		10		
	50,0%	-	-	365	-	41.53[V]	PLS	Max	15.163	122.755	0,000	950,00	10	425.238

Travi (AC) - Verifiche a pressoflessione deviata

Id _{Tr}	%L _{Li}	N _{Ed}	V _{Ed}	M _{Ed,3}	M _{Ed,2}	CS	Tp Vr	max/m in	M _{c,Rd}	V _{c,Rd}	ρ	A _v	t _w	N _{pl,Rd}		
	[%]	[N]	[N]	[N-m]	[N-m]				[N-m]	[N]		[N]			[cm ²]	[mm]
Trave Acciaio 14a-3	75,0%	-	-732	823	-	18.42[V]	PLS	Min	15.163	122.755	0,000	950,00	10	425.238		
			Max					15.163	122.755	950,00						
	100%	-	-1097	1464	-	10.35[V]	PLS	Min	15.163	122.755	0,000	950,00	10			
			Max					15.163	122.755	950,00						
Trave Acciaio 14a-3	0%	39	19	2	-	NS	PLS	Max	15.163	122.755	0,000	950,00	10	425.238		
			13					92	-	NS		Min			15.163	122.755
	25,0%	-	-367	367	-	41.32[V]	PLS				Max	15.163	122.755		0,000	950,00
			Min					15.163	122.755	950,00						
	50,0%	-	-	-732	824	-	18.39[V]	PLS	Max	15.163	122.755	0,000	950,00		10	
									Min	15.163	122.755		950,00			
75,0%	-	-	-1100	1464	-	10.35[V]	PLS	Max	15.163	122.755	0,000	950,00	10			
								Min	15.163	122.755		950,00				
100,0 %	-	-	-1464	-	-	-	-	Max	15.163	122.755	0,000	950,00	10			
								Min	15.163	122.755		950,00				
Trave Acciaio 28a-3	0%	944	-	-452	-	NS	PLS	Max	121.305	491.023	0,000	3.800,00	20	1.700.952		
			-3711					762	-	NS		Min			121.305	491.023
	25,0%	944	-	4288	-	28.28[V]	PLS				Max	121.305	491.023		0,000	3.800,00
			-3957					6941	-	17.48[V]	PLS	Max	121.305			491.023
	50,0%	1592	2	9678	-	12.52[V]	PLS					Max	121.305		491.023	0,000
			-8270					1592	2	9678	-	12.52[V]	PLS		Max	
	75,0%	1592	-8516	2	-	-	-								-	-
			100,0 %					1592	-8762	2	-	-	-			
	Trave Acciaio 15a-29a	0%		42	22	2	-		NS						PLS	Max
			10		92			-		NS	Min	15.163	122.755			950,00
25,0%		-	-	367		-	41.32[V]		PLS		Max	15.163	122.755	0,000	950,00	10
			-367		824			-		18.39[V]	PLS	Max	15.163		122.755	
50,0%		-	-	1464		-	10.35[V]		PLS			Max	15.163	122.755	0,000	950,00
			-732		1592			2		9678	-	12.52[V]	PLS	Max		15.163
75,0%	-	-	1464	-		-	-		-					-	-	-
		100,0 %			-			-		1464	-	-	-			
Trave Acciaio 16a-30a	0%		50	25		2	-	NS	PLS					Max	15.163	122.755
		11		92	-					NS	Min	15.163	122.755	950,00		
	25,0%	-	-			367	-	41.32[V]	PLS		Max	15.163	122.755	0,000	950,00	10
			-367	824	-					18.39[V]	PLS	Max	15.163		122.755	
	50,0%	-	-			1464	-	10.35[V]	PLS			Max	15.163	122.755	0,000	950,00
			-732	1592	2					9678	-	12.52[V]	PLS	Max		15.163
75,0%	-	-	1464			-	-	-	-					-	-	-
		100,0 %		-	-					1464	-	-	-			

LEGENDA:

- Id_{Tr}** Identificativo della trave. L'eventuale lettera tra parentesi distingue i diversi tratti della travata al livello considerato.
- %L_{Li}** Posizione della sezione per la quale vengono forniti i valori di verifica, valutata come % della lunghezza libera d'inflessione (L_{Li}), a partire dall'estremo iniziale.
- N_{Ed}** Sforzo normale di progetto.
- V_{Ed}** Taglio di progetto utilizzato per il calcolo di ρ.
- M_{Ed,3}** Momento flettente di progetto intorno a 3.
- M_{Ed,2}** Momento flettente di progetto intorno a 2.
- CS** Coefficiente di sicurezza ([NS] = Non Significativo se CS ≥ 100; [VNR]= Verifica Non Richiesta; Informazioni aggiuntive sulla condizione: [V] = statica; [E] = eccezionale; [S] = sismica; [N] = sismica non lineare).
- Tp Vr** Tipo di verifica considerata: "PLS" = con Modulo di resistenza plastico; "ELA" = con modulo di resistenza elastico; "EFF" = con modulo di resistenza efficace.
- M_{c,Rd}** Momento resistente.
- V_{c,Rd}** Taglio resistente.
- ρ** Coefficiente riduttivo per presenza di taglio.
- A_v** Area resistente a taglio.
- t_w** Spessore Anima.
- N_{pl,Rd}** Resistenza plastica a Sforzo Normale.

TRAVI (AC) - VERIFICHE A TAGLIO (Elevazione) per pressoflessione deviata allo SLU

Id _{Tr}	%L _{Li}	CS	A _v	τ _{T,Ed}	V _{Ed}	V _{c,Rd}	P. Vrf.
	[%]						
Piano Terra							
Trave Acciaio 18a-1	0%	83,13	3.800	1,00	-5.861	487.218	Piano XX
	25,0%	80,93	3.800	1,00	-6.020	487.218	Piano XX
	50,0%	78,86	3.800	1,00	-6.178	487.218	Piano XX
	75,0%	76,90	3.800	1,00	-6.336	487.218	Piano XX

Travi (AC) - Verifiche a taglio

Id _{Tr}	%L _{Lt}	CS	A _v	τ _{T,Ed}	V _{Ed}	V _{c,Rd}	P. Vrf.
	[%]		[mm ²]	[N/mm ²]	[N]	[N]	
Trave Acciaio 23a-2	100%	75,03	3.800	1,00	-6.494	487.218	Piano XX
	0%	44,81	3.800	0,01	-10.956	490.975	Piano XX
	25,2%	44,62	3.800	0,01	-11.003	490.975	Piano XX
	50,0%	44,43	3.800	0,01	-11.050	490.975	Piano XX
	75,1%	44,24	3.800	0,01	-11.097	490.975	Piano XX
	99,9%	44,05	3.800	0,01	-11.145	490.975	Piano XX
Trave Acciaio 29a-30a	0%	NS	3.800	0,00	3.640	491.023	Piano XX
	25,0%	NS	3.800	0,00	3.462	491.023	Piano XX
	50,0%	NS	3.800	0,00	3.285	491.023	Piano XX
	75,0%	NS	3.800	0,00	3.107	491.023	Piano XX
	100%	NS	3.800	0,00	2.929	491.023	Piano XX
	Trave Acciaio 17a-31a	0%	83,85	950	0,00	1.464	122.755
25,0%		NS	950	0,00	1.100	122.755	Piano XX
50,0%		NS	950	0,00	732	122.755	Piano XX
75,0%		NS	950	0,00	367	122.755	Piano XX
100%		NS	950	0,00	40	122.755	Piano YY
Trave Acciaio 1a-17a		0%	NS	950	0,00	40	122.755
	25,0%	NS	950	0,00	-184	122.755	Piano XX
	50,0%	NS	950	0,00	-370	122.755	Piano XX
	75,0%	NS	950	0,00	-554	122.755	Piano XX
	100%	NS	950	0,00	-741	122.755	Piano XX
	Trave Acciaio 17a-18a	0%	NS	3.800	1,00	-2.206	487.218
25,0%		NS	3.800	1,00	-2.388	487.218	Piano XX
50,0%		NS	3.800	1,00	-2.570	487.218	Piano XX
75,0%		NS	3.800	1,00	-2.752	487.218	Piano XX
100,0%		NS	3.800	1,00	-2.932	487.218	Piano XX
Trave Acciaio 1-33a		0%	83,85	950	0,00	1.464	122.755
	25,0%	NS	950	0,00	1.097	122.755	Piano XX
	50,0%	NS	950	0,00	732	122.755	Piano XX
	75,0%	NS	950	0,00	365	122.755	Piano XX
	100,0%	NS	950	0,00	44	122.755	Piano YY
	Trave Acciaio 18a-32a	0%	83,85	950	0,00	1.464	122.755
25,0%		NS	950	0,00	1.097	122.755	Piano XX
50,0%		NS	950	0,00	732	122.755	Piano XX
75,0%		NS	950	0,00	365	122.755	Piano XX
100,0%		NS	950	0,00	39	122.734	Piano YY
Trave Acciaio 19a-34a		0%	83,85	950	0,00	1.464	122.755
	25,0%	NS	950	0,00	1.097	122.755	Piano XX
	50,0%	NS	950	0,00	732	122.755	Piano XX
	75,0%	NS	950	0,00	365	122.755	Piano XX
	100,0%	NS	950	0,02	42	122.734	Piano YY
	Trave Acciaio 1-19a	0%	61,96	3.800	0,01	7.924	490.975
25,0%		63,89	3.800	0,01	7.685	490.975	Piano XX
50,0%		65,93	3.800	0,01	7.447	490.975	Piano XX
75,0%		68,12	3.800	0,01	7.208	490.975	Piano XX
100%		70,45	3.800	0,01	6.969	490.975	Piano XX
Trave Acciaio 20a-35a		0%	83,85	950	0,00	1.464	122.755
	25,0%	NS	950	0,00	1.100	122.755	Piano XX
	50,0%	NS	950	0,00	732	122.755	Piano XX
	75,0%	NS	950	0,00	367	122.755	Piano XX
	100%	NS	950	0,02	38	122.734	Piano YY
	Trave Acciaio 19a-20a	0%	NS	3.800	0,01	4.040	490.975
25,0%		NS	3.800	0,01	3.831	490.975	Piano XX
50,0%		NS	3.800	0,01	3.621	490.975	Piano XX
75,0%		NS	3.800	0,01	3.413	490.975	Piano XX
100%		NS	3.800	0,01	3.204	490.975	Piano XX
Trave Acciaio 21a-36a		0%	83,85	950	0,00	1.464	122.755
	25,0%	NS	950	0,00	1.097	122.755	Piano XX
	50,0%	NS	950	0,00	732	122.755	Piano XX
	75,0%	NS	950	0,00	365	122.755	Piano XX
	100,0%	NS	950	0,02	41	122.734	Piano YY
	Trave Acciaio 20a-21a	0%	NS	3.800	0,00	439	491.012
25,0%		NS	3.800	0,00	278	491.012	Piano XX
50,0%		NS	3.800	0,00	-193	491.012	Piano XX
75,0%		NS	3.800	0,00	-353	491.012	Piano XX
100%		NS	3.800	0,01	-561	490.975	Piano XX
Trave Acciaio 22a-37a		0%	83,85	950	0,00	1.464	122.755
	25,0%	NS	950	0,00	1.097	122.755	Piano XX
	50,0%	NS	950	0,00	732	122.755	Piano XX
	75,0%	NS	950	0,00	365	122.755	Piano XX
	100,0%	NS	950	0,02	40	122.734	Piano YY
	Trave Acciaio 21a-22a	0%	NS	3.800	0,01	-3.491	490.975
25,0%		NS	3.800	0,01	-3.700	490.975	Piano XX
50,0%		NS	3.800	0,01	-3.909	490.975	Piano XX
75,0%		NS	3.800	0,01	-4.117	490.975	Piano XX
100%		NS	3.800	0,01	-4.327	490.975	Piano XX
Trave Acciaio 23a-38a		0%	83,85	950	0,00	1.464	122.755
	25,0%	NS	950	0,00	1.100	122.755	Piano XX
	50,0%	NS	950	0,00	732	122.755	Piano XX
	75,0%	NS	950	0,00	367	122.755	Piano XX
	100%	NS	950	0,02	41	122.734	Piano YY
	Trave Acciaio 22a-23a	0%	67,67	3.800	0,01	-7.255	490.975
25,0%		65,92	3.800	0,01	-7.448	490.975	Piano XX
50,0%		64,25	3.800	0,01	-7.642	490.975	Piano XX
75,0%		62,67	3.800	0,01	-7.834	490.975	Piano XX
100%		61,16	3.800	0,01	-8.028	490.975	Piano XX

Travi (AC) - Verifiche a taglio

Id _{Tr}	%L _{Lt} [%]	CS	A _v [mm ²]	τ _{T,Ed} [N/mm ²]	V _{Ed} [N]	V _{c,Rd} [N]	P. Vrf.
Trave Acciaio 24a-39a	0%	83,85	950	0,00	1.464	122.755	Piano XX
	25,0%	NS	950	0,00	1.100	122.755	Piano XX
	50,0%	NS	950	0,00	732	122.755	Piano XX
	75,0%	NS	950	0,00	367	122.755	Piano XX
	100%	NS	950	0,02	44	122.734	Piano YY
Trave Acciaio 2-24a	0%	47,68	3.800	0,00	10.298	491.023	Piano XX
	25,0%	48,33	3.800	0,00	10.159	491.023	Piano XX
	50,0%	49,00	3.800	0,00	10.020	491.023	Piano XX
	75,0%	49,69	3.800	0,00	9.881	491.023	Piano XX
	100,0%	50,40	3.800	0,00	9.742	491.023	Piano XX
Trave Acciaio 25a-40a	0%	83,85	950	0,00	1.464	122.755	Piano XX
	25,0%	NS	950	0,00	1.100	122.755	Piano XX
	50,0%	NS	950	0,00	732	122.755	Piano XX
	75,0%	NS	950	0,00	367	122.755	Piano XX
	100%	NS	950	0,02	44	122.734	Piano YY
Trave Acciaio 24a-25a	0%	72,06	3.800	0,00	6.814	491.023	Piano XX
	25,0%	73,96	3.800	0,00	6.639	491.023	Piano XX
	50,0%	75,99	3.800	0,00	6.462	491.023	Piano XX
	75,0%	78,10	3.800	0,00	6.287	491.023	Piano XX
	100%	80,35	3.800	0,00	6.111	491.023	Piano XX
Trave Acciaio 26a-41a	0%	83,85	950	0,00	1.464	122.755	Piano XX
	25,0%	NS	950	0,00	1.100	122.755	Piano XX
	50,0%	NS	950	0,00	732	122.755	Piano XX
	75,0%	NS	950	0,00	367	122.755	Piano XX
	100%	NS	950	0,02	39	122.734	Piano YY
Trave Acciaio 25a-26a	0%	NS	3.800	0,00	3.181	491.023	Piano XX
	25,0%	NS	3.800	0,00	2.982	491.023	Piano XX
	50,0%	NS	3.800	0,00	2.783	491.023	Piano XX
	75,0%	NS	3.800	0,00	2.584	491.023	Piano XX
	100%	NS	3.800	0,00	2.385	491.023	Piano XX
Trave Acciaio 27a-42a	0%	83,85	950	0,00	1.464	122.755	Piano XX
	25,0%	NS	950	0,00	1.100	122.755	Piano XX
	50,0%	NS	950	0,00	732	122.755	Piano XX
	75,0%	NS	950	0,00	367	122.755	Piano XX
	100%	NS	950	0,02	40	122.734	Piano YY
Trave Acciaio 26a-27a	0%	NS	3.800	0,00	-546	491.023	Piano XX
	25,0%	NS	3.800	0,00	-723	491.023	Piano XX
	50,0%	NS	3.800	0,00	-902	491.023	Piano XX
	75,0%	NS	3.800	0,00	-1.081	491.023	Piano XX
	100%	NS	3.800	0,00	-1.261	491.023	Piano XX
Trave Acciaio 28a-43a	0%	83,85	950	0,00	1.464	122.755	Piano XX
	25,0%	NS	950	0,00	1.100	122.755	Piano XX
	50,0%	NS	950	0,00	732	122.755	Piano XX
	75,0%	NS	950	0,00	367	122.755	Piano XX
	100%	NS	950	0,02	41	122.734	Piano YY
Trave Acciaio 27a-28a	0%	NS	3.800	0,00	-4.190	491.023	Piano XX
	25,0%	NS	3.800	0,00	-4.355	491.023	Piano XX
	50,0%	NS	3.800	0,00	-4.520	491.023	Piano XX
	75,0%	NS	3.800	0,00	-4.685	491.023	Piano XX
	100%	NS	3.800	0,00	-4.850	491.023	Piano XX
Trave Acciaio 30a-46a	0%	83,85	950	0,00	1.464	122.755	Piano XX
	25,0%	NS	950	0,00	1.100	122.755	Piano XX
	50,0%	NS	950	0,00	732	122.755	Piano XX
	75,0%	NS	950	0,00	367	122.755	Piano XX
	100%	NS	950	0,00	42	122.755	Piano YY
Trave Acciaio 3-44a	0%	83,85	950	0,00	1.464	122.755	Piano XX
	25,0%	NS	950	0,00	1.097	122.755	Piano XX
	50,0%	NS	950	0,00	732	122.755	Piano XX
	75,0%	NS	950	0,00	365	122.755	Piano XX
	100,0%	NS	950	0,02	42	122.734	Piano YY
Trave Acciaio 29a-45a	0%	83,85	950	0,00	1.464	122.755	Piano XX
	25,0%	NS	950	0,00	1.100	122.755	Piano XX
	50,0%	NS	950	0,00	732	122.755	Piano XX
	75,0%	NS	950	0,00	367	122.755	Piano XX
	100%	NS	950	0,02	39	122.734	Piano YY
Trave Acciaio 3-29a	0%	68,04	3.800	0,00	7.217	491.023	Piano XX
	25,0%	69,60	3.800	0,00	7.055	491.023	Piano XX
	50,0%	71,22	3.800	0,00	6.894	491.023	Piano XX
	75,0%	72,95	3.800	0,00	6.731	491.023	Piano XX
	100%	74,75	3.800	0,00	6.569	491.023	Piano XX
Trave Acciaio 2a-18a	0%	NS	950	0,02	39	122.734	Piano YY
	25,0%	NS	950	0,00	-367	122.755	Piano XX
	50,0%	NS	950	0,00	-732	122.755	Piano XX
	75,0%	NS	950	0,00	-1.100	122.755	Piano XX
	100,0%	83,85	950	0,00	-1.464	122.755	Piano XX
Trave Acciaio 3a-1	0%	NS	950	0,00	44	122.755	Piano YY
	25,0%	NS	950	0,00	-367	122.755	Piano XX
	50,0%	NS	950	0,00	-732	122.755	Piano XX
	75,0%	NS	950	0,00	-1.100	122.755	Piano XX
	100,0%	83,85	950	0,00	-1.464	122.755	Piano XX
Trave Acciaio 4a-19a	0%	NS	950	0,02	42	122.734	Piano YY
	25,0%	NS	950	0,00	-365	122.755	Piano XX
	50,0%	NS	950	0,00	-732	122.755	Piano XX
	75,0%	NS	950	0,00	-1.097	122.755	Piano XX
	100%	83,85	950	0,00	-1.464	122.755	Piano XX
Trave Acciaio 5a-20a	0%	NS	950	0,02	38	122.734	Piano YY

Travi (AC) - Verifiche a taglio

Id _{Tr}	%L _{Li} [%]	CS	A _v [mm ²]	τ _{T,Ed} [N/mm ²]	V _{Ed} [N]	V _{c,Rd} [N]	P. Vrf.
	25,0%	NS	950	0,00	-367	122.755	Piano XX
	50,0%	NS	950	0,00	-732	122.755	Piano XX
	75,0%	NS	950	0,00	-1.100	122.755	Piano XX
	100,0%	83,85	950	0,00	-1.464	122.755	Piano XX
Trave Acciaio 6a-21a	0%	NS	950	0,02	41	122.734	Piano YY
	25,0%	NS	950	0,00	-367	122.755	Piano XX
	50,0%	NS	950	0,00	-732	122.755	Piano XX
	75,0%	NS	950	0,00	-1.100	122.755	Piano XX
	100,0%	83,85	950	0,00	-1.464	122.755	Piano XX
Trave Acciaio 7a-22a	0%	NS	950	0,02	40	122.734	Piano YY
	25,0%	NS	950	0,00	-367	122.755	Piano XX
	50,0%	NS	950	0,00	-732	122.755	Piano XX
	75,0%	NS	950	0,00	-1.100	122.755	Piano XX
	100,0%	83,85	950	0,00	-1.464	122.755	Piano XX
Trave Acciaio 8a-23a	0%	NS	950	0,02	41	122.734	Piano YY
	25,0%	NS	950	0,00	-367	122.755	Piano XX
	50,0%	NS	950	0,00	-732	122.755	Piano XX
	75,0%	NS	950	0,00	-1.100	122.755	Piano XX
	100,0%	83,85	950	0,00	-1.464	122.755	Piano XX
Trave Acciaio 9a-24a	0%	NS	950	0,02	44	122.734	Piano YY
	25,0%	NS	950	0,00	-367	122.755	Piano XX
	50,0%	NS	950	0,00	-732	122.755	Piano XX
	75,0%	NS	950	0,00	-1.100	122.755	Piano XX
	100,0%	83,85	950	0,00	-1.464	122.755	Piano XX
Trave Acciaio 10a-25a	0%	NS	950	0,02	44	122.734	Piano YY
	25,0%	NS	950	0,00	-367	122.755	Piano XX
	50,0%	NS	950	0,00	-732	122.755	Piano XX
	75,0%	NS	950	0,00	-1.100	122.755	Piano XX
	100,0%	83,85	950	0,00	-1.464	122.755	Piano XX
Trave Acciaio 11a-26a	0%	NS	950	0,02	39	122.734	Piano YY
	25,0%	NS	950	0,00	-367	122.755	Piano XX
	50,0%	NS	950	0,00	-732	122.755	Piano XX
	75,0%	NS	950	0,00	-1.100	122.755	Piano XX
	100,0%	83,85	950	0,00	-1.464	122.755	Piano XX
Trave Acciaio 12a-27a	0%	NS	950	0,02	40	122.734	Piano YY
	25,0%	NS	950	0,00	-367	122.755	Piano XX
	50,0%	NS	950	0,00	-732	122.755	Piano XX
	75,0%	NS	950	0,00	-1.100	122.755	Piano XX
	100,0%	83,85	950	0,00	-1.464	122.755	Piano XX
Trave Acciaio 13a-28a	0%	NS	950	0,02	41	122.734	Piano YY
	25,0%	NS	950	0,00	-365	122.755	Piano XX
	50,0%	NS	950	0,00	-732	122.755	Piano XX
	75,0%	NS	950	0,00	-1.097	122.755	Piano XX
	100%	83,85	950	0,00	-1.464	122.755	Piano XX
Trave Acciaio 14a-3	0%	NS	950	0,02	42	122.734	Piano YY
	25,0%	NS	950	0,00	-367	122.755	Piano XX
	50,0%	NS	950	0,00	-732	122.755	Piano XX
	75,0%	NS	950	0,00	-1.100	122.755	Piano XX
	100,0%	83,85	950	0,00	-1.464	122.755	Piano XX
Trave Acciaio 28a-3	0%	63,12	3.800	0,00	-7.779	491.023	Piano XX
	25,0%	61,19	3.800	0,00	-8.025	491.023	Piano XX
	50,0%	59,37	3.800	0,00	-8.270	491.023	Piano XX
	75,0%	57,66	3.800	0,00	-8.516	491.023	Piano XX
	100,0%	56,04	3.800	0,00	-8.762	491.023	Piano XX
Trave Acciaio 15a-29a	0%	NS	950	0,02	39	122.734	Piano YY
	25,0%	NS	950	0,00	-367	122.755	Piano XX
	50,0%	NS	950	0,00	-732	122.755	Piano XX
	75,0%	NS	950	0,00	-1.100	122.755	Piano XX
	100,0%	83,85	950	0,00	-1.464	122.755	Piano XX
Trave Acciaio 16a-30a	0%	NS	950	0,00	42	122.755	Piano YY
	25,0%	NS	950	0,00	-367	122.755	Piano XX
	50,0%	NS	950	0,00	-732	122.755	Piano XX
	75,0%	NS	950	0,00	-1.100	122.755	Piano XX
	100,0%	83,85	950	0,00	-1.464	122.755	Piano XX

LEGENDA:

- Id_{Tr}** Identificativo della trave. L'eventuale lettera tra parentesi distingue i diversi tratti della travata al livello considerato.
- %L_{Li}** Posizione della sezione per la quale vengono forniti i valori di verifica, valutata come % della lunghezza libera d'inflessione (L_{Li}), a partire dall'estremo iniziale.
- CS** Coefficiente di sicurezza ([NS] = Non Significativo se CS ≥ 100; [VNR]= Verifica Non Richiesta; Informazioni aggiuntive sulla condizione: [V] = statica; [E] = eccezionale; [S] = sismica; [N] = sismica non lineare).
- A_v** Area resistente a taglio.
- τ_{T,Ed}** Tensione tangenziale di calcolo per torsione.
- V_{Ed}** Taglio di progetto.
- V_{c,Rd}** Taglio resistente.
- P. Vrf.** Piano di minima resistenza.

TRAVI - VERIFICA DI SNELLEZZA (Elevazione)

Travi - VERIFICA DI SNELLEZZA							
Id	P/S	L ₀ [mm]	i [mm]	λ ₀	λ _{0,lim}	CS	
Piano Terra				Piano Terra			
Trave Acciaio 18a-1	P	816	77,67	11	200	18,18	
Trave Acciaio 23a-2	P	242	77,67	3	200	66,67	
Trave Acciaio 29a-30a	P	916	77,67	12	200	16,67	
Trave Acciaio 17a-31a	P	2.000	38,84	51	200	3,92	

Travi - VERIFICA DI SNELLEZZA							
Id	P/S	Lo	i	λ_0	$\lambda_{0,lim}$	CS	
		[mm]	[mm]				
Trave Acciaio 1a-17a	P	2.000	38,84	51	200	3,92	
Trave Acciaio 17a-18a	P	937	77,67	12	200	16,67	
Trave Acciaio 1-33a	P	2.000	38,84	51	200	3,92	
Trave Acciaio 18a-32a	P	2.000	38,84	51	200	3,92	
Trave Acciaio 19a-34a	P	2.000	38,84	51	200	3,92	
Trave Acciaio 1-19a	P	1.231	77,67	16	200	12,50	
Trave Acciaio 20a-35a	P	2.000	38,84	51	200	3,92	
Trave Acciaio 19a-20a	P	1.078	77,67	14	200	14,29	
Trave Acciaio 21a-36a	P	2.000	38,84	51	200	3,92	
Trave Acciaio 20a-21a	P	1.078	77,67	14	200	14,29	
Trave Acciaio 22a-37a	P	2.000	38,84	51	200	3,92	
Trave Acciaio 21a-22a	P	1.078	77,67	14	200	14,29	
Trave Acciaio 23a-38a	P	2.000	38,84	51	200	3,92	
Trave Acciaio 22a-23a	P	995	77,67	13	200	15,38	
Trave Acciaio 24a-39a	P	2.000	38,84	51	200	3,92	
Trave Acciaio 2-24a	P	716	77,67	9	200	22,22	
Trave Acciaio 25a-40a	P	2.000	38,84	51	200	3,92	
Trave Acciaio 24a-25a	P	907	77,67	12	200	16,67	
Trave Acciaio 26a-41a	P	2.000	38,84	51	200	3,92	
Trave Acciaio 25a-26a	P	1.026	77,67	13	200	15,38	
Trave Acciaio 27a-42a	P	2.000	38,84	51	200	3,92	
Trave Acciaio 26a-27a	P	924	77,67	12	200	16,67	
Trave Acciaio 28a-43a	P	2.000	38,84	51	200	3,92	
Trave Acciaio 27a-28a	P	852	77,67	11	200	18,18	
Trave Acciaio 30a-46a	P	2.000	38,84	51	200	3,92	
Trave Acciaio 3-44a	P	2.000	38,84	51	200	3,92	
Trave Acciaio 29a-45a	P	2.000	38,84	51	200	3,92	
Trave Acciaio 3-29a	P	836	77,67	11	200	18,18	
Trave Acciaio 2a-18a	P	2.000	38,84	51	200	3,92	
Trave Acciaio 3a-1	P	2.000	38,84	51	200	3,92	
Trave Acciaio 4a-19a	P	2.000	38,84	51	200	3,92	
Trave Acciaio 5a-20a	P	2.000	38,84	51	200	3,92	
Trave Acciaio 6a-21a	P	2.000	38,84	51	200	3,92	
Trave Acciaio 7a-22a	P	2.000	38,84	51	200	3,92	
Trave Acciaio 8a-23a	P	2.000	38,84	51	200	3,92	
Trave Acciaio 9a-24a	P	2.000	38,84	51	200	3,92	
Trave Acciaio 10a-25a	P	2.000	38,84	51	200	3,92	
Trave Acciaio 11a-26a	P	2.000	38,84	51	200	3,92	
Trave Acciaio 12a-27a	P	2.000	38,84	51	200	3,92	
Trave Acciaio 13a-28a	P	2.000	38,84	51	200	3,92	
Trave Acciaio 14a-3	P	2.000	38,84	51	200	3,92	
Trave Acciaio 28a-3	P	1.266	77,67	16	200	12,50	
Trave Acciaio 15a-29a	P	2.000	38,84	51	200	3,92	
Trave Acciaio 16a-30a	P	2.000	38,84	51	200	3,92	

LEGENDA:

- Id** Identificativo dell'elemento.
- P/S** Tipologia trave acciaio: Principale (P) o Secondaria (S)
- Lo** Lunghezza di inflessione
- i** Raggio d'inerzia
- λ_0 Snellezza
- $\lambda_{0,lim}$ Snellezza limite
- CS** Coefficiente di sicurezza ([NS] = Non Significativo per valori di CS \geq 100; [VNR]= Verifica Non Richiesta).

TRAVI (AC) - VERIFICHE INSTABILITÀ A PRESSOFLESSIONE DEVIATA (Elevazione)

Travi (AC) - Verifiche instabilità a pressoflessione deviata																
Id _{Tr}	N _{eq,Ed}	M _{eq,Ed,3}	M _{eq,Ed,2}	CS	P. Vrf.	L _{Cr}	Dir	L _N	λ_{LT}	α	ϕ	χ	β	k _c	χ_{LT}	N _{cr}
	[N]	[N-m]	[N-m]			[m]		[m]								[N]
Piano Terra																
Trave Acciaio 18a-1	-	6.365	-	19,06	Piano YY	0,82	x-x	0,82	0,059	0,210	0,497	1,000	1,000	0,940	1,000	142.795.9
							y-y	0,82	0,067	0,210	0,497	1,000	1,000	1,000	1,000	35
Trave Acciaio 23a-2	1.333	8.940	-8	13,39	Piano YY	0,24	x-x	0,24	0,034	0,210	0,483	1,000	1,000	0,919	1,000	1.619.874
							y-y	0,24	0,037	0,210	0,483	1,000	1,000	1,000	1,000	.031
Trave Acciaio 29a-30a	-	2.255	-	53,79	Piano YY	0,92	x-x	0,92	0,063	0,210	0,500	1,000	1,000	0,940	1,000	113.337.7
							y-y	0,92	0,071	0,210	0,500	1,000	1,000	1,000	1,000	68
Trave Acciaio 17a-31a	-	1.098	-	13,81	Piano YY	2,00	x-x	2,00	0,131	0,210	0,687	0,909	1,000	0,940	1,000	1.484.944
							y-y	2,00	0,149	0,210	0,687	0,909	1,000	1,000	1,000	
Trave Acciaio 1a-17a	-	556	-	27,27	Piano YY	2,00	x-x	2,00	0,131	0,210	0,687	0,909	1,000	0,940	1,000	1.484.944
							y-y	2,00	0,149	0,210	0,687	0,909	1,000	1,000	1,000	
Trave Acciaio 17a-18a	-	1.807	-	67,13	Piano YY	0,94	x-x	0,94	0,064	0,210	0,501	1,000	1,000	0,940	1,000	108.216.7
							y-y	0,94	0,072	0,210	0,501	1,000	1,000	1,000	1,000	38
Trave Acciaio 1-33a	-	1.098	-	13,81	Piano YY	2,00	x-x	2,00	0,131	0,210	0,687	0,909	1,000	0,940	1,000	1.484.944
							y-y	2,00	0,149	0,210	0,687	0,909	1,000	1,000	1,000	
Trave Acciaio 18a-32a	-	1.098	-	13,81	Piano YY	2,00	x-x	2,00	0,131	0,210	0,687	0,909	1,000	0,940	1,000	1.484.944
							y-y	2,00	0,149	0,210	0,687	0,909	1,000	1,000	1,000	
Trave Acciaio 19a-34a	-	1.098	-	13,81	Piano YY	2,00	x-x	2,00	0,131	0,210	0,687	0,909	1,000	0,940	1,000	1.484.943
							y-y	2,00	0,149	0,210	0,687	0,909	1,000	1,000	1,000	
Trave Acciaio 1-19a	1.333	6.322	-1	18,85	Piano YY	1,23	x-x	1,23	0,073	0,210	0,511	1,000	1,000	0,910	1,000	62.745.92
							y-y	1,23	0,083	0,210	0,511	1,000	1,000	1,000	1,000	0
Trave Acciaio 20a-35a	-	1.098	-	13,81	Piano YY	2,00	x-x	2,00	0,131	0,210	0,687	0,909	1,000	0,940	1,000	1.484.944
							y-y	2,00	0,149	0,210	0,687	0,909	1,000	1,000	1,000	
Trave Acciaio 19a-20a	1.333	-3.565	-3	32,95	Piano YY	1,08	x-x	1,08	0,068	0,210	0,505	1,000	1,000	0,940	1,000	81.856.41
							y-y	1,08	0,077	0,210	0,505	1,000	1,000	1,000	1,000	4

Travi (AC) - Verifiche instabilità a pressoflessione deviata

Id _{Tr}	N _{eq,Ed}	M _{eq,Ed,3}	M _{eq,Ed,2}	CS	P. Vrf.	L _{Cr}	Dir	L _N	λ _{LT}	α	φ	χ	β	k _c	χ _{LT}	N _{Cr}
	[N]	[N-m]	[N-m]													
Trave Acciaio 21a-36a	-	1.098	-	13,81	Piano YY	2,00	x-x	2,00	0,131	0,210	0,687	0,909	1,000	0,940	1,000	1.484.944
							y-y	2,00	0,149	0,210	0,687	0,909	1,000	1,000	1,000	
Trave Acciaio 20a-21a	1.333	-4.680	-4	25,29	Piano YY	1,08	x-x	1,08	0,068	0,210	0,505	1,000	1,000	0,940	1,000	81.856.580
							y-y	1,08	0,077	0,210	0,505	1,000	1,000	1,000	1,000	
Trave Acciaio 22a-37a	-	1.098	-	13,81	Piano YY	2,00	x-x	2,00	0,131	0,210	0,687	0,909	1,000	0,940	1,000	1.484.943
							y-y	2,00	0,149	0,210	0,687	0,909	1,000	1,000	1,000	
Trave Acciaio 21a-22a	1.333	-3.360	-5	34,88	Piano YY	1,08	x-x	1,08	0,068	0,210	0,505	1,000	1,000	0,940	1,000	81.856.417
							y-y	1,08	0,077	0,210	0,505	1,000	1,000	1,000	1,000	
Trave Acciaio 23a-38a	-	1.098	-	13,81	Piano YY	2,00	x-x	2,00	0,131	0,210	0,687	0,909	1,000	0,940	1,000	1.484.944
							y-y	2,00	0,149	0,210	0,687	0,909	1,000	1,000	1,000	
Trave Acciaio 22a-23a	1.333	5.499	-7	21,59	Piano YY	0,99	x-x	0,99	0,066	0,210	0,503	1,000	1,000	0,910	1,000	96.076.146
							y-y	0,99	0,074	0,210	0,503	1,000	1,000	1,000	1,000	
Trave Acciaio 24a-39a	-	1.098	-	13,81	Piano YY	2,00	x-x	2,00	0,131	0,210	0,687	0,909	1,000	0,940	1,000	1.484.944
							y-y	2,00	0,149	0,210	0,687	0,909	1,000	1,000	1,000	
Trave Acciaio 2-24a	1.592	8.837	-7	13,51	Piano YY	0,72	x-x	0,72	0,056	0,210	0,494	1,000	1,000	0,940	1,000	185.246.315
							y-y	0,72	0,063	0,210	0,494	1,000	1,000	1,000	1,000	
Trave Acciaio 25a-40a	-	1.098	-	13,81	Piano YY	2,00	x-x	2,00	0,131	0,210	0,687	0,909	1,000	0,940	1,000	1.484.944
							y-y	2,00	0,149	0,210	0,687	0,909	1,000	1,000	1,000	
Trave Acciaio 24a-25a	1.592	2.426	-7	47,24	Piano YY	0,91	x-x	0,91	0,063	0,210	0,500	1,000	1,000	0,910	1,000	115.577.472
							y-y	0,91	0,071	0,210	0,500	1,000	1,000	1,000	1,000	
Trave Acciaio 26a-41a	-	1.098	-	13,81	Piano YY	2,00	x-x	2,00	0,131	0,210	0,687	0,909	1,000	0,940	1,000	1.484.944
							y-y	2,00	0,149	0,210	0,687	0,909	1,000	1,000	1,000	
Trave Acciaio 25a-26a	1.592	-5.333	-5	22,16	Piano YY	1,03	x-x	1,03	0,067	0,210	0,504	1,000	1,000	0,940	1,000	90.312.438
							y-y	1,03	0,075	0,210	0,504	1,000	1,000	1,000	1,000	
Trave Acciaio 27a-42a	-	1.098	-	13,81	Piano YY	2,00	x-x	2,00	0,131	0,210	0,687	0,909	1,000	0,940	1,000	1.484.944
							y-y	2,00	0,149	0,210	0,687	0,909	1,000	1,000	1,000	
Trave Acciaio 26a-27a	1.592	-5.479	-4	21,59	Piano YY	0,92	x-x	0,92	0,063	0,210	0,500	1,000	1,000	0,940	1,000	111.337.181
							y-y	0,92	0,072	0,210	0,500	1,000	1,000	1,000	1,000	
Trave Acciaio 28a-43a	-	1.098	-	13,81	Piano YY	2,00	x-x	2,00	0,131	0,210	0,687	0,909	1,000	0,940	1,000	1.484.944
							y-y	2,00	0,149	0,210	0,687	0,909	1,000	1,000	1,000	
Trave Acciaio 27a-28a	1.592	-3.581	-3	32,62	Piano YY	0,85	x-x	0,85	0,061	0,210	0,498	1,000	1,000	0,940	1,000	131.048.218
							y-y	0,85	0,069	0,210	0,498	1,000	1,000	1,000	1,000	
Trave Acciaio 30a-46a	-	1.098	-	13,81	Piano YY	2,00	x-x	2,00	0,131	0,210	0,687	0,909	1,000	0,940	1,000	1.484.944
							y-y	2,00	0,149	0,210	0,687	0,909	1,000	1,000	1,000	
Trave Acciaio 3-44a	-	1.098	-	13,81	Piano YY	2,00	x-x	2,00	0,131	0,210	0,687	0,909	1,000	0,940	1,000	1.484.944
							y-y	2,00	0,149	0,210	0,687	0,909	1,000	1,000	1,000	
Trave Acciaio 29a-45a	-	1.098	-	13,81	Piano YY	2,00	x-x	2,00	0,131	0,210	0,687	0,909	1,000	0,940	1,000	1.484.944
							y-y	2,00	0,149	0,210	0,687	0,909	1,000	1,000	1,000	
Trave Acciaio 3-29a	-	7.610	-	15,94	Piano YY	0,84	x-x	0,84	0,060	0,210	0,498	1,000	1,000	0,940	1,000	136.032.245
							y-y	0,84	0,068	0,210	0,498	1,000	1,000	1,000	1,000	
Trave Acciaio 2a-18a	-	1.098	-	13,81	Piano YY	2,00	x-x	2,00	0,131	0,210	0,687	0,909	1,000	0,940	1,000	1.484.944
							y-y	2,00	0,149	0,210	0,687	0,909	1,000	1,000	1,000	
Trave Acciaio 3a-1	-	1.098	-	13,81	Piano YY	2,00	x-x	2,00	0,131	0,210	0,687	0,909	1,000	0,940	1,000	1.484.944
							y-y	2,00	0,149	0,210	0,687	0,909	1,000	1,000	1,000	
Trave Acciaio 4a-19a	-	1.098	-	13,81	Piano YY	2,00	x-x	2,00	0,131	0,210	0,687	0,909	1,000	0,940	1,000	1.484.944
							y-y	2,00	0,149	0,210	0,687	0,909	1,000	1,000	1,000	
Trave Acciaio 5a-20a	-	1.098	-	13,81	Piano YY	2,00	x-x	2,00	0,131	0,210	0,687	0,909	1,000	0,940	1,000	1.484.943
							y-y	2,00	0,149	0,210	0,687	0,909	1,000	1,000	1,000	
Trave Acciaio 6a-21a	-	1.098	-	13,81	Piano YY	2,00	x-x	2,00	0,131	0,210	0,687	0,909	1,000	0,940	1,000	1.484.944
							y-y	2,00	0,149	0,210	0,687	0,909	1,000	1,000	1,000	
Trave Acciaio 7a-22a	-	1.098	-	13,81	Piano YY	2,00	x-x	2,00	0,131	0,210	0,687	0,909	1,000	0,940	1,000	1.484.943
							y-y	2,00	0,149	0,210	0,687	0,909	1,000	1,000	1,000	
Trave Acciaio 8a-23a	-	1.098	-	13,81	Piano YY	2,00	x-x	2,00	0,131	0,210	0,687	0,909	1,000	0,940	1,000	1.484.943
							y-y	2,00	0,149	0,210	0,687	0,909	1,000	1,000	1,000	
Trave Acciaio 9a-24a	-	1.098	-	13,81	Piano YY	2,00	x-x	2,00	0,131	0,210	0,687	0,909	1,000	0,940	1,000	1.484.943
							y-y	2,00	0,149	0,210	0,687	0,909	1,000	1,000	1,000	
Trave Acciaio 10a-25a	-	1.098	-	13,81	Piano YY	2,00	x-x	2,00	0,131	0,210	0,687	0,909	1,000	0,940	1,000	1.484.944
							y-y	2,00	0,149	0,210	0,687	0,909	1,000	1,000	1,000	
Trave Acciaio 11a-26a	-	1.098	-	13,81	Piano YY	2,00	x-x	2,00	0,131	0,210	0,687	0,909	1,000	0,940	1,000	1.484.943
							y-y	2,00	0,149	0,210	0,687	0,909	1,000	1,000	1,000	
Trave Acciaio 12a-27a	-	1.098	-	13,81	Piano YY	2,00	x-x	2,00	0,131	0,210	0,687	0,909	1,000	0,940	1,000	1.484.943
							y-y	2,00	0,149	0,210	0,687	0,909	1,000	1,000	1,000	
Trave Acciaio 13a-28a	-	1.098	-	13,81	Piano YY	2,00	x-x	2,00	0,131	0,210	0,687	0,909	1,000	0,940	1,000	1.484.944
							y-y	2,00	0,149	0,210	0,687	0,909	1,000	1,000	1,000	
Trave Acciaio 14a-3	-	1.098	-	13,81	Piano YY	2,00	x-x	2,00	0,131	0,210	0,687	0,909	1,000	0,940	1,000	1.484.944
							y-y	2,00	0,149	0,210	0,687	0,909	1,000	1,000	1,000	
Trave Acciaio 28a-3	1.592	7.258	-1	16,41	Piano YY	1,27	x-x	1,27	0,074	0,210	0,512	1,000	1,000	0,910	1,000	59.276.421
							y-y	1,27	0,084	0,210	0,512	1,000	1,000	1,000	1,000	
Trave Acciaio 15a-29a	-	1.098	-	13,81	Piano YY	2,00	x-x	2,00	0,131	0,210	0,687	0,909	1,000	0,940	1,000	1.484.944
							y-y	2,00	0,149	0,210	0,687	0,909	1,000	1,000	1,000	
Trave Acciaio 16a-30a	-	1.098	-	13,81	Piano YY	2,00	x-x	2,00	0,131	0,210	0,687	0,909	1,000	0,940	1,000	1.484.943
							y-y	2,00	0,149	0,210	0,687	0,909	1,000	1,000	1,000	

LEGENDA:

- Id_{Tr}** Identificativo della trave. L'eventuale lettera tra parentesi distingue i diversi tratti della travata al livello considerato.
- N_{eq,Ed}** Sforzo

Travi (AC) - Verifiche instabilità a pressoflessione deviata

Id _{Tr}	N _{eq,Ed}	M _{eq,Ed,3}	M _{eq,Ed,2}	CS	P. Vrf.	L _{Cr}	Dir	L _N	λ _{LT}	α	φ	χ	β	k _c	χ _{LT}	N _{cr}
	[N]	[N-m]	[N-m]			[m]		[m]								[N]

- L_{Cr} Lunghezza di libera inflessione laterale, misurata tra due ritegni torsionali successivi.
- L_N Luce libera di inflessione.
- λ_{LT} Coefficiente di snellezza normalizzata (per il calcolo di φ_{LT}).
- α Fattore di imperfezione.
- φ Coefficiente per il calcolo di χ
- χ Coefficiente di riduzione per instabilità a compressione
- β Coefficiente di riduzione della luce libera di inflessione.
- k_c Coefficiente per il calcolo di χ_{LT}
- χ_{LT} Coefficiente di riduzione ai fini dell'instabilità flessotorsionale.
- N_{cr} Sforzo Normale Critico Euleriano.

TRAVI (AC) - VERIFICHE DI DEFORMABILITÀ ALLO SLE (Elevazione)

Travi (AC) - Verifiche di deformabilità allo SLE

Id _{Tr}	Carichi Permanenti + Variabili			Carichi Variabili		
	CS	δ _{max} [cm]	δ _{amm} [cm]	CS	δ _{max} [cm]	δ _{amm} [cm]
Piano Terra						
Trave Acciaio 18a-1	NS	0,0028	0,3263	NS	0,0012	0,2719
Trave Acciaio 23a-2	-	0,0000	0,0969	-	0,0000	0,0807
Trave Acciaio 29a-30a	NS	0,0011	0,3663	NS	0,0006	0,3052
Trave Acciaio 17a-31a	30,09	0,0266	0,8000	42,46	0,0157	0,6667
Trave Acciaio 1a-17a	57,26	0,0140	0,8000	NS	0,0031	0,6667
Trave Acciaio 17a-18a	NS	0,0009	0,3749	NS	0,0004	0,3124
Trave Acciaio 1-33a	30,09	0,0266	0,8000	42,46	0,0157	0,6667
Trave Acciaio 18a-32a	30,09	0,0266	0,8000	42,46	0,0157	0,6667
Trave Acciaio 19a-34a	30,09	0,0266	0,8000	42,46	0,0157	0,6667
Trave Acciaio 1-19a	91,00	0,0054	0,4923	NS	0,0023	0,4102
Trave Acciaio 20a-35a	30,09	0,0266	0,8000	42,46	0,0157	0,6667
Trave Acciaio 19a-20a	NS	0,0030	0,4310	NS	0,0014	0,3592
Trave Acciaio 21a-36a	30,09	0,0266	0,8000	42,46	0,0157	0,6667
Trave Acciaio 20a-21a	86,50	0,0050	0,4310	NS	0,0022	0,3592
Trave Acciaio 22a-37a	30,09	0,0266	0,8000	42,46	0,0157	0,6667
Trave Acciaio 21a-22a	NS	0,0026	0,4310	NS	0,0012	0,3592
Trave Acciaio 23a-38a	30,09	0,0266	0,8000	42,46	0,0157	0,6667
Trave Acciaio 22a-23a	NS	0,0031	0,3978	NS	0,0015	0,3315
Trave Acciaio 24a-39a	30,09	0,0266	0,8000	42,46	0,0157	0,6667
Trave Acciaio 2-24a	94,92	0,0030	0,2865	NS	0,0014	0,2388
Trave Acciaio 25a-40a	30,09	0,0266	0,8000	42,46	0,0157	0,6667
Trave Acciaio 24a-25a	NS	0,0004	0,3627	NS	0,0002	0,3023
Trave Acciaio 26a-41a	30,09	0,0266	0,8000	42,46	0,0157	0,6667
Trave Acciaio 25a-26a	NS	0,0040	0,4103	NS	0,0018	0,3419
Trave Acciaio 27a-42a	30,09	0,0266	0,8000	42,46	0,0157	0,6667
Trave Acciaio 26a-27a	91,60	0,0040	0,3696	NS	0,0018	0,3080
Trave Acciaio 28a-43a	30,09	0,0266	0,8000	42,46	0,0157	0,6667
Trave Acciaio 27a-28a	NS	0,0018	0,3406	NS	0,0008	0,2839
Trave Acciaio 30a-46a	30,09	0,0266	0,8000	42,46	0,0157	0,6667
Trave Acciaio 3-44a	30,09	0,0266	0,8000	42,46	0,0157	0,6667
Trave Acciaio 29a-45a	30,09	0,0266	0,8000	42,46	0,0157	0,6667
Trave Acciaio 3-29a	95,87	0,0035	0,3343	NS	0,0018	0,2786
Trave Acciaio 2a-18a	30,09	0,0266	0,8000	42,46	0,0157	0,6667
Trave Acciaio 3a-1	30,09	0,0266	0,8000	42,46	0,0157	0,6667
Trave Acciaio 4a-19a	30,09	0,0266	0,8000	42,46	0,0157	0,6667
Trave Acciaio 5a-20a	30,09	0,0266	0,8000	42,46	0,0157	0,6667
Trave Acciaio 6a-21a	30,09	0,0266	0,8000	42,46	0,0157	0,6667
Trave Acciaio 7a-22a	30,09	0,0266	0,8000	42,46	0,0157	0,6667
Trave Acciaio 8a-23a	30,09	0,0266	0,8000	42,46	0,0157	0,6667
Trave Acciaio 9a-24a	30,09	0,0266	0,8000	42,46	0,0157	0,6667
Trave Acciaio 10a-25a	30,09	0,0266	0,8000	42,46	0,0157	0,6667
Trave Acciaio 11a-26a	30,09	0,0266	0,8000	42,46	0,0157	0,6667
Trave Acciaio 12a-27a	30,09	0,0266	0,8000	42,46	0,0157	0,6667
Trave Acciaio 13a-28a	30,09	0,0266	0,8000	42,46	0,0157	0,6667
Trave Acciaio 14a-3	30,09	0,0266	0,8000	42,46	0,0157	0,6667
Trave Acciaio 28a-3	76,99	0,0066	0,5065	NS	0,0032	0,4221
Trave Acciaio 15a-29a	30,09	0,0266	0,8000	42,46	0,0157	0,6667
Trave Acciaio 16a-30a	30,09	0,0266	0,8000	42,46	0,0157	0,6667

LEGENDA:

- Id_{Tr} Identificativo della trave. L'eventuale lettera tra parentesi distingue i diversi tratti della travata al livello considerato.
- CS Coefficiente di sicurezza ([NS] = Non Significativo se CS ≥ 100; [VNR] = Verifica Non Richiesta; Informazioni aggiuntive sulla condizione: [V] = statica; [E] = eccezionale; [S] = sismica; [N] = sismica non lineare).
- δ_{max} Spostamento allo SLE.
- δ_{amm} Spostamento Differenziale ammissibile.

PILASTRI (AC) - VERIFICHE A PRESSOFLESSIONE DEVIATA (Elevazione) allo SLU

Pilastri (AC) - Verifiche a pressoflessione deviata

Pilastro	%L _{LT}	N _{Ed}	V _{Ed}	M _{Ed,3}	M _{Ed,2}	CS	Tp Vr	max/m in	M _{c,Rd}	V _{c,Rd}	ρ	A _v	t _w	N _{pl,Rd}	
	[%]	[N]	[N]	[N-m]	[N-m]				[N-m]	[N]		[mm ²]	[mm]	[N]	
Piano Terra															
Pilastro Acciaio 1	0%	8.381	-1.473	-630	-1.290	90.70[S]	PLS	Max	309.529	481.331	0,000	3.725	8,5	2.517.274	
			Min					143.507	1.225.230	0,000	9.482	28,0			
	50,0%	16.788	-1.343	-714	644			NS	Max	309.529	481.331	0,000	3.725		8,5
			Min						143.507	1.225.230	0,000	9.482	28,0		

Pilastri (AC) - Verifiche a pressoflessione deviata

Pilastro	%L _{Li}	N _{Ed}	V _{Ed}	M _{Ed,3}	M _{Ed,2}	CS	Tp Vr	max/m in	M _{C,Rd}	V _{C,Rd}	ρ	A _v	t _w	N _{pl,Rd}
	[%]	[N]	[N]	[N-m]	[N-m]				[N-m]	[N]		[N]		
Pilastro Acciaio 2	100%	15.928	-1.343	-716	1.650	72.40[PLS	Max	309.529	481.331	0,000	3.725	8,5	2.517.274
			-2						143.507	1.225.230		9.482		
	0%	9.595	-1.511	-559	-1.325	90.59[PLS	Max	309.529	481.331	0,000	3.725	8,5	2.517.274
			376						143.507	1.225.230		0,000		
	50,0%	8.929	-591	-824	128	NS	PLS	Max	309.529	481.331	0,000	3.725	8,5	2.517.274
			1.249						143.507	1.225.230		0,000		
100%	8.271	-1.511	62	938	NS	PLS	Max	309.529	481.331	0,000	3.725	8,5	2.517.274	
		376						143.507	1.225.230		0,000			9.482

LEGENDA:

- Pilastro** Identificativo del pilastro. L'eventuale lettera tra parentesi distingue i diversi tratti della pilastrata al livello considerato.
- %L_{Li}** Posizione della sezione per la quale vengono forniti i valori di verifica, valutata come % della lunghezza libera d'inflessione (L_{Li}), a partire dall'estremo iniziale.
- N_{Ed}** Sforzo normale di progetto.
- V_{Ed}** Taglio di progetto utilizzato per il calcolo di ρ.
- M_{Ed,3}** Momento flettente di progetto intorno a 3.
- M_{Ed,2}** Momento flettente di progetto intorno a 2.
- CS** Coefficiente di sicurezza ([NS] = Non Significativo se CS ≥ 100; [VNR]= Verifica Non Richiesta; Informazioni aggiuntive sulla condizione: [V] = statica; [E] = eccezionale; [S] = sismica; [N] = sismica non lineare).
- Tp Vr** Tipo di verifica considerata: "PLS" = con Modulo di resistenza plastico; "ELA" = con modulo di resistenza elastico; "EFF" = con modulo di resistenza efficace.
- max/mi** [max] = valore per la verifica con modulo di resistenza maggiore; [min] = valore per la verifica con modulo di resistenza minore.
- n**
- M_{C,Rd}** Momento resistente.
- V_{C,Rd}** Taglio resistente.
- ρ** Coefficiente riduttivo per presenza di taglio.
- A_v** Area resistente a taglio.
- t_w** Spessore anima.
- N_{pl,Rd}** Resistenza plastica a Sforzo Normale.

PILASTRI (AC) - VERIFICHE A TAGLIO (Elevazione) per pressoflessione deviata allo SLU

Pilastro	%L _{Li}	CS	A _v	τ _{T,Ed}	V _{Ed}	V _{C,Rd}	P. Vrf.	Ω _{Min}
	[%]							
Piano Terra								
Pilastro Acciaio 1	0%	NS	3.725	0,01	1.247	481.310	Piano XX	-
	50,0%	NS	3.725	0,01	1.247	481.310	Piano XX	-
	100%	NS	3.725	0,01	1.247	481.310	Piano XX	-
Pilastro Acciaio 2	0%	NS	3.725	0,00	1.249	481.331	Piano XX	-
	50,0%	NS	3.725	0,00	1.249	481.331	Piano XX	-
	100%	NS	3.725	0,00	1.249	481.331	Piano XX	-
Pilastro Acciaio 3	0%	NS	3.725	0,03	1.260	481.288	Piano XX	-
	50,0%	NS	3.725	0,03	1.260	481.288	Piano XX	-
	100%	NS	3.725	0,03	1.260	481.288	Piano XX	-

LEGENDA:

- Pilastro** Identificativo del pilastro. L'eventuale lettera tra parentesi distingue i diversi tratti della pilastrata al livello considerato.
- %L_{Li}** Posizione della sezione per la quale vengono forniti i valori di verifica, valutata come % della lunghezza libera d'inflessione (L_{Li}), a partire dall'estremo iniziale.
- CS** Coefficiente di sicurezza ([NS] = Non Significativo se CS ≥ 100; [VNR]= Verifica Non Richiesta; Informazioni aggiuntive sulla condizione: [V] = statica; [E] = eccezionale; [S] = sismica; [N] = sismica non lineare).
- A_v** Area resistente a taglio.
- τ_{T,Ed}** Tensione tangenziale di calcolo per torsione.
- V_{Ed}** Taglio di progetto.
- V_{C,Rd}** Taglio resistente.
- P. Vrf.** Piano di minima resistenza.
- Ω_{Min}** Rapporto minimo momento plastico/momento progetto travi concorrenti.

PILASTRI (AC) - VERIFICHE INSTABILITÀ A PRESSOFLESSIONE DEVIATA (Elevazione)

Pilastro	Pilastri (AC) - Verifiche instabilità a pressoflessione deviata															
	N _{eq,Ed}	M _{eq,Ed,3}	M _{eq,Ed,2}	CS	P. Vrf.	L _{cr}	Dir	L _N	λ _{LT}	α	φ	χ	β	k _c	χ _{LT}	N _{cr}
	[N]	[N-m]	[N-m]			[m]		[m]								[N]
Piano Terra																
Pilastro Acciaio 1	18.208	-714	835	64,90	Piano YY	1,50	x-x	1,50	0,198	0,340	0,495	1,000	1,000	0,998	1,000	58.125.39
							y-y	1,50	0,073	0,490	0,526	0,993	1,000	0,712	1,000	0
Pilastro Acciaio 2	22.304	-10	271	92,25	Piano YY	1,50	x-x	1,50	0,182	0,340	0,495	1,000	1,000	0,752	1,000	58.125.39
							y-y	1,50	0,080	0,490	0,526	0,993	1,000	0,768	1,000	0
Pilastro Acciaio 3	19.768	-1	-667	79,64	Piano YY	1,50	x-x	1,50	0,113	0,340	0,495	1,000	1,000	1,000	1,000	58.125.39
							y-y	1,50	0,068	0,490	0,526	0,993	1,000	0,673	1,000	0

LEGENDA:

- Pilastro** Identificativo del pilastro. L'eventuale lettera tra parentesi distingue i diversi tratti della pilastrata al livello considerato.
- N_{eq,Ed}** Sforzo Normale equivalente di progetto.
- M_{eq,Ed,3}** Momento equivalente di progetto intorno a 3.
- M_{eq,Ed,2}** Momento equivalente di progetto intorno a 2.
- CS** Coefficiente di sicurezza ([NS] = Non Significativo se CS ≥ 100; [VNR]= Verifica Non Richiesta; Informazioni aggiuntive sulla condizione: [V] = statica; [E] = eccezionale; [S] = sismica; [N] = sismica non lineare).
- P. Vrf.** Piano di minima resistenza.
- L_{cr}** Lunghezza di libera inflessione laterale, misurata tra due ritegni torsionali successivi.
- L_N** Luce libera di inflessione.

Pilastri (AC) - Verifiche instabilità a pressoflessione deviata

Pilastro	$N_{eq,Ed}$ [N]	$M_{eq,Ed,3}$ [N·m]	$M_{eq,Ed,2}$ [N·m]	CS	P. Vrf.	L_{cr} [m]	Dir	L_N [m]	λ_{LT}	α	ϕ	χ	β	k_c	χ_{LT}	N_{cr} [N]
λ_{LT}	Coefficiente di snellezza normalizzata (per il calcolo di Φ_{LT}).															
α	Fattore di imperfezione.															
ϕ	Coefficiente ϕ (per il calcolo di χ).															
χ	Coefficiente di riduzione per instabilità a compressione															
β	Coefficiente di riduzione della luce libera di inflessione.															
k_c	Coefficiente per il calcolo di χ_{LT}															
χ_{LT}	Coefficiente di riduzione ai fini dell'instabilità flessotorsionale.															
N_{cr}	Sforzo Normale Critico Euleriano.															

PILASTRI - VERIFICA DI SNELLEZZA (Elevazione)

Pilastri - VERIFICA DI SNELLEZZA							
Id	P/S	L_0 [mm]	i [mm]	λ_0	$\lambda_{0,lim}$	CS	
Piano Terra							
Pilastro Acciaio 1	-	1500	74,88	20	200	10,00	
Pilastro Acciaio 2	-	1500	74,88	20	200	10,00	
Pilastro Acciaio 3	-	1500	74,88	20	200	10,00	

LEGENDA:

- Id** Identificativo dell'elemento.
- P/S** Tipologia trave acciaio: Principale (P) o Secondaria (S)
- L_0** Lunghezza di inflessione
- i** Raggio d'inerzia
- λ_0** Snellezza
- $\lambda_{0,lim}$** Snellezza limite
- CS** Coefficiente di sicurezza ([NS] = Non Significativo per valori di CS >= 100; [VNR]= Verifica Non Richiesta).

PIANI - VERIFICHE REGOLARITÀ (Elevazione)

REGOLARITÀ DELLA STRUTTURA IN PIANTA		
a)	la configurazione in pianta è compatta ossia la distribuzione di masse e rigidità è approssimativamente simmetrica rispetto a due direzioni ortogonali e il contorno di ogni orizzontamento è convesso; il requisito può ritenersi soddisfatto, anche in presenza di rientranze in pianta, quando esse non influenzano significativamente la rigidità nel piano dell'orizzontamento e, per ogni rientranza, l'area compresa tra il perimetro dell'orizzontamento e la linea convessa circoscritta all'orizzontamento non supera il 5% dell'area dell'orizzontamento;	SI
b)	il rapporto tra i lati del rettangolo circoscritto alla pianta di ogni orizzontamento è inferiore a 4;	NO
c)	ciascun orizzontamento ha una rigidità nel proprio piano tanto maggiore della corrispondente rigidità degli elementi strutturali verticali da potersi assumere che la sua deformazione in pianta influenzi in modo trascurabile la distribuzione delle azioni sismiche tra questi ultimi e ha resistenza sufficiente a garantire l'efficacia di tale distribuzione;	SI
La struttura non è regolare in pianta.		
REGOLARITÀ DELLA STRUTTURA IN ALTEZZA		
d)	tutti i sistemi resistenti alle azioni orizzontali si estendono per tutta l'altezza della costruzione o, se sono presenti parti aventi differenti altezze, fino alla sommità della rispettiva parte dell'edificio;	SI
e)	massa e rigidità rimangono costanti o variano gradualmente, senza bruschi cambiamenti, dalla base alla sommità della costruzione (le variazioni di massa da un orizzontamento all'altro non superano il 25%, la rigidità non si riduce da un orizzontamento a quello sovrastante più del 30% e non aumenta più del 10%); ai fini della rigidità si possono considerare regolari in altezza strutture dotate di pareti o nuclei in c.a. o di pareti e nuclei in muratura di sezione costante sull'altezza o di telai controventati in acciaio, ai quali sia affidato almeno il 50% dell'azione sismica alla base;	NO
f)	nelle strutture intelaiate, il rapporto tra la capacità e la domanda allo SLV non è significativamente diverso, in termini di resistenza, per orizzontamenti diversi (tale rapporto, calcolato per un generico orizzontamento, non deve differire più del 30% dall'analogo rapporto calcolato per l'orizzontamento adiacente); può fare eccezione l'ultimo orizzontamento di strutture intelaiate di almeno tre orizzontamenti;	NO
g)	eventuali restringimenti della sezione orizzontale della costruzione avvengano con continuità da un orizzontamento al successivo; oppure avvengano in modo che il rientro di un orizzontamento non superi il 10% della dimensione corrispondente all'orizzontamento immediatamente sottostante, né il 30% della dimensione corrispondente al primo orizzontamento. Fa eccezione l'ultimo orizzontamento di costruzioni di almeno quattro orizzontamenti, per il quale non sono previste limitazioni di restringimento;	SI
La struttura è regolare in altezza.		

Piani - Verifiche Regolarità

Id_piano	Q_{Lv} [m]	H_{Lv} [m]	Rd_{Tmp}	Ir_{Tmp}	M_{SLU} [N·s²/m]	K_{SLU}		R_{eff}		R_{ric}	
						X [N/cm]	Y [N/cm]	X [N]	Y [N]	X [N]	Y [N]
Piano Terra	0,00	1,50	NO	NO	2.466	226.227	301.977	0	0	0	0

LEGENDA:

- Id_piano** Identificativo del livello o piano.
- Q_{Lv}** Quota del livello o piano.
- H_{Lv}** Altezza del livello o piano.
- Rd_{Tmp}** Per i piani con riduzione dei tamponamenti, sono state incrementate le azioni di calcolo per gli elementi verticali (pilastri e pareti) di un fattore 1,4: [SI] = Piano con riduzione dei tamponamenti - [NO] = Piano senza riduzione dei tamponamenti.
- Ir_{Tmp}** Per piani con distribuzione dei tamponamenti in pianta fortemente irregolare, l'eccentricità accidentale è stata incrementata di un fattore pari a 2: [SI] = Distribuzione tamponamenti irregolare fortemente - [NO] = Distribuzione tamponamenti regolare.
- M_{SLU}** Massa eccitabile della struttura allo S.L. Ultimo, nelle direzioni X, Y, Z.
- K_{SLU}** Valori delle Rigidità di Piano, valutate allo SLU, riferite agli assi X ed Y del riferimento globale.
- R_{eff}** Valori delle Resistenze Effettive di Piano, valutate allo SLU, relative al sistema di riferimento globale X, Y, Z.
- R_{ric}** Valori delle Resistenze Richieste di Piano, valutate allo SLU, relative al sistema di riferimento globale X, Y, Z.
- (*)** Vedi tabelle "Livelli o Piani" o "Solai e Balconi".

EFFETTI DELLE NON LINEARITÀ GEOMETRICHE PER SISMA (Elevazione)

Effetti delle non linearità geometriche per sisma

Id_piano	Q_{Lv} [m]	H_{Lv} [m]	$\delta_{d,x}$ [cm]	$\delta_{d,y}$ [cm]	$P_{0,x}$ [N]	$P_{0,y}$ [N]	$T_{0,x}$ [N]	$T_{0,y}$ [N]	Θ_x [rad]	Θ_y [rad]
Piano Terra	0,00	1,50	0,0142	0,0114	24.147	24.147	3.214	3.435	7,1158 E-04	5,3309 E-04

LEGENDA:

Effetti delle non linearità geometriche per sisma

IdPiano	Q_{Lv} [m]	H_{Lv} [m]	δ_{d,x} [cm]	δ_{d,y} [cm]	P_{θ,x} [N]	P_{θ,y} [N]	T_{θ,x} [N]	T_{θ,y} [N]	θ_x [rad]	θ_y [rad]
----------------	------------------------------	------------------------------	--------------------------------	--------------------------------	-------------------------------	-------------------------------	-------------------------------	-------------------------------	-------------------------------	-------------------------------

- IdPiano** Identificativo del livello o piano.
H_{Lv} Altezza del livello o piano.
δ_{d,x}, δ_{d,y} Componenti dello spostamento differenziale rispetto al piano inferiore.
P_{θ,x}, P_{θ,z} Valori del carico verticale del piano utilizzato per il calcolo di "θ".
T_{θ,x}, T_{θ,y} Valori del tagliante di piano utilizzati per il calcolo di "θ".
θ_x, θ_y Coefficienti "θ" del piano.
Nota Le forze sismiche orizzontali agenti sui piani caratterizzati da valori di θ compresi tra 0,1 e 0,2, sono state incrementate del fattore "1/(1-θ)", per portare in conto gli effetti del secondo ordine.

PIANI - VERIFICHE AGLI SPOSTAMENTI

IdPiano	Q_{Lv} [m]	H_{Lv} [m]	δ_{d,x} [cm]	δ_{d,y} [cm]	C_{lg}T_{mp}	δ_{lim} [cm]	δ_{lim} - δ_{d,x} [cm]	δ_{lim} - δ_{d,y} [cm]	Piani - Verifiche
									Note
Piano Terra	0,00	1,50	0,0037	0,0030	RF	0,7500	0,7463	0,7470	Verificato

LEGENDA:

- IdPiano** Identificativo del livello o piano.
Q_{Lv} Quota del livello o piano.
H_{Lv} Altezza del livello o piano.
C_{lg}T_{mp} Tipo di collegamento delle tamponature alla struttura: [R] = Rigido - [E] = Elastico - [RF] = Rigidamente fragili - [RD] = Rigidamente Duttili.
δ_{lim} Valore limite dello spostamento differenziale indicato dalla normativa.
δ_{d,x}, δ_{d,y} Componenti dello spostamento differenziale rispetto al piano inferiore.

PIANI - VERIFICHE ALLO SLE (Elevazione)

IdPiano	Q_{Lv} [m]	H_{Lv} [m]	δ_{amm,SLE} [cm]	δ_{d,SLE}		Δδ_{SLE}		Note
				X	Y	X	Y	
				[cm]	[cm]	[cm]	[cm]	
Piano Terra	0,00	1,50	0,5000	0,0016	0,0014	0,4984	0,4986	Verificato

LEGENDA:

- IdPiano** Identificativo del livello o piano.
Q_{Lv} Quota del livello o piano.
H_{Lv} Altezza del livello o piano.
δ_{amm,SLE} Spostamento Differenziale ammissibile.
δ_{d,SLE} Spostamento Differenziale.
Δδ_{SLE} Differenza fra spostamento limite e quello di calcolo nelle direzioni X e Y.

<u>INFORMAZIONI GENERALI</u>	pag.	2
<u>MATERIALI ACCIAIO</u>	pag.	2
<u>TENSIONI AMMISSIBILI ALLO SLE DEI VARI MATERIALI</u>	pag.	2
<u>SEZIONI PROFILATI IN ACCIAIO</u>	pag.	2
<u>TIPOLOGIE DI CARICO</u>	pag.	3
<u>SLU: Non Sismica - Strutturale senza azioni geotecniche</u>	pag.	3
<u>SLU: Sismica - Strutturale senza azioni geotecniche</u>	pag.	4
<u>COMBINAZIONI SISMICHE</u>	pag.	5
<u>SERVIZIO(SLE): Caratteristica(RARA)</u>	pag.	5
<u>SERVIZIO(SLE): Frequente</u>	pag.	6
<u>SERVIZIO(SLE): Quasi permanente</u>	pag.	6
<u>DATI GENERALI ANALISI SISMICA</u>	pag.	6
<u>DATI GENERALI ANALISI SISMICA - FATTORI DI COMPORTAMENTO</u>	pag.	7
.....	pag.	7
<u>PRINCIPALI ELEMENTI ANALISI SISMICA</u>	pag.	7
<u>RIEPILOGO MODI DI VIBRAZIONE</u>	pag.	8
<u>LIVELLI O PIANI</u>	pag.	14
<u>NODI</u>	pag.	14
<u>TRAVI IN ELEVAZIONE</u>	pag.	16
<u>PILASTRI</u>	pag.	18
<u>CARICHI SUI NODI (PER CONDIZIONI DI CARICO NON SISMICHE)</u>	pag.	18
<u>CARICHI SULLE TRAVI</u>	pag.	18
<u>CARICHI SUI PILASTRI</u>	pag.	22
<u>NODI - SPOSTAMENTI PER CONDIZIONI DI CARICO NON SISMICHE</u>	pag.	22
<u>NODI - SPOSTAMENTI PER EFFETTO DEL SISMA</u>	pag.	26
<u>NODI - SPOSTAMENTI PER ECCENTRICITÀ ACCIDENTALE</u>	pag.	30
<u>TRAVI - SOLLECITAZIONI PER CONDIZIONI DI CARICO NON SISMICHE</u>	pag.	33
<u>TRAVI - SOLLECITAZIONI PER EFFETTO DEL SISMA</u>	pag.	37
<u>TRAVI - SOLLECITAZIONI PER ECCENTRICITÀ ACCIDENTALE</u>	pag.	39
<u>PILASTRI - SOLLECITAZIONI PER CONDIZIONI DI CARICO NON SISMICHE</u>	pag.	41
<u>PILASTRI - SOLLECITAZIONI PER EFFETTO DEL SISMA</u>	pag.	42
<u>PILASTRI - SOLLECITAZIONI PER ECCENTRICITÀ ACCIDENTALE</u>	pag.	42
<u>NODI - REAZIONI VINCOLARI ESTERNE PER TIPOLOGIE DI CARICO NON SISMICHE</u>	pag.	42
<u>NODI - REAZIONI VINCOLARI ESTERNE PER EFFETTO DEL SISMA</u>	pag.	43
<u>NODI - REAZIONI VINCOLARI ESTERNE PER ECCENTRICITÀ ACCIDENTALE</u>	pag.	43
<u>TRAVI (AC) - VERIFICHE A PRESSOFLESSIONE DEVIATA (Elevazione) allo SLU</u>	pag.	43
<u>TRAVI (AC) - VERIFICHE A TAGLIO (Elevazione) per pressoflessione deviata allo SLU</u>	pag.	51
<u>TRAVI - VERIFICA DI SNELLEZZA (Elevazione)</u>	pag.	54
<u>TRAVI (AC) - VERIFICHE INSTABILITÀ A PRESSOFLESSIONE DEVIATA (Elevazione)</u>	pag.	55
<u>TRAVI (AC) - VERIFICHE DI DEFORMABILITÀ ALLO SLE (Elevazione)</u>	pag.	57
<u>PILASTRI (AC) - VERIFICHE A PRESSOFLESSIONE DEVIATA (Elevazione) allo SLU</u>	pag.	57
<u>PILASTRI (AC) - VERIFICHE A TAGLIO (Elevazione) per pressoflessione deviata allo SLU</u>	pag.	58
<u>PILASTRI (AC) - VERIFICHE INSTABILITÀ A PRESSOFLESSIONE DEVIATA (Elevazione)</u>	pag.	58
<u>PILASTRI - VERIFICA DI SNELLEZZA (Elevazione)</u>	pag.	59
<u>PIANI - VERIFICHE REGOLARITÀ (Elevazione)</u>	pag.	59
<u>EFFETTI DELLE NON LINEARITÀ GEOMETRICHE PER SISMA (Elevazione)</u>	pag.	59
<u>PIANI - VERIFICHE AGLI SPOSTAMENTI</u>	pag.	59

